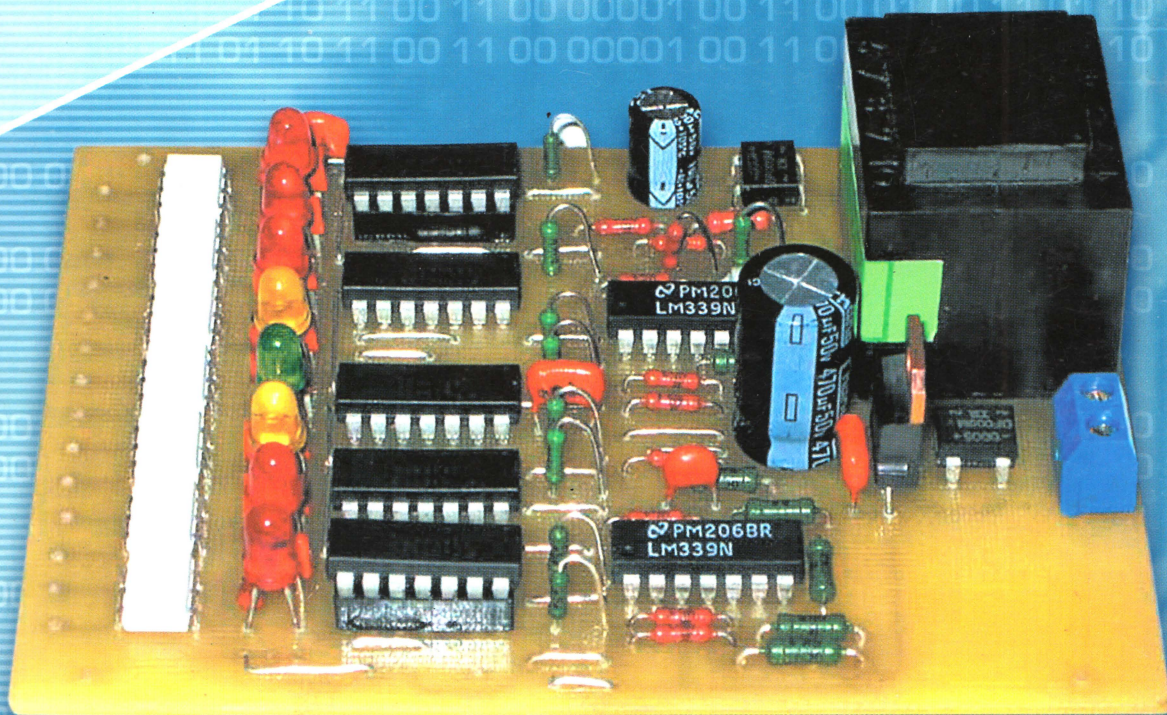


8•2005

# РАДИО

АУДИО • ВИДЕО • СВЯЗЬ • ЭЛЕКТРОНИКА • КОМПЬЮТЕРЫ

СТАБИЛИЗАТОР ПЕРЕМЕННОГО НАПРЯЖЕНИЯ  
ДЛЯ ЛЮБОГО БЫТОВОГО ЭЛЕКТРОПРИБОРА



- Трехканальный УМЗЧ для автомобиля
- Простой источник бесперебойного питания
- Электронные квартирные звонки
- Терменвокс
- Многодиапазонная антенна "волновой канал"



...и еще 29 конструкций

8  
2005



# Возрождение традиций

Всероссийская выставка научно-технического творчества молодежи



**К**огда после многолетнего перерыва такие выставки вновь стали проводиться во Всероссийском выставочном центре, для посетителей, которые видели выставки НТТМ семидесятых-восемидесятых годов прошлого века, они показались слишком "детскими". И это было действительно так — после многолетнего перерыва и всех перипетий нашей жизни того периода "выпасть" на Всероссийскую выставку заметное число проектов студентов и учащихся колледжей было нереально.

Выставка этого года — пятая по счету, и она заметно отличается от большинства предшествующих. На ней гораздо шире представлены все возрастные группы детей, подростков и молодежи, которые увлекаются научно-техническим творчеством.

(см. статью на с. 4)



Даже "колобок" здесь радиоуправляемый!



Александр Бердинков и его прибор для определения энергоресурса аккумуляторных батарей.

Несложный трехдиапазонный трансивер разработан молодыми радиолюбителями Ростова-на-Дону.



Вот так он выглядит со снятой верхней крышкой.



<b>РЕТРО 7</b>	ВОЗРОЖДЕНИЕ ТРАДИЦИЙ ..... 4
<b>ВЫСТАВКИ 9</b>	НОВОСТИ НАУКИ И ТЕХНИКИ ..... 6
<b>ВИДЕОТЕХНИКА 11</b>	Ю. Янкин. РАСЧЕТ И ИЗГОТОВЛЕНИЕ ПЛОСКИХ КАТУШЕК ..... 7
<b>ЗВУКОТЕХНИКА 18</b>	В. Меркулов. НОВЫЕ МУЛЬТИМЕДИЙНЫЕ РЕШЕНИЯ В ГАННОВЕРЕ ..... 9
<b>РАДИОПРИЕМ 22</b>	Ю. Петропавловский. РЕМОНТ БВГ И ВЗАИМОЗАМЕНЯЕМОСТЬ МНОГОГоловочных верхних цилиндров ..... 11
<b>ИЗМЕРЕНИЯ 24</b>	С. Рюмик. ГИТС-3 ..... 14
<b>КОМПЬЮТЕРЫ 27</b>	В. Горев. ТРЕХКАНАЛЬНЫЙ УМЗЧ ДЛЯ АВТОМОБИЛЯ ..... 18
<b>МИКРОПРОЦЕССОРНАЯ ТЕХНИКА 30</b>	П. Михайлов. НОВОСТИ ЭФИРА ..... 22
<b>ИСТОЧНИКИ ПИТАНИЯ 32</b>	В. Степанов. ИЗМЕРЕНИЕ ЧАСТОТЫ ПРИЕМА ..... 23
<b>РАДИОЛЮБИТЕЛЬСКАЯ ТЕХНОЛОГИЯ 37</b>	В. Бочарников. ЦИФРОВОЙ ВОЛЬТМЕТР ДЛЯ ЛАБОРАТОРНОГО БП ..... 24
<b>РАДИОЛЮБИТЕЛЮ-КОНСТРУКТОРУ 39</b>	П. Мартычук. РЕМОНТ КОМБИНИРОВАННОГО ПРИБОРА 43101 ..... 26
<b>ПРИКЛАДНАЯ ЭЛЕКТРОНИКА 40</b>	И. Кузнецов, Н. Кузнецов. КАК ПЕРЕПИСАТЬ DVD НА ЖЕСТКИЙ ДИСК ..... 27
<b>ЭЛЕКТРОМУЗЫКАЛЬНЫЕ ИНСТРУМЕНТЫ 48</b>	М. Феоктистов. ПЕРЕХОДНИК ПИТАНИЯ АТХ—АТ ..... 29
<b>ЭЛЕКТРОНИКА ЗА РУЛЕМ 52</b>	В. Краснов. МИКРОКОНТРОЛЛЕРНЫЙ ОПРЕДЕЛИТЕЛЬ ВЫВОДОВ ТРАНЗИСТОРОВ ..... 30
<b>"РАДИО" — НАЧИНАЮЩИМ 55</b>	М. Озолин. ПРОСТОЙ ИСТОЧНИК БЕСПЕРЕБОЙНОГО ПИТАНИЯ ..... 32
	А. Гордин. СТАБИЛИЗАТОР ПЕРЕМЕННОГО НАПРЯЖЕНИЯ ..... 33
	Д. Мамичев. ЭЛЕКТРОИСКРОВОЙ КАРАНДАШ ИЗ МИНИАТЮРНОГО РЕЛЕ ..... 37
	В. Горюнов. ВОССТАНОВЛЕНИЕ РАБОТЫ МАГНИТОФОНА ..... 37
	К. Мороз. УЛУЧШЕНИЕ РАБОТЫ СВАРОЧНОГО АППАРАТА ..... 37
	Б. Степанов. ЭПС И НЕ ТОЛЬКО... ..... 39
	ЭЛЕКТРОННЫЕ КВАРТИРНЫЕ ЗВОНКИ ..... 40
	Б. Порохнявый. БЕЗДРОССЕЛЬНЫЙ СТАБИЛИЗАТОР ДЛЯ ВОДЯНОГО НАСОСА ..... 42
	И. Нечаев. ПОИСК РАДИОМАЯКА В ДИАПАЗОНЕ 433 МГц ..... 44
	С. Мишенков. ТЕРМЕН Л. С. .... 48
	Л. Королев. ТЕРМЕНВОКС ..... 48
	В. Югрин. АВТОМАТ—КОММУТАТОР ФАР БЛИЖНЕГО СВЕТА ..... 52
	Д. Турчинский. РЕГУЛЯТОР СКОРОСТИ ДЛЯ РАДИОУПРАВЛЯЕМЫХ АВТОМОБИЛЕЙ ..... 55
	Г. Маркелов. УСТРОЙСТВО ДЛЯ "РАЗМОТКИ" КАТУШЕК РЕЛЕ ..... 56
	И. Нечаев. ИНДИКАТОР ПРЕДЕЛЬНОГО ТОКА ..... 57
	С. Коваленко. ЭКОНОМИЧНЫЙ ГЕТЕРОДИННЫЙ ПРИЕМНИК С НИЗКОВОЛЬТНЫМ ПИТАНИЕМ ..... 58
	В. Каплун. ИЗМЕРИТЕЛЬ МАЛЫХ ЕМКОСТЕЙ ..... 59
	А. Субботин. ЗВУКОВОЙ ПРОБНИК ..... 60
	Р. Ершов. ЗВУКОВОЙ СИГНАЛИЗАТОР КОНТРОЛЯ НАПРЯЖЕНИЯ АККУМУЛЯТОРА ..... 61
	А. Кашкаров. ВАРИАНТЫ ВКЛЮЧЕНИЯ ПЬЕЗОЭЛЕКТРИЧЕСКОГО ИЗЛУЧАТЕЛЯ И МИГАЮЩЕГО СВЕТОДИОДА ..... 62
<b>"РАДИО" — О СВЯЗИ 63</b>	DX-КЛУБ "ЦЕНТР СИБИРИ" — 25 ЛЕТ В ЭФИРЕ ..... 63
	В. Кононов. PSK31. ЭТИКА, ТАКТИКА И МЕТОДЫ РАБОТЫ ..... 65
	Э. Гуткин. "ВОЛНОВОЙ КАНАЛ" ДЛЯ НЧ ДИАПАЗОНОВ ..... 68
	КОНТЕСТ-КАЛЕНДАРЬ ..... 72
	В. ХМАРЦЕВ. ВЫСОКОСТАБИЛЬНЫЙ ДВУХТОНАЛЬНЫЙ ГЕНЕРАТОР ..... 72
	НА ЛЮБИТЕЛЬСКИХ ДИАПАЗОНАХ ..... 73
	А. Голышко. КРАТКАЯ ИСТОРИЯ КОММУТАЦИИ: ПАРАДИГМА ПАКЕТОВ ..... 74

НАША КОНСУЛЬТАЦИЯ (с. 54). ОБМЕН ОПЫТОМ (с. 17). НА КНИЖНОЙ ПОЛКЕ (с. 18, 21, 25).

ДОСКА ОБЪЯВЛЕНИЙ (с. 1, 3, 17, 21, 25, 29, 36, 38, 46, 47, 53, 76, 77—80).

На нашей обложке. Стабилизатор переменного напряжения (см. статью на с. 33).

**ЧИТАЙТЕ  
В СЛЕДУЮЩЕМ  
НОМЕРЕ:**

**TV АНТЕННЫЙ УСИЛИТЕЛЬ  
ГРОМКОСТЬ И ТЕМБР С УПРАВЛЕНИЕМ ОТ ПДУ  
ДЕЛИТЕЛЬ ЧАСТОТЫ 0,1...3,5 ГГц  
ЭЛЕКТРОНИКА В УТОГЕ  
СИНТЕЗАТОР ЧАСТОТЫ КВ РАДИОСТАНЦИИ**





Издаётся с 1924 года

**РАДИО**  
"Радиолубитель" — "Радиофронт" — "Радио"

**8•2005**

МАССОВЫЙ  
ЕЖЕМЕСЯЧНЫЙ  
НАУЧНО-ТЕХНИЧЕСКИЙ  
ЖУРНАЛ

"Radio" is monthly publication on audio, video, computers, home electronics and telecommunication

УЧРЕДИТЕЛЬ И ИЗДАТЕЛЬ: РЕДАКЦИЯ ЖУРНАЛА «РАДИО»

Зарегистрирован Комитетом РФ по печати 21 марта 1995 г.

Регистрационный № 01331

Главный редактор Ю. И. КРЫЛОВ

Редакционная коллегия:

В. В. АЛЕКСАНДРОВ, В. И. ВЕРЮТИН, А. В. ГОЛЫШКО, А. С. ЖУРАВЛЕВ,  
Б. С. ИВАНОВ, Е. А. КАРНАУХОВ (отв. секретарь), С. Н. КОМАРОВ,  
А. Н. КОРОТОНОШКО, В. Г. МАКОВЕЕВ, С. Л. МИШЕНКОВ, А. Л. МСТИСЛАВСКИЙ,  
В. Т. ПОЛЯКОВ, А. Н. ПОПОВ, Б. Г. СТЕПАНОВ (ПЕРВЫЙ ЗАМ. ГЛ. РЕДАКТОРА),  
Р. Р. ТОМАС, В. В. ФРОЛОВ, В. К. ЧУДНОВ (ЗАМ. ГЛ. РЕДАКТОРА)

Выпускающие редакторы: Л. Н. ЛОМАКИН, А. К. СОКОЛОВ

Обложка: С. В. ЛАЗАРЕНКО

Верстка: Е. А. ГЕРАСИМОВА, В. П. ОБЪЕДКОВ

Корректор: Т. А. ВАСИЛЬЕВА

Адрес редакции:

107045, Москва, Селиверстов пер., 10

Тел.: (095) 207-31-18. Факс: (095) 208-77-13

E-mail: [ref@radio.ru](mailto:ref@radio.ru)

Группа работы с письмами — (095) 207-08-48

Отдел рекламы — (095) 208-99-45, e-mail: [advert@radio.ru](mailto:advert@radio.ru)

Распространение — (095) 208-81-79; e-mail: [sale@radio.ru](mailto:sale@radio.ru)

Подписка и продажа — (095) 207-77-28

Бухгалтерия — (095) 207-87-39

Наши платежные реквизиты:

получатель — ЗАО "Журнал "Радио", ИНН 7708023424,  
р/сч. 40702810438090103159 в Мецанском ОСБ № 7811, г. Москва

Банк получателя — Сбербанк России, г. Москва  
корр. счет 3010181040000000225 БИК 044525225

Подписано к печати 17.07.2005 г. Формат 84×108/16. Печать офсетная.

Объем 10 физ. печ. л., 5 бум. л., 13,5 уч.-изд. л.

В розницу — цена договорная

Подписной индекс:

по каталогу «Роспечати» — 70772;

по каталогу Управления федеральной почтовой связи — 89032.

За содержание рекламного объявления ответственность несет  
рекламодатель.

За оригинальность и содержание статьи ответственность несет автор.

Редакция не несет ответственности за возможные негативные последствия  
использования опубликованных материалов, но принимает меры по  
исключению ошибок и опечаток.

В случае приема рукописи к публикации редакция ставит об этом в известность  
автора. При этом редакция получает исключительное право на распространение  
принятого произведения, включая его публикации в журнале  
«Радио», на интернет-страницах журнала, CD или иным образом.

Авторское вознаграждение (гонорар) выплачивается в течение одного  
месяца после первой публикации в размере, определяемом внутренним  
справочником тарифов.

По истечении одного года с момента первой публикации автор имеет  
право опубликовать авторский вариант своего произведения в другом месте  
без предварительного письменного согласия редакции.

© Радио®, 1924—2005. Воспроизведение материалов журнала «Радио»,  
их коммерческое использование в любом виде, полностью или частично,  
допускается только с письменного разрешения редакции.

Отпечатано в ООО «ИД Медиа-Пресса», 127137, Москва, А-40,  
ул. «Правды», 24. Зак. 51593.



Компьютерная сеть редакции журнала «Радио» находится под защитой антивирусной программы Dr.WEB И. Данилова. Техническая поддержка ООО «СалД» (Санкт-Петербургская антивирусная лаборатория И. Данилова)  
<http://www.drweb.ru> Тел.: (812) 294-6408



**КОМПАНИЯ MTU-ИНФОРМ**

Полный комплекс услуг связи

- цифровая телефонная связь -
- аренда цифровых каналов -
- услуги сети передачи данных -
- подключение к сети Интернет -
- услуги Интеллектуальной платформы -

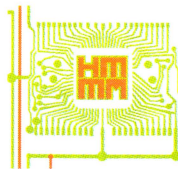
119121, Москва, Смоленская-Сенная пл., 27-29, стр.2

тел. (095) 258 78 78, факс (095) 258-78-70

<http://www.mtu.ru>, e-mail: [office@mtu.ru](mailto:office@mtu.ru)

**Возрождение традиций**

## Всероссийская выставка научно- технического творчества молодежи



Выставки HTTM стартовали в 1966 г. Тогда ЦК ВЛКСМ и Главвыставком ВДНХ СССР приняли решение провести первый Всесоюзный смотр технического творчества молодежи. Он был успешным и стал проводиться регулярно, а в 1974—1985 гг. такие смотры, уже получившие свое современное название — HTTM, проводились ежегодно. Потом наступила пауза, которая длилась 15 лет. И вот в 2001 г. Всероссийский выставочный центр взялся за возрождение движения научно-технического творчества молодежи. Возродились выставки и опять стали крупнейшими смотрами интеллектуальных возможностей российской молодежи.



**Игорь Смирнов и Григорий Шакиров — авторы оригинального УМЗЧ.**

Всероссийские выставки HTTM теперь снова проходят ежегодно на ВВЦ в рамках реализации Федеральной целевой программы "Молодежь России" и городской программы "Молодежь Москвы". В выставке этого года принял участие 51 регион России. Ее участники (их было более 1000) — молодые люди в возрасте от 12 до 27 лет — представляли 96 вузов, 33 средних специальных учреждения, 34 школы, 32 учреждения дополнительного образования и 19 молодежных организаций. На выставке экспонировалось около 700 индивидуальных и коллективных проектов по техническим, естественным, экономическим и социально-гуманитарным наукам.

**Окончание.**

**Начало см. на 2-й с. обложки**





**Миниатюрный газовый паяльник  
Максима Тагустаева.**

Участники выставки имели возможность не только представить свои работы, но и совершить научно-познавательные экскурсии в ведущие вузы и научные центры столицы, в Звездный городок и музеи.

С каждым годом выставка НТТМ становится все более "радиоэлектронной" и "компьютерной". И это естественно — данные направления науки и техники сегодня во многом определяют развитие всех направлений творчества, в том числе и чисто гуманитарных. Вот почему заметную часть экспозиции выставки заняли проекты, основанные на использовании компьютеров в учебном процессе — от занятных детских игр, развивающих воображение и координацию движений у ребенка, до серьезных профессиональных программ для подготовки специалистов.

Вот пример из области связи. Нижегородец Артем Тихов показал компьютерный тренажерный комплекс "Судовые КВ и УКВ радиостанции", который используется в Волжской государственной академии водного транспорта, где готовят радиооператоров для морских и речных судов. Комплекс позволяет в диалоговом режиме получить навыки эксплуатации и настройки радиостанций, причем допускает введение в учебный процесс их новых типов. На нем реализуются сеансы связи между корреспондентами без выхода в радиоэфир, но программный комплекс можно использовать и для индивидуальных тренировок.

Очень интересный проект показал выпускник Военной академии Ракетных



**Малогабаритный металлоискатель  
Даниила Антоненко.**



**Член редакционной коллегии журнала  
"Радио" Василий Иванович Верютин —  
член жюри НТТМ-2005.**

войск стратегического назначения им. Петра Великого Александр Бердников. Сегодня аккумуляторы — от миниатюрных в сотовых телефонах и в иных бытовых устройствах до громадных в тяжелой гражданской и военной технике — являются неотъемлемым атрибутом нашей жизни. И как часто происходят отказы радиоэлектронной аппаратуры из-за отсутствия достоверной информации об их состоянии! Разработанное Александром устройство для определения энергоресурса аккумулятора батарей позволяет решить эту зада-

чу. Его прибор с соответствующим программным обеспечением позволяет измерить остаточную емкость батарей с учетом их саморазряда, старения и влияния внешних условий.

Интересную конструкцию "Симметричный гибридный мостовой УМЗЧ" показали Игорь Смирнов и Григорий Шакиров из Колледжа телекоммуникаций Санкт-Петербургского государственного университета телекоммуникаций им. проф. М. А. Бонч-Бруевича. Для достижения малого уровня собственных шумов в широкой полосе частот усилителя (–75 дБ) в его входном каскаде использована лампа. Выходные каскады выполнены на мощных транзисторах со статической индукцией. В их конструкции есть возможность переключения режима работы каскадов (А, АВ, В), а также плавный переход из режима в режим в зависимости от уровня выходного сигнала, что позволяет изменять значения выходной мощности в пределах 10...50 Вт. Усилитель имеет плавное ограничение максимальных уровней сигнала и несколько устройств защиты.

Как и на прошлых выставках НТТМ, интересную экспозицию по радиоэлектронике представил Ростовский областной центр технического творчества учащихся. В ней и несложный телефонно-телеграфный трансивер с выходной мощностью 10 Вт для проведения любительских радиосвязей на диапазонах 40, 80 и 160 метров (автор Дмитрий Федосеев), и позволяющий обнаружить даже пачку сигарет в кармане миниатюрный металлоискатель (автор Даниил Антоненко), и выполненный на основе обычной зажигалки миниатюрный газовый паяльник для полевых работ (автор Максим Тагустаев) и многое другое. Связная тематика не случайна в этой экспозиции ростовчан — коллективная радиостанция RK6LXT, которой руководит Владимир Медведев (RA6LT), хорошо известна коротковолновикам по своим экспедициям. Например, в этом году (также как и в прошлом) его воспитанники работали в эфире из станции Вёшенская во время фестиваля "Шолоховская весна".

Журнал "Радио" — информационный спонсор всех выставок НТТМ начиная с 2001 г. — был, разумеется, представлен на выставке отдельным стендом. За пропаганду технического творчества в стране среди молодежи редакция в этом году отмечена дипломом Всероссийского выставочного центра.

**... и до встречи на НТТМ в следующем году!**



**В спортивно-техническом радиоклубе "Ратекс"  
(Москва) создают разнообразную радиоаппаратуру.**





# Новости науки и техники

## USB Flash-диск в ноже

Складные ножи швейцарской фирмы Victorinox хорошо известны во всем мире. Отвечая на требования времени, фирма выпустила складной нож, который, помимо лезвия ножа, отвертки, пилочки для ногтей и ножниц, содержит еще и электронный узел — USB Flash-диск. Предусмотрено несколько модификаций с объе-



мами диска 64, 128, 256, 512 Мбайт и 1 Гбайт. Скорость передачи информации по протоколу USB 1.1 — до 1 Мб/с.

## СВЧ излучение останавливает автомобиль

В недалеком будущем полиция, возможно, получит новый способ останавливать автомобили-нарушители. Сегодня подавляющее большинство автомобилей во всем мире оснащают двигателями внутреннего сгорания с управляемым впрыском топлива (инжекторными). Проведенные эксперименты показали, что работа электронного блока управления подобным двигателем может быть нарушена в результате воздействия импульса электромагнитного поля большой мощности.

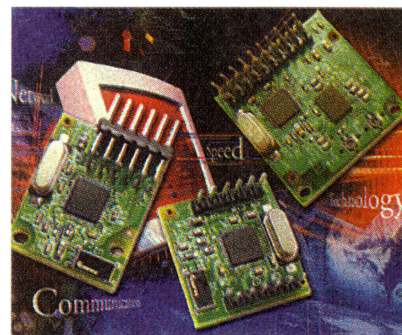
Президент компании Eureka Aerospace (США) Джеймс Татоян предложил оборудовать полицейские патрульные автомобили узконаправленными передатчиками большой мощности, вызывающими сбои в микропроцессорных устройствах и электронных приборах, установленных на борту преследуемого автомобиля-нарушителя. "Воздей-

ствие электромагнитного поля напряженностью 10...15 кВ/м в течение нескольких секунд способно остановить автомобиль", — заявил он.



Компания Eureka Aerospace разработала электромагнитную систему повышенной мощности с антенной решеткой размерами 1,2×1,5 м. Заявляемая дальность воздействия на объект — примерно 90 м. Хотя такой антенной довольно сложно оснастить полицейские автомобили, но вполне реально установить их на патрульные вертолеты.

После первой демонстрации этой системы в прошлом году представитель полиции Лос Анжелеса Сид Хил заявил: "Правоохранительные органы и вооруженные силы во всем мире будут стремиться получить подобное устройство. Я говорю это с полной уверенностью".

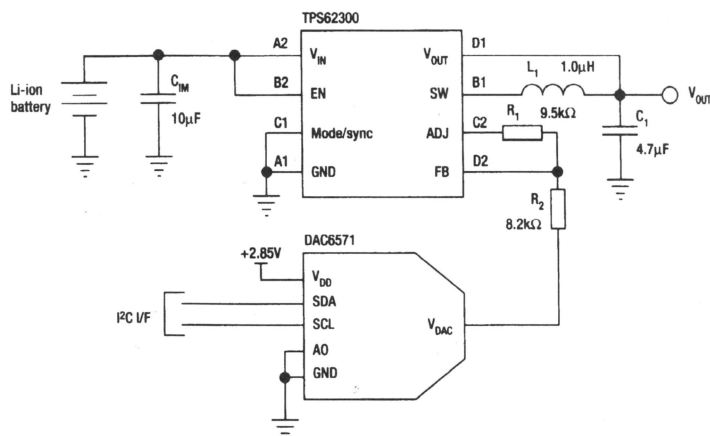


## Миниатюрный преобразователь напряжения

Преобразование постоянного напряжения питания в постоянное пониженное — задача весьма актуальная. Проще всего эту задачу решить с помощью линейных стабилизаторов. Однако этот способ имеет основной недостаток — низкий КПД. Альтернатива такому решению — импульсные преобразователи. Но они содержат дроссель и сглаживающий конденсатор, которые при низкой частоте преобразования (десятки кГц) имеют довольно большие габариты и массу.

Например, в современных мобильных телефонных аппаратах применяют микропроцессоры с низковольтным (меньше напряжения аккумуляторной батареи) питанием, а поскольку экономия электроэнергии в этом случае весьма актуальна, производители применяют импульсные стабилизаторы с понижением напряжения. Проблема заключается в том, что дроссели и сглаживающие конденсаторы занимают значительный объем в аппаратах, которые становятся все легче и меньше.

Фирма Texas Instruments (США) производит микросхемы импульсных преобразователей с тактовой частотой 3 МГц. В этом случае требуемые индук-



## Беспроводная USB

Фирма Neumuller Elektronik (Германия) выпустила модули для беспроводной (по радиоканалу на частоте 2,4 ГГц) передачи информации через USB порт. Модули размещены на плате размерами 25×25 мм. Гарантированная дальность передачи (зависит от модуля) — 10, 50 и 1000 м. Скорость передачи — 62,5 Кб/с.

тивность дросселя и емкость сглаживающего конденсатора могут быть существенно меньше, значит, можно применить эти детали меньших габаритов для поверхностного монтажа. На рисунке показан пример использования нового импульсного стабилизатора совместно с ЦАП, управляемым по шине I<sup>2</sup>C.

По материалам журналов Funkamateur (Mai 2005), RadCom (March 2005, April 2005)





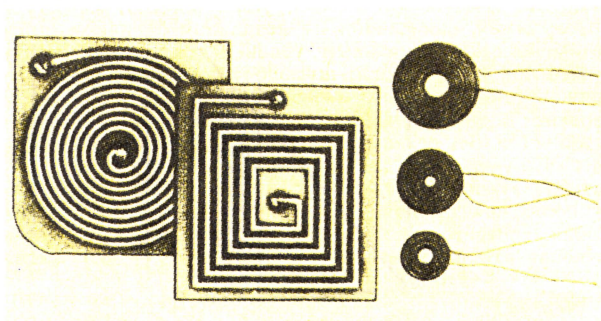


# РАСЧЕТ И ИЗГОТОВЛЕНИЕ ПЛОСКИХ КАТУШЕК

**В** малогабаритной УКВ аппаратуре относительно много места на плате занимают контурные катушки и ВЧ дроссели. Часто именно они определяют габаритную высоту монтажной платы. В некоторых случаях может оказаться целесообразным применение плоских катушек — печатных и проволочных. Основой для печатных ВЧ катушек чаще всего служит специальная высокочастотная керамика. Технология производства таких катушек непригодна для любительских условий. Однако, как показывает практика, до частот 80—100 МГц вполне удовлетворительные результаты могут быть получены при использовании катушек, изготовленных из фольгированного стеклотекстолита способом травления. Применение для печатных катушек фольгированного фторопласта позволяет отодвинуть частотный предел до 200—300 МГц.

Плоские проволочные катушки обладают удовлетворительной механической прочностью, относительно небольшой собственной емкостью, простотой изготовления и могут применяться на частотах до 10 МГц. Существенное увеличение индуктивности и добротности плоских печатных и проволочных катушек может быть получено, если с одной или обеих сторон на катушку наложить ферритовые пластины. Изменяя расстояние между катушкой и пластиной (набором немагнитных прокладок или иным путем), можно изменять индуктивность катушки. Можно регулировать индуктивность в некоторых пределах с помощью флажка из немагнитного металла (меди или алюминия), перемещающегося вблизи катушки параллельно ей.

Проволочные катушки удобно наклеивать непосредственно на плату или на отдельную пластину, прикрепляемую к плате. Печатные катушки могут быть произволь-



ной формы. «Заземлять» на плате следует вывод наружного витка — в этом случае он играет роль экрана. Можно дополнительно экранировать печатную катушку еще одним наружным незамкнутым витком, соединяемым с общим проводом устройства. Примеры выполнения катушек показаны на фото в заголовке статьи.

Рассчитать катушки с достаточной для радиолюбителя точностью можно с помощью номограмм. Порядок расчета печатных и проволочных катушек аналогичен, разница состоит в том, что ширине печатной дорожки печатной катушки соответствует диаметр по меди провода проволочной катушки, а ширине зазора между дорожками — двойная толщина изоляции провода.

Конструктивные размеры катушек показаны на рис. 1, а и б. Номограммы для расчета изображены на рис. 2 и 3. В качестве примера ниже рассмотрен расчет круглой печатной контурной катушки (без сердечника) индуктивностью 0,64 мкГ. Наибольший наружный диаметр  $D$  катушки выбираем равным 20 мм, наименьший внутренний  $d = 8$  мм. Необходимо найти число витков  $w$ , ширину печатной дорожки  $S$  и расстояние  $S_R$  между центрами  $C_1$  и  $C_2$  полуокружностей катушки.

Номограмма для расчета круглых катушек представлена на рис. 2. Вычислим:  $D + d = 20 + 8 = 28$  мм = 2,8 см;  $D/d = 20/8 = 2,5$ . На шкалах « $D + d$ » и « $D/d$ » находим соответствующие точки и соединением их прямой (на рис. 2 — штриховая линия). Через точку пересечения этой прямой с неоцифрованной вспомогательной линией и точку на шкале « $L$ », соответствующую заданной индуктивности  $L = 0,64$  мкГ, проводим прямую до пересечения со шкалой « $w$ », по которой и отсчитываем искомое число витков — 6,5. Значения  $D + d$ ,  $D/d$  или  $L$  на шкалах номограммы можно увеличить (уменьшить) в 10 или 100 раз, при этом значения  $w$  будут соответственно изменяться в  $\sqrt{10}$  и  $\sqrt{100}$  раз.

Ширину  $S$ , мм, печатного проводника вычисляем по формуле:  $S \geq S_R = (D - d)/4w$ ; диаметр по изоляции провода проволочной катушки —  $d_{из} = (D - d)/2w$ . Полученный результат округляем до ближайшего большего значения ряда 0,5; 0,75; 1,0; 1,25; 1,5 мм и т. д.

$S_R = (20 - 8)/4 \times 6,5 = 0,46$ ;  $S = 0,5$  мм. При малых значениях  $S_R$  следует принимать  $S_R = S$ . Для проволочных катушек  $d_{из}$  округляем до ближайшего стандартного диаметра провода по изоляции.

Рисунок катушки наносят на фольгированный стеклотекстолит циркулем, в который установлен рейсфедер, наполненный химически стойкой краской. Верхние полуокружности (см. рис. 1, а) проводят из центра  $C_1$ , а

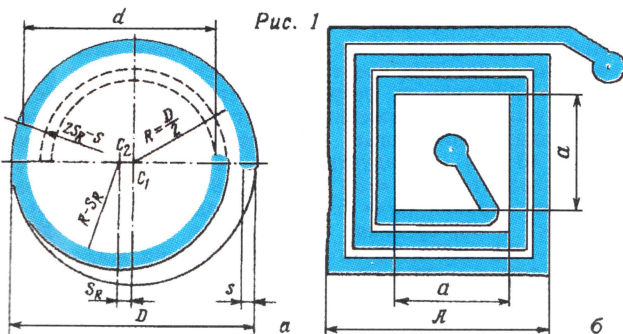


Рис. 1



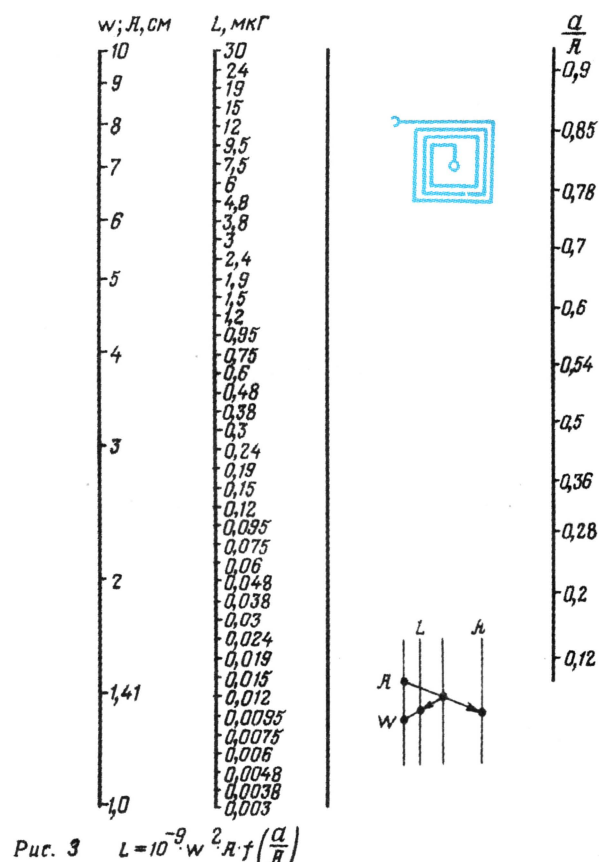
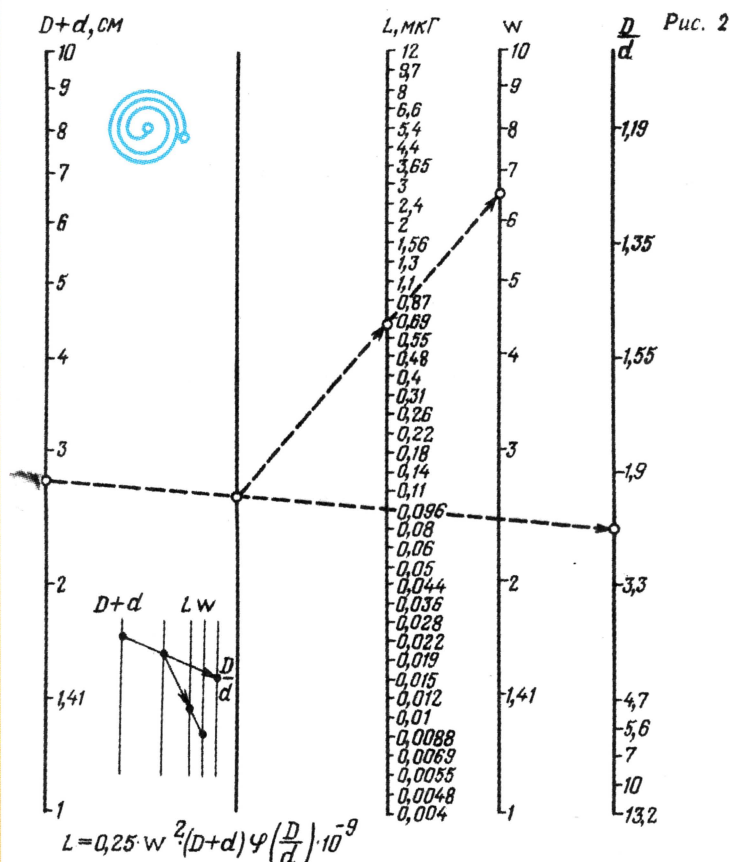


Таблица 1

D/d	1.105	1.222	1.353	1.5	1.666	1.857	2.08	2.34	2.64	3.0	3.45	4.0	4.72	5.66	7.0	9.0	12.3	17.25	18.6
$\varphi(D/d)$	48.79	40.11	35.06	31.5	28.76	26.56	24.72	23.15	21.79	20.6	19.55	18.61	17.77	17.03	16.36	15.76	15.22	14.74	14.31

Таблица 2

a/A	0.9	0.8	0.76	0.72	0.68	0.64	0.6	0.56	0.52	0.48	0.44	0.4	0.36	0.32	0.28	0.24	0.2	0.16
f(a/A)	27.92	21.11	19.21	17.57	16.13	14.84	13.666	12.6	11.61	10.71	9.868	9.09	8.36	7.68	7.0	6.454	5.9	5.386

нижние — из  $C_2$ . Расстояние  $S_R$  следует выдерживать с возможно большей точностью. После высыхания краски катушку травят, как обычно, в растворе хлорного железа.

Печатные катушки квадратной формы рассчитывают по номограмме, показанной на рис. 3. Более точные результаты расчета плоских катушек можно получить аналитически, пользуясь формулами, по которым построены номограммы. Эти формулы приведены на рис. 2 и 3. Размерность величин в формулах соответствует указанной на номограммах. Значения функций  $\varphi(D/d)$  и  $f(a/A)$  сведены в табл. 1 и 2.

Проволочные плоские катушки наматывают на разборном каркасе между двумя щечками, укрепленными на стержне. Диаметр сердечника каркаса должен быть равен внутреннему диаметру катушки, а расстояние

между щечками — диаметру провода по изоляции. В процессе намотки провод смачивают клеем БФ-2. Щечки должны быть изготовлены из материала, имеющего плохую адгезию к клею (фторопласт, винилфлекс). Каркас разбирают после окончания сушки клея. Изготовленные катушки клеят либо непосредственно к плате, либо к пластине из феррита, укрепленной на плате.

Катушки, изображенные в заголовке статьи, имеют следующие измеренные параметры: круглая печатная ( $D=40$  мм) — индуктивность 1,4 мкГ, добротность 95; квадратная ( $A=30$  мм) — 0,9 мкГ и 180, проволочные верхняя ( $D=15$  мм, провод ПЭВ-1 0,18) — 7,5 мкГ и 48; средняя ( $D=11,9$  мм, провод ПЭВ-2 0,1) — 9,5 мкГ и 48 и нижняя ( $D=9$  мм, провод ПЭЛ 0,05) — 37 мкГ и 43.

г. Москва

Ю. ЯНКИН





# НОВЫЕ МУЛЬТИМЕДИЙНЫЕ РЕШЕНИЯ В ГАННОВЕРЕ

В. МЕРКУЛОВ, г. Москва

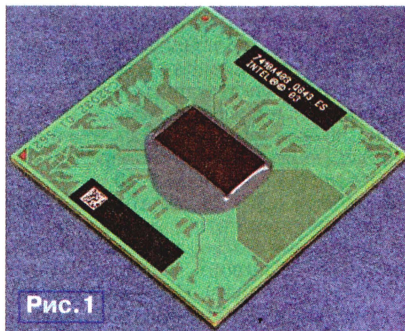
Проходящие ежегодно в Ганновере (Германия) выставки CeBIT (Center for Office and Information Technology — центр офисных и информационных технологий) можно назвать ярмарками, ориентированными преимущественно на предпринимательство. CeBIT-2005 прошла с 10-го по 16 марта. Из 489 тыс. ее посетителей 414 тыс. (85 %) представляли снабженческие, оптовые и розничные торговые организации малого и среднего бизнеса, причем две трети со штатом до 500 человек. В экспозиции приняли участие 6270 экспонентов (52 % из них зарубежные), расположившихся в 27 больших павильонах на 309 тыс. м<sup>2</sup> выставочной площади.

На открытии выставки вступительную речь произнес Х. Кагерман —руководитель известной германской компании SAP AG (Service Advertising Protocol — ведущий в мире производитель программного обеспечения и методических руководств рыночными отношениями и поставками для предприятий любого масштаба), предложивший находить оптимальные решения с использованием ICT (Information Communication Technology) — информационных коммуникационных технологий. Выступивший затем канцлер Германии Г. Шредер сообщил, что важнейшей задачей правительства представляется создание статуса благоприятствования ICT-инновациям, продвижение и руководство ими в германском плане реформ AGENDA 2010 и что в 2005 г. суммарно оцениваемое их влияние на экономику страны приблизится к 100 млрд евро.

Представление тысяч экспонатов на CeBIT-2005, по существу, отражало сложившуюся в мире еще с конца ушедшего века организацию изготовления и сбыта изделий электронной техники и программного обеспечения. Большинство фирм индустриально развитых стран размещает производство современной высокотехнологичной аппаратуры на бесчисленных заводах и фабриках в южной экономической зоне Китая. Более всего в использовании малозатратных возможностей преуспели тайваньские фирмы. По свидетельству газеты CeBITNews, издававшейся на выставке, 80 % выполненных ими разработок реализуются серийно на заводах континентального соседа. В свою очередь, многие китайские предприятия предлагают заключение договоров на реализацию готовой для поставок техники или аппаратуры с дизайном по желанию заказчика. Некоторые российские предприятия-посредники также широко используют открывшиеся возможности экономической кооперации. Давно сложилось известное положение, когда на одних и тех же китайских конвейерах для многих стран Азии, Америки, Европы, в том числе и для России, изготавлива-

ют одинаковые аппараты, но с разными корпусами и логотипами.

Следует отметить, что перепродажа произведенных в Китае электронных изделий в два—пять раз дороже себестоимости наиболее распространена в экономически развитых странах. Кроме того, необходимо сообщить, что у многих признанных в мире компаний на CeBIT-2005 можно было купить лицензию на серийный выпуск технических изделий под их методическим руководством и логотипами.



Среди представленных экспонатов было довольно много устройств с интересными потребительскими мультимедийными решениями, а также средств оргтехники, рассчитанных на применение как в офисах, так и в быту. Ниже рассмотрены некоторые из них, разработанные совсем недавно.

**Новое поколение ноутбуков.** С 2003 г. американцы на покупку ноутбуков (НБ) стали расходовать больше средств, чем на стационарные персональные компьютеры (ПК), чему послужили снижение розничных цен и притягательность НБ не только по габаритам, массе, мобильности, но и в плане сближения их технических характеристик с параметрами ПК. Популярности НБ в 2003 г. прибавило и появление в обращении предложенной известной компьютерной корпорацией INTEL новой мобильной платформы Intel Centrino Technology, разработанной на основе процессора Intel Centrino Pentium M-Banias с шагом укладки активных элементов — транзисторов, равным 120 нм. Кроме того, НБ, произведенные по технологии Intel Centrino, отвечают жестким требованиям по энергосбережению, в обязательном порядке оборудованы встроенными модулями беспроводной связи и укомплектованы только компонентами INTEL.

В мае 2004 г. на замену прототипу был заявлен процессор архитектуры Dothan с более плотной укладкой элементов, равной 90 нм. В нем добавили быстродействия, дополнительно снизили энергопотребление, прибавили гибкости во взаимодействии с оргтехникой

и домашней радиоаппаратурой. Новый процессор на площади 83,6 мм<sup>2</sup> содержит 140 млн транзисторов (в Banias на площади 82,8 мм<sup>2</sup> — "только" 77 млн).

Внешний вид модуля с процессором Intel Centrino Dothan показан на **рис. 1**. Сам процессор виден в центре, остальная площадь ячейки занята разводкой от выводов процессора к 479 контактам — Intel's micro-PGA 479-pin packaging. На **рис. 2** представлены развертки (без защитных обложек) обоих процессоров, из которых видно, что в Dothan память 2 МБ (рис. 2,а, слева) занимает немного более половины площади кристалла, а у примерно схожей по габаритам Banias под память 1 МБ (рис. 2,б) отведено примерно 40 % площади.

Еще одной причиной роста популярности мобильных вычислительных средств в прошлом году послужило все большее объединение их с мультимедийной техникой. Уже сейчас многие американские, европейские и японские фирмы наладили выпуск моделей мультимедийных НБ с широкоформатными (16:9) дисплеями, DVD-приводом, усилителем ЗЧ, двумя (для стереофонии) громкоговорителями и диктофоном.

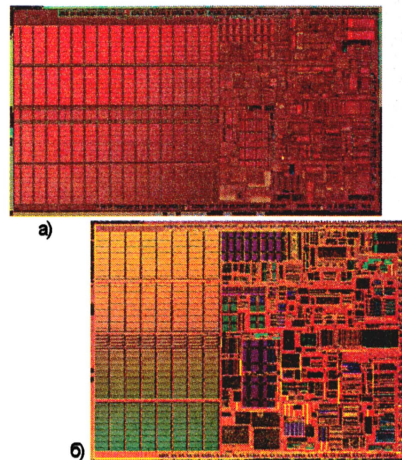


Рис. 2

В январе 2005 г. INTEL объявил о создании новой мобильной рабочей станции Sonoma Intel Centrino на процессоре Pentium M-Dothan. Всего предполагается выпускать семь модификаций с разными тактовыми частотами от 1,2 до 2,13 ГГц. В сравнении с прототипами Sonoma обладает еще большим быстродействием, оптимизацией энергопотребления в зависимости от загрузки вычислительными операциями, понижением тактовой частоты до 800 или 600 МГц при переходе на питание от встроенной батареи аккумуляторов. Особенно отличается она расширенными возможностями по взаимодействию



с домашней медиатеchnikой и вспомогательными периферийными устройствами, но при использовании набора микросхем Intel 915GM. Менее дорогие наборы 915PM и 915GMS обеспечивают немного ограниченные возможности. Конструкции производимых INTEL (и другими фирмами) НБ имеют модульное построение и допускают установку при необходимости дополнительной батареи аккумуляторов, еще одного HDD — жесткого магнитного диска, DVD-рекордера.

Показанная на выставке (рис. 3) модель E8020 Supreme LifeBook, разработанная на основе нового процессора компанией FUJITSU-SIEMENS Computers, представляет собой универсальное изделие, пригодное для офиса и быта в качестве мощного вычислительного средства и мультимедиацентра. Основой для него послужил процес-



Рис. 3

сор Intel Centrino Pentium M770-Dothan с тактовой частотой 2,13 ГГц, частотой системной шины 533 МГц и кэш-памятью L2, равной 2,048 МБ. НБ управляет операционной системой (ОС) Windows XP PRO.

Процессор работает во взаимодействии с набором микросхем Intel 915GM, поддерживающим 1 Гб памяти DDR2-533SDRAM, подсистему графики Intel Graphics Media Accelerator 900 и аудиоподсистему Intel High Definition Audio 5.1. Размер по диагонали экрана дисплея TFT LCD с разрешением SXGA (1400×1050 мкс) — 38,3 см (15,1"). Допускается подключение внешнего дисплея (в том числе, например, телевизора). Емкость памяти HDD — 80 Гб, имеется встроенный оптический привод DVD±RW/CD-RW, предусмотрены слот и разъемы для считывания информации с внешних карт памяти (КП) — SD/MMC, PC-card, Smartcard, Express-card и Serial ATA — внешнего жесткого магнитного диска.

Подключение к Интернету обеспечивается через модем по протоколу V.92, а также благодаря широкополосной сетевой карте Ethernet 10/100 Base — TX, Bluetooth V1.2 и новой беспроводной скоростной системе соединения Intel Pro/Wireless 2915 BG (802.11 b/g). Система коммутации НБ позволяет объединять его с внешними цифровыми и аналоговыми периферийными устройствами через порты, разъемы и интерфейсы: IEEE 1394, USB 2.0×4, DVI-Dx1, Fast IrDA 1.1 (4 Мбит/с), VGA, S-Video, S/PDIF (SONY/PHILIPS Digital Interface Format), гнездо головных телефонов, линейный вход и др. Пользовательское управление происходит посредством клавиатуры и заменяющего мышь устройства

TouchPad. Питание обеспечивается от электросети через адаптер или от встроенной подзаряжаемой батареи литий-ионных аккумуляторов емкостью 4,8 А·ч, поддерживающей автономный непрерывный режим работы до 4,5 ч. Габариты НБ — 333×285×37 мм, масса — 3 кг.

Следует отметить, что некоторые российские компании, например, ROVER Computers, также приступили к серийному выпуску аппаратов, аналогичных НБ Sonoma, но пока с пониженными тактовыми частотами и несколько упрощенными вариантами микросхем серии Intel 915.

В дополнение к техническим достоинствам НБ и преимуществам беспроводной связи необходимо отметить, что встраиваемые в ПК и НБ СВЧ приемопередающие устройства Wi-Fi обеспечивают эфирную передачу цифровой информации в радиусе 50...250 м на частоте 2,4 ГГц при мощности излучения 100 мВт. Формально это соответствует международным стандартам безопасности LEAP, WPA/SSN, WEP и др. Однако по российским правилам пользоваться такой связью не рекомендуется свыше 15 мин в сутки. Более продолжительное пребывание вблизи источника излучения может быть небезопасно для здоровья.

Отечественная норма 10 мкВт/см<sup>2</sup> для работы с СВЧ излучателями была установлена много лет назад, задолго до появления новых радиосоединителей (Wi-Fi, Bluetooth, мобильных телефонов и др.) в быту. Причем известно, что СВЧ поля наиболее активно проявляют себя в закрытых помещениях — небольших производственных, офисных и жилых комнатах, салонах автомобилей, самолетов. Вынужденная служебная деятельность при излучениях, превышающих утвержденную норму, относится к особым условиям труда с предоставлением соответствующих льгот.

В быту к относительно безопасным СВЧ излучателям относятся радиосоединители Bluetooth, излучающие не более 1 мВт. Они обеспечивают благоприятное окружающее поле при удалении от них на расстояние 1...2 м и более.

Известной альтернативой всем предложенным в последнее время беспроводным устройствам подключения на короткие расстояния служат дешевые проводные соединители, обеспечивающие более надежную передачу и закрытость информации, электромагнитную совместимость с окружающей средой и соседствующей аппаратурой. Безопасны для здоровья и системы беспроводного соединения на ИК лучах.

**Медиацентр.** Когда появились стационарные ПК, многим было непонятно, почему они не показывают еще и передачи телевидения. Однако тогда производителям было не до мультимедиа, они и так еле справлялись с удовлетворением спроса. Сейчас при насыщении рынка ПК разработчики, наконец, начали внедрять вычислительную технику в сфере развлечений.

Еще на открытии выставки CES-2004 в Лас-Вегасе (США) Б. Гейтс, основатель и глава MICROSOFT, представляя программу Windows XP Media Center Edition 2004, одновременно обозначил и новое направление в конструировании бытовой

электроники — "все в одном" домашнем медиацентре (МЦ), содержащем и ПК. Некоторые из законченных разработок уже поступили в эксплуатацию.

Серийно выпускаемый фирмой ELONEX стационарный, домашний МЦ LUMINA (рис. 4) отличается большим по размеру диагонали дисплеем 81 см (32") с разрешением 1366×768 пкс и широкими возможностями по использованию внешней медиа- и оргтехники. МЦ управляется ОС Microsoft Media Center 2005. ПК содержит процессор Intel Pentium-IV с тактовой частотой 3 ГГц, 512 МБ DDR 333 МГц RAM, HDD на 200 Гб, привод DVD±RW, слот для КР CF, SD/MMC, Memory Stick, видеокарту ATI Radeon со 128 Мб памяти, факс/модем, быстродействующий адаптер Ethernet 10/100 Base-TX, модуль скоростной беспроводной Wi-Fi связи



Рис. 4

(IEEE-802.11 a/b/g), порты и разъемы для внешних подключений IEEE-1394, USB2.0×4, TVin×2, композитный видео- и аудиовходы, звуковой выход S/PDIF.

Продуманные решения МЦ позволяют независимо от ПК (без загрузки ОС Windows) просматривать телепрограммы (с записью по таймеру), включать встроенные DVD/HDD-плеер/рекордер, CD-проигрыватель, радиоприем-



Рис. 5

ник УКВ, фотобраузер (устройство автоматизированного просмотра фотографий). Звуковое сопровождение обеспечивается стереофоническим усилителем мощностью 10 Вт на канал. Габариты — 791×614×125 мм.

ELONEX также серийно выпускает схожий по техническим характеристикам МЦ без дисплея, названный Artisan LX (рис. 5) и рассчитанный на эксплуатацию с уже имеющимся телевизором.

(Окончание следует)

Редактор — А. Михайлов, иллюстрации — автора



# Ремонт БВГ и взаимозаменяемость многоголовочных верхних цилиндров

Ю. ПЕТРОПАВЛОВСКИЙ, г. Таганрог

**Материалы об особенностях конструкций БВГ, о способах их разборки и сборки, диагностике неисправностей и ремонте уже были опубликованы на страницах журнала "Радио". Рассмотренные сведения касались в основном двух-четырёхголовочных БВГ, имеющих в продаже у российских дистрибьюторов электронных компонентов, в специализированных магазинах и на радиорынках. Однако в последние годы получили заметное распространение многоголовочные видеомагнитофоны и видеоплееры, БВГ для которых весьма дороги или дефицитны. О применимости верхних цилиндров таких БВГ, их конструкции, возможности их замены и перестановке переходных печатных плат рассказано в публикуемой здесь статье.**

Касаясь ситуации на рынке видеомагнитофонов и дисковых рекордеров, сложившейся в последние годы, прежде всего следует отметить, что внедрение дисковых рекордеров происходит не просто. Одна из серьезных проблем — неудовлетворительное качество изображения, получаемое с проигрывателей DVD при просмотре на больших экранах (плазменных, жидкокристаллических и проекционных). Существенно заметна строчная структура раstra, четкость изображения мала, поэтому говорить о значительном "прорыве" в качестве говорить не приходится. В то же время на небольших экранах (не более 72 см по диагонали) этой проблемы нет, качество изображения на них довольно высокое.

Ведущие производители очень быстро нашли выход из положения, предложив дисковую аппаратуру высокой четкости новых форматов HD-DVD (TOSHIBA и др.) и Blue-Ray (SONY и др.). Однако они несовместимы между собой, и это было чревато новой "войной" форматов, что и не замедлило произойти. Фирма TOSHIBA заключила контракты сразу с тремя крупнейшими студиями Голливуда — Warner Broth., Universal и Paramount. По условиям договора киностудии обязались выпускать некоторые из своих фильмов именно на дисках HD-DVD. Это серьезный удар по сторонникам формата Blue-Ray, возглавляемым фирмой SONY. Очевидно, что широкое распространение дисковых проигрывателей высокой четкости — дело довольно отдаленного будущего, по крайней мере в России.

Не все гладко и с рекордерами DVD обычной четкости. Многоформатность записей на дисках не позволяет воспроизводить их на большей части выпущенных и уже проданных потребителям моделей проигрывателей. Кроме того, пока еще невозможно записать на бытовые рекордеры DVD по цифровым соединениям от обычных DVD проигрывателей, что больше всего интересует любителей видеозаписи и домашнего кинотеатра (некоторые модели позволяют записывать цифровые видеосигналы в формате DV от видеокамер). Невозможна пока и за-

пись многоканального цифрового звука, но это, скорее, вопрос времени. Следовательно, домашние записи, сделанные через аналоговые входы, по качеству хуже заводских дисков DVD.

Фирма MATSUSHITA (PANASONIC) в каталоге своей продукции на лето — осень 2004 г. представила четыре модели рекордеров DVD (цена — 400...500 долл. США), рассчитанные на диск DVD-RAM TYPE 2. Этот диск емкостью 4,7 Гб поставляют в защитном картридже, но может быть из него извлечен. В более дорогие модели устанавливают жесткие диски, позволяющие записывать на них до 142 ч видеoinформации (с низким битрейтом в режиме EP, четыре градации качества). Для моделей с винчестером возможно копирование информации с него на диски DVD-R. Может быть, это один из способов обойти ограничения на цифровое копирование. Если в аппарате возможен цифровой перенос с воспроизводимого заводского диска DVD на винчестер, то при записи с него на диск DVD-R исходное качество должно сохраниться (хотя это — только предположение).

На одном из сайтов в Интернете была помещена заметка под названием "Видеомагнитофоны уходят в историю". Речь в ней шла о прекращении продаж видеомагнитофонов в крупной торговой сети Dixons Великобритании. Подобные заявления различные СМИ делают не первый год, однако продажа видеомагнитофонов все-таки не прекращается. В Великобритании это будет продолжать сеть Currys — дочерняя компания Doxons. Как сказал директор по закупкам этой сети Дэн Ноулз: "Продажи видеомагнитофонов падают, однако не прекратились вообще. Мы продолжаем продавать их в больших количествах. Пока есть рынок для них, продажи не прекратятся".

В подтверждение сказанному достаточно обратить внимание на прилавки магазинов и каталоги основных фирм-производителей. Например, в уже упомянутом каталоге продукции MATSUSHITA (PANASONIC) на лето—осень 2004 г. представлены пять моделей видеомагнитофонов, три модели видеоплееров

и две комбинированные модели DVD/VHS. Шестиголовочный видеомагнитофон PANASONIC — NV-SV121EP-S работает в форматах S-VHS, S-VHS-ET (режим S-VHS на стандартных кассетах VHS) и VHS, оснащен цифровым корректором временных искажений (TBC) и системой трехмерного цифрового подавления помех. Обеспечивается запись и воспроизведение стереозвука Hi-Fi на трех скоростях (SP, LP, EP). На смену четырехголовочному стереофоническому видеоплееру модели FJ8MK2 пришел шестиголовочный FJ80EU, вместо видеоплеера SJ5MK2 выпускают модель SJ50EU (две головки, три скорости). Все модели обеспечивают скоростную перемотку x750, видеомагнитофоны оснащены большим дисплеем, видеоплеерами управляют через меню на русском языке.

Не отстают в производстве видеомагнитофонов и другие фирмы, активно работающие на нашем рынке (LG, SAMSUNG, SONY и другие). Все это указывает на то, что магнитофоны еще довольно долго будут находиться в эксплуатации и, следовательно, требовать сервисного сопровождения и ремонта (на основные виды выпускаемой аппаратуры фирма MATSUSHITA устанавливает годовую гарантию).

Как известно, много случаев неисправности видеомагнитофонов происходит из-за БВГ и ЛПМ. Основные узлы БВГ следующие: верхний (ВЦ) и нижний (НЦ) цилиндры, бесконтактный двигатель электропривода, вращающийся трансформатор (BT), датчики скорости и положения (в современных моделях они входят в состав двигателя электропривода), подшипники скольжения или качения, антипомеховый "заземляющий" токосъемник и некоторые другие детали. В практике ремонта и обслуживания видеомагнитофонов замена ВЦ в связи с износом или разрушением видеоголовок возникает довольно часто. При этом одной из существенных проблем можно назвать отсутствие информации о взаимозаменяемости ВЦ. Для преодоления проблемы необходимо довольно четкое представление об устройстве конкретных БВГ и принципах записи сигналов на ленту. Эти вопросы частично уже были рассмотрены в [1]. Здесь — продолжение темы.

Наиболее простую маркировку ВЦ применяет фирма MATSUSHITA. Обозначение состоит из трех букв (VEN или VXP) и четырехзначного номера. Какой-нибудь смысловой нагрузки маркировка не несет, т. е. по ней нельзя определить ни числа головок, ни принадлежности к какому-нибудь типу БВГ или видеомагнитофону.

На ВЦ может находиться от двух до восьми головок (в видеокамерах — девять). Назначение третьей головки — получение чистого, без шумовых полос изображения в режимах СТОП-КАДР и ПОКАДРОВЫЙ ПРОСМОТР. ВЦ с четырьмя головками используют для работы на различных скоростях протяжки ленты, что одновременно обеспечивает чистый СТОП-КАДР в режиме SP. В последнее время ВЦ с четырьмя головками применяют в стереофонических видеоплеерах. ВЦ с пятью головками в видеомагнитофонах устанавливают редко (обычно в односкоростных стереофонических моделях с чистым СТОП-КАДРОМ), но довольно часто в видеокамерах



Таблица 1

Тип ВЦ	Число головок	Модель	Примечания
VXP1722	2	NV-SJ5EU	НЦ — VEG1360(2000 г.)
VXP2125	2	NV-SJ5MK2AM	НЦ — VEG1851 (2002 г.)
VXP1899	4	NV-FJ8AM	Стереo, НЦ — VEG1460
VXP2118	4	NV-FJ8MK2AM	Стереo (2002 г.)
VXP1803	6	NV-HD640EU	Стереo (1999—2001 гг.)
VXP2001	6	NV-FJ762EE	Стереo (2002 г.)

Таблица 2

Модели	Число головок	ВЦ (аналог, изготовитель и др.)
BLAUPUNKT — RTV-910	7	VEN0415 (MATSUSHITA)
BLAUPUNKT — RTV-920	7	VEN0454 (MATSUSHITA)
JVC — HR-D92/530/840/870/910	6	6HD-PDM-2001-8
JVC — HR-D950/960/980	7	7HD-PDM-2137A-2
JVC — HR-S6800EH	7	7HD-PDM-3161
JVC — HR-S6900EE	7	7HD-PDM-3362-03
JVC — HR-D860E	5	6HD-PDM-3207
LG — BH759/762	6	SUB D33-6CH PAL — БВГ в сборе (ВЦ отдельно не выпускают)
MITSUBISHI — HS-M58EE	6	215C47601 (маркировка на ВЦ)
PANASONIC — NV-870/890	6	VEN0288 (VEN0625)
PANASONIC — NV-D80/F65/H75/H77/AG-5150/5250	6	VEN0352
PANASONIC — NV-F55AM	6	VEN0548
PANASONIC — NV-HD90/95/100/F125/AG-5260	6	VEN0601
PANASONIC — NV-FS88/90/100/200/AG-5700	7	VEN0467
PANASONIC — NV-HS800/1000/AG-4700E	7	VEN0651
PANASONIC — NV-F70/51	7	VEN0433 (VEN0415, VEN0730)
PANASONIC — NV-FS100/V8000	7	VEN0454
PANASONIC — AG-7350/7355	7	VEN0437
PANASONIC — NV-W1	8	VEN0499
PANASONIC — AG-8700	8	VEN0687
PANASONIC — NV-HD600EE/750AM	6	VXP1515
PANASONIC — AG-4700EY	7	VXP1561
PANASONIC — NV-HS600B1/HD650AM/750AM	6	VXP1742
PANASONIC — NV-HD650EE	6	VXP1553 (VXP1744)
PANASONIC — AG-4700BY/EE	7	VXP1747
PANASONIC — NV-HD660EG	6	VXP1794
PHILIPS — VR-755/55	6	6HD-PDM-3350-04 (JVC)
SABA — VR6880	6	6HD-PDM-3139 (JVC)
SONY — SLV-800/810/820	6	6HD-DZR-43R (1-550-649-11)
TELEFUNKEN — VCR-3975	6	6HD-PDM-3017 (JVC)

VHS-C. Шесть головок размещают на ВЦ при использовании в двух-трехскоростных стереофонических видеомагнитофонах и видеоплейерах. ВЦ с семью и восемью головками устанавливают в монтажные стереофонические видеомагнитофоны высокого класса.

При замене ВЦ на идентичный фирменный проблем обычно не бывает. На практике же нередко возникают ситуации, когда найти конкретный ВЦ затруднительно или невозможно, а доступны другие ВЦ или отдельные видеоголовки. В этом случае для принятия решения о замене необходимо детально представлять механизм считывания информации при наклонно-строчном способе записи.

Перечислим некоторые важные с ремонтной точки зрения параметры и характеристики видеоголовок и формата VHS. Линейные скорости протяжки ленты в режимах: SP — 23,39 (PAL/SECAM)

и 33,35 мм/с (NTSC); LP — 11,7 мм/с (PAL/SECAM, в системе NTSC этот режим используют очень редко); EP — 7,79 (PAL/SECAM) и 11,12 мм/с (NTSC). Ширина дорожек записи в трех режимах для PAL/SECAM — 49; 24,5; 16,3 мкм и двух для NTSC — 58; 19,3 мкм. Длина рабочих зазоров видеоголовок может быть как равной ширине дорожек записи, так и отличающейся от них. При несовпадении ширины дорожки записи и длины рабочих зазоров видеоголовок на сигналограмме могут появляться межстрочные интервалы. При этом качество изображения в некоторой степени ухудшается.

В идеальном случае головки должны перемещаться строго параллельно дорожкам записи на сигналограмме. Это условие выполнимо только при неизменной и фиксированной скорости протяжки ленты, так как от ее значения зависит угол наклона видеодорожек относительно края ленты. Этот угол изменяется от 5°56'7,4" при неподвижной ленте до 5°58'9,9" при скорости 33,35 мм/с.

Для точной установки угла наклона видеодорожек на заводе-изготовителе юстируют головки по высоте специальными винтами на высокоточном оборудовании. Кроме этого, требуется еще и установка головок по углу и выносу наконечника. В домашних условиях это сделать весьма сложно, но в некоторых случаях возможно.

Конструктивные особенности некоторых БВГ видеомагнитофонов и видеокамер, способы их разборки и сборки, реставрации и ремонта описаны в [2], а информация о применяемости ВЦ с двумя—четырьмя головками фирмы MATSUSHITA и подборе возможных аналогов для замены — в [3]. Речь шла о ВЦ, используемых в видеомагнитофонах, выпущенных примерно до 1998 г. В более современных моделях PANASONIC фирма использует другие ВЦ. Некоторая информация о них представлена в табл. 1.

Видеоплейеры моделей SJ5EU и SJ5MK2AM, FJ8AM и FJ8MK2AM имеют примерно одинаковый внешний вид, однако "начинка" аппаратов MK2AM претерпела довольно много изменений. Например, в части ВЦ и НЦ отличия между моделями SJ5EU и SJ5MK2AM заключаются в следующем. На ВЦ VXP2125 установлены видеоголовки с меньшей длиной зазора (около 16 мкм), так как БВГ предназначен для работы на трех скоростях протяжки ленты (SP, LP, EP), а ВЦ VXP1722 — на двух скоростях (SP, LP, длина зазоров видеоголовок — около 24 мкм). Кроме того, ВЦ VXP1722 имеет более сложную конструкцию ВТ. К его ротору приклеена переходная печатная плата, к тому же закрывающая доступ к видеоголовкам.

Конструктивно отличаются и НЦ. В связи с тем, что в модели MK2 предварительный усилитель находится на главной плате видеомагнитофона, связь усилителя со статором ВТ — НЦ VEG1851 обеспечивается через гибкий кабель и "врубной" разъем. Предусилитель в модели SJ5EU установлен непосредственно на НЦ VEG1360. Поэтому указанные НЦ не эквивалентны.

В [3] была опубликована таблица применимости ВЦ с двумя—четырьмя головками. Сведения о применимости ВЦ с пятью—восемью головками, полученные из разных источников (в основном из рабочих записей автора), помещены в табл. 2.

В связи со значительным снижением цен на простые модели видеомагнитофонов и видеоплейеров и одновременным ростом цен на их запчасти сложный ремонт в некоторых случаях делать нецелесообразно, так как нередко его стоимость соизмерима с ценой нового аппарата соответствующего класса. К сложному ремонту относится и замена ВЦ или БВГ. С многоголовочными видеомагнитофонами ситуация другая. Владельцы такой аппаратуры, заплатившие за нее большую цену, иногда сопоставимую с ценой современных китайских проигрывателей DVD, согласны платить и за ремонт.

Основными проблемами при замене многоголовочных ВЦ можно назвать их дефицитность, небольшой ассортимент на радиорынках и у фирм-дистрибьюторов электронных компонентов, а также довольно высокие цены.

Присоединительные размеры — внешний и внутренний диаметры, высота, глубина посадочного места и др. — у многих ВЦ фирмы MATSUSHITA (PANASONIC) одинаковы. Главное их отличие заключается в разных переходных печатных платах (для тех ВЦ, в которых они использованы). Как уже отмечено [3], в ряде случаев возможна замена дефектного и дефицитного ВЦ на другой, более доступный или дешевый при перестановке переходной печатной платы с дефектного на новый. Число типов переходных печатных плат сравнительно невелико. Применяемость переходных печатных плат в многоголовочных видеомагнитофонах PANASONIC показана в табл. 3 (сведения из рабочих записей автора). Цены на ВЦ указаны по прайс-листу на первое полугодие 2005 г. одного из дистрибьюторов электронных компонентов.

Следует иметь в виду, что практически все эти ВЦ (о других типах речь не идет)



не относятся к "фирменным" (производства MATSUSHITA), а изготовлены неизвестными, неопознанными, фирмами из Юго-Восточной Азии (надпись "Made in JAPAN" на запечатанных коробках не должна вводить в заблуждение), так как "фирменные" ВЦ, приобретаемые через авторизованные центры компании, значительно дороже. Основные особенности не "фирменных" ВЦ следующие. В них установлены только ферритовые видеоголовки (в оригинальных VEN0651/0467/0437/0687/0415 применены аморфные, с наконечниками зеленого цвета), причем с "широкими" наконечниками, т. е. с длиной около 4 мм (в "фирменных" ВЦ используют в основном "узкие" видеоголовки, т. е. с длиной наконечников около 2,5 мм). Кроме того, при изготовлении их не балансируют по массе ("фирменные" ВЦ имеют следы сверления на внутренних частях, улучшающие временную стабильность при вращении БВГ); отсутствует маркировка на обратной стороне ВЦ.

Однако воздействие всех перечисленных отличий может и не повлиять на изображение в том случае, если основные параметры головок близки к норме и они правильно установлены на ВЦ. К сожалению, отклонения параметров головок от нормы могут быть слишком большими, а размещены на ВЦ они могут быть с плохой точностью. Определить это, к сожалению, можно только после установки ВЦ и последующей регулировки видеоманитона. Причем приобретенный плохой ВЦ, возможно, не удастся

Таблица 3

Тип платы	Число выводов ВТ	Применяемость в ВЦ	Цена ВЦ, долл. США
VJB00T07	16	VEN0601, VEN0651	27, 35 (соотв.)
VJB00P32	16	VEN0467	35
VJB00P33	16	VEN0548	29
VJB00E51	12	VEN0352	30
VJB00N36	14	VEN0437	53
VJB00U11	16	VEN0687	125
VJB00K06	16	VEN0415	Нет в прайс-листах
VJB00U75	16	VEN0499	112

заменить на кондиционный, хотя процент некондиционных ВЦ и очень мал (из многих десятков замененных автором ВЦ дефектными оказались единицы).

Рассмотрим методику замены переходных печатных плат шести-семиголовочных ВЦ, ориентируясь на рис. 1 и 2, на которых показаны виды сверху и снизу соответственно "фирменных" ВЦ VEN0467, VEN0352. Нумерация дана для ВЦ VEN0467. VEN0352 выглядит идентично, но стирающая головка и противовес сняты. Цифрами на рис. 1 отмечены: 1 — контактные площадки для подключения выводов ВТ; 2 — контактные площадки для подключения выводов головок; 3 — идентификационный ключ (при установке ВЦ его совмещают с соответствующей меткой на роторе ВТ). На рис. 2 указаны: 1 — видеоголовки; 2 — стирающая головка; 3 — звуковые головки; 4 — следы сверления при балансировке по массе; 5 — "фирменная" маркировка; 6 — противовес.

Рис. 1

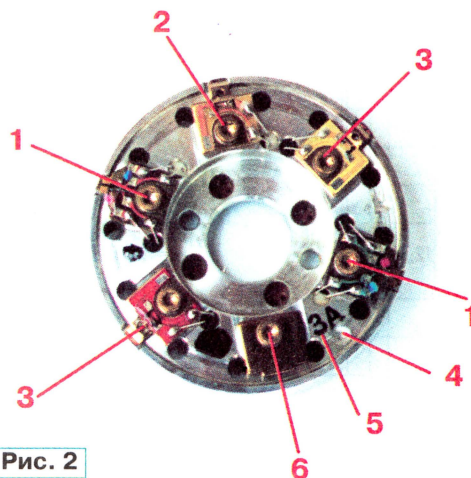


Рис. 2

Порядок операций при замене ВЦ и переходных плат рекомендуется следующий. Сначала отсасывают припой с контактных площадок 1 (рис. 1). Затем обязательно нужно убедиться в отсутствии остатков канифоли и припоя в отверстиях платы, показывая пинцетом выводы ВТ. Если этого не сделать, то при снятии ВЦ можно вытащить и какой-нибудь "прилипший" штырь. Далее вывинчивают два винта крепления ВЦ. При этом жало отвертки должно точно подходить к шлицам винтов. Вывинчивают их при сильном нажатии на отвертку и резким поворотом против часовой стрелки. Иногда винты затянуты очень сильно и при плавном повороте можно повредить их шлицы.

После этого отсасывают припой с контактных площадок 2 дефектного и вновь устанавливаемого ВЦ. При этом тонкой часовой отверткой выпрямляют выводы, которые обычно загнуты.

Затем отмечают рискю на ВЦ положение ключа 3 на плате. Далее вынимают обе переходные платы, меняют их местами, ориентируясь на сделанные риски, и пропаивают контактные площадки 2, не загибая выводов. Устанавливают новый ВЦ на место и пропаивают контактные площадки 1. Винты крепления затягивают постепенно и поочередно, чтобы не перекосить ВЦ. Промывают рабочую поверхность ВЦ.

И наконец, установив кассету с записью по системе PAL или NTSC, сделанную на каком-нибудь другом видеоманитоне, включают воспроизведение.

Если изображение черно-белое, необходимо повернуть ВЦ на 180° по оси, для чего все операции повторяют снова. В практике автора такой поворот потребовался при замене ВЦ VEN0548 на VEN0601 и VEN0415 на VEN0467.

Следует предупредить, что невозможна перестановка печатной платы VJB00D50 с ВЦ VEN0288 на другие ВЦ из-за конструктивных особенностей его ВТ. Кроме того, ВЦ VEN0687, VEN0542, VEN0437 также не могут быть заменены другими ВЦ при перестановке переходных плат, так как они использованы в профессиональных видеоманитонах высокого класса и вряд ли могут попасть в обычные мастерские. Для такой техники существуют специализированные сервисные центры. Также нельзя корректно заменить и ВЦ VEN0499, так как на нем установлены дополнительные головки стандарта NTSC.

## ЛИТЕРАТУРА

1. Петропавловский Ю. Видеотехника формата VHS. Узлы ЛПМ, БВГ — особенности и ремонт. — Радио, 1996, № 6, с. 10—12.
2. Петропавловский Ю. БВГ: характеристики, особенности эксплуатации и ремонта. — Радио, 2003, № 1, с. 7—9.
3. Петропавловский Ю. Особенности и взаимозаменяемость ВЦ БВГ. — Радио, 2004, № 7, с. 13—15.

Редактор — А. Михайлов, иллюстрации — автора



# ГИТС-3

С. РЮМИК, г. Чернигов, Украина

Автор предлагает новый вариант превращения игровой видео-приставки (на этот раз "SEGA Mega Drive-II") в полноценный генератор испытательных телевизионных сигналов (ГИТС), предоставляя к тому же возможность заменять генерируемые им испытательные таблицы на любые, созданные самостоятельно.

Области применения ГИТС в любительской практике — не только настройка и регулировка цветных и черно-белых телевизоров, но и оценка качества кинескопа при покупке телевизора или формирование испытательных таблиц в системе кабельного телевидения.

Известные ГИТС на базе игровой видеоприставки "Dendy" [1, 2] формиру-

ют стандартные наборы испытательных сигналов: цветные полосы, шахматное, сетчатое и точечное поля, а также комплексные испытательные таблицы с окружностью в центре. Но качество этих таблиц ограничено низкой разрешающей способностью формируемого видеоприставками изображения (252×224 пикс.) и малым числом цветовых оттенков.

Основой предлагаемого ГИТС-3 служит игровая видеоприставка "SEGA Mega Drive-II" (MD2), причем может быть использована даже частично неисправная. Допустим выход из строя одного из портов для подключения джойстика, старших разрядов шины адреса (не запускаются игры большого объема), вспомогательных каналов звука (музыка в некоторых играх звучит искаженно).

С помощью специального картриджа, заменяющего обычный игровой, MD2 формирует испытательные изображения разрешением 320×240 пикс. при 512 цветовых оттенках. Выходной сигнал MD2 (системы PAL) может быть подан как на низкочастотный видеовход телевизора, так и через высокочастотный модулятор на его антенное гнездо.

ГИТС-3 генерирует одну базовую и несколько дополнительных испытательных таблиц и тестовых сигналов. Всего их 30, не считая вариантов, различающихся цветом фона и цветовой насыщенностью изображения. Кроме того, предусмотрена возможность проверить звуковой тракт телевизора, читаемость мелкого текста, устойчивость синхронизации разверток и в качестве дополнительной функции — исправность джойстика видеоприставки.

Схема самодельного картриджа с двумя РПЗУ общим объемом 2 Мбит приведена на рис. 1. Его вставляют в слот "Cartridge" MD2, предварительно записав в микросхемы DS1 и DS2 коды управляющей программы для микропроцессора MC68000, которым оснащена MD2. Микросхема DS1 содержит четные, а DS2 — нечетные байты 16-разрядных программных кодов. Соответственно выходы первой из них подключены к восьми младшим, а второй — к восьми старшим разрядам шины данных картриджа.

Коды "прошивок" микросхем DS1 и DS2 указанного на схеме типа, а также аналогичных микросхем фирм Winbond (W28C011A, W29EE011) и Silicon Storage Technology (SST29EE010) приведены соответственно в файлах G010DS1.bin и G010DS2.bin. При отсутствии программатора для записи информации в РПЗУ можно воспользоваться методикой, изложенной в [3].

Если не удалось найти микросхемы FLASH РПЗУ информационной емкостью 1 Мбит, можно использовать и аналогичные вдвое меньшей емкости (AT29C512, W29EE512). Коды для них находятся в файлах G512DS1.bin и G512DS2.bin.

При необходимости FLASH РПЗУ вполне можно заменить эквивалентными им РПЗУ с УФ стиранием 27512, 27C512, 27010, 27C010 производства различных фирм.

Напряжение питания 5 В поступает на микросхемы DS1, DS2 из видеоприставки, конденсатор C1 — блокировочный.

Съемные перемычки S1 и S2 позволяют перевести одну или обе микросхемы РПЗУ в пассивное состояние. Это бывает необходимо, например, для программирования микросхем в составе картриджа. Для нормальной работы картриджа с видеоприставкой обе перемычки должны находиться

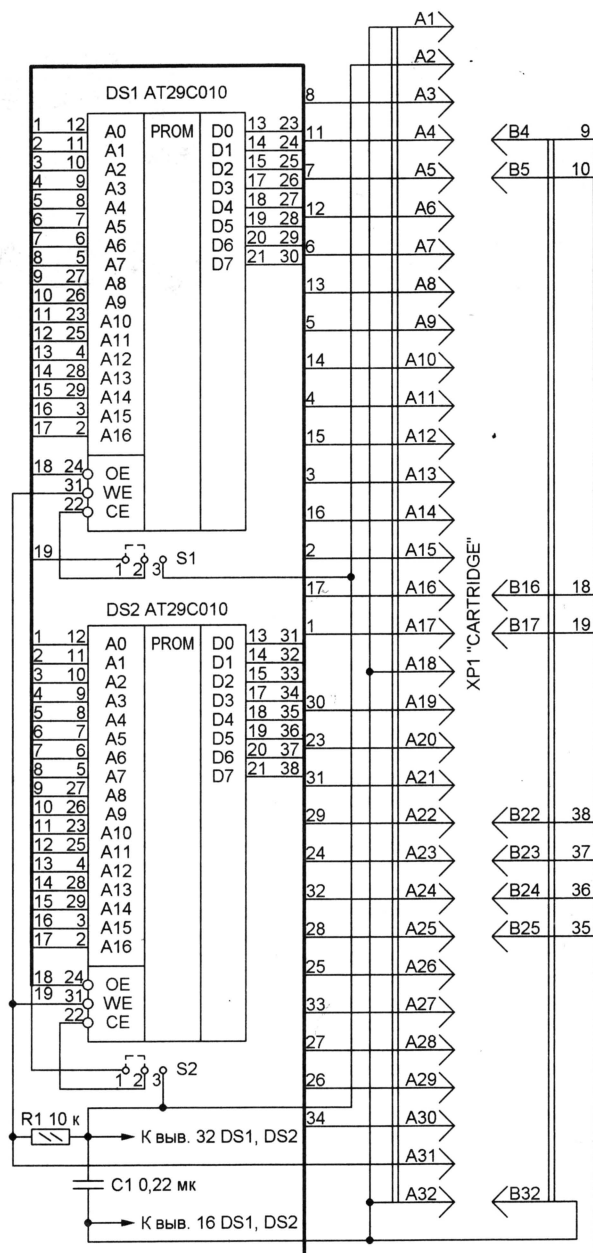


Рис. 1



Если не представляется возможным изготовить печатную плату с необходимой точностью, возьмите готовую из любого неисправного картриджа для видеоприставки MD2. С такой платы удаляют все элементы и закрепляют на ней вспомогательную плату с микросхемами DS1 и DS2. Выводы микросхем соединяют согласно схеме отрезками тонкого монтажного провода, например, МГТФ-0,07 с контактами уже имеющейся печатной вилки.

### Работа с ГИТС-3

После включения видеоприставки MD2 с установленным картриджем ГИТС-3 на экран телевизора будет выведено меню, изображенное на рис. 3. Его пункты выбирают с помощью джойстика видеоприставки, им же

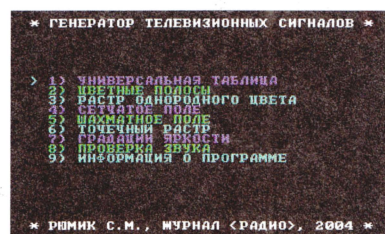


Рис. 3

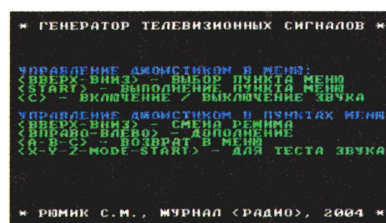


Рис. 4

подают все другие команды управления. Назначение кнопок приведено на рис. 4. Этот справочный текст появится на экране, если выбрать в меню пункт 9.

Пункт 1 меню позволяет выбрать одну из шести испытательных таблиц, показанных на рис. 5, а—е. Это аналоги таблиц УЭИТ, EIA Resolution Chart, испытательного генератора Philips, IBA & BREMA (BBC), ИТМ-06-98 и ИТ-08-03. Последние две разработаны Всероссийским НИИ телевидения и радиовещания (ВНИИТР). Описание генерируемых таблиц можно найти в Интернете по адресам <<http://www.vniitr.ru/products/tables/>> и <[http://www.stereo.ru/whatiswhat.php?article\\_id=59](http://www.stereo.ru/whatiswhat.php?article_id=59)>. Учтите, если в картридже установлены микросхемы информационной емкостью 512 Кбит, выбор таблиц ограничен первыми двумя.

Выбирая пункты 2—7 меню можно получить изображения цветных полос, геометрических сеток и полей (рис. 5, ж—н). В каждом случае имеется несколько вариантов и разновидностей тест-сигналов. Режим периодической смены черного и белого полей в пункте 3 используют для проверки устойчивос-

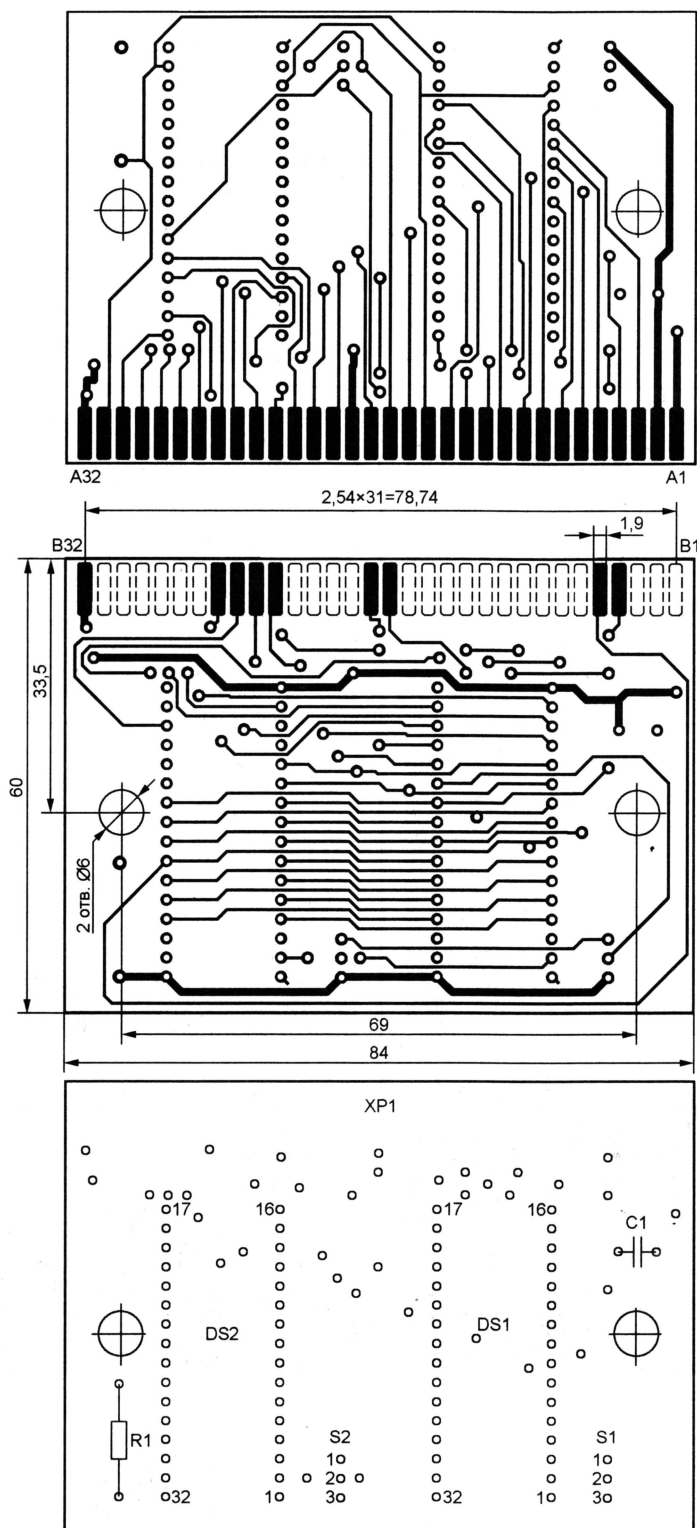


Рис. 2

в положениях, показанных на схеме. Если в картридж будут установлены уже запрограммированные микросхемы, перепрограммирование которых не предвидится, перемычки можно исключить, соединив входы СЕ микросхем непосредственно с конт. В17 вилки XP1.

Печатную плату картриджа (рис. 2) делают из двусторонне фольгированно-

го стеклотекстолита толщиной 1 мм. Главное, точно выдержать шаг печатных контактов вилки XP1 (2,54 мм). Ширину изготовленной платы нужно подогнать так, чтобы она свободно, но с минимальным зазором входила в слот видеоприставки. Два отверстия диаметром 6 мм необходимы для крепления платы в стандартном корпусе картриджа.



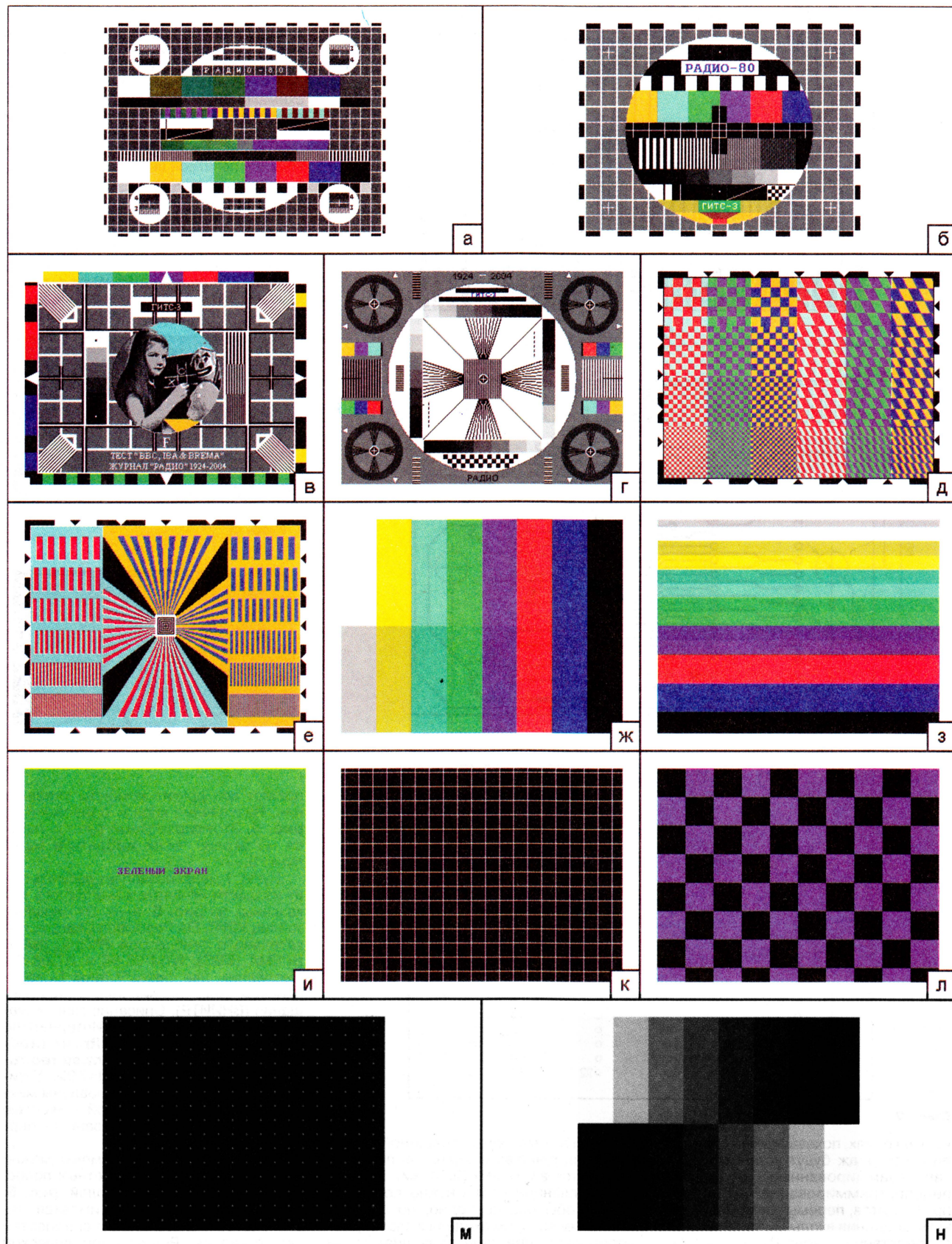


Рис. 5



ти синхронизации кадровой и строчной разверток.

Пункт 8 предназначен для проверки звукового тракта телевизора. При нажатии на любую кнопку джойстика происходит генерация звуковых сигналов разной тональности. Предусмотрено звучание с постоянной частотой и ее

джойстика) контакты 1, 2 и 9 того же разъема. Этим будут имитированы нажатия кнопок UP, DOWN и START соответственно.

### Как создать собственную испытательную таблицу

Нарисуйте с помощью любого растрового графического редактора ее цветное изображение размерами 320×240 пикс. при 16 цветовых оттенках в формате RGB. Если имеется готовое изображение, преобразуйте его параметры к указанным значениям. Сохраните изображение в файле формата BMP, например, ris1.bmp. Далее необходимо преобразовать его в формат, воспринимаемый видеоприставкой. Для этого нужна программа ImaGenesis, которая находится в Интернете по адресу <http://devster.retrodev.com/sega/imagenesis/imagenesis3000.zip>. Запустив ее, выполните команды **File — Open Image** (указав имя файла с преобразуемым изображением) и **Action — Quantize Now**. Сохраните результат в файле ris1.bin, выполнив команду **Action — ExportData — Save Tiles**. Вернитесь на закладку **Action — ExportData** и перепишите на лист бумаги выведенные на экран 16 групп по 4 символа в каждой, определяющих цветовую палитру.

Поместите файл ris1.bin, файлы прошивок РПЗУ G010DS1.bin, G010DS2.bin (или G512DS1.bin, G512DS2.bin) в одну папку и добавьте туда же файл программы gits3.exe. Запустив программу, введите в ответ на выводимые на экран подсказки 16 записанных ранее групп символов. В текущей папке будет создан новый файл gits3.bin (он предназ-

начен для просмотра программы с помощью эмулятора видеоприставки), а также файлы G010DS11.bin, G010DS22.bin (или G512DS11.bin, G512DS22.bin) для программирования РПЗУ. Остается запрограммировать их и увидеть результат своего труда на экране телевизора. Новая таблица займет место, показанное на рис. 5, б.

В микросхемах РПЗУ информационной емкостью 1 Мбит можно аналогичным образом заменить таблицы, показанные на рис. 5, в—е. Для этого нужно подготовить и обработать программой gits3.exe файлы с названиями соответственно ris2.bin—ris5.bin. Неизменной всегда остается таблица, изображенная на рис. 5, а.

### ЛИТЕРАТУРА

1. **Рюмик С.** "Dendy" — генератор испытательных телевизионных сигналов. — Радио, 2001, № 8, с. 26—28.
2. **Рюмик С.** "Dendy" — генератор испытательных телевизионных сигналов. Новая версия. — Радио, 2002, № 10, с. 29—32.
3. **Рюмик С.** Как запрограммировать FLASH РПЗУ. — Радио, 2005, № 7, с. 32.

**От редакции.** Файлы прошивок РПЗУ и программа gits3 находятся на редакционном FTP-сервере по адресу <ftp://ftp.radio.ru/pub/2005/08/gits3.zip>. В этом же архиве имеется файл проекта печатной платы картриджа в формате PCAD2001.

Редактор — А. Долгий, графика — А. Долгий

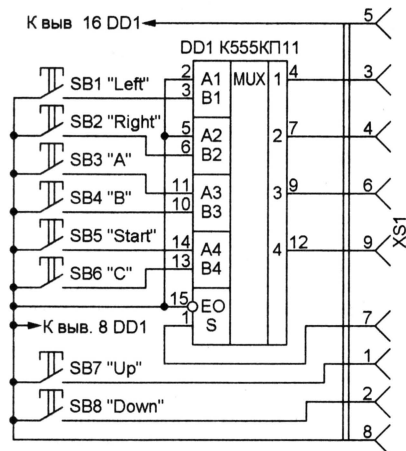


Рис. 6

лавное изменение (глиссандо). Помимо основного назначения этот тест пригодится для проверки исправности трех- и шестикнопочных джойстиков.

Для работы с ГИТС-3 можно изготовить имитатор джойстика по схеме, показанной на рис. 6. В крайнем случае можно обойтись вообще без джойстика, замыкая на общий провод (конт. 8 разъема видеоприставки для подключения

## ОБМЕН ОПЫТОМ

### Проверка пультов ДУ

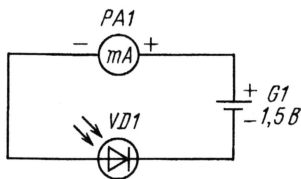
**В. НЕБОЛЬСИН, г. Чита**

Иногда, как в быту, так и в профессиональных мастерских, возникает потребность проверить на работоспособность ИК пульт дистанционного управления бытовой техникой. В связи с этим предлагается одно из очень простых решений такой проблемы.

Для проверки понадобится стрелочный миллиамперметр, который нетрудно найти в старых отечественных магнитофонах — обычно служит индикатором уровня записи. Подойдет любой прибор, например М6850Т. Кроме того, нужен любой фотодиод, например ФД263. Если подсоединить к миллиамперметру фотодиод (катодом к плюсовому выводу), направить на фотодиод ИК излучение пульта, например, от телевизора, и нажимать его кнопки, то стрелка миллиамперметра будет отклоняться при нажатии каждой кнопки.

Так можно проверить на работоспособность пульт и каждую его кнопку. Если

при нажатии всех кнопок поочередно стрелка прибора ни разу не отклонилась, пульт неисправен, а если стрелка не отклонилась при нажатии лишь од-



ной или нескольких кнопок, то цепи этих кнопок неисправны.

Если покажется, что стрелка миллиамперметра отклоняется недостаточно, то в цепь можно добавить источник питания — один элемент (1,5 В), как показано на рисунке.

Редактор — А. Михайлов, графика — Ю. Андреев





ВЫШЕЛ ИЗ ПЕЧАТИ СПРАВОЧНИК

Ежов В.Б., Черельман В.Л.  
**ОТЕЧЕСТВЕННЫЕ  
 ПОЛУПРОВОДНИКОВЫЕ  
 ПРИБОРЫ И ЗАРУБЕЖНЫЕ  
 АНАЛОГИ**



В справочник включены данные по основным электрическим параметрам и другим характеристикам на более чем 4000 типов полупроводниковых

приборов: транзисторов, диодов, стабилитронов, тиристоров, варикапов, излучателей, оптопар, индикаторов и преобразователей Холла, выпущенных заводами России и стран бывшего СССР.

Данная книга отличается от других справочных изданий тем, что в нем в сжатой и удобной для использования форме представлена полная информация об электрических и предельных эксплуатационных параметрах, температурном рабочем диапазоне и габаритных размерах полупроводниковых приборов.

Справочная информация существенно дополнена по сравнению с предыдущим изданием.

Отечественным приборам сопоставлены их зарубежные аналоги.

Справочник будет полезен инженерно-техническим работникам, связанным с проектированием, эксплуатацией и ремонтом радиоэлектронной аппаратуры, студентам и широкому кругу радиолюбителей.

Наложенным платежом справочник можно приобрести в агентстве "ДЕССИ"  
 107113, г. Москва, а/я 10 "Посылторг"  
 E-mail: post@dessy.ru

Издательство "НТЦ Микротех" предлагает большой выбор литературы по электронике и программированию  
 Приглашаем к сотрудничеству авторов!

Адрес издательства:  
 105187, г. Москва, ул. Щербаковская, д. 53  
 тел. 961-53-05, факс 366-24-48 доб. 7-35  
 E-mail: microtech2004@yandex.ru

# Трехканальный УМЗЧ для автомобиля

В. ГОРЕВ, г. Кондопога, Карелия

**В статье описан трехканальный УМЗЧ с выходной мощностью около 60 Вт на канал для фронтальных громкоговорителей и 150 Вт для сабвуфера. В единой конструкции усилители и кроссовер объединены с блоком преобразователя напряжения бортовой сети.**

**Схема и конструкция платы могут быть использованы при изготовлении дополнительных усилителей для домашнего театра, хотя в этом случае блок сетевого питания (импульсный либо классический) лучше смонтировать отдельно.**

Для высококачественного пятиканального варианта воспроизведения звука в движущемся автомобиле необходима выходная мощность УМЗЧ не менее 50 Вт на канал для фронтальных громкоговорителей, не менее 20 Вт для тыловых громкоговорителей и 100 Вт для сабвуфера. Магнитолы или CD-ресиверы, продаваемые в магазинах, обычно выдают мощность до 15 Вт (до 20 Вт при работающем двигателе), обеспечивая необходимый запас мощности для громкоговорителей средней чувствительности только на стоянке. Таким образом, автор посчитал необходимым дополнить головное устройство внешним усилителем для фронтальных громкоговорителей и сабвуфера, а "тылы" обеспечит УМЗЧ магнитолы.

Усилитель мощности имеет три канала: два — для стереосигналов и один — для сигналов НЧ в полосе рабочих частот пассивного сабвуфера. Для обеспечения требуемой выходной мощности при питании от источника напряжения 12...14 В применен преобразователь напряжения.

Максимальная выходная мощность УМЗЧ канала НЧ достигает 175 Вт, максимальная выходная мощность каждого из двух каналов УМЗЧ — 75 Вт. Оба эти значения достижимы на нагрузке 4 Ом при коэффициенте гармоник не более 1 %. При номинальной мощности коэффициент гармоник УМЗЧ значительно меньше: не более 0,01 % — для двух каналов на микросхемах TDA7294 при мощности 60 Вт и не более 0,1 % — в канале для сабвуфера при мощности 150 Вт.

Напряжение питания для нормальной работы блока преобразования напряжения должно быть в интервале 11...16 В. Потребляемый преобразователем ток в покое (без сигнала) не превышает 1 А. При максимальной выходной мощности всех каналов ток потребления от аккумулятора достигает 40 А!

Размеры блока, конструктивно объединяющего усилители и преобразователь напряжения, — 290×153×63 мм, его масса — 2,3 кг.

**Усилитель.** Схема трехканального усилителя мощности приведена на рис. 1. Два канала УМЗЧ для фронтальных громкоговорителей выполнены на микросхемах TDA7294. Двухполярное напряжение питания выбрано равным 2×28 В, достаточное при работе усилителя на нагрузку сопротивлением 4 Ом. При нагрузке сопротивлением

8 Ом напряжение питания следует повысить до 2×35 В либо все три УМЗЧ подключить к двухполярному источнику напряжения 2×38 В; это упростит схему преобразователя. На входе стереоканалов есть отключаемые фильтры ВЧ с частотой среза 100 Гц, выполненные на операционных усилителях DA5, DA6. Фильтр нужен для исключения перегрузки встроенных громкоговорителей сигналами низкой частоты, на которые они не рассчитаны. При необходимости фильтр отключают переключателем S2. Из двухполярного напряжения +28 и -28 В на выходах стабилизаторов DA7 и DA8 (соответственно серии 7815 и 7915) получается напряжение +15 и -15 В для питания предварительного усилителя и фильтров.

Для канала сабвуфера пришлось отказаться от применения микросхем TDA7294, так как головка 75ГДН-1 самодельного сабвуфера имела сопротивление 4 Ом. Выходная же мощность требуется не менее 150 Вт, одна микросхема такую мощность не обеспечит. Микросхемы TDA7294 в мостовом включении [1] требуют нагрузку не менее 8 Ом. Для тех, кто располагает головкой сабвуфера сопротивлением 8 Ом, можно рекомендовать применение микросхем TDA7294 в мостовом включении с питанием от двухполярного источника напряжения 2×28 В.

Усилитель выполнен на базе известной схемы [2] на транзисторах серий КТ825, КТ827. Лучшей заменой составных выходных транзисторов, по мнению автора, является пара 2SA1302—2SC3281 (Toshiba) вместе с парой КТ850—КТ851. Однако для сабвуферного канала не требуется усилителя с коэффициентом гармоник в тысячные доли процента, поэтому в оконечной ступени вполне пригодны транзисторы серий КТ8101, КТ8102.

Напряжение питания для достижения требуемой мощности выбрано двухполярным 2×38 В. Это потребовало применения дополнительной обмотки на трансформаторе, дополнительных выпрямителя и фильтра в блоке питания.

На входе канала НЧ установлен выполненный на микросхеме DA4 фильтр, срезающий частоты выше 120 Гц. Перестройки фильтра не предусмотрено, частоту среза подбирают под конкретную акустическую систему. Для изменения частоты среза можно установить переключатель на 2—3 положения, коммутирующий соответствующие RC-цепи.



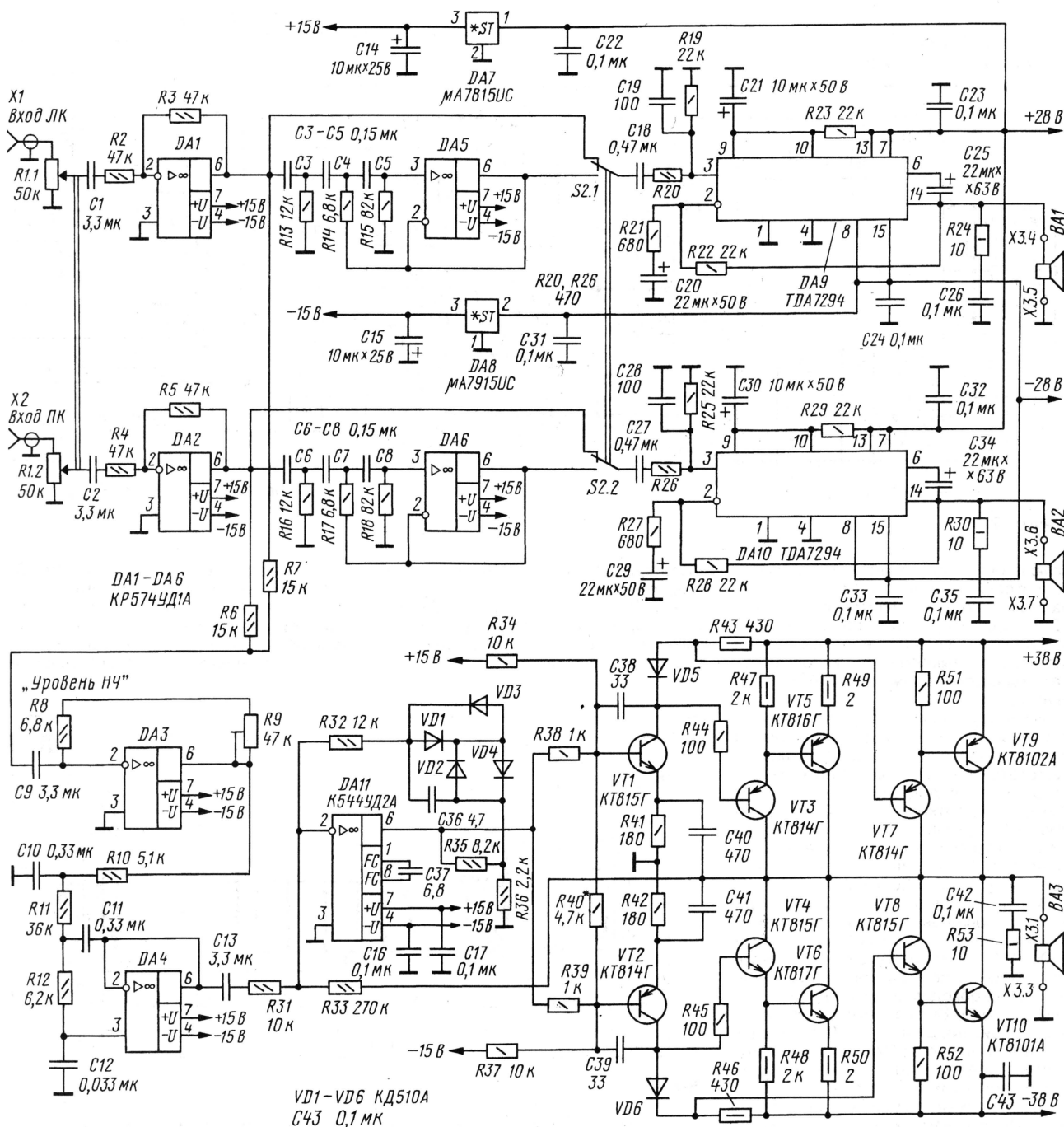


Рис. 1

Усилитель не имеет на выходе защиты громкоговорителей от попадания на них постоянного напряжения. Поэтому, если в громкоговорителе дорогостоящая головка, то усилитель полезно дополнить соответствующим устройством защиты.

**Преобразователь.** Самой ответственной частью конструкции этого усилителя является преобразователь напряжения; его схема приведена на рис. 2. Он выполнен по схеме двухтактного каскада с трансформатором. В качестве силовых элементов применены переключаемые МОП транзисторы. Схема управления со стабилизацией выходного

напряжения выполнена на микросхеме ШИ регулятора TL494, обратная связь по напряжению заведена только с плюсовых выводов источников питания, стабилизация минусовых источников осуществляется косвенным путем. Точность поддержания напряжения плюсовых источников в несколько раз выше, чем минусовых. Для более точного поддержания напряжения на всех выходах преобразователя можно поставить компенсационный дроссель (такой установлен во всех БП компьютеров). Дроссель включают сразу после диодов выпрямителя, он должен иметь четыре обмотки (по числу выходов напряжения). Многие

"фирменные" усилители вообще не имеют стабилизации выходного напряжения преобразователя.

Кроме применения в преобразователе полевых транзисторов IRFZ44 (по два в параллель), можно рекомендовать и другие транзисторы: IRF1010, IRFZ48, IRFP150, IRFZ46. При их выборе целесообразно ориентироваться на приборы с минимальным сопротивлением сток-исток.

Преобразователь подключается к аккумулятору контактами реле (на ток до 30 А) по сигналу от магнитолы. Такой выход имеется в большинстве магнитол, он служит для выдвижения антенн,



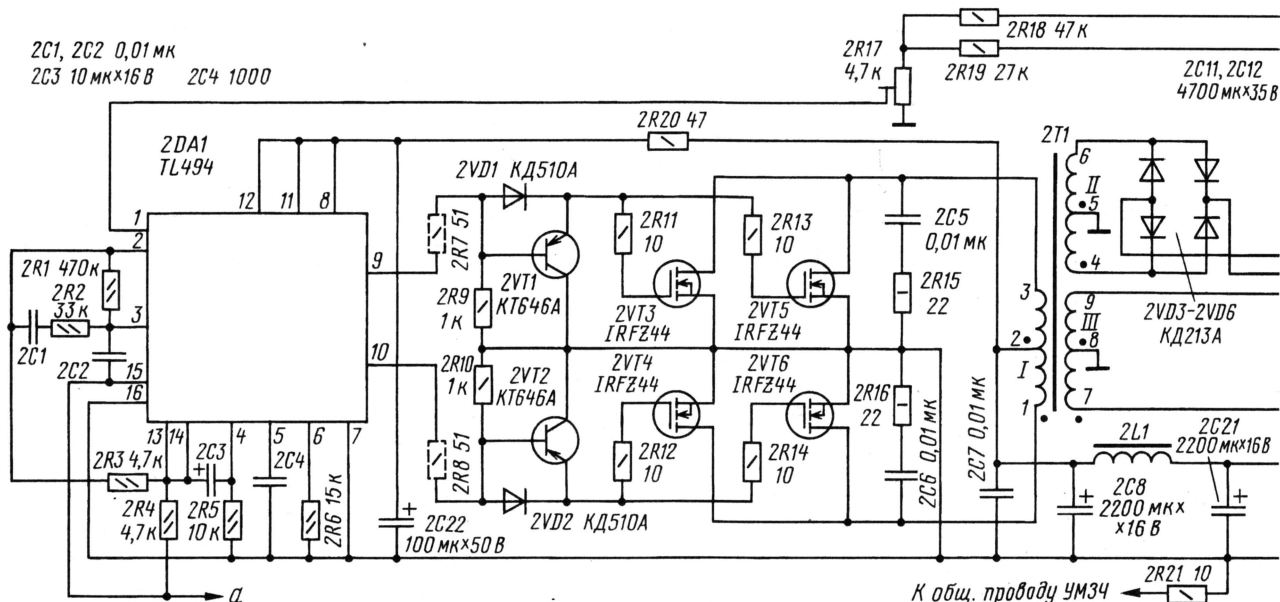


Рис. 2

включения активных антенн и внешних усилителей. При включении магнитолы на этом выходе появляется напряжение 12 В. При отсутствии такого выхода можно установить на передней панели автомобиля выключатель, который будет подавать напряжение 12 В на реле включения.

На входе инвертора установлен П-образный LC-фильтр для подавления помех. Дроссель фильтра 2L1 можно намотать на отрезке ферритового стержня проводом ПЭВ-2 диаметром 2 мм, число витков — 10—20. Хороший дроссель получается на обломке феррита от строчного трансформатора телевизора. В его магнитопроводе использован феррит 2000НМС1.

Магнитопровод трансформатора 2T1 образован двумя сложенными вместе кольцами К42×28×10 из феррита 2000НМ1. Обмотки лучше наматывать жгутом из нескольких тонких проводов (набрав необходимое сечение), чем одним толстым. Выбрав имеющийся провод, например, диаметром 0,8 мм, рассчитываем число проводов обмотки исходя из среднего тока 20 А. Если принять допустимую плотность тока 5 А/мм<sup>2</sup>, получим жгут из восьми проводов. Перед намоткой острые грани ферритовых колец обязательно нужно закруглить.

Технология намотки следующая. Набирают жгут из 16 проводов необходимой длины и наматывают первичную обмотку, стараясь распределить обмотку равномерно по кольцу. "Прозвонкой" разделяют жгут пополам, начало одной половины соединяем с концом другой. Вторичную обмотку наматываем аналогично. Число витков первичной обмотки — 2×6, обмотки II — 2×16, обмотки III — 2×22 витка.

Диоды выпрямителя обязательно должны быть высокочастотными (например, КД213А, КД2997), еще лучше диоды Шотки. В описываемой конструкции диоды КД213А установлены на

плате без теплоотвода и при максимальной нагрузке нагреваются не очень сильно, так как режим максимальной нагрузки бывает кратковременным. В иных случаях эти диоды следует установить на теплоотвод.

платы в корпусе, приведен на рис. 3. Все мощные транзисторы, интегральные стабилизаторы и микросхемы ТДА7294 прикреплены через изолирующие прокладки из слюды к промежуточным алюминиевым панелям толщиной

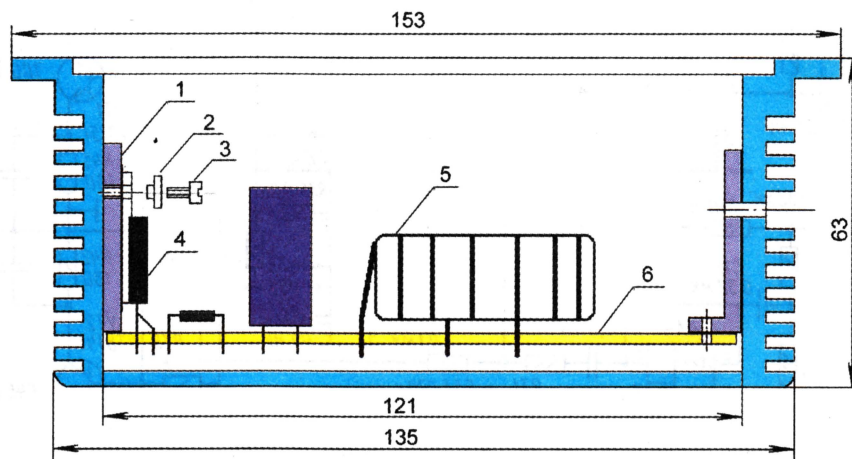


Рис. 3

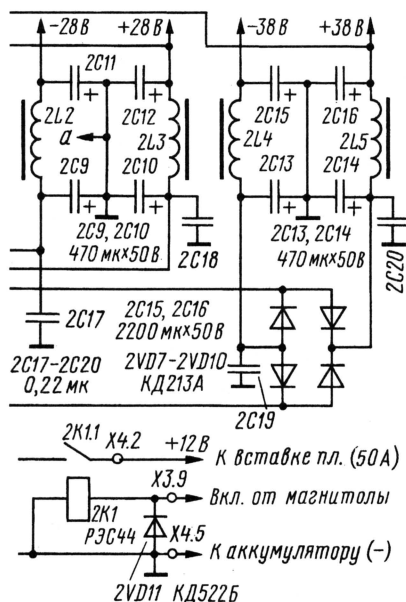
На выходе преобразователя установлены помехоподавляющие LC-фильтры. Дроссели фильтров 2L2—2L5 можно намотать на отрезках ферритовых стержней диаметром 6 мм проводом ПЭВ-2 0,8, число витков — 20. Емкости конденсаторов на выходах 4700 мкФ и 2200 мкФ вполне достаточны, так как фильтрация происходит на высокой частоте, их можно уменьшить, но не более чем в два раза.

**Конструкция.** Усилитель и преобразователь смонтированы на одной печатной плате из односторонне фольгированного стеклотекстолита толщиной 2 мм и размерами 280×120 мм. Плата установлена в алюминиевом П-образном корпусе сложной формы с ребрами. Чертеж, поясняющий размещение

6 мм, которые крепятся болтами к корпусу (с применением теплопроводящей пасты). Поэтому, отвернув всего несколько болтов М5, плату с панелями можно легко снять с корпуса. Винты, крепящие микросхемы и транзисторы к пластине, не должны выступать за ее плоскость. Для устойчивости к влаге смонтированную печатную плату желательно покрыть лаком (СБ-1с, УР-231 или другим).

Корпус анодирован, а снаружи еще и окрашен. Торцы закрыты пластинами из алюминия толщиной 2 мм, которые прикреплены непосредственно к плате. На одной из пластин смонтированы входные разъемы и сделаны отверстия по ручке переключателя и регулятора громкости. На фото рис. 4 представлен





внешний вид конструкции и монтажа основных компонентов блока усилителя.

**Налаживание** каждого из каналов усилителя целесообразно проводить отдельно, подключив его к внешнему лабораторному блоку питания с регулируемым выходным напряжением. Если блок питания не имеет защиты от короткого замыкания, то первое включение каждого из каналов УМЗЧ следует проводить, подключив его к источнику напряжения через два резистора сопротивлением по 20...50 Ом. Таким образом, можно сохранить оконечные транзисторы от выхода из строя при ошибках в монтаже.

В усилителях на микросхемах TDA7294 убеждаемся в отсутствии на выходе постоянного напряжения, проверяем ток покоя. Подавая на вход сигнал от генератора ЗЧ, проверяем сигнал на выходе с помощью осциллографа. В усилителе канала НЧ также убеждаемся в отсутствии на выходе постоянного напряжения, оно может быть в пределах плюс-минус нескольких милливольт. Резистором R40 выставляем ток покоя оконечных транзисторов VT9, VT10 должен быть равен нулю. Подавая на вход сигнал от генератора НЧ, проверяем сигнал на выходе с помощью осциллографа, доводя его до ограничения. После этого резисторы можно заменить перемычками. Выходную мощность усилителя измеряем,

подключив на выход резистор ПЭВ мощностью 25—50 Вт сопротивлением 4 Ом, помещенный в банку с водой для лучшего охлаждения.

Налаживание преобразователя рекомендуется начинать до установки (пайки) переключательных транзисторов или исключив подачу питания на трансформатор. Проверив работу микросхемы TL494, следует подать напряжение питания около 14 В на трансформатор через мощную лампу накаливания на 12 В (60 Вт). Только полностью отладив работу преобразователя с небольшой нагрузкой, лампу можно заменить на предохранитель. Это позволит сберечь мощные транзисторы от выхода из строя при возможных ошибках. Для налаживания преобразователя нужно иметь мощный блок питания с выходным напряжением 12...14 В на максимальный ток до 20 А или автомобильный аккумулятор. Окончательное налаживание блока (в части достижения равномерной АЧХ) производят в автомобиле.

**Рекомендации по размещению усилителя.** Обычно усилитель монтируют в багажнике автомобиля, хотя его можно расположить и в другом месте,

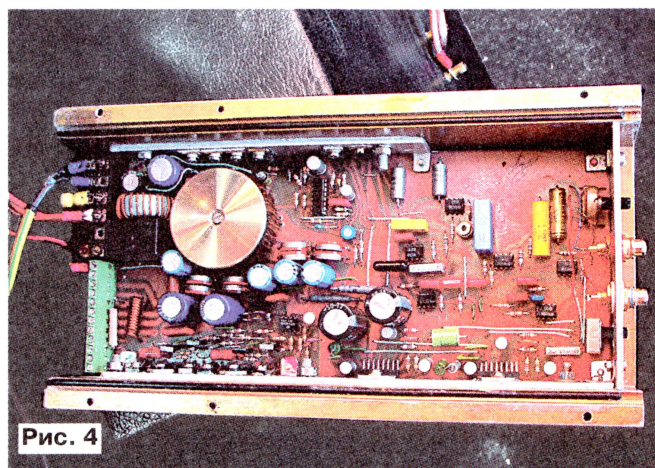


Рис. 4

например, под сиденьем водителя. Так как усилитель потребляет ток до 40 А, то для подключения к аккумулятору необходимы медные провода сечением не менее 10 мм<sup>2</sup>. Плюсевой провод питания подключают к плюсовой клемме аккумулятора через предохранитель на 50 А. Нужно стремиться, чтобы провод от держателя предохранителя до клеммы был как можно короче. Провод минусовой цепи питания также прокладывают до аккумулятора или подключают к корпусу автомобиля в ближайшей точке. Сигнальные экранированные провода от магнитолы прокладывают по полу автомобиля под ковром.

#### ЛИТЕРАТУРА

1. Документация компании STMicroelectronics на микросхему TDA7294. — <<http://www.st.com>>.
2. Вильчинский В. Усилитель мощности с блоком питания. — Радио, 1990, № 5, с. 52—55.

Редактор — А. Соколов, графика — автор, Ю. Андреев, фото — автора



### Силовые полупроводниковые ключи: семейства, характеристики, применение

Даже самые современные типы силовых ключей только приближаются к понятию идеальности, скрывая тонкие моменты в режимах своей работы. Поэтому по-прежнему актуальной остается задача грамотного применения ключевых приборов в схемах силовой электроники с учетом их взаимного влияния и это до сих пор можно отнести к разряду искусства. Настоящая книга отвечает на большинство вопросов, которые могут возникнуть у специалистов, занимающихся разработкой силовых схем и применением мощных ключевых приборов.

В книге рассмотрены особенности применения ключей в силовых схемах. Представлена эволюция развития семейств мощных ключевых приборов. Приведены базовые структуры полупроводниковых ключей, их характеристики, методы управления и защиты. Рассмотрены особенности их применения в устройствах энергетической электроники. В приложениях к книге дана подробная справочная информация от большинства известных производителей силовых полупроводниковых приборов.

Во втором издании существенно переработан раздел, представляющий самые современные достижения в области разработки силовых ключей. В книгу включен материал по созданию перспективных ключевых приборов на основе карбида кремния. Обновлены приложения, представляющие справочные данные по силовым ключам. Исправлены опечатки и неточности, обнаруженные в первом издании.

Для специалистов, занимающихся применением полупроводниковых ключей, и разработчиков силовых схем.

#### Торговля технической литературой

**ОТ 35 издательств  
БОЛЕЕ 1300 наименований**

#### Заказать книги можно:

- на сайте: [www.dodexa.ru](http://www.dodexa.ru)
- по e-mail: [books@dodexa.ru](mailto:books@dodexa.ru)
- по почте: 105318, Москва, а/я 70
- по тел./факсу: (095) 366-8145, 366-2429, 366-0922, 366-1155



На территории РФ Вы можете получить бесплатный аннотированный каталог и всю литературу по почте наложенным платежом

Воронин В.А.

М.: Издательский дом «Додэка-ХИ», 2005, 384 с.



П. МИХАЙЛОВ (RV3ACC), г. Москва

## РОССИЯ

**МОСКВА.** Комиссия по радиочастотам под председательством министра информационных технологий и связи России приняла решение о выделении полос радиочастот для вещания цифрового телевидения. "Рабочими для телевидения 21-го века в России станут частоты 174...230 и 470...862 МГц. Вещать на них будут в стандарте DVB, на который уже переходит Европа", — подчеркивают в Мининформсвязи. В настоящее время Федеральному агентству связи поручено организовать работу по разработке методики оценки электромагнитной совместимости и условий совместного использования радиоэлектронных средств цифрового и аналогового вещания. Полностью перейти на "цифру" Мининформсвязи планирует, как известно, к 2015 г. Принципиальным моментом для "смены всей идеологии" телевидения будет обеспечение телевизоров специальными приемником-декодером. В связи с проблемами столь масштабного перехода поступающие на рынок в ближайшее десятилетие телевизоры будут оснащаться как цифровыми, так и аналоговыми модулями.

**МОСКВА.** Здесь начали ретрансляцию программ Русской службы радиостанции "Свобода" через "Радио-1 Центр" (частота — 68,3 МГц). Передачи ведут ежедневно, с 02.00 до 20.00.

**МОСКВА.** Дирекция радиостанции "Культура" намерена регулярно организовывать "радиомосты" с городами, в которых уже вещает или планирует начать вещание эта станция. В настоящее время активно формируется постоянная аудитория станции, а в сетке вещания появляются новые проекты и программы — к примеру, дискуссии на актуальные культурологические темы, программа об альтернативной культуре с акустическими выступлениями, ток-шоу с профессионалами в области культуры и науки...

**САНКТ-ПЕТЕРБУРГ.** Вышло в регулярный эфир "Дорожное радио" (частота — 87,5 МГц). Новый проект, реализуемый ИТАР-ТАСС, предусматривает создание целой сети станций, которые будут вещать вдоль автодорог Северо-Запада и смежных регионов России. В проекте также участвуют ГИБДД (ГАИ) и МЧС. Особенность проекта: все передатчики, работающие на различных частотах диапазона УКВ-2 (FM), объединены в единую сеть системой "RDS", позволяющей водителю непрерывно принимать эту станцию на протяжении всего пути. Основную программу "Дорожного радио" транслируют из Петербурга, а региональным станциям выделены эфирные "окна" для местных новостей. При этом не менее трети эфирного времени отводится на тематическую информацию: о дорогах, транспорте и т. п. Музыкальная программа рассчитана на поклонников классической эстрады прошлых лет.

**МУРМАНСКАЯ ОБЛ.** Здесь заработало "Кольское Саамское радио". Реализация проекта началась еще в 2003 г.; его

инициаторами выступили Союз саамов стран региона Баренцева моря и саамские радиостанции Швеции, Норвегии и Финляндии. Станция размещена в поселке Ловозеро, где проживает более половины российских саамов. Всего в Мурманской области их около двух тысяч человек. Сейчас "Саамское радио" вещает на национальном языке три раза в неделю по 10 минут. Пока его могут слушать только жители села Ловозеро. Однако планируют, что в скором будущем "Саамское радио" станет расширять вещание в диапазоне УКВ-2, и тогда его программы на национальном языке смогут услышать представители коренных народов, проживающие и в других населенных пунктах Кольского полуострова.

## РОССИЯ/ВЕЛИКОБРИТАНИЯ

Российская государственная радиовещательная компания "Голос России" вышла во внутреннем эфире Великобритании с программой "Русский час в Лондоне". Вещание ведется ежедневно на волне английской радиостанции "Spectrum" с 13.00 до 14.00, частота — 558 кГц. Эти передачи можно принимать в Лондоне и его окрестностях, а также в режиме "Real radio" в Интернете на сайте радиостанции "Spectrum". Кроме того, в таком же режиме "Русский час в Лондоне" можно слушать и на сайте радиокomпании "Голос России" ([www.vor.ru](http://www.vor.ru)). Программа включает информационные блоки (новости и комментарии), программы о самых заметных событиях в области культуры на текущий день, а также интервью с видными деятелями политики и культуры, передачи ведут в жанре ток-шоу. Кроме того, звучит классическая, джазовая и русская фольклорная музыка.

## ЗАРУБЕЖНЫЕ СТРАНЫ

**ВЕЛИКОБРИТАНИЯ.** "Short Wave Radio Africa" на английском языке продолжает работать на коротких волнах с 17.00 до 18.00 на частоте 15145 кГц через 250-киловаттный передатчик в Вувертоне.

**ЗАМБИЯ.** Радиостанция "Christian Voice" на английском языке вещает через 100-киловаттный передатчик с направленной антенной в Лусаке: с 06.00 до 16.00 — на частоте 9865 кГц; с 16.00 до 06.00 — на частоте 4965 кГц.

**КУБА.** Передачи радиостанции "Гавана Куба" на английском языке в направлении Центральной Америки с 23.00 до 02.00 очень хорошо слышны в Европе на новой частоте — 12000 кГц. Параллельно в это же время используют частоту 9550 кГц.

**УКРАИНА.** В Киеве на частоте 67,28 МГц начала круглосуточное вещание новая музыкальная духовно-просветительская радиостанция "Эммануил". В ее программах участвуют известные ученые Украины: социологи, психологи, медики, историки, физики, биологи, богословы и др. Интернет-адрес станции: [www.invincity.org](http://www.invincity.org).

**США/УЗБЕКИСТАН.** Радиостанция "Голос Америки" возобновила передачи на узбекском языке. Вещание ведут ежедневно с 15.00 до 15.30 на частотах

11515, 11780 и 15390 кГц, а также в Интернете по адресу: [www.voanews.com/real/voa/sca/uzbe/uzbe1500a.ram](http://www.voanews.com/real/voa/sca/uzbe/uzbe1500a.ram). В недалеком будущем ожидается также выход станции в эфир на средних волнах и в диапазоне FM.

**США.** В Сан-Франциско запущена первая радиостанция для MP3-плееров. Радиостанция "KYCU" (1550 кГц) стала первой в мире, полностью перешедшей на нетрадиционный формат вещания, получивший название "podcasting" (смесь слов "Broadcasting" — вещание, и названия популярного плеера — "Apple iPod"). Термин "podcasting", в первую очередь, означает передачу аудиофайлов в формате MP3, которые могут автоматически загружаться из Интернета плеерами, подобными "iPod". Распространение этого типа вещания началось в сентябре прошлого года и с тех пор продолжает развиваться. Программы "KYCU" мало отличаются от продукта традиционных радиостанций, но имеют существенное преимущество — слушатели "KYCU" не могут пропустить любимую передачу, потому что у нее просто нет определенного времени выхода в эфир. Любое шоу и запись после появления в архиве новой радиостанции могут быть загружены и прослушаны когда угодно. С конца прошлого года "podcast"-вещание начали многие радиостанции во всем мире, однако еще никто не переходил на него полностью и не отказывался от традиционного эфира.

## ОБНОВЛЕННЫЕ РАСПИСАНИЯ

**ЕГИПЕТ.** Радиостанция "Каир" на русском языке работает с 18.00 до 19.00 на частоте 7120 кГц.

**СЕРБИЯ И ЧЕРНОГОРИЯ.** Радиостанция "Сербия и Черногория" вещает на русском языке из Белграда: с 15.00 до 15.28 — на частоте 11870 кГц; с 18.00 до 18.28 — на частоте 6100 кГц.

**СЛОВАКИЯ.** Радиостанция "Словакия" ведет передачи на русском языке: с 13.00 до 13.27 — на частотах 9440 и 11990 кГц; с 15.00 до 15.27 — на частотах 9535 и 11715 кГц; с 17.30 до 17.57 — на частотах 5920 и 9485 кГц.

**ТУРЦИЯ.** Радиостанция "Голос Турции" вещает на русском языке в эфире: с 13.00 до 14.00 — на частоте 13720 кГц; с 17.00 до 18.00 — на частоте 9675 кГц.

**ФИЛИППИНЫ.** Радиостанция "Veritas Asia" из Манилы передает на русском языке: с 01.30 до 02.27 — на частоте 17830 кГц; с 15.00 до 15.57 — на частоте 9685 кГц (без изменений).

**ЧЕХИЯ.** Радиостанция "Прага" передает на русском языке: с 04.00 до 04.27 — на частотах 9445 и 11600 кГц; с 11.30 до 11.57 — на частотах 11615 и 15710 кГц; с 14.30 до 14.57 — на частотах 9415 и 13580 кГц; с 18.00 до 18.27 — на частоте 7390 кГц.

**ЧЕХИЯ/РОССИЯ/БЕЛОРУССИЯ.** Радиостанция "Свобода" работает: с 15.00 до 16.00 на русском языке — на частоте 9520 кГц (вместо 9725 кГц); с 15.00 до 17.00 на белорусском языке — на частоте 9725 кГц (вместо 9565 кГц); с 16.00 до 17.00 на русском языке — на частоте 9565 кГц (вместо 9725 кГц).

## Хорошего приема и 73!

Редактор — В. Поляков



# Измерение частоты приема

В. СТЕПАНОВ, г. Полтава, Украина

Подавляющее большинство радиоприемников в последние годы оснащаются цифровыми шкалами. Эти шкалы представляют собой электронно-счетные частотомеры, измеряющие частоту гетеродина. В частотомер введена поправка, уменьшающая или увеличивающая показания на значение промежуточной частоты, так как частота гетеродина отличается от частоты принимаемого сигнала на промежуточную частоту. В результате получаем цифровую индикацию с точностью, достаточной для настройки радиоприемника или ориентировочной оценки частоты приема, так как полоса пропускания ФПЧ допускает некоторую ошибку в настройке.

Для обеспечения такой точности необходимо иметь эталонный сигнал на 1—2 порядка выше по точности установкой частоты. Для этой цели можно использовать сигналы радиовещательных передающих станций.

Выделение сигнала радиовещательной станции для точного измерения его частоты возможно с любого супергетеродинного радиоприемника. Способ восстановления исходной частоты предложен советским инженером Юзвинским В. И. Для этого в супергетеродинный приемник следует ввести второй преобразователь частоты, на который подать сигналы гетеродина и промежуточной частоты (рис. 1). В результате частота одного из продуктов преобразования будет точно равна частоте принимаемой радиостанции.

В диапазонах длинных и средних волн частота гетеродина всегда выше частоты приема, следовательно, для измерения необходимо разностная частота. Для этой цели можно применить смеситель на

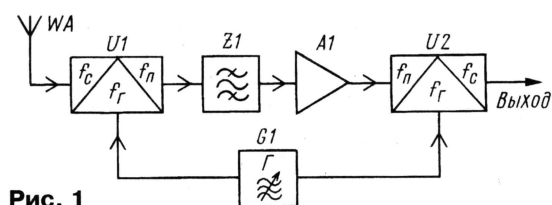


Рис. 1

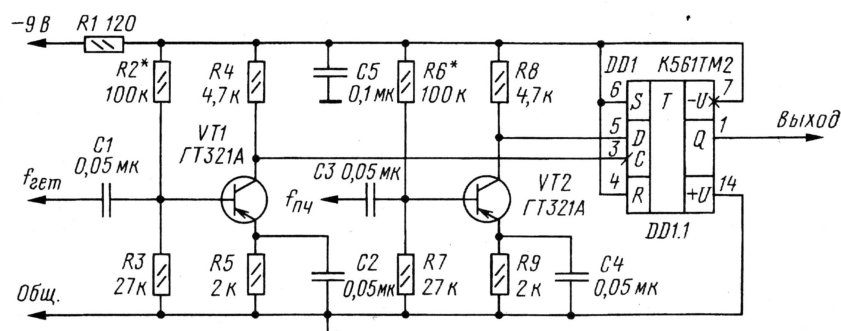


Рис. 2

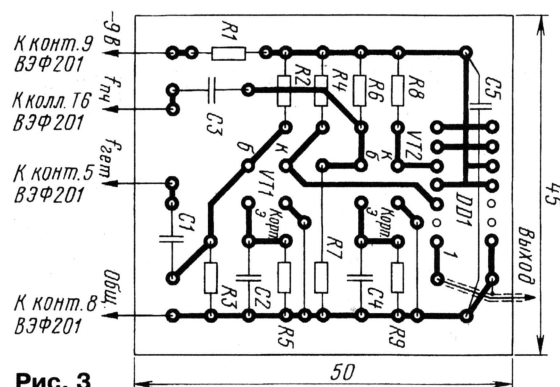


Рис. 3

В радиолубительской практике бывает необходимость иметь сигнал эталонной частоты. Например, генераторы кварцевых калибраторов и цифровых частотомеров должны иметь точность установки, соизмеримую со стабильно-

стью D-триггера, так как на его выходе образуется только разностная частота в виде последовательности импульсов с уровнями, соответствующими типу примененной логики. Фильтр на выходе такого смесителя не нужен.

Принципиальная схема приставки к радиовещательному приемнику изображена на рис. 2. Она состоит из усилителя-ограничителя сигнала гетеродина на транзисторе VT1, усилителя-ограничителя сигнала промежуточной частоты на транзисторе VT2 и смесителя на одном триггере микросхемы DD1. Ограничение происходит за счет насыщения транзисторов. С выхода смесителя сигнал поступает на частотомер для измерения. Питание приставки осуществляется от приемника через фильтр R1C5. Приставка смонтирована на печатной плате из односторонне фольгированного стеклотекстолита толщиной 1,5 мм. Чертеж печатной платы показан на рис. 3. В устройстве применены резисторы МЛТ-0,25, можно установить любые малогабаритные. Конденсаторы C1—C4 — К10-7В, подойдут КД, КМ, КЛС и др., подходящие по габаритам. Конденсатор C5 — БМ. В рабочем макете все конденсаторы были установлены БМ, а замены — для уменьшения габаритов приставки.

Транзисторы структуры p-n-p выбраны только потому, что на них построено радиоприемник ВЭФ-201, для которого приставка и была собрана. Могут быть применены любые транзисторы малой мощности, работающие в диапазонах средних и высоких частот: ГТ308, ГТ309, ГТ322, П401, П402, П403, КТ361 с любыми буквенными индексами. Можно применить и транзисторы структуры n-p-n, но при этом потребуются изменить полярность питания каскадов на транзисторах VT1 и VT2.

Режимы транзисторов устанавливаются автоматически, однако, если напряжение на коллекторах значительно отличается от половины напряжения питания, его можно изменить подбором резисторов R2 для VT1 и R6 для VT2.

Собранная приставка помещена в корпус фильтра промежуточной частоты от телевизора УНТ47-59. Размещена она со стороны УПЧ радиоприемника ВЭФ-201. Корпус фильтра соединен с общим проводом приемника. Соединительный проводник от конденсатора C3 приставки к выходу УПЧ приемника должен быть минимально возможной длины. На выходе смесителя действует большой сигнал, его амплитуда практически равна напряжению питания радиоприемника, а частота — частоте приема. Поэтому, во избежание нежелательной связи, выход приставки необходимо соединить с частотомером посредством экранированного провода или коаксиального кабеля. Ввести его в экран следует через отверстие для подстройки фильтра со стороны микросхемы DD1 и припаять центральный проводник к контактной площадке вывода 1, а оплетку — у вывода 14.

Работа приставки была проверена с радиоприемником ВЭФ-201 и самодельным частотомером в диапазоне длинных волн. В Полтаве на ДВ удовлетворительно принимаются две радиостанции, "Голос России" и первая программа Украинского радио, 171 и 207 кГц. Частотомер устойчиво фиксировал значения частот радиостанций.

Редактор — В. Поляков, графика — Ю. Андреев



# Цифровой вольтметр для лабораторного БП

В. БОЧАРНИКОВ, г. Камышин Волгоградской обл.

В статье представлен вариант конструкции цифрового вольтметра на основе микросхемы АЦП ICL7107. Применение импульсного стабилизатора расширило интервал допустимых значений питающего напряжения до 40...60 В. Этот вольтметр как контрольный измеритель напряжения пригоден для встраивания в лабораторные блоки питания или иные узлы контроля.

Цифровой вольтметр разработан как узел лабораторного блока питания, но он может быть использован и как отдельный прибор для измерения и отображения напряжения в любых устройствах, имеющих общий провод для питания и измеряемого напряжения. Собранный из доступных деталей с минимальным числом дополнительных элементов, он легко может быть повторен даже начинающим радиолюбителем. Малые размеры позволяют встраивать его в уже имеющиеся конструкции, а удобство восприятия с лихвой окупает все затраты на его изготовление.

ставе блока питания, минимальное выходное напряжение которого выше 2 В, этими недостатками можно пренебречь.

Схема устройства приведена на рис. 1. Кроме стандартных цепей интегратора (элементы C2, C3, R6) и задающего генератора (C5, R5), при однополярном включении микросхемы требуется внешний стабилизатор образцового напряжения  $U_{ref}$ , подаваемого на вывод 36 микросхемы DD1. Его функцию выполняет узел на элементах R1, VT1, VT2, создающий стабильное напряжение 0,55...0,6 В; резистор R1 ограничивает ток через стабилизатор на уровне

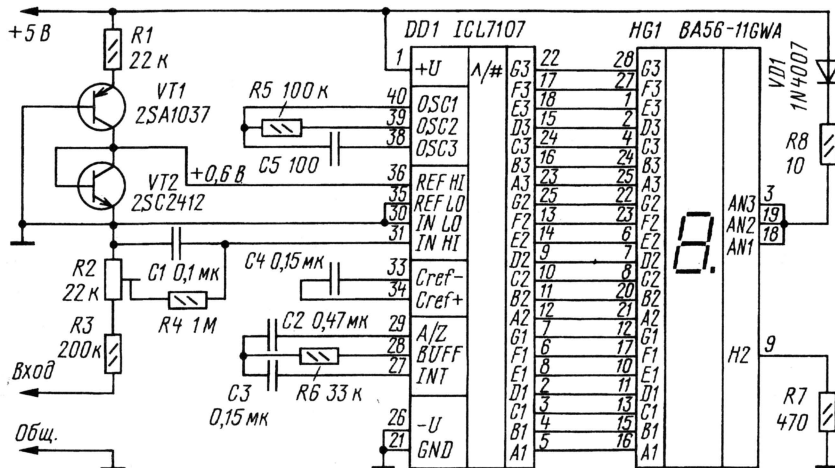


Рис. 1

Основой измерителя стала специализированная микросхема фирмы MAXIM ICL7107 (отечественный аналог — КР572ПВ2), представляющая собой АЦП с узлом управления светодиодным индикатором на  $3\frac{1}{2}$  разряда с общим анодом [1]. Схема включения несколько отличается от стандартной с двуполярным или батарейным питанием; здесь используется только одно напряжение +5 В, причем источник питания и источник измеряемого напряжения имеют один общий провод. Главное достоинство такого включения — возможность легкой интеграции в практически любые устройства, где необходим контроль напряжения. К недостаткам устройства следует отнести невозможность измерения напряжения отрицательной полярности и ухудшение линейности измерения при входном напряжении, близком к нулю. Но при использовании измерителя в со-

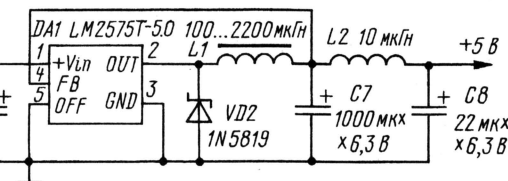


Рис. 2

0,2 мА. Впрочем, образцовое напряжение может быть любым в интервале 0,1...1 В; следует только выбрать соответствующие номиналы резисторов входного делителя R2R3 в соответствии с интервалом допустимых значений входного напряжения. Измеряемое напряжение поступает на входной делитель, элементы которого рассчитывают так, чтобы его максимальное выходное напряжение несколько превышало наибольшее допустимое напряжение на измерительном входе IN HI микросхемы

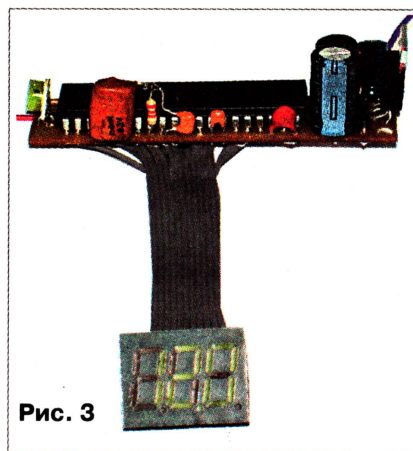


Рис. 3

DD1, определяемое как  $U_{ref} \times 2 [1]$  (в авторском варианте, соответственно, 1,2 В).

Для отображения измеренного значения напряжения использован трехразрядный индикатор HG1. Такой выбор обоснован тем, что интервал измеряемых напряжений превышает 20 В и выход четвертого разряда при этом не используется. Если же входное напряжение не будет превышать 19,9 В, то можно повысить точность измерения, добавив еще один разряд или отказавшись от использования младшего разряда, в котором всегда присутствует некоторая ошибка. Резистор R7 зажигает необходимую десятичную точку во втором разряде индикатора. Цепь VD1R8 способствует снижению потребляемой (в том числе и рассеиваемой корпусом микросхемы DD1) мощности.

В цепи питания АЦП в авторском варианте вольтметра введен импульсный стабилизатор напряжения 5 В, схема которого показана на рис. 2. Выбранная для него микросхема LM2575T-5.0 фирмы National Semiconductor предназначена для построения импульсных стабилизаторов понижающего типа с минимальным набором дополнительных элементов [2]. Такой выбор обоснован тем, что для питания вольтметра использовано напряжение с выхода диодного моста блока питания (около 30 В), и применение линейного стабилизатора 7805 недопустимо из-за ограничений по максимальному входному напряжению (20 В). При более низких напряжениях допускается применение стабилизатора 7805, но его необходимо установить на теплоотвод, соответствующий рассеиваемой мощности. Устройство потребляет от источника 5 В ток около 80 мА при всех активных сегментах индикатора — на этот ток и надо ориентироваться при расчете рассеиваемой стабилизатором мощности.

Устройство собрано на печатной плате из одностороннего фольгированного стеклотекстолита; индикатор вынесен на переднюю панель устройства (см. фото на рис. 3) и соединен с платой гибким кабелем. Столь малых размеров удалось достичь благодаря использованию компонентов для поверхностного монтажа. Чертеж печатной платы и расположение деталей устройства приведены на рис. 4.



В случае повторения авторской конструкции сборку и налаживание устройства рекомендуется производить в следующем порядке. Вначале устанавливаются на плату детали стабилизатора 5 В и источника 0,6 В и проверяют их работоспособность. Затем устанавливают микросхему АЦП с соответствующими цепями, подключают индикатор и убеждаются в наличии показаний "000" на нем. В случае отсутствия показаний необходимо проверить наличие генерации на выводах 38, 39 и 40 микросхемы DD1, затем подать напряжение 5 В на вывод 37. Если при этом все разряды индикатора зажались (т. е. на индикаторе должны появиться "888" или "1888" в случае использования четырехразрядного индикатора), то имеет место замыкание или утечка в цепях интегратора (выводы 27—29), узле образцового напряжения (выводы 35, 36) или вывода 32 (обратите внимание, вывод 32 Analog Common никуда не подключен!).

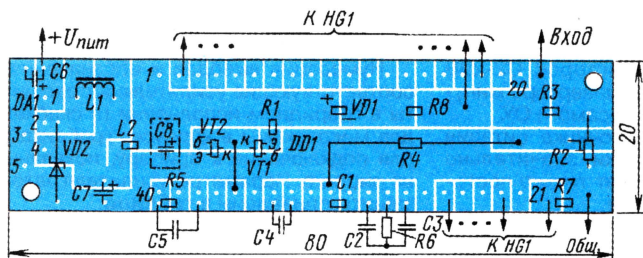


Рис. 4

Добившись нулевых показаний индикатора, подают на вход известное напряжение и резистором R2 устанавливают соответствующие показания на индикаторе. Если этого сделать невозможно, наиболее вероятны несоответствие номиналов резисторов входного делителя или неисправность деталей интегратора C3, R6. К конденсатору C3 предъявляются повышенные требования по качеству диэлектрика, так как от него во многом зависит погрешность преобразования и температурная стабильность показаний.

Если при калибровке устройства замечена нелинейность преобразования (т. е. на верхнем пределе измеряемого напряжения показания соответствуют истине, а на нижнем заметно занижены или завышены, то вместо резистора R6 следует временно подключить переменный резистор номиналом 100—150 кОм и попытаться им выровнять характеристику преобразователя. Согласно [1], сопротивление этого резистора должно быть равно 47...470 кОм при емкости конденсатора C3 0,22 мкФ. В авторском варианте наилучшая линейность была достигнута при номинале резистора R6 в 33 кОм. После регулировки заменяют переменный резистор на постоянный соответствующего номинала.

В устройстве использованы постоянные резисторы для поверхностного монтажа, типоразмера 1206 (подойдут любые имеющиеся), кроме R4 и R6 — они МЛТ-0,125 (выбор обусловлен особенностями монтажа); подстроечный резистор R2 — желательно многооборотный (при использовании обычного — откры-

той конструкции — его резистивную поверхность желательно обработать любым доступным средством для очистки контактов). Конденсаторы C1, C2, C4, C5 — импортные керамические многослойные, подойдут также КМ-5, КМ-6. Конденсатор C3 должен быть с высококачественным диэлектриком (из групп K71—K73) [3]. Из отечественных можно использовать серию K73-16, в худшем случае K73-8 или подобные. Оксидные конденсаторы C6, C7 — импортные с низким значением ESR, например, Jamicon LP (конденсатор C7 желательно зашунтировать керамическим емкостью 2...4 мкФ), C8 — танталовый для поверхностного монтажа.

Диод VD2 — любой Шоттки с обратным напряжением не менее 30 В или любой импульсный с временем рассасывания менее 0,2 мкс. Дроссели L1 и L2 использованы стандартные: L2 — для поверхностного монтажа; L1 — RCH-895 производства фирмы Sumida (интервал возможных значений ее индуктивности, согласно [4], весьма широк — 100...2200 мкГн и при малых токах нагрузки особой роли не играет, поэтому при самостоятельном изготовлении дросселя на кольцо K10×4×2 из феррита (например, M1000HM) следует намотать 30—40 витков провода ПЭВ-2 0,2 или использовать стандартный дроссель ДП подходящей индуктивности).

В качестве индикатора можно применить любой трехразрядный светодиодный индикатор с общим анодом и разделенными выводами сегментов разных знаменностей (т. е. рассчитанный на статическую индикацию — автор использовал индикатор от старого компьютера PC/AT) либо три одноразрядных индикатора, например, распространенный и недорогой BS-A514RD фирмы Bright LED или аналогичные.

Авторский вариант вольтметра смонтирован внутри блока питания так, что боковая металлическая стенка выполняет роль теплоотвода для микросхемы DA1 (ее корпус соединен с общим проводом, вывод 3). При монтаже микросхемы в корпусе TO-220 следует учитывать, что при напряжении питания стабилизатора более 20 В ее следует установить на теплоотвод площадью не менее 30 см² (при меньшем напряжении он не требуется). Максимально допустимое входное напряжение для LM2575T-5.0 ограничено 40 В, но ее версия с суффиксом HV позволяет использовать для питания устройства напряжение до 60 В.

## ЛИТЕРАТУРА

1. <[www.maxim.com](http://www.maxim.com)>.
2. <[www.national.com](http://www.national.com)>.
3. Конденсаторы. Справочник. /И. И. Четвертков и др. /— М.: Радио и связь, 1993.
4. <[www.sumida.com](http://www.sumida.com)>.

Редактор — А. Соколов,  
графика — Ю. Андреев, фото — автора

Т. Ратхор

## Цифровые измерения. Методы и схемотехника

376 стр. Цена 275 руб.



Учебник-монография посвящен описанию современных методов и приборов цифровой измерительной техники. Подробно рассмотрены все возможные способы измерения частоты, временных интервалов, отношений сигналов, которые являются основополагающими для всех остальных цифровых методов. Особое внимание уделено аналого-цифровым и цифро-аналоговым преобразованиям.

М. Вернер

## Основы кодирования

288 стр. Цена 115 руб.



Книга будет чрезвычайно полезна специалистам по связи, осваивающим новую цифровую технику телекоммуникационных и компьютерных сетей, инженерам и программистам.

Я. Ричардсон

## Видеокодирование. H.264 и MPEG-4 - стандарты нового поколения

368 стр. Цена 225 руб.



Руководство для разработчиков телекоммуникационных систем и программистов, связанных с внедрением новых технологий в областях цифрового телевидения, "видео-по-запросу" в сети Интернет и хранения видеoinформации на DVD.

Цены включают стоимость почтовой доставки по России.

### Книги можно заказать

- по почте: 125319, г. Москва, а/я 594

- по e-mail: [sales@technosphera.ru](mailto:sales@technosphera.ru)  
[knigi@technosphera.ru](mailto:knigi@technosphera.ru)

Не забудьте указать свой почтовый адрес!

Наиболее полную информацию  
Вы найдете на сайте

[www.technosphera.ru](http://www.technosphera.ru)



# Ремонт комбинированного прибора 43101

П. МАРТЫНЧУК, г. Житомир, Украина

**При нарушении порядка работы с подобным прибором, по неосторожности измеряя напряжение сети в режиме омметра или амперметра, автомат защиты отключает прибор. Однако нередко резисторы шунта, электронный преобразователь или гибридная микросхема автомата защиты выходят из строя и прибор требует ремонта. Замена этой микросхемы усложняет ремонт, так как в настоящее время ее уже не производят. Поэтому автор рекомендует изготовить модуль, выполненный по той же схеме, но на дискретных элементах.**

Одним из массовых приборов, представителем серий Ц4352-М1, Ц4353, Ц4342-М1 [1] и других, выпускаемых Житомирским ПО (ныне ОАО) "Электроизмеритель" в конце 80-х годов, был аналоговый электроизмерительный комбинированный прибор 43101.

Значительный парк этих приборов находится до настоящего времени в пользовании у радиолюбителей благодаря хорошим техническим и метрологическим характеристикам: диапазонам измерения, классу точности, линейной шкале на переменном токе, частотному диапазону измеряемого тока и напряжения, потреблению от источника питания и от измеряемой цепи (входному сопротивлению вольтметра и падению напряжения на шунте при измерении тока).

Указанные выше приборы выпускаются в настоящее время; они внесены в Госреестры России, Украины, Белоруссии и сертифицированы в системе ГОСТ Р с техническими характеристиками приборов можно ознакомиться на вебсайте ОАО "Электроизмеритель".

Таковыми характеристиками прибор обладает потому, что для измерения на переменном токе и при измерении сопротивления постоянному току в нем применен электронный преобразователь, выполненный на микромощном операционном усилителе (ОУ) К140УД1208. Его питание осуществляется от источника напряжением 3,7...4,7 В (плюсовой полярности) — электрохимических элементов типа А6 (А316) и инвертора на микросхеме К561ЛА7 с удвоением напряжения (минусовой полярности).

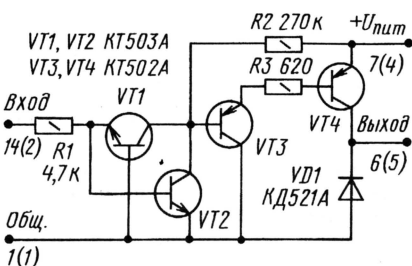
Такое построение схемы, относящееся к приборам выпуска 1988 г. и позже, упрощает коммутацию прибора в части контроля источника питания, совмещения с измерительной цепью постоянно тока, уменьшает зависимость ОУ от дрейфа нуля и перекоса напряжения питания.

Прибор выдерживает кратковременные 20-кратные перегрузки по току и напряжению (но не более 50 А и 2 кВ) при наличии источника питания напряжением не ниже 3,7 В, который необходим также для питания усилителя автомата защиты от электрических перегрузок.

При снижении напряжения батареи источника питания менее 3,7 В стрелка прибора в режиме переменного тока

или омметра "зашкаливает" вправо и срабатывает реле защиты. В этом случае необходимо заменить электрохимические элементы источника питания. В случае исправного источника питания выход стрелки за пределы шкалы при включении на переменном токе или омметра свидетельствует об обрыве или выходе из строя резисторов С2-29В шунта, неисправности инвертора минусового напряжения или самого ОУ.

При отсутствии источника питания допустимые перегрузки значительно ниже и прибор измеряет только постоянный ток и напряжение.



Показатели, параметры	Значение
Напряжение питания, $U_{пит}$ , В	3,7...4,7
Максимальное входное напряжение, В	10
Ток нагрузки, мА, при $U_{вх} = \pm 0,53$ В, $U_{пит. мин} = 3,7$ В, $R_n = 94$ Ом, не менее	30
Ток утечки на входе при $U_{вх} = \pm 0,2$ В, $U_{пит. макс} = 5$ В, мкА, не более	1,5
Ток потребления при $U_{пит. макс} = 5$ В, $R_n = 94$ Ом, мА, не более	0,05

Как показала практика, очень часто при нарушении порядка работы с комбинированным прибором, например, измеряя по неосторожности напряжения сети прибором в режиме омметра или амперметра, когда перегрузки превышают допустимые в десятки раз, устройство защиты отключало измерительный узел, но элементы входной цепи, в частности резисторы шунта, электронный преобразователь (микросхемы К140УД1208 и К561ЛА7) и микросхема усилителя автозащиты КМП203УП1 (КМП201УП1А), выходили из строя и прибор требовал ремонта.

Эта же микросхема автозащиты, применяемая и в других упомянутых в начале статьи приборах, также очень часто выходит из строя при включении

омметра в сеть, так как перегрузки при этом выше допустимых.

Если при ремонте замена микросхем К140УД1208 и К561ЛА7 не вызывает затруднений, то замена микросхемы КМП203УП1 (КМП201УП1А) усложняет ремонт тем, что такую микросхему, разработанную специально для автозащиты, не всегда можно найти в продаже, а теперь она уже снята с производства.

С целью замены указанной микросхемы защиты можно рекомендовать модуль [2], выполненный по аналогичной схеме на дискретных элементах, как показано на рисунке. При этом характеристики узла защиты практически такие же, как и в гибридном исполнении. Модуль советую выполнить на отдельной плате и соединить с платой прибора, предварительно механически закрепив его на стойке или жестких проводниках. Отдельную плату, монтаж которой можно выполнить навесным или печатным способом, проще установить в прибор — ведь микросхема автозащиты в разные годы выпускалась в различных корпусах.

Нумерация выводов и обозначения, соответствующие усилителю автозащиты в гибридном исполнении (в скобках для микросхемы в корпусе "гребенка") для подключения к прибору, показаны на рисунке. Параметры усилителя автозащиты приведены в таблице.

## ЛИТЕРАТУРА

1. Старостин О. Приборы электроизмерительные комбинированные. — Радио, 1991, № 9, с. 50—55.
2. Мартычук П. П. Усилитель автозащиты электроизмерительных комбинированных приборов. — Автоматика, связь, информатика, 2000, № 3.

Редактор — А. Соколов, графика — автора



# Как переписать DVD на жесткий диск

И. КУЗНЕЦОВ, Н. КУЗНЕЦОВ, г. Новосибирск

**Обладатели мультимедийного персонального компьютера с приводом DVD-ROM имеют возможность смотреть записанные на DVD кинофильмы. Хотя самостоятельное тиражирование и распространение таких фильмов запрещено, на случай повреждения или утраты оригинального диска вполне допустимо сохранить на жестком диске компьютера копию фильма исключительно для личного пользования. Предлагаемая статья раскрывает технологию процесса переписи.**

Типичный кинофильм, записанный на DVD в формате MPEG-2, имеет информационный объем 4...8 Гбайт. Чтобы не занимать столько памяти на жестком диске компьютера, информацию нужно сжать, преобразовав ее, например, в формат MPEG-4. Это позволит сократить объем кинофильма в несколько раз при незначительной потере исходного качества.

Сегодня имеется много компьютерных программ для такого преобразования. Они используют для обработки видеoinформации различные кодеки (алгоритмы сжатия и распаковки), чаще всего DivX и XviD. Ниже будет рассмотрена работа с кодеком DivX. Аудиоинформацию обычно сжимают кодеком MPEG Layer-3. Результат преобразования сохраняют, как правило, в одном файле \*.AVI (Audio Video Interleaving), в котором аудио- и видеoinформация чередуются.

и видеопотоков, а также размера кадра в элементах изображения (пикселах). Третий — собственно преобразование.

Программу SmartRipper 2.41 для копирования исходного содержимого DVD на жесткий диск можно совершенно бесплатно скачать по адресу <http://softsearch.ru/programs/41-843-smartripper-download.shtml>. Ее объем 1207 Кбайт. Как и все программы, упоминаемые далее, она работает под Windows 98SE/Me/2000/NT/XP.

При запуске программа автоматически находит DVD-устройство со вставленным диском и читает информацию о содержащихся на нем записях. С помощью кнопки со значком в нижней части окна программы, изображенного на рис. 1, можно выбрать диск и папку, в которую будет помещена копия. В списке **Chapters** можно, при необходимости, выбрать для копирования лишь несколько эпизодов фильма и ис-

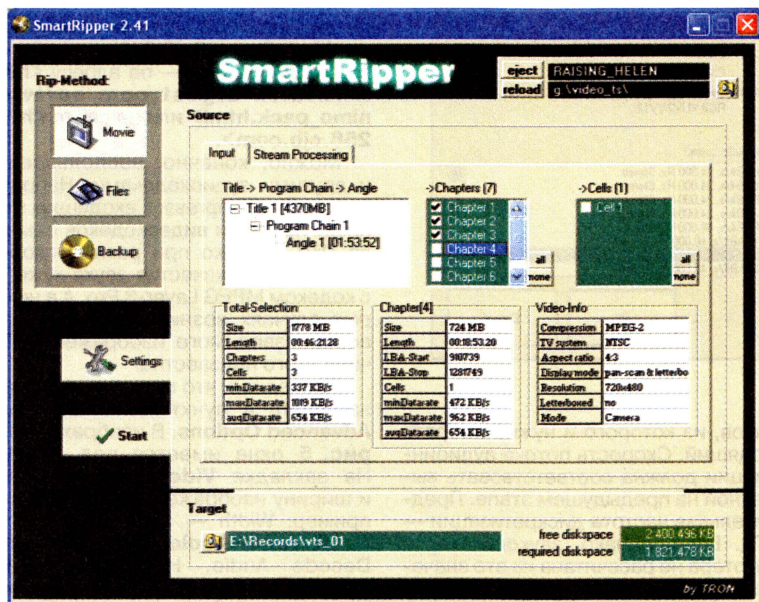


Рис. 1

Для преобразования DVD фильма формата MPEG-2 в AVI-файл формата MPEG-4 необходимо 6...9 Гбайт свободной памяти на жестком диске компьютера. Весь процесс можно условно разбить на три этапа. Первый — копирование информации с DVD на жесткий диск. Второй — расчет скорости аудио-

ключить остальные. На закладке **Stream Processing** желательно отключить аудиопотоки на ненужных в копии языках и титры. Это позволит в дальнейшем избежать путаницы со звуком.

По выполнении всех манипуляций нажмите на кнопку **Start**. На жестком диске будут созданы файлы \*.vob, со-

держащие аудио- и видеoinформацию, и текстовый файл vts\_01\_INFO.txt со сведениями о названии фильма, числе фреймов (кадров), телевизионном стандарте, разрешении, отношении сторон видеокadra и прочими данными. Этот файл можно просмотреть с помощью любого текстового редактора.

Скорость потока информации (bitrate) и число пикселей по горизонтали и вертикали — вот параметры, значения которых в значительной мере определяют качество изображения. При высокой скорости лучше качество изображения — динамических сцен с большим числом быстро движущихся



Рис. 2

предметов. А при заданном качестве потребная скорость тем меньше, чем на меньшее число пикселей разбит кадр. Поэтому очень важно правильно выбрать оптимальные значения указанных параметров.

Лучше всего это сделать с помощью специализированной программы-калькулятора, например, Advanced DivX BitRate Calculator, которую можно скачать по адресу <http://dvdrip.rza.ru/page-id-3.html>. Эта программа позволяет вычислить скорость потока видеоданных по известным длительности фильма, формату сжатия аудиопотока и максимальному размеру выходного файла. Кроме того, при известной ширине и заданном отношении сторон кадра можно вычислить его высоту в пикселах.

Запустите калькулятор, и на показанной на рис. 2 вкладке **Битрейт** введите длительность кинофильма в минутах. Это значение обычно указано на упаковке DVD, но его можно найти и в упомянутом выше файле vts\_01\_INFO.txt. Далее нужно выбрать скорость аудиопотока. Рекомендуется не менее 112 кБит/с — это соответствует качеству звука, лишь незначительно уступающему аудио-CD. Разница почти не заметна на слух.

Далее задайте объем, который должен занять фильм на жестком диске. Его можно указать в "эквивалентных CD", на которых должен уместиться преобразованный фильм, или непо-



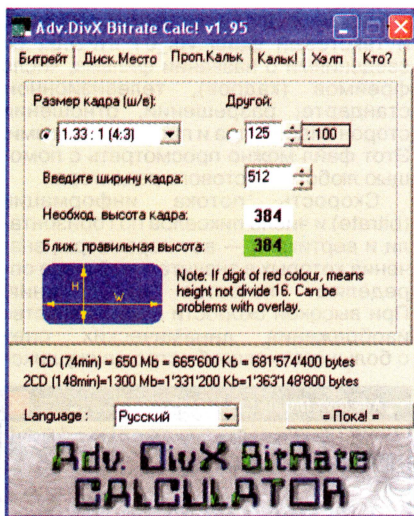


Рис. 3

Скорость видеопотока, Кбит/с	Число элементов по горизонтали
<500	416
500...749	512
750...949	576
950...1100	640
>1100	720

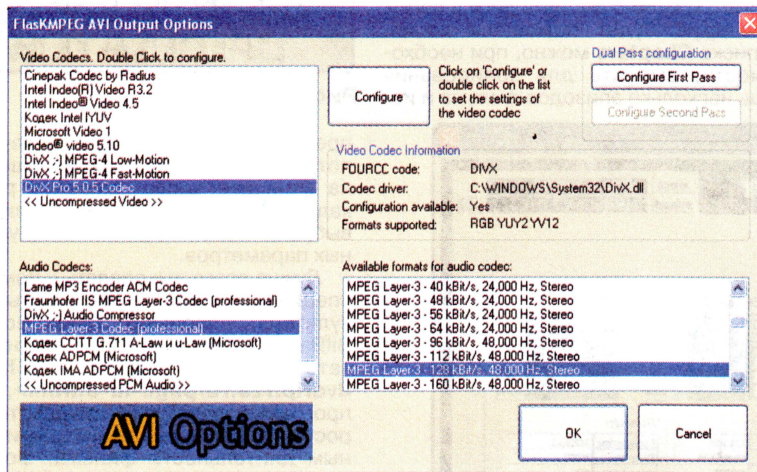


Рис. 4

средственно в мегабайтах. Существует правило: фильму продолжительностью более 125 мин необходим объем дисковой памяти, эквивалентный двум CD. После ввода всех нужных значений программа-калькулятор вычислит скорость видеопотока, которая в дальнейшем потребуется для настройки кодека DivX. Следующей откройте вкладку **Проп. Кальк.** (рис. 3). Введите значение числа пикселей по горизонтали (ширины кадра), выбранное согласно **таблице**. Здесь же укажите отношение ширины кадра к его высоте, оно имеется на упаковке DVD или в файле vts\_01\_INFO.txt. Калькулятор вычислит высоту кадра, причем в зеленом поле будет указано ее ближайшее значение, поддерживаемое кодеком DivX.

Нужную для перекодирования информации в формат MPEG-4 программу flaskmpeg 078.39 объемом 917 Кбайт можно найти на сайте <http://www.flaskmpeg.net>. Запустив ее, воспользуйтесь пунктом меню **File—Open Media** и откройте первый из созданных ранее файлов \*.vob. Остальные файлы будут к нему "прикреплены" автоматически. Сразу же, чтобы в дальнейшем не возникло недоразумений, с помощью пункта меню **Options—Select Output Format—AVI Output** задайте формат выходного файла.

Следующая операция — установка кодеков. Выбрав пункт меню **Options—Output Format Options**, нужно в окне, показанном на рис. 4, задать конфигурацию отдельно аудио- и видеокодека.

Первым настройте аудиокодек. В имеющемся на экране списке найдите MPEG Layer-3 Codec (professional). Рядом будет выведен список возможных

начен для обработки преимущественно "медленных" сцен, второй — "быстрых". Предпочтительнее первый вариант.

После выбора видеокодека и двойного щелчка по его названию будет открыто новое окно. Установите в нем вычисленное ранее с помощью программы-калькулятора значение Encoding bitrate — скорости кодирования видео-

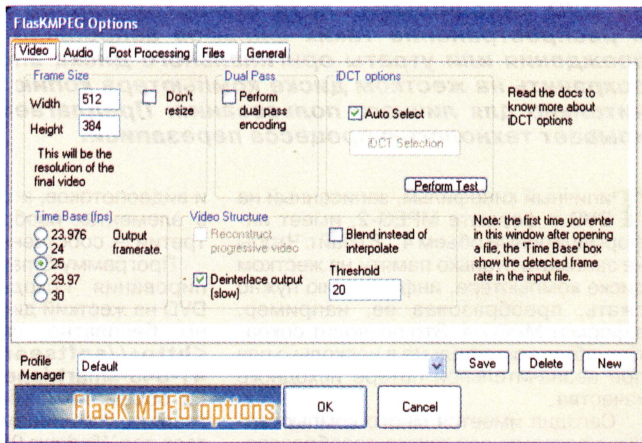


Рис. 5

информации. Завершите настройку кодеков нажатием на экранную кнопку **Ok**.

Если окажется, что нужных кодеков нет в списке, их нужно предварительно установить. Кодеки DivX можно найти в Интернете на сайте <http://www.divx.com> или на некоторых CD. Установив кодек, не забудьте перезагрузить компьютер.

Нужный аудиокодек имеется на сайте <http://gurl0000.front.ru>. А пакет кодеков Nimo Codec Pack 5.X, в котором есть все необходимое, — по адресу [http://www.divx-digest.com/software/nimo\\_pack.html](http://www.divx-digest.com/software/nimo_pack.html) или на сайте <http://256.cjb.com>.

Можно, конечно, воспользоваться и другими аудиокодеками. Например, DivX Audio Compressor, входящим в комплект поставки видеокодексов семейства DivX. Однако при равной скорости потока с ним качество звука хуже, чем с кодеком MPEG Layer-3 Pro. А в некоторых случаях возникает подергивание воспроизводимого изображения. Причина этого неизвестна.

Последнее, что осталось сделать, — заглянуть в пункт меню **Options—Advanced Options**. В изображенном на рис. 5 окне имеется ряд закладок. На закладке **Video** введите высоту и ширину изображения в пикселах. Например, Width — 512, Height — 384. На закладке **Audio** установите режим Decode Audio. На закладке **Post Processing** можно убрать черные полосы выше и ниже границ кадра, если есть в этом необходимость. Для этого, сняв отметку No crop, установите значение Width, равное выбранной ширине кадра, например, 512, и нулевой Left offset (сдвиг изображения влево). Height (высоту) придется подобрать экспериментально, а Top offset (сдвиг изображения вверх) задать равным половине разности заданной при кодировании и подобранной высоты кадра.

режимов, из которого и нужно выбрать подходящий. Скорость потока аудиоинформации должна соответствовать вычисленной на предыдущем этапе. Предпочтительная частота дискретизации — 48 кГц. Если, однако, звуковая карта компьютера не рассчитана на это значение, придется остановиться на 44 кГц, смирившись с незначительным снижением качества звука. Естественно, должен быть выбран стереорежим.

Переходим к настройке видеокодека. В соответствующем списке найдите, например, DivX Pro 5.0.5 Codec. Подойдут и кодеки DivX других версий. Если в системе установлен кодек DivX 3.11, в списке он будет присутствовать в двух вариантах: DivX MPEG-4 Low-Motion и DivX MPEG-4 Fast-Motion. Первый предназ-



На закладке **Files** укажите папку, в которую следует записать выходной файл \*.AVI и нажмите на кнопку **Ok**. Запустите процесс перекодирования, выбрав пункт меню **Run—Start Conversion**. По ее завершении не нужны более файлы \*.vob можно будет удалить.

Продолжительность процесса кодирования зависит не только от длительности фильма, но и от быстродействия компьютера и разрешения кодируемого изображения. Чем выше тактовая частота процессора и ниже разрешение, тем быстрее пойдет процесс. Скорость кодирования зависит и от типа процессора. Согласно проведенным исследованиям, методике и результатам которых можно найти по адресу <http://www.anandtech.com/cpuchipsets/showdoc.aspx?i=1927&p=6>, наиболее быстро решают подобные задачи процессоры фирмы AMD — Athlon, Duron, на втором месте — процессоры фирмы Intel — Pentium и Celeron.

Например, компьютер на базе процессора Duron 1600 тратит на перекодирование всего на 8...18 % больше времени, чем продолжается сам

фильм. Но во многих случаях эта процедура может занять значительно больше времени, что связано, в первую очередь, с медленной распаковкой видеoinформации формата MPEG-2.

Фильмы формата MPEG-4 автоматически распознает и воспроизводит стандартный универсальный проигрыватель Media Player, входящий в комплект поставки Windows. Можно смотреть фильм и с помощью специализированной программы-плеера, поставляемой с кодеком DivX. Однако авторы отдают предпочтение программе LA-player (<http://la.video-soft.com/>) за его удобный интерфейс и невысокую загрузку процессора.

Если потребуется отредактировать, например, разделить на две части готовый файл \*.AVI, можно воспользоваться выложенной в Интернете по адресу: <http://softsearch.ru/programs/61-401-virtual-dub-download.shtml> бесплатной программой Virtual Dub 1.54 с русским интерфейсом.

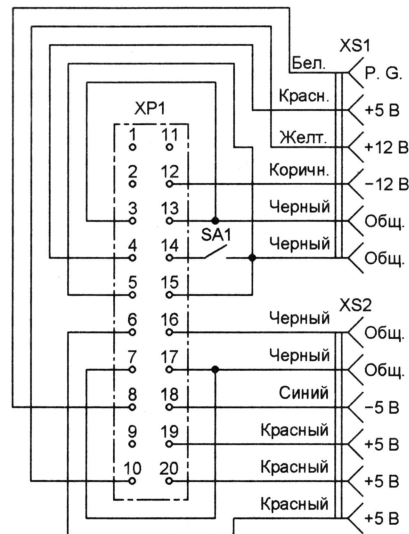
Редактор — А. Долгий, графика — А. Долгий, скриншоты — автора

## Переходник питания ATX—AT

М. ФЕОКТИСОВ, г. Москва

**Многие радиолюбители все еще пользуются компьютерами с материнскими платами формата AT. Предназначенные для таких компьютеров блоки питания уже сняты с производства, так что новый блок формата AT взамен отказавшего найти непросто. Современные компьютерные блоки питания формата ATX по электрическим параметрам и габаритам вполне подходят на замену (обычно достаточно блока мощностью 200 Вт), однако их выходные разъемы несовместимы с разъемами питания материнских плат формата AT.**

Проблема легко решается с помощью самодельного переходника, собранного по схеме, приведенной на **рисунке**. Здесь XP1 — вилка 39-29-9202 из семейства разъемов MicroFit Jr. фирмы Molex. Ее стыкуют с выходной розеткой блока формата ATX. Аналогичные вилки выпускают и многие другие фирмы. Такую же можно найти на неисправной материнской плате формата ATX, откуда ее при необходимости можно выпаять.



Кабельные розетки XS1 и XS2 подключают к вилкам питания на материнской плате формата AT. Эти розетки можно снять с неисправного блока питания вместе с заделанными в их контакты проводами, цвета которых соответствуют, как правило, указанным на рисунке.

Обратите внимание, в цепях "Общ." и "+5 В" использовано по несколько проводов. Ими не следует пренебрегать, это уменьшает токовую нагрузку на провода и контакты разъемов и повышает надежность соединения.

Выключатель SA1 служит для дистанционного включения и выключения блока питания формата ATX, который, в отличие от блока формата AT, может оставаться подключенным к сети постоянно. Если в этом нет необходимости, выключатель можно не устанавливать, а конт. 14 вилки XP1 соединить с ближайшим контактом цепи "Общ." проводочной перемычкой.

Заметим, что обратная задача — питать материнскую плату формата ATX от блока питания формата AT — неразрешима. В таком блоке отсутствует выходное напряжение +3,3 В (конт. 1, 2, 11 разъема блока ATX). Нет в нем и мало-мощного источника "дежурного" напряжения +5 В, присутствующего на конт. 9 того же разъема блока формата ATX, включенного в сеть, независимо от положения выключателя SA1 (см. рисунок).

Редактор — А. Долгий, графика — А. Долгий



# Микроконтроллерный определитель выводов транзисторов

В. КРАСНОВ, г. Саратов

**Мы неоднократно публиковали описания приборов, помогающих определить структуру и назначение выводов неизвестного транзистора. Но чтобы сделать это, требовалось, как правило, произвести несколько манипуляций органами управления прибора и проанализировать показания его индикаторов. Предлагаемое устройство содержит микроконтроллер и работает автоматически. Достаточно в произвольном порядке подключить выводы транзистора к его зажимам.**

В "хозяйстве" каждого радиолюбителя найдется немало маломощных биполярных транзисторов, опознать которые не удается из-за отсутствия или повреждения маркировки на корпусе. Да и имеющуюся маркировку расшифровать непросто, если вместо полного наименования на прибор нанесены цветные точки и условные коды, значения которых не найдешь в справочниках.

Большинство таких транзисторов вполне пригодно для использования в узлах любительских конструкций, где к их параметрам не предъявляют особых требований. Однако необходимо

знать, как минимум, структуру транзистора (п-р-п или р-п-р) и назначение его выводов.

Прибор потребляет от источника питания напряжением 3...6 В ток не более 0,2 мА в режиме ожидания и не более 20 мА во время проверки. Напряжение, приложенное к проверяемому транзистору, не превышает напряжения питания прибора, а ток, текущий через него, — 5 мА.

Принцип действия определителя транзисторов основан на том, что на любом из выводов микроконтроллера, настроенном как выходной, может быть программно установлен высокий (близ-

кий к напряжению питания) или низкий (близкий к нулевому) уровень напряжения. Вывод можно программно перевести и в высокоимпедансное состояние, в котором его выходные узлы фактически отключены от внешних цепей. Напряжение, поданное на такой вывод извне, микроконтроллер воспринимает как имеющее высокий (если оно больше приблизительно половины напряжения питания) или низкий (если оно меньше этого значения) уровень.

Для проверки каждый вывод проверяемого транзистора соединяют через резисторы разных номиналов с несколькими выводами микроконтроллера. Программа изменяет уровни напряжения на них, одновременно анализируя уровни напряжения непосредственно на выводах транзистора.

Можно утверждать, что "жизненные" только два варианта. В первом случае (рис. 1, а) транзистор оказывается включенным по схеме с общим эмиттером. Резистор R2 — его коллекторная нагрузка, а резистором R1 задан ток базы. При изменении уровня на том выводе микроконтроллера, к которому подключен левый (по схеме) вывод резистора R1, от низкого ( $U_L$ ) до высокого ( $U_H$ ) и обратно, напряжение между коллектором и эмиттером транзистора изменяется в противоположной фазе. Размах этого напряжения будет достаточным для измерения микроконтроллером лишь при условии

$$h_{213} > \frac{R_1}{R_2},$$

где  $h_{213}$  — коэффициент передачи тока транзистора VT1 в схеме с общим эмиттером.

Во втором случае (рис. 1, б) транзистор VT1 включен по схеме с общим коллектором. В данном случае изменения уровня на его базе и эмиттере синфазны. При проверке транзистора структуры р-п-р, а не п-р-п, все уровни напряжения противоположны показанным на рис. 1.

Полная схема прибора изображена на рис. 2, а коды программы микроконтроллера PIC16F84A — в табл. 1. Подключение проверяемого транзистора VT1 к зажимам X1—X3 показано условно. Как уже было сказано, выводы и зажимы могут быть соединены в любом порядке.

Резисторы R5, R8, R11 выполняют функцию резистора R1 (см. рис. 1), а резисторы R4, R7, R10 — резистора R2 (там же). Низкоомные резисторы R3, R6, R9 — защитные, на работу прибора они не влияют. Цепь R1C3 задает тактовую частоту микроконтроллера. Конденсаторы C1, C2 — блокировочные.

Проверив согласно программе все 12 вариантов подключения транзистора VT1 (по шесть перестановок выводов для каждой из двух возможных структур)

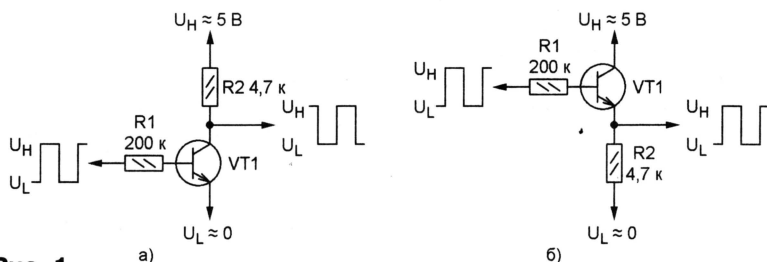


Рис. 1

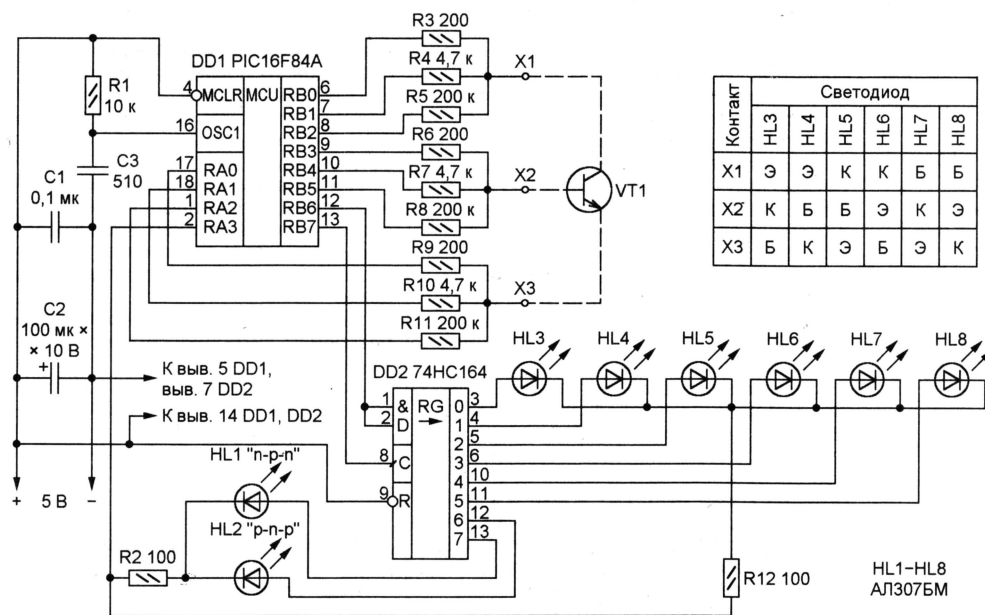


Рис. 2



Таблица 1

```

:020000040000FA
:0200000046298F
:100010000830800851506138C1B061786178C0D6E
:10002000861380080288511FF348316061086145A
:1000300006158312FF3483160614861006158312E4
:10004000FF3483160614861406118312FF3483168B
:100050008611061686168312FF348316861506123D
:1000600086168312FF3483168615061686128312AF
:10007000FF3483160510851405158312FF3483168B
:100080000514851005158312FF3483160514851495
:1000900005118312FF3407308604FF34F38086050B
:1000A000FF343808604FF34C7308605FF3407300C
:1000B0008504FF34F3808505FF3483160608831263
:1000C000050739FF3483160608831206053839FA
:1000D000FF3483160508831205050739FF34152000
:1000E0004E202D0512045205A2063200319003432
:1000F00057206320031D00348134152048202D010
:10010000542045205A2063200319003457206320CF
:10011000031D0034413415204E203F20572033204A
:10012000542069200319003451206920031D003434
:100130008234152048203F205A2033205420692040
:100140000319003451206920031D00344234392042
:100150005A2018204B20332054205D2003190034EB
:1001600051205D20031D003484343920572018208A
:100170004E20332054205D200319003451205D208F
:10018000031D003444342720542018204B204520DD
:100190005A205D200319003457205D20031D0034DD
:1001A00088342720512018204E2045205A205D20DE
:1001B0000319003457205D20031D00344834392002
:1001C0005A202D0512021204E2063200319003475
:1001D00048206320031D00349034392057202D20FC
:1001E000542021204E20632003190034482063202B
:1001F000031D00345034272054203F205720212055
:100200004E2069200319003448206920031D00345F
:10021000A034272051203F205A2021204E20692041
:100220000319003448206920031D00346034093069
:100230008E0064008E0B1929FF3464308F00172163
:100240008F0B1F29FF341D211D211D298C01082022
:10025000061708308C00861786131D218C0828295E
:10026000232185152321851123218515232185111E
:10027000232185152321851123218515232185100A5
:10028000861786131D218C084029080085018601E5
:1002900083168501860183126400262164008C0187
:1002A0006F208C047D208C048B208C0499208C047E
:1002B000A7208C0485208C04C3208C04D1208C048E
:1002C000F208C04ED208C04FB208C0409218C049D
:0402D00008204E298B
:02400E00F73F7A
:000000001FF

```

(из числа HL3—HL8) — подключение его выводов к зажимам X1—X3 согласно имеющейся на рис. 2 таблице.

Так как в каждой группе светодиодов может быть включен только один, число ограничивающих ток резисторов сокращено до двух (R2 и R12). Вторые выводы этих резисторов соединены с выв. 2 (RA3) микроконтроллера, на котором на время загрузки кода в регистр DD2 программа устанавливает высокий логический уровень. Это избавляет от "подмигивания" светодиодов во время загрузки.

Кроме микроконтроллера PIC16F84A, в устройстве можно использовать (при небольшой корректировке программы) PIC16F628 и "одноразовый" PIC16C54C. Для микроконтроллера PIC16F628 элементы R1 и C3 не нужны, его вывод 16 остается свободным.

Загрузив программный код в буфер программатора, обязательно проверьте и при необходимости откорректируйте слово конфигурации (оно должно соответствовать табл. 2) и лишь потом заносите программу в микроконтроллер. Обратите внимание, отмеченные в окне программы IC-prog разряды слова конфигурации соответствуют включенному состоянию того или иного устройства (например, сторожевого таймера). А в программе PonyProg аналогичная отметка свидетельствует о нулевом значении разряда, что не всегда одно и то же.

Таблица 2

Микроконтроллер	Слово конфигурации (HEX)	Разряды слова конфигурации	
		Значение	Описание
PIC16F84A	3FF7	CP=1	Защита памяти отключена
		PWRT=0	Пусковой таймер включен
		WDTE=1	Сторожевой таймер включен
		FOSC1=1, FOSC0=1	Внешний RC-генератор
PIC16F628	3F14	CP1(1)=1, CP0(1)=1, CP1(2)=1, CP0(2)=1, CPD=1	Защита памяти отключена
		LVP=0	Низковольтное программирование отключено
		BODEN=0	Детектор снижения напряжения питания отключен
		MCLR=0	Внешний сброс отключен
		PWRT=0	Пусковой таймер включен
		WDTE=1	Сторожевой таймер включен
		FOSC2=1, FOSC1=0, FOSC0=0	Внутренний RC-генератор включен, вывод 16 действует как линия ввода-вывода RA6
		CP=1	Защита памяти отключена
		WDTE=1	Сторожевой таймер включен
		FOSC1=1, FOSC0=1	Внешний RC-генератор
PIC16C54C	0FFF	CP=1	Защита памяти отключена
		WDTE=1	Сторожевой таймер включен
		FOSC1=1, FOSC0=1	Внешний RC-генератор

и приняв решение, микроконтроллер DD1 выдает результат последовательным кодом на выв. 12 (RB6), сопровождая его синхронными импульсами на выв. 13 (RB7). В этом восьмизрядном коде всего две лог. 1, поэтому в результате его загрузки в сдвиговый регистр DD2 будут включены два светодиода. Один из них (HL1 или HL2) покажет структуру проверяемого транзистора, а второй

Функциональные аналоги микро-схемы 74HC164 — КР1564ИР8 и К555ИР8 (вторая — структуры ТТЛШ и потребляет заметный ток). Если таких микросхем найти не удалось, можно использовать сдвиговый регистр 74HC299 (КР1564ИР24), включив его по схеме, показанной на рис. 3. В крайнем случае подойдет и крайне неэкономичный регистр

К155ИР13. Схема его включения изображена на рис. 4.

Светодиоды серии AL307 можно заменить другими, в том числе импортными, подходящего размера и цвета свечения. Тип резисторов и конденсаторов значения не имеет, однако конденсатор C1 должен быть керамическим и разме-

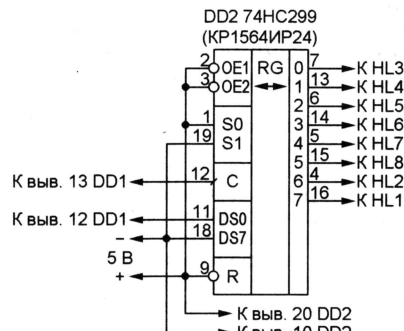


Рис. 3

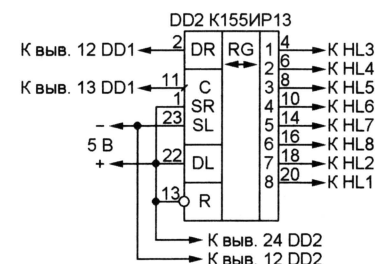


Рис. 4

щен как можно ближе к выводам питания микроконтроллера. Питая определитель транзисторов можно от любого источника напряжением 3...6 В.

Обычно устройство начинает работать сразу. Проверьте его на всех 12 вариантах подключения транзистора. Если не распознаны выводы коллектора и эмиттера проверяемого транзистора, о чем свидетельствует одновременное включение светодиодов, соответствующие двум вариантам, попробуйте ввести последовательно в цепь базы транзистора (а этот вывод прибор всегда определяет правильно) резистор сопротивлением 200...300 кОм.

Из большого числа проверенных транзисторов не удалось определить структуру и выводы одного транзистора МП37 с большим током утечки и нескольких транзисторов МП111 и КТ312А с чрезвычайно низким коэффициентом передачи тока. Прибор не смог распознать выводы коллектора и эмиттера только у транзисторов П30 выпуска 1966 г. Оказывается, эти транзисторы почти симметричны и имеют практически одинаковый коэффициент передачи тока в прямом и инверсном включении!

**От редакции.** Программы определителя транзисторов для микроконтроллеров PIC16F84A, PIC16C54C и PIC16F628 находятся на нашем FTP-сервере по адресу <ftp://ftp.radio.ru/pub/2005/08/tester.zip>.



Транзисторы VT1 и VT2 могут быть любыми из серий IRL2505, IRL3705N, IRLZ44 (перечислены в порядке ухудшения). Транзистор VT3 — любой из серии KT827. Он должен быть установлен на теплоотводе площадью 400...600 см<sup>2</sup>. Транзистор VT4 — любой из серии КП501. Реле К1 — магнитный пускатель КР11S с номинальным напряжением обмотки 220 В и частотой 50 Гц.



Аккумуляторная батарея GB1 — герметичная свинцово-кислотная с гелевым электролитом, номинальным напряжением 12 В и емкостью не менее 50 А·ч. В крайнем случае в нежилых помещениях допустимо применение обычной автомобильной стартерной батареи.

**Налаживание** источника питания начинают с регулировки блока подзарядки батареи. При первом включении в сеть вместо батареи GB1 через амперметр подключают реостат или эквивалент нагрузки, сопротивление которого можно плавно регулировать, например, описанный в статье И. Нечаева "Универсальный эквивалент нагрузки" в "Радио" № 1 за 2005 г. на с. 35. Напряжение на реостате контролируют цифровым вольтметром. Регулируют сопротивление реостата так, чтобы ток через него компенсировал саморазрядку батареи (0,2...0,3 А), после чего подстроечным резистором R8 устанавливают напряжение на реостате не более 14 В. Далее уменьшают сопротивление реостата, чтобы напряжение на нем уменьшилось

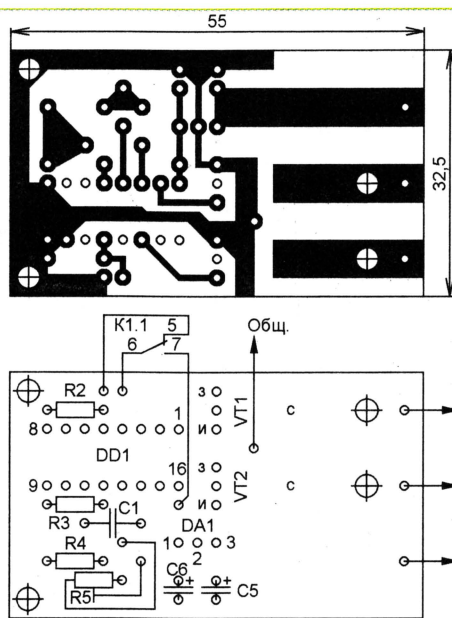


Рис. 2

до 12,6 В, контролируя ток через него. В случае необходимости в цепь коллектора транзистора VT3 включают токоограничительный резистор из нихромовой проволоки диаметром не менее 1,5 мм, сопротивление которого подбирают так, чтобы ток не превышал максимально допустимого тока зарядки батареи GB1 (для указанной на схеме — 6 А).

Затем отключают источник от сети и подключают батарею. Подстроечным резистором R5 устанавливают частоту выходного напряжения 50 Гц. Выходное напряжение должно находиться в допустимых пределах для питаемой нагрузки. Если это не так, изменяют число витков обмотки I трансформатора Т2, сохраняя одинаковое число витков каждой половины обмотки.

В режиме холостого хода отключенный от сети преобразователь потребляет от батареи ток 0,8 А. Чтобы не допустить разрядки батареи этим током, необходимо отключить батарею от устройства во время его хранения.

Редактор — М. Евсиков, графика — М. Евсиков

## Стабилизатор переменного напряжения

А. ГОДИН, г. Москва

**Напряжение сети, особенно в сельской местности, нередко выходит за пределы, допустимые для питаемой аппаратуры, что приводит к ее выходу из строя. Избежать столь неприятных последствий возможно с помощью стабилизатора, который поддерживает выходное напряжение в необходимых для нагрузки пределах, а если это невозможно — отключает ее.**

Из-за нестабильности напряжения в сети в Подмоскovie вышел из строя холодильник. Проверка напряжения в течение дня выявила его изменение от 150 до 250 В. Поэтому я занялся вопросом приобретения стабилизатора. Знакомство с ценами на готовые изделия повергло в шок. Стал искать схемы в литературе и Интернете. Почти подходящий по параметрам стабилизатор с микроконтроллерным управлением описан в [1]. Но его выходная мощность недостаточна высока, переключение нагрузки зависит не только от амплитуды, но и от частоты напряжения сети.

Поэтому было решено создать собственную конструкцию стабилизатора. В предлагаемом устройстве не использован микроконтроллер, что делает его доступным для повторения более широкому кругу радиолюбителей. Нечувствительность к частоте напряжения сети позволяет его использовать в полевых условиях, когда источником электроэнергии может быть автономный дизель-генератор.

### Основные технические характеристики

Входное напряжение, В . . . . . 130...270  
Выходное напряжение, В . . . . . 205...230

Максимальная мощность нагрузки, кВт . . . . . 6  
Время переключения (отключения) нагрузки, мс . . . . . 10

Схема стабилизатора показана на рис. 1. Устройство содержит следующие узлы: блок питания на элементах Т1, VD1, DA1; узел задержки включения нагрузки на транзисторах VT1—VT3; выпрямитель для измерения амплитуды напряжения сети VD2 с делителем R13R14; компаратор напряжения DA2, DA3; логический контроллер на микросхемах DD1—DD5; эмиттерные повторители на транзисторах VT4—VT12 с токоограничительными резисторами R40—R48; индикаторные светодиоды HL1—HL9, семь симисторных оптронов U1—U7 и мощные симисторы VS1—VS7. Напряжение сети подведено к соответствующему отводу обмотки автотрансформатора Т2 через автоматический выключатель-предохранитель QF1. Нагрузка подключена к автотрансформатору Т2 через открытый симистор (один из VS1—VS7).

После включения питания конденсатор C1 разряжен, транзистор VT1 закрыт, а VT2 открыт. Транзистор VT3 закрыт, а так как ток через излучающие диоды симисторных оптронов U1.1—U7.1

может протекать только через этот транзистор, то все симисторы закрыты, нагрузка отключена. Напряжение на конденсаторе C1 возрастает по мере его зарядки от источника питания через резистор R1. По окончании трехсекундного интервала задержки, необходимо для завершения переходных процессов, срабатывает триггер Шмитта на транзисторах VT1 и VT2, транзистор VT3 открывается и разрешает включение нагрузки.

Напряжение с движка подстроечного резистора R14, пропорциональное напряжению сети, поступает на неинвертирующие входы восьми компараторов (микросхемы DA2, DA3). На инвертирующие входы этих компараторов поступают постоянные образцовые напряжения с резисторного делителя R15—R23. Сигналы с выходов компараторов обрабатывает контроллер на логических элементах ИСКЛЮЧАЮЩЕЕ ИЛИ (микросхемы DD1—DD5). На рис.1 выходы компараторов DA2.1—DA2.4 и DA3.1—DA3.3 обозначены цифрами 1—7, а выходы контроллера — буквами А—Н.

Если напряжение сети меньше 130 В, на выходах всех компараторов и выходах контроллера присутствует низкий логический уровень. Транзистор VT4 открыт, включен мигающий светодиод HL1, индицирующий чрезмерно низкое напряжение сети, при котором стабилизатор не может обеспечить питание нагрузки. Все остальные светодиоды погашены, симисторы закрыты, нагрузка отключена.

Если напряжение сети меньше 150 В, но больше 130 В, логический уровень сигналов на выходах 1 и А высокий, остальных — низкий. Транзистор VT5 открыт, включен светодиод HL2, оптосимистор U1.2 открыт, нагрузка соединена с верхним по схеме выводом обмотки автотрансформатора Т2 через открытый симистор VS1.



Стабилизатор выдерживает неограниченное время аварийное повышение напряжения сети до 380 В. Надписи, индицируемые светодиодами, аналогичны описанному в [1].



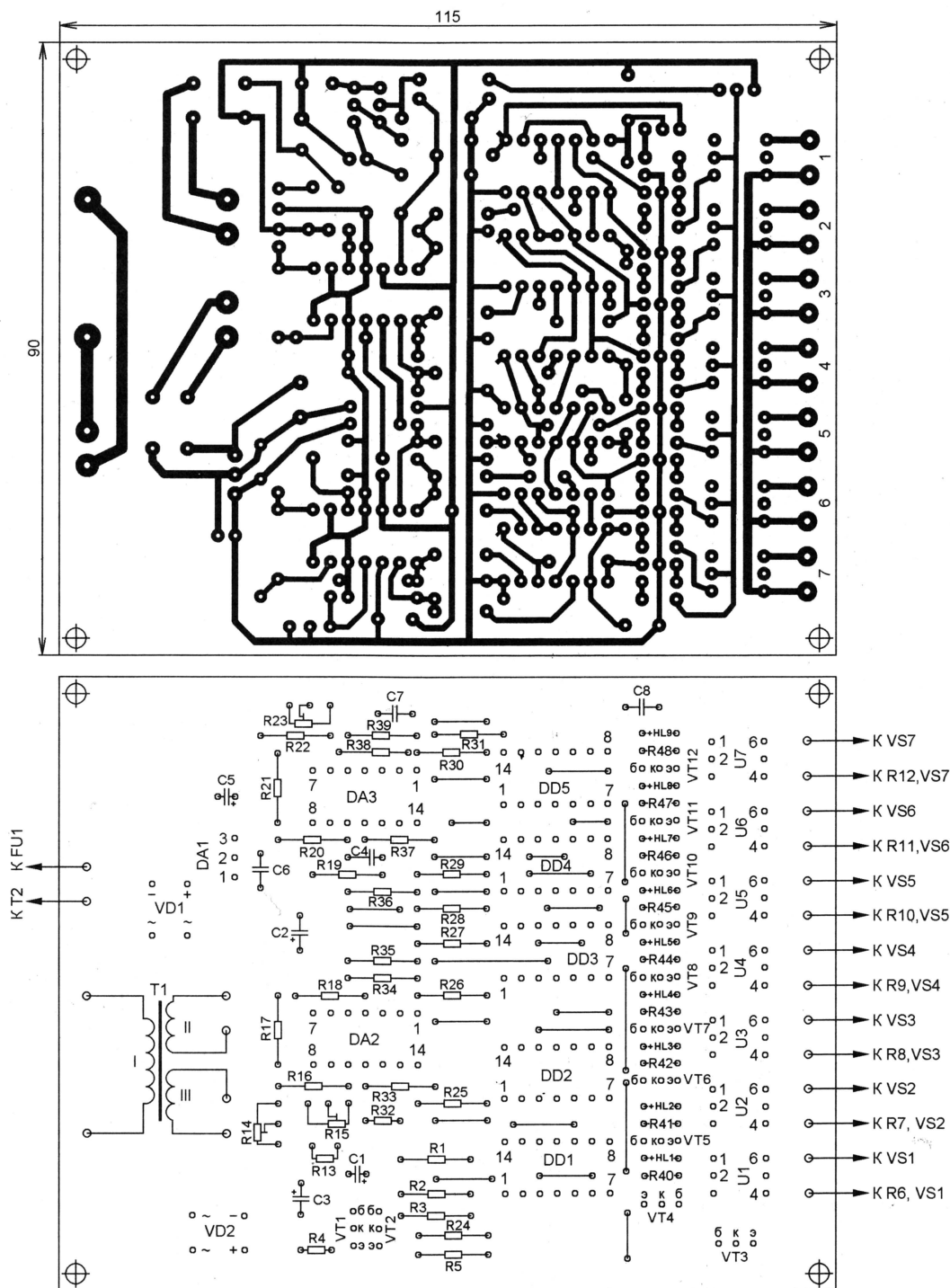


Рис. 2

**Конструкция и детали.** Стабилизатор собран на печатной плате из односторонне фольгированного стеклотекстолита толщиной 1,5 мм, чертеж которой показан на рис. 2. Светодиоды HL1—HL9 смонтированы так, чтобы при установке печатной платы в корпус они попали в соответствующие отверстия на передней панели устройства. В зависимости от конструкции корпуса возможен вариант монтажа светодиодов со стороны печатных проводников. Сопротивление токоограничительных резис-

торов R41—R47 выбрано так, чтобы через излучающие диоды симисторных оптронов U1.1—U7.1 протекал ток 15...16 мА. Не обязательно использовать мигающие светодиоды HL1 и HL9, но их свечение должно быть хорошо заметно, поэтому их можно заменить светодиодами непрерывного излучения красного цвета повышенной яркости, такими как AL307KM или L-1543SRC-E. Зарубежный диодный мост DF005M (VD1, VD2) можно заменить отечественным КЦ407А или другим, рассчитанным

на максимальное обратное напряжение не менее 50 В и максимальный прямой ток не менее 0,5 А.

Микросхему KP1158EH6A (DA1) можно заменить на KP1158EH6B. Ее необходимо установить на теплоотвод с площадью охлаждающей поверхности не менее 15 см<sup>2</sup>. Микросхему счетверенного компаратора LM339N (DA2, DA3) можно заменить отечественным аналогом K1401CA1. Микросхему KP1554ЛП5 (DD1—DD5) можно заменить зарубежной 74AC86PC.



Подстроечные резисторы R14, R15 и R23 — проволочные многооборотные СП5-2 или СП5-3. Постоянные резисторы R16—R22 С2-23 с допуском не ниже 1 %, остальные могут быть любыми с допуском 5 %, имеющие мощность рассеяния не меньше указанной на схеме. Оксидные конденсаторы C1—C3, C5 могут быть любыми с номинальным напряжением не ниже указанного на схеме. Остальные конденсаторы C4, C6—C8 — любые пленочные или керамические.

Симисторные оптроны МОС3041 (U1—U7) можно заменить на МОС3061. Импортные оптроны выбраны потому, что они содержат встроенные контроллеры перехода напряжения через нуль. Это необходимо для синхронизации выключения одного мощного симистора и включения другого, чтобы предотвратить замыкание обмоток автотрансформатора. Мощные симисторы VS1—VS7 также зарубежные (BTA41-800B), так как отечественные той же мощности требуют слишком большого тока управления, который превышает предельно допустимый ток оптосимисторов (120 мА). Все симисторы VS1—VS7 установлены на одном теплоотводе с площадью охлаждающей поверхности не менее 1600 см<sup>2</sup>.

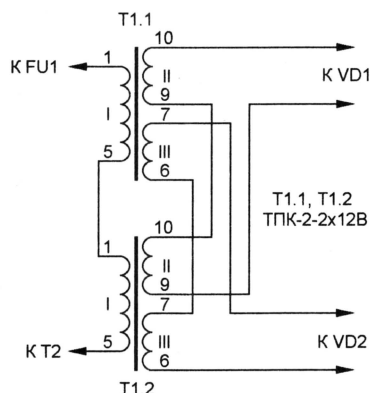


Рис. 3

Трансформатор Т1 — самодельный, с габаритной мощностью 3 Вт, имеющий площадь сечения магнитопровода 1,87 см<sup>2</sup>. Его сетевая обмотка I рассчитана на максимальное аварийное напряжение сети 380 В, содержит 8669 витков провода ПЭВ-2 диаметром 0,064 мм. Обмотки II и III содержат по 522 витка провода ПЭВ-2 диаметром 0,185 мм. При номинальном напряжении сети 220 В напряжение каждой выходной обмотки равно 12 В. Вместо самодельного трансформатора Т1 можно применить два трансформатора ТПК-2-2х12В, соединенных последовательно по способу, описанному в [2], как показано на рис. 3.

Автотрансформатор Т2 также самодельный, намотанный на тороидальном магнитопроводе, в качестве которого использован статор электродвигателя мощностью 10 кВт способом, описанным в [3]. Его обмотка содержит 280 витков провода ПЭВ-2 диаметром 4,2 мм. Такой диаметр необходим для того, чтобы автотрансформатор не нагревался в процессе длительной эксплуатации. Отводы сделаны от 150, 163,

180, 195, 217 и 245-го витка, считая от нижнего по схеме вывода. Участок обмотки, к которому подведено напряжение сети (отвод от 180-го витка), рассчитан на напряжение 380 В.

Если мощность нагрузки не превышает 3 кВт, автотрансформатор Т2 может быть намотан на статоре электродвигателя мощностью 4 кВт проводом ПЭВ-2 диаметром 2,8 мм. Число витков обмотки следует пропорционально увеличить в 1,2 раза. Ток срабатывания выключателя-предохранителя QF1 должен быть снижен до 16 А. Можно применить симисторы VS1—VS7 ВТА140-800, размещенные на теплоотводе площадью не менее 800 см<sup>2</sup>.

Внешний вид платы с деталями показан на фотографии (см. 1-ю с. обложки).

**Налаживание** осуществляют с помощью ЛАТРа и двух вольтметров. Необходимо установить пороги переключения нагрузки и убедиться в том, что выходное напряжение стабилизатора находится в допустимых пределах для питаемой аппаратуры. Отметим U<sub>1</sub>, U<sub>2</sub>, U<sub>3</sub>, U<sub>4</sub>, U<sub>5</sub>, U<sub>6</sub>, U<sub>7</sub> — значения напряжения на движке подстроечного резистора R14, соответствующие напряжениям сети 130, 150, 170, 190, 210, 230, 250, 270 В (пороги переключения и отключения нагрузки). Вместо подстроечных резисторов R15 и R23 временно монтируют постоянные резисторы сопротивлением 10 кОм. Далее стабилизатор без автотрансформатора Т2 включают в сеть через ЛАТР. На выходе ЛАТРа повышают напряжение до 250 В, затем движком подстроечного резистора R14 устанавливают напряжение U<sub>6</sub>, равное 3,5 В, измеряя его цифровым вольтметром. После этого понижают напряжение ЛАТРа до 130 В и измеряют напряжение U<sub>1</sub>. В устройстве автора оно равно 1,6 В.

Вычисляют:  
 шаг изменения напряжения  
 $\Delta U = (U_6 - U_1)/6 = (3,5 - 1,6)/6 = 0,317$  В;  
 ток, текущий через делитель R15—R23,  
 $I = \Delta U/R16 = 0,317/2 = 0,158$  мА;  
 сопротивление резисторов R15 и R23:

$R15 = U_1/I = 1,6/0,158 = 10,1$  кОм;  
 $R23 = (U_{пит} - U_6 - \Delta U)/I = (6 - 3,5 - 0,317)/0,158 = 13,8$  кОм,  
 где U<sub>пит</sub> — напряжение стабилизации микросхемы DA1.

Расчет приближенный, так как в нем не учтено влияние резисторов R32—R39, однако его точность достаточна для практического налаживания стабилизатора.

Далее устройство отключают от сети и с помощью цифрового омметра устанавливают сопротивление резисторов R15 и R23, равное вычисленным значениям, и монтируют их на плату вместо постоянных резисторов, упомянутых выше. Снова включают стабилизатор и отслеживают переключение светодиодов, плавно увеличивая напряжения ЛАТРа от минимального до максимального и обратно. Одновременное свечение двух и более светодиодов указывает на неисправность одной из микросхем DA2, DA3, DD1—DD5. Неисправная микросхема должна быть заменена, поэтому удобнее установить на плате не сами микросхемы, а панели для них.

Убедившись в исправности микросхем, подключают автотрансформатор Т2 и нагрузку — лампу накаливания мощностью 100...200 Вт. Снова измеряют пороги переключения и напряжения U<sub>1</sub>—U<sub>7</sub>. Для проверки правильности расчетов, меняя ЛАТром входное напряжение на трансформаторе Т1, необходимо убедиться в мигании светодиодов HL1 при напряжении ниже 130 В, последовательном включении светодиодов HL2—HL8 при пересечении порогов переключения, указанных выше, а также мигании HL9 при напряжении выше 270 В.

Если максимальное напряжение ЛАТРа меньше 270 В, устанавливают на его выходе 250 В, вычисляют напряжение U<sub>7</sub> по формуле  $U_7 = U_6 + \Delta U = 3,82$  В. Перемещают движок R14 вверх, проверяют, что при напряжении U<sub>7</sub> происходит отключение нагрузки, после чего возвращают движок R14 вниз, устанавливая прежнее значение U<sub>6</sub>, равное 3,5 В.

Завершить налаживание стабилизатора желательно его подключением к напряжению 380 В на несколько часов.

За время эксплуатации нескольких экземпляров стабилизаторов разной мощности (примерно полгода) сбоев и отказов в их работе не было.

#### ЛИТЕРАТУРА

1. **Коряков С.** Стабилизатор сетевого напряжения с микроконтроллерным управлением. — Радио, 2002, № 8, с. 26—29.
2. **Копанев В.** Защита трансформатора от повышенного напряжения сети. — Радио, 1997, № 2, с. 46.
3. **Андреев В.** Изготовление трансформаторов. — Радио, 2002, № 7, с. 58.

Редактор — М. Евсиков, графика — М. Евсиков,  
 фото — автора



# Электроискровой карандаш из миниатюрного реле

Д. МАМИЧЕВ, дер. Шаталово Смоленской обл.

Для нанесения на поверхность металла каких-либо линий разметки или надписей можно воспользоваться мягким грифельным карандашом, фломастером или маркером. Однако в ряде случаев с этими средствами успешно конкурирует известный электроискровой карандаш [1; 2], позволяющий наносить хорошо видимые нестираемые линии.

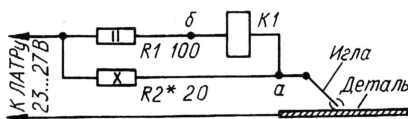
И все-таки в радиоловительской практике более подошел бы карандаш, пусть не столь мощный, зато миниатюрный и легкий и, что не менее важно, простой в изготовлении. Об изготовлении такого карандаша и рассказано ниже.

Основой его электромагнитной системы служит реле РЭС10, паспорт РС4.524.308, причем подойдет и такое, у которого неисправна или отсутствует контактная группа. Переделку начинают с развальцовки и снятия алюминиевого чехла. Затем аккуратно снимают якорь, отогнув боковые ограничители, и сверлом диаметром 2 мм высверливают в нем заклепку, фиксирующую подвижный контакт. Контакт вместе с его гибким токоподводом удаляют.

В просверленное отверстие с внутренней стороны якоря вставляют винт М2, у которого предварительно стачивают надфилем головку до высоты 0,5 мм. На резьбу винта навинчивают и туго затягивают тонкую гайку. Далее на хвостовик винта надевают тонкий лепесток с припаянным к нему небольшим отрезком тонкого гибкого изолированного монтажного провода, портновскую стальную булавку с колечком (ее можно согнуть из стальной проволоки диаметром 0,2...0,5 мм) и весь

пакет зажимают второй такой же гайкой, развернув булавку острием в сторону, противоположную выводам реле. Острие этой иглы и будет служить "грифелем" карандаша. Доработанный якорь реле устанавливают на свое место.

Проволочный вывод от якоря укорачивают и припаивают к внешнему неподвижному контакту колодки реле. Остается только в алюминиевом чехле прорезать окно для вывода наружу иглы.



Для регулировки вибратора обмотку последовательно с резистором сопротивлением 100 Ом мощностью 2 Вт подключают к ЛАТРУ, установив на нем выходное напряжение около 25 В. После включения ЛАТРа в сеть якорь вместе с иглой начинают вибрировать. Отменяют размах колебаний острия иглы. Подгибая якорь, добиваются, чтобы размах находился в пределах 1...2 мм. Изменяют ЛАТРОм питающее напряжение в пределах 23...27 В и проверяют устойчивость вибрации. Если необходимо, подгибают боковые ограничители якоря и концы возвратных его пружин.

Надевают чехол, завальцовывают по краю и дополнительно проклеивают нитроклеем. Один из выводов обмотки реле соединяют с выводом якоря; обозначим этот вывод буквой а, а второй вывод обмотки — б. К выводам

а и б припаивают по отрезку длиной 60...90 см гибкого монтажного провода и укрепляют вибратор с иглой на конце пластиковой трубки (корпусе старой авторучки).

Подключают карандаш к блоку питания (см. **схему**). Резистор R1 ограничивает ток через обмотку вибратора, а R2 — ток через искровой промежуток. Резистор R2 (ПЭВ-10) во время работы сильно разогревается, что заставляет делать перерывы в работе; исключить их можно, если использовать резистор ПЭВ-30. Для регулирования тока искры более удобно использовать мощные подстроечные резисторы серии ПЭВР или школьный реостат.

Питается блок от ЛАТРа. Изменяя напряжение в пределах 23...27 В и подбирая резистор R2, определяют подходящие условия для нанесения надписей на различные металлы (медь, латунь, бронза, алюминий, сталь и разные проводящие покрытия на этих металлах). После установления всех необходимых режимов можно заменить громоздкий ЛАТР трансформатором ТС-180-2, соответственно рассчитав и перемотав вторичную обмотку проводом ПЭВ-2 диаметром 1 мм с необходимыми отводами.

Вместо указанного реле с сопротивлением обмотки 120 Ом можно использовать и другие, имеющие сопротивление 45, 630 и 1600 Ом (в двух последних случаях резистор R1 не нужен).

Работать с электроискровым карандашом следует в защитных стеклянных очках — они защитят глаза от ультрафиолетового излучения искр, хоть и слабого, но утомляющего зрение при длительной работе.

## ЛИТЕРАТУРА

1. Востриков Б. Электроискровой карандаш. — Радио, 1971, № 11, с. 54.
2. Верховцев О. Г., Лютов К. П. Практические советы мастеру-любителю. — Л.: Энергоатомиздат, 1988, с. 94—96.

## Восстановление работы магнитофона

В. ГОРЮНОВ, г. Котовск Тамбовской обл.

Если в вашей автомагнитоле вытянулся резиновый пассив, а новый приобрести не удастся, можно попробовать восстановить нормальную работу аппарата перемещением электродвигателя в точках крепления. Для этого электродвигатель демонтируют и крепежные отверстия (их обычно три) круглым надфилем пропиливают с таким расчетом, чтобы при обратном монтаже в новом положении пассив натянулся. Иногда достаточно пропилить только два из трех отверстий.

В том случае, когда приобретенный для замены пассив оказался несколько коротковат и его установка на место приводит к чрезмерному натяжению, следует действовать аналогично, только направление смещения электродвигателя изменить на обратное.

Описанным способом мне удалось продлить жизнь автомагнитоле "Эола" и многим другим магнитофонам.

## Улучшение работы сварочного аппарата

К. МОРОЗ, г. Надым Ямало-Ненецкого авт. округа

Для улучшения зажигания сварочной дуги обычно к сварочному аппарату подключают разного рода приставки, обеспечивающие увеличение напряжения на электроде на холостом ходу (см., например, статью Л. Степанова "Вольтодобавка" в сварочном аппарате" в "Радио", № 6 за 2004 г. на с. 40).

Эту проблему для своего самодельного сварочного аппарата я решил иначе. Кроме выпрямителя на четырех мощных диодах, параллельно сварочной дуге подключил батарею из шестнадцати оксидных конденсаторов емкостью 4700 мкФ на напряжение 63 В каждый, включенных параллельно. Конденсаторы между собой соединил проводом сечением 2,5 мм<sup>2</sup>.

Когда дуга не горит, напряжение на электроде — 50...60 В. Поэтому дуга зажигается уверенно. Напряжение на зажженной дуге — 30...40 В.

Редактор — Л. Ломакин, графика — Л. Ломакин



**О том, что у полного сопротивления реального конденсатора есть паразитные резистивная и индуктивная составляющие, прекрасно известно всем, но обычно ими пренебрегают. Между тем в некоторых случаях применения оксидных конденсаторов они могут отрицательно влиять на работоспособность радиоэлектронного устройства. Эта статья рассказывает о том, как достоверно измерить эквивалентное последовательное сопротивление конденсатора, и о реальных значениях частоты резонансов контура с паразитной его индуктивностью.**

Рассмотрим полную эквивалентную схему конденсатора, представленную на рис. 1. Параллельно собственному конденсатору  $C$  включен резистор  $R_p$ , учитывающий сопротивление изоляции между обкладками конденсатора. Это единственный элемент (кроме емкости конденсатора) эквивалентной схемы, значение которого можно измерить достоверно — мегаомметром, соблюдая полярность его подключения и выдержав заметную паузу, необходимую для полной зарядки конденсатора до установления показания прибора. Сопротивление этого резистора очень велико — до сотен мегаом даже для оксидных конденсаторов,

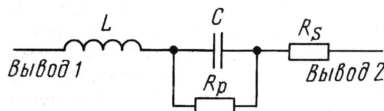


Рис. 1

и его влиянием на работу устройств практически всегда можно пренебречь. Только в интеграторах, где требуются конденсаторы очень большой емкости, сопротивление изоляции может стать заметным фактором, но для подобных применений выпускают специальные конденсаторы со сверхмалым током утечки.

Последовательно включенный резистор  $R_s$  своим эквивалентным последовательным сопротивлением (ЭПС) учитывает все остальные потери в конденсаторе, начиная от сопротивления его выводов и переходного сопротивления вывод—обкладка до эквивалентного сопротивления, связанного с частотозависимыми потерями в диэлектрике. Поскольку раздельно измерить их невозможно, все включают в ЭПС.

Для керамических, слюдяных и пленочных конденсаторов ЭПС пренебрежимо мало, а для оксидных может достигать единиц ом, что в некоторых случаях уже существенно. Именно этим и объясняется повышенный интерес к измерению ЭПС, появившийся в последние годы.

Для получивших широкое распространение импульсных источников питания нужны малогабаритные конденсаторы большой емкости. Этим условиям могут удовлетворять только полярные оксидные конденсаторы. Но относительно быстро выяснилось, что отказы в работе таких источников связаны

в большинстве случаев именно с конденсаторами, а точнее — с увеличением ЭПС в процессе эксплуатации. Собственно, подозревали их в этом очень давно — еще в пятидесятые годы нередко причину плохой работы устройств или их отказа объясняли потерей емкости "электролитических конденсаторов".

Ситуация обострилась только в наше время, когда значения рабочей частоты, на которых стали применять оксидные конденсаторы, достигают сотен килогерц (в импульсных источниках питания). Да и конструкторы высококлассных усилителей ЗЧ теперь обращают больше внимания на работу конденсаторов. Иными словами, ЭПС в единицы ом может уже заметно сказаться на зарядно-разрядных характеристиках конденсатора и отрицательно повлиять на работу прибора в целом.

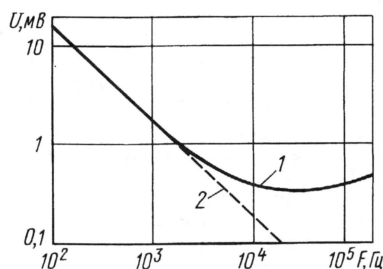


Рис. 2

Сейчас появились "приборы для измерения ЭПС", которые часто на самом деле всего лишь оценивают полное сопротивление проверяемого конденсатора на частоте до нескольких десятков килогерц. Несмотря на наличие точных шкал, их следует считать индикаторами, которые в узких зонах их показаний позволяют сказать, что "конденсатор хороший" или "конденсатор плохой", а в очень широкой зоне — "кто его знает". Причем большинство конденсаторов попадают именно в широкую зону.

В основу работы этих приборов заложен простой постулат — "на относительно высокой частоте емкостное сопротивление мало, и мы измеряем только ЭПС", что близко к истине лишь при определенных значениях емкости конденсатора и ЭПС, а оно-то как раз и неизвестно...

Конденсатор представляет собой "черный ящик с двумя выводами"

(двухполюсник), эквивалентная схема которого содержит два частотозависимых элемента. Получить какую-то достоверную информацию о них можно, лишь снимая зависимость модуля полного сопротивления от частоты. Если частотные области влияния элементов заметно расходятся, тогда из этой зависимости и можно "вытащить" характеристики отдельных элементов.

Если в распоряжении радиолюбителя есть генератор и милливольметр ЗЧ, снять такую зависимость несложно. Я использовал самодельный генератор ЗЧ с выходным напряжением 1 В и милливольметр ВЗ-38. На частоте более 100 кГц источником сигнала служил генератор Г4-18. На проверяемый конденсатор напряжение с выхода генератора поступало через резистор сопротивлением 50...100 Ом (некритично). Поскольку сопротивление этого резистора существенно больше модуля полного сопротивления конденсатора, то мы получаем "генератор тока", т. е. напряжение на исследуемом конденсаторе пропорционально значению его модуля полного сопротивления.

На рис. 2 изображена зависимость напряжения на конденсаторе К50-29 емкостью 1000 мкФ на номинальное напряжение 63 В (кривая 1). Видно, что с увеличением частоты на участке 100...1000 Гц напряжение на конденсаторе падает по закону, близкому к  $1/f$  (в двойном логарифмическом масштабе — прямая линия с наклоном 45 град., как и должно быть для идеального конденсатора (прямая 2). На частоте более 10 кГц напряжение на конденсаторе начинает все сильнее зависеть от ЭПС и постепенно увеличивается, поскольку увеличиваются и потери. Расчет модуля полного сопротивления этого конденсатора на частоте 100 кГц дает значение 0,04 Ом.

Это очень хорошее значение "ЭПС" и близкое к действительному, так как модуль емкостной составляющей этого конденсатора в нашем случае всего 0,0016 Ом. Это подтверждает и рис. 2 — штриховая линия 2 идет на этом частотном участке существенно ниже кривой 1.

В упомянутых выше "универсальных приборах", где интервал проверяемой емкости обычно указывают как "больше 1 мкФ", для конденсатора с таким значением ЭПС и емкостью 100 мкФ погрешность измерения из-за влияния емкостной составляющей была бы уже близкой к 30 %. А при 10 мкФ измеренное "значение ЭПС" определялось бы емкостным сопротивлением конденсатора, а не ЭПС как таковым. Как говорят, комментарии излишни.

По этой причине при использовании "одночастотных" приборов помимо измерения модуля полного сопротивления (выдаваемого за ЭПС) надо проводить контрольное определение модуля емкостного сопротивления проверяемого конденсатора на рабочей частоте прибора. И если он сопоставим с полученным значением "ЭПС", искомую величину находить уже путем расчета.

(Окончание см. на с. 42)







операцию — нажать на кнопку SB4 во время звучания мелодии. При следующем нажатии на кнопку SB3 (или на дублирующую ее кнопку SB2) прозвучит та мелодия, которая была выбрана последним нажатием на кнопку SB4.

Отсутствовавшие в прототипе кнопки SB1, SB2 и SB4 размещены внутри квартиры, и посетитель не имеет к ним доступа, поэтому управлять режимом работы звонка сможет только хозяин.

Учтите, в отличие от многих других, этот звонок должен быть постоянно подключен к сети, иначе после каждого включения придется выбирать мелодию заново. При необходимости звонок можно все же выключить. Для этого предназначен выключатель SA1. О том, что звонок временно не действует, сигнализирует светодиод HL1.

К деталям звонка особых требований не предъявляется, за исключением конденсаторов C6 и C7, которые должны быть пленочными К73-17 на напряжение не менее 630 В. Допускается составить конденсатор C7 из нескольких меньшей емкости, соединенных параллельно. Стабилизатор VD7 желательно снабдить теплоотводом. Микросхему УМС8-08 можно заменять на УМС8-01—УМС8-07, различающиеся лишь числом и набором мелодий. Для легкой замены микросхемы-синтезатора рекомендуется предусмотреть для нее на плате звонка стандартную 14-контактную панель.

Авторский вариант звонка смонтирован в корпусе абонентского трехпро-

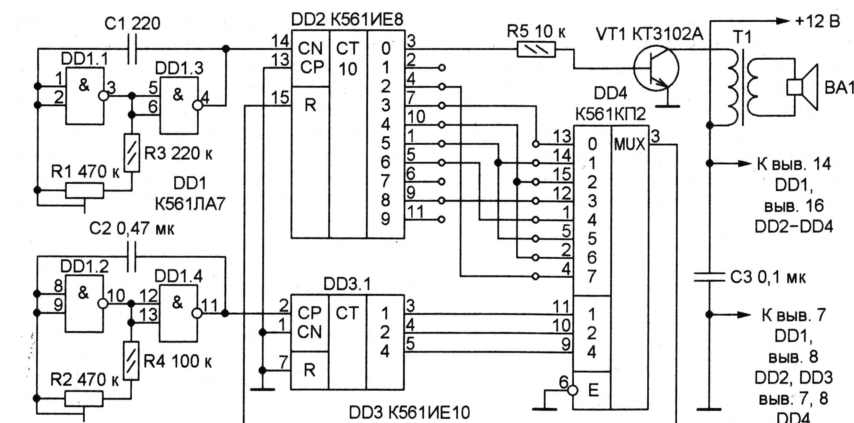


Рис. 4

тивления резисторов R2, R4 и емкости конденсатора C2. Импульсы поступают на вход счетчика DD3.1, управляющего работой мультиплексора DD4. Частота этих импульсов определяет скорость исполнения мелодии.

Так как установка счетчиков при подаче напряжения питания в какое-либо определенное состояние не предусмотрена, воспроизведение мелодии при нажатии на кнопку звонка фактически начинается с произвольного места. Однако для удобства рассуждений предположим, что начальное состояние счетчиков — нулевое.

Импульсы генератора образцовой частоты поступают на вход счетчика DD2. Логические уровни на выходах счетчика поочередно становятся высокими на время, равное периоду повторения входных импульсов. Один из выходов (выв. 3) счетчика соединен с входом усилителя ЗЧ на транзисторе VT1, который нагружен динамической головкой BA1 через согласующий трансформатор T1. Частота воспроизводимого головкой звука равна образцовой, деленной на устанавливаемый с помощью мультиплексора DD4 коэффициент.

При нулевом состоянии счетчика DD3 выход мультиплексора DD4 связан с его входом 0 (выв. 13). Поэтому, как только уровень лог. 1 появится на выходе 3 (выв. 7) счетчика DD2, произойдет установка этого счетчика в нулевое состояние. Процесс будет повторяться, пока состояние счетчика DD3 и мультиплексора DD4 неизменно. Прозвучит сигнал частотой, в три раза меньшей образцовой.

Как только на вход счетчика DD3 поступит импульс генератора на элементах DD1.2, DD1.4, счетчик изменит состояние и выход мультиплексора DD4 будет связан с его входом 1 (выв. 14). Так как этот вход соединен перемычкой с выходом 5 (выв. 1) счетчика DD2, коэффициент деления частоты образцового генератора станет равным 5. В следующем такте частота будет делиться на 4 и так далее.

В результате при указанном на схеме порядке соединения выводов счетчика и мультиплексора динамическая головка воспроизведет циклическую последовательность звуков частотой в 1/3, 1/5, 1/4, 1/8, 1/6, 1/5, 1/4 и 1/2 образцовой. Как отмечено в [2], для восприятия человеком звуковых сигналов важны не

абсолютные значения частоты, а их отношения. Поэтому образцовую частоту можно изменять подстроечным резистором R1 в широких пределах. Подстроечным резистором R2 устанавливаем желаемую скорость смены тонов.

Переставляя перемычки между выходами счетчика DD2 и входами мультиплексора DD4, можно получить множество вариантов созвучий. При желании их можно время от времени обновлять.

\* \* \*

Не спадает интерес к звонкам на специализированных микросхемах — синтезаторах мелодий серии

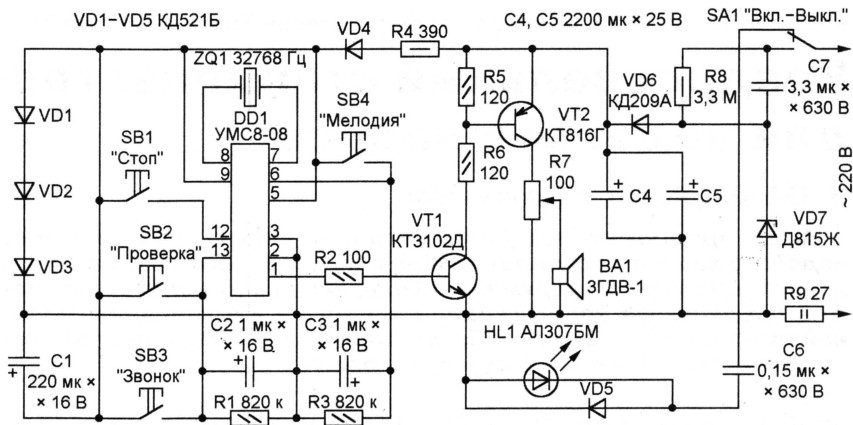


Рис. 5

УМС. Один из ранее опубликованных (его схема приведена в [4] на рис. 2) усовершенствовал **Н. КЛИМОВ** из г. Коврова Владимирской обл. Схема его варианта показана на рис. 5. Посетитель звонит, нажимая на кнопку SB3, расположенную у входной двери снаружи квартиры. Вновь введенным переменным резистором R7 можно установить желаемую громкость звучания.

Если нужно прервать мелодию прежде, чем она будет исполнена до конца, достаточно нажать на кнопку SB1. При необходимости сменить мелодию нажимают во время ее звучания на кнопку SB4. Синтезатор перейдет к следующей из хранящихся в памяти микросхемы DD1 мелодий. Если не устраивает и новый мотив, следует повторить

граммного громкоговорителя с использованием имеющейся в нем динамической головки, переключателя программ (из его кнопок удалены фиксаторы), сетевого выключателя и переменного резистора — регулятора громкости.

## ЛИТЕРАТУРА

1. Банныков В. Трехтональные музыкальные синтезаторы. — Радио, 1996, № 1, с. 46—48; № 2, с. 45—47.
2. Банныков В. Синтезатор "закрытой холодильной". — Радио, 1996, № 10, с. 42, 43.
3. Мелодичный звонок в телефонном аппарате. — Радио, 1997, № 5, с. 41, 42.
4. Банныков В. Электромузыкальный автомат-звонок. — Радио, 1995, № 12, с. 40, 41.

(Окончание следует)

Редактор — А. Долгий, графика — А. Долгий



## ЭПС и не только...

Окончание. Начало см. на с. 39

В разных источниках в качестве приемлемых называют обычно значения ЭПС до 1 Ом. По-видимому, к хорошим конденсаторам правильнее относиться те, у которых ЭПС не превышает нескольких десятых долей ома. Конденсаторы с ЭПС более 1 Ом уже скорее попадают в группу сомнительных. Это не означает, что их нельзя применять в аппаратуре, но в не заработавшем или внезапно отказавшем импульсном источнике питания они первыми должны быть взяты под подозрение.

Следует заметить, что ЭПС зависит от множества факторов (в частности, чисто технологических), поэтому нередко значения ЭПС или модуля полного сопротивления могут заметно отличаться даже для близких по другим характеристикам конденсаторов.

При анализе частотной зависимости модуля полного сопротивления конденсатора мы сразу исключили из рассмотрения паразитную индуктивность. И это понятно, поскольку типичные ее значения — это десятки наногенри, и на обсуждаемом частотном участке ее влияние ничтожно. Тем не менее вспомним, что в реальных устройствах параллельно полярным конденсаторам (например, в цепях питания УЗЧ) обычно подключают блокировочные керамические емкост-

тью 0,01...0,1 мкФ. Мотивировка проста — "керамические конденсаторы обеспечивают развязку на высоких частотах, где уже плохо работают полярные".

К этой фразе нельзя вроде бы придраться, но все портит паразитная индуктивность оксидного конденсатора. Вместе с дополнительным блокиро-

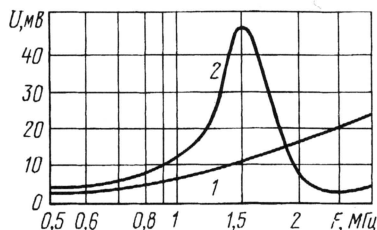


Рис. 3

вочным конденсатором она образует параллельный колебательный контур с резонансной частотой несколько мегагерц. И на этой частоте блокировочные конденсаторы превращаются в антиблокировочные со всеми вытекающими из этого последствиями.

Для того же конденсатора К50-29, о котором речь шла выше, на той же установке было повторено то же измерение в варианте, когда параллельно этому конденсатору был включен керамический КМ-6 емкостью 0,15 мкФ. На рис. 3 представлены результаты

этих измерений. Кривая 1 — напряжение на конденсаторе без дополнительного керамического конденсатора. Напряжение монотонно увеличивается с частотой, поскольку возрастает потери в диэлектрике. Кривая 2 показывает, как изменяется это напряжение после подключения дополнительного "блокировочного" конденсатора — появляется четко выраженный резонанс на частоте около 1,6 МГц, что соответствует индуктивности около 60 нГн. По оценкам примерно половина этой индуктивности обусловлена в этом эксперименте выводами конденсатора и короткими соединительными проводниками. В реальных конструкциях может "подключиться" паразитная индуктивность печатных или навесных проводников и резонансная частота может быть и ниже.

При наличии такого резонанса и некоторых условий, определяемых схемотехникой устройства и особенностями его конструкции, может возникнуть самовозбуждение. Подобная ситуация реальна для усилителей мощности ЗЧ на современных высокочастотных транзисторах и для широкополосных усилителей мощности радиостанций. А высокочастотное возбуждение или "подвозбуждение" (обнаруженное экспериментально уже давно) может оказаться ответственным, например, за специфическое ("транзисторное"?) звучание УМЗЧ...

Редактор — Л. Ломакин, графика — Ю. Андреев

## Бездроссельный стабилизатор для водяного насоса

Б. ПОРОХНЯВЫЙ, г. Красноярск

**Автор продолжает тему стабилизации работы вибрационного водяного насоса в условиях крайне непостоянного в сельских условиях питающего напряжения. Отказавшись от использованного в предыдущих конструкциях сложного в изготовлении нелинейного дросселя, он разработал стабилизатор переменного тока с симисторным фазовым регулятором.**

Описанные в [1, 2] варианты стабилизатора для водяного насоса "Малыш" неплохо зарекомендовали себя в работе, однако изготовление и особенно настройка примененных там нелинейных дросселей вызывают немалые трудности. В новом варианте стабилизатора ток, текущий через обмотку вибрационного привода насоса при пониженном напряжении в сети, как и прежде, доведен до номинального с помощью включенного последовательно с обмоткой конденсатора, частично компенсирующего ее индуктивное сопротивление. Растущий с увеличением напряжения в сети ток стабилизатор возвращает к прежнему значению, уменьшая угол включенного состояния введенного в цепь насоса симистора.

Схема стабилизатора показана на рис. 1. Подключенный к вторичной об-

мотке трансформатора питания Т1 диодный мост VD1 нагружен резистором R3. С него выпрямленное пульсирующее напряжение поступает через резистор R4 на вход элемента DD1.1, формирующего импульсы высокого логического уровня длительностью около 2 мс, совпадающие по времени с близкими к нулю мгновенными значениями сетевого напряжения. Диодом VD4 вход элемента DD1.1 защищен от превышения допустимого напряжения.

Через диод VD5 каждый импульс заряжает конденсатор C5 до напряжения питания микросхем. Разрядка конденсатора через резистор R15 происходит в паузах между импульсами. В результате на инвертирующий вход ОУ DA2.3 поступает периодическое линейно падающее напряжение. Неинвертирующий вход ОУ DA2.3 соединен с выходом ОУ DA2.1, служащего элементом

сравнения напряжения, пропорционального току в цепи насоса, и образцового, поступающего с движка переменного резистора R6. Преобразователем тока насоса в пропорциональное ему напряжение служит трансформатор тока Т2 с нагрузочным резистором R2 и выпрямителем — диодным мостом VD2. Конденсатор C2 сглаживает выпрямленное напряжение.

Любое увеличение тока приводит к уменьшению напряжения на выходе ОУ DA2.1, в результате чего уменьшается и относительная длительность импульсов высокого уровня на выходе ОУ DA2.3. При уменьшении тока происходит обратное — относительная длительность импульсов растет. Спадающие перепады импульсов совпадают по времени с нулевыми мгновенными значениями сетевого напряжения. В моменты нарастающих перепадов уровня на выходе ОУ DA2.3 дифференцирующая цепь R18C6 формирует положительные импульсы длительностью приблизительно 50 мкс. После усиления элементами DD1.3, DD1.4 и транзистором VT1 и при условии, что на вывод 9 элемента DD1.4 подан низкий уровень, эти импульсы открывают симистор VS1. Таким образом, относительная длительность открытого состояния симистора растет, если ток насоса необходимо увеличить, и уменьшается, если его нужно уменьшить.

Так как узел управления гальванически связан с сетью, для большей электробезопасности рекомендуется соединять верхний (по схеме) вывод первич-





Большая часть элементов стабилизатора размещена на печатной плате, изображенной на **рис. 2**. Она рассчитана на установку подстроечных резисторов СПЗ-19, оксидных конденсаторов К50-35 или их зарубежных аналогов. Конденсатор С5 — К10-17, С6 — КМ-6.



К сети, к обм. I T1 ←



Для налаживания стабилизатора потребуются ЛАТР с максимальным током нагрузки не менее 5 А и амперметр переменного тока с таким же пределом измерения. Отключив провода, соединяющие коллектор транзистора VT1 с управляющим электродом симистора VS1 и выход стабилизатора DA1 с сетью, убедитесь, что при изменении напряжения на первичной обмотке трансформатора T1 в пределах 160...240 В выходное напряжение интегрального стабилизатора DA1 практически неизменно и равно 12 В.

Далее соедините одной перемычкой выводы конденсатора C1, а другой — выводы 1 и 2 симистора VS1 и подключите насос через амперметр к розетке XS1. При номинальном сетевом напряжении 220 В измерьте потребляемый насосом ток и напряжение на конденсаторе C2. Если оно значительно отличается от 6 В, подберите резистор R2. На движке переменного резистора R5 установите напряжение на 5...10 % больше измеренного на

конденсаторе C2. Это порог срабатывания токовой защиты.

Движки резисторов R6 и R7 переведите в нижнее (по схеме) положение и снимите перемычку с выводов симистора. Увеличив входное напряжение до 240 В, подстроечным резистором R6 восстановите измеренное ранее номинальное значение тока насоса. Затем немного поверните движок подстроечного резистора R7. Ток насоса уменьшится. Восстановите его прежнее значение подстроечным резистором R6. Повторив эту операцию несколько раз, добейтесь стабильности тока при изменении сетевого напряжения в интервале 220...240 В. Снимите перемычку с конденсатора C1 и проверьте стабильность тока во всем интервале изменения сетевого напряжения, при необходимости повторяя описанную выше регулировку. Учитывая свой опыт, рекомендуем потренироваться, подключив к стабилизатору вместо насоса эквивалентную активную нагрузку.

При необходимости стабилизировать работу на вибрационном, а центробежного насоса достаточно заменить трансформатор тока T2 трансформатором напряжения, подключив его первичную обмотку параллельно двигателю насоса. Естественно, в этом случае токовая защита работать не будет и ее нужно отключить, удалив диод VD7 и резисторы, соединенные с выводами OY DA2.2.

По сравнению с описанными в [1, 2] предложенный стабилизатор менее критичен к емкости конденсатора C1, его легче отрегулировать для работы с конкретным экземпляром насоса. Однако функцию "сторожа" в бездрессельном варианте осуществить сложнее.

#### ЛИТЕРАТУРА

1. Порохнявый Б. Стабилизатор и "сторож" для вибрационного насоса. — Радио, 2002, № 3, с. 25, 26.
2. Порохнявый Б. Автоматическая водоканка. — Радио, 2005, № 7, с. 44, 45.

Редактор — А. Долгий, графика — А. Долгий

## Поиск радиомаяка в диапазоне 433 МГц

И. НЕЧАЕВ, г. Курск

*Мы еще раз возвращаемся к интересующей многих читателей теме поиска заблудившихся домашних животных путем пеленгации установленных в их ошейниках радиомаяков. Перейдя на более высокую частоту и использовав гибридные СВЧ микросхемы, удалось не только сделать маяк намного меньше и легче примененных в других конструкциях, но и заметно увеличить дальность его обнаружения.*

Систему поиска домашних животных с помощью радиопередатчика и приемника, описанную в [1], можно сделать более чувствительной и эффективной, если она будет работать не в Си-Би, а в более высокочастотном диапазоне. В этом случае можно увели-

(приемник). Они разработаны для цифровых радиолиний небольшого радиуса действия и широко в них используются.

Микросхема TX5000 [2] — передатчик. В ней имеется задающий генератор с резонатором на поверхностных акустических волнах (ПАВ), он и опре-

Изменением тока, вытекающего из вывода 8 (в пределах 25...250 мкА), выходную мощность можно регулировать от 0,1 до 1,2 мВт.

Принципиальная схема радиомаяка на микросхеме TX5000 показана на рис. 1. Чтобы увеличить его мощность до 10 мВт, предусмотрен усилитель на транзисторе AT-32011 (VT3), специально предназначенном для работы при низком напряжении питания и малом токе коллектора. П-контур C8L3C9 обеспечивает согласование выхода усилителя с антенной WA1, а катушка L4 компенсирует емкостную составляющую входного сопротивления антенны.

На транзисторах VT1 и VT2 собран мультивибратор. Его сигнал частотой 0,8...1 кГц поступает на вход управляемой мощностью (вывод 8) микросхемы DA1, в результате чего сигнал радиомаяка промодулирован по амплитуде с указанной частотой.

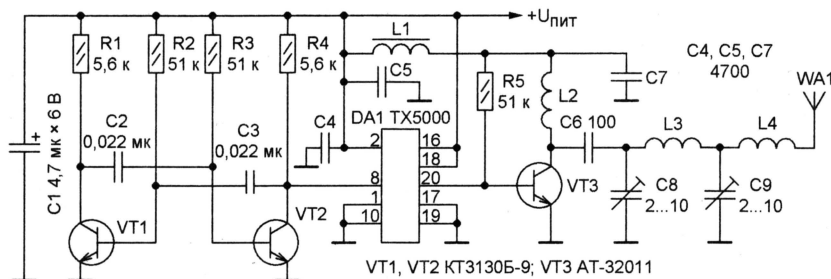


Рис. 1

чить дальность действия системы, прежде всего, за счет применения более эффективных антенн.

Для уменьшения размеров, в первую очередь, надеваемого на животное маяка и, что немаловажно, упрощения изготовления и настройки высокочастотных узлов можно применить специальные микросхемы фирмы RFM, например, TX5000 (передатчик) и RX5000

деляет рабочую частоту. Усилитель мощности в микросхеме снабжен фильтром на ПАВ, подавляющим внеполосные излучения. Основные параметры передатчика TX5000: напряжение питания — 2,2...3,7 В; потребляемый ток — приблизительно 7,5 мА; рабочая частота — 433,92±0,2 МГц; номинальная выходная мощность — 1 мВт.

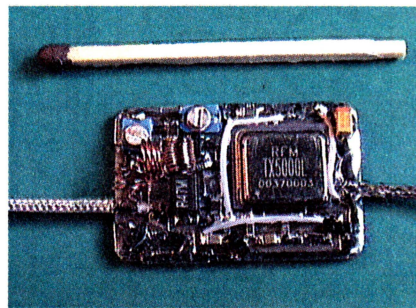


Рис. 2

Питать маяк можно от одного литиевого элемента или батареи из двух гальванических элементов общим напряжением 3 В. Специального выключателя питания нет, маяк начинает работать сразу после подключения батареи. Потребляемый ток не превышает 15 мА.

Внешний вид радиомаяка показан на рис. 2. Его печатная плата из двусторонне фольгированного стеклотекстолита



КОНКУРС "РАДИО"—80



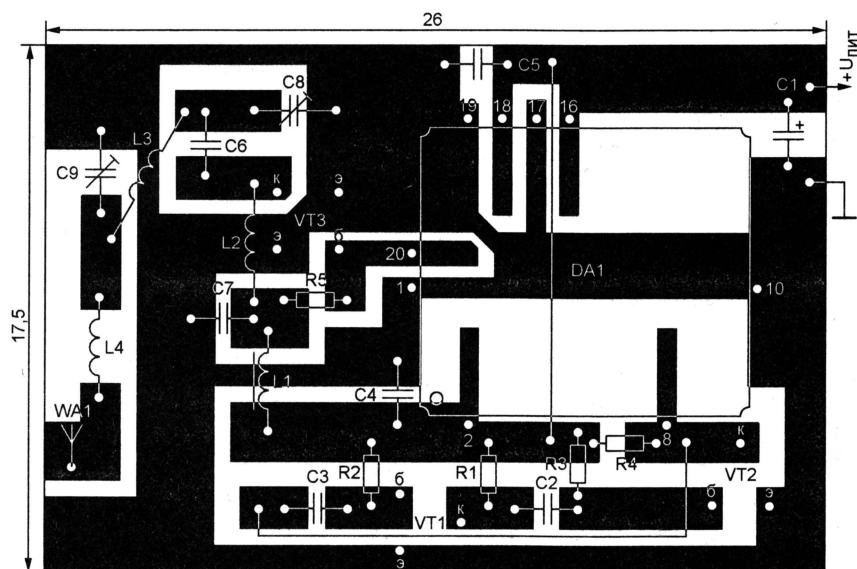


Рис. 3

лита толщиной 1...1,5 мм изображена в масштабе 4:1 на рис. 3 (вид со стороны установки деталей). Фольга на обратной стороне платы оставлена нетронутой и соединена в нескольких местах по периметру с общим проводником на стороне монтажа.

Плоские выводы микросхемы DA1 расположены на нижней поверхности ее корпуса. Перед установкой микросхемы на плату к ним припаяны отрезки тонкого луженого провода, выходящие на 0,5...1 мм за контур микросхемы.

Со стороны деталей плата закрыта пластмассовой крышкой, щели загерметизированы эластичным компаундом.

Антенна WA1 изготовлена из отрезка коаксиального кабеля РК50-1-21 или РК50-1-22 длиной 164 мм по внешнему проводнику (оплетке), как показано на рис. 4. С одной стороны отрезка внутренний проводник соединен с внешним. На расстоянии 43 мм это сделано еще раз. С другой стороны внутренний проводник соединен кратчайшим путем с общим проводом пере-

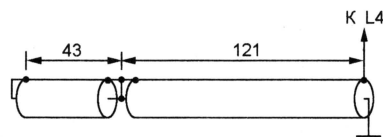


Рис. 4

датчика, а внешний — с правым (по схеме) выводом катушки L4.

Приемник-пеленгатор радиомаяка построен на микросхеме RX5000 [3], обеспечивающей прием АМ сигналов в диапазоне 433,72...434,12 МГц. Ее основные параметры: входное сопротивление — 50 Ом; чувствительность — 0,8 мкВ (−109 дБмВт); напряжение питания — 2,2...3,7 В; потребляемый ток — 1,8 мА.

Схема приемника показана на рис. 5. Антенну подключают к разъему XW1. Она согласована с помощью П-контура C1L1C3 с входом УВЧ на

транзисторе VT1. Благодаря УВЧ чувствительность пеленгатора достигает 0,35...0,4 мкВ. При определении направления на источник сильного сигнала ее можно уменьшить более чем в 100 раз переменным резистором R1.

Номинал резистора R6 (кОм) выбран исходя из формулы

$$R6 = \frac{1445}{F_{гп}}$$

Зависящая от него  $F_{гп}$  — граничная частота полосы пропускания выходного активного ФНЧ микросхемы RX5000 (кГц) — в данном случае выбрана немного большей частоты модуляции сигнала радиомаяка.

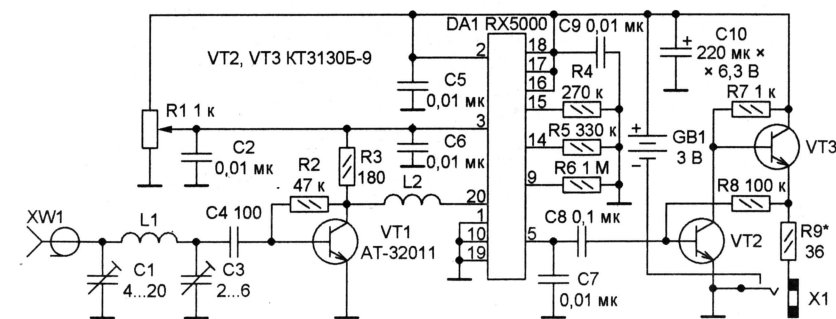


Рис. 5

На транзисторах VT2, VT3 собран УЗЧ. Его нагрузка — головные телефоны сопротивлением 30...50 Ом, подключаемые к гнезду X1. При вынутым из него штекере телефонов цепь батареи GB1 разомкнута имеющимися в гнезде контактами. Чтобы включить приемник, достаточно вставить штекер в гнездо. С уменьшением номинала резистора R9 растут и громкость сигнала в телефонах, и потребляемый приемником ток, который при номинале резистора, указанном на схеме, не превышает 16 мА.

Приемник собран на печатной плате, эскиз которой показан на рис. 6. Ее

конструкция аналогична плате маяка. Пластмассовый корпус, в который помещена плата, закреплен на бумажной направленной приемной антенны, со стороны, противоположной направлению максимума диаграммы направленности. Внешний вид приемника с антенной показан на рис. 7.

Размеры приемной антенны "волновой канал" [4] приведены на рис. 8. Она соединена с приемником отрезком коаксиального кабеля, аналогичного использованному для изготовления передающей антенны. Пассивные и активный вибраторы сделаны из провода ПЭВ-2 диаметром 2 мм и приклеены эпоксидным клеем к бумажной стеклотекстолиту размерами приблизительно 500×10×2 мм.

Платы передатчика и приемника рассчитаны на установку элементов для поверхностного монтажа: постоянных резисторов P1-12, оксидных танталовых конденсаторов K53-22 и K53-56A, керамических конденсаторов K10-17в, K10-69в или аналогичных импортных деталей. Подстроечные конденсаторы и дроссель L1 (в маяке) также в исполнении для поверхностного монтажа.

Все остальные катушки — бескаркасные, намотанные проводом ПЭВ-2 0,2 на оправке диаметром 2 мм. Число витков катушек: в приемнике L1 — 3, L2 — 4, в радиомаяке L2 — 8, L3 — 4, L4 — 2.

Первым налаживают и проверяют радиомаяк. Временно к его выходу вместо антенны и катушки L4 (см. рис. 1) подключают измеритель мощности. Сдвигая и раздвигая витки катушек L2 и L3, изменяя емкость конденсаторов C8 и C9, добиваются максимальных показаний измерителя (около 10 мВт). Затем катушку L4 устанавливают на место, подключают антенну и повторяют

настройку по максимуму показаний индикатора напряженности поля. В заключение проверяют наличие импульсов мультивибратора на выводе 8 микросхемы. При необходимости их частоту можно изменить, подобрав конденсаторы C2 и C3.

Затем переходят к проверке и регулировке приемника. Изменением индуктивности катушки L1 (см. рис. 5) и емкости конденсаторов C1, C3 добиваются минимального КСВ входа приемника или максимума его чувствительности. Катушку L2 настраивают по максимуму чувствительности.



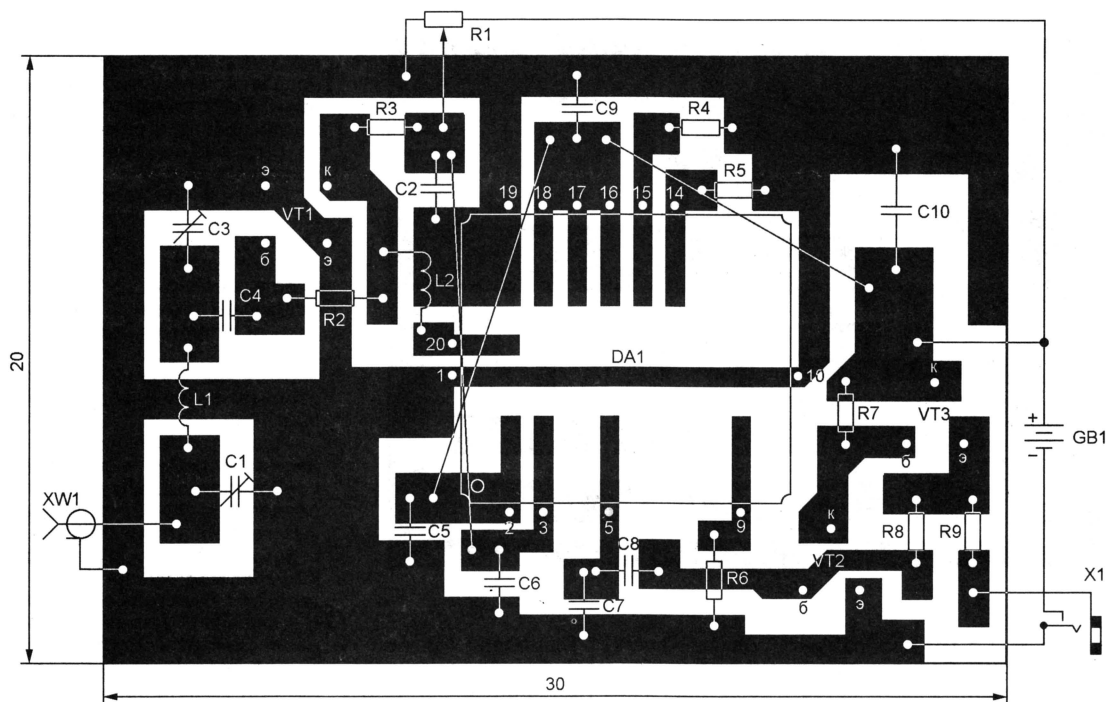


Рис. 6

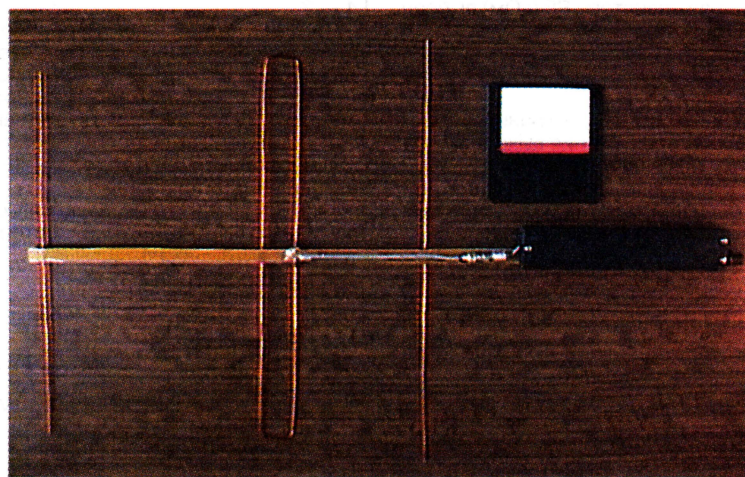


Рис. 7

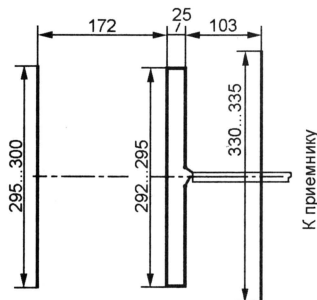


Рис. 8

Остается проверить работоспособность системы в реальных условиях и попрактиковаться в определении направления на работающий маяк. Экс-

периментальная проверка в условиях прямой видимости приемник—маяк показала дальность обнаружения сигнала до нескольких километров.

Занимаясь практической радиопеленгацией, придется научиться учитывать особенности распространения радиоволн дециметрового диапазона (отражение от местных предметов, значительное затухание в растительности и пр.). При слабом сигнале (на уровне шума приемника) пеленговать маяк удобнее по максимуму громкости, а при сильном — по ее минимуму.

Диаграмма направленности приемной антенны описанной конструкции имеет несколько минимумов. Необходимо опытным путем определить направление самого глубокого и в дальнейшем пользоваться именно им. С

приближением к маяку громкость сигнала растет и чувствительность приемника следует уменьшать.

#### ЛИТЕРАТУРА

1. Нечаев И. Радиопоиск домашних животных. — Радио, 2001, № 3, с. 28—30.
2. 433.92 MHz Hybrid Transmitter. — <<http://www.rfm.com/products/data/tx5000.pdf>>.
3. 433.92 MHz Hybrid Receiver. — <<http://www.rfm.com/products/data/rx5000.pdf>>.
4. Лаврушов И. Трехэлементный волновой на 433 МГц для высокогорных экспедиций. — <<http://www.hamradio.cmw.ru/techn/433yagi3.htm>>.

Редактор — А. Долгий, графика — А. Долгий, фото — автора



Лев Сергеевич Термен — легендарная личность, физик, музыкант, инженер, поставивший свои идеи, знания на службу отечеству.

Жизненный путь Термена длинен, сложен, озарен талантливыми находками и жестокими разочарованиями. Справедливо ради необходимо отметить, что наиболее известная часть его инженерной деятельности составляет лишь долю его таланта.

Родился Лев Сергеевич в Нижнем Новгороде. С детского возраста был одержим музыкой и физикой, причем еще в гимназии занимался ими достаточно профессионально (в домашней лаборатории экспериментировал с токами высокой частоты, магнитными полями, ему удалось создать источник электрического тока с напряжением до 1000000 В).

Поступает в консерваторию по классу виолончели, а через год в университет, сразу на два факультета — физический и астрономический.

В 1916 г. призывается в армию — слушатель Высшей офицерской школы-экстерна, по окончании Лев Сергеевич — офицер радиотехнического отряда — специализируется на мощном радиостроении (в том числе руководит постройкой, эксплуатацией, а затем эвакуацией на Урал самой мощной в России Царскосельской радиостанции, к сожалению, при наступлении Юденича на Петроград, 120 метровые мачты-антенны пришлось взорвать).

Термен полностью соответствовал высокому званию инженеров-радиотехников той поры, которые были универсальными специалистами, в большой степени физиками-экспериментаторами. Неслучайно последовало приглашение в Физико-технический институт для организации лаборатории по применению электрических колебаний высокой частоты в измерительной технике.

Тематика лаборатории поражает воображение: психофизиологические исследования возможности обострения зрения в условиях очень малых освещенностей, гипнотических явлений, механизмов восприятия запаха; разработка емкостных датчиков и увеличение их чувствительности с помощью схемотехнических решений; разработка охранных систем и многое другое.

Часть охранных систем строилась на основе сравнения частот двух автогенераторов, в контур одного из которых вводился емкостный датчик, реагирующий на изменения внешней обстановки. Частота биений гармонических колебаний автогенераторов изменялась от приближения к охраняемому объекту и срабатывало исполнительное устройство (ревун, мигающий маяк).

Разработка охранных устройств натолкнула Льва Сергеевича на идею создания электромузыкального инструмента, частота и громкость звука которого управлялись положениями рук исполнителя относительно управляющих электродов — антенн. Виолончелист Термен Л. С. освоил игру на новом инструменте, первоначально названного им

ЭТЕРОФОНОМ (этер — эфир). При оформлении патентов название было изменено на терменвокс (голос Термена).

Демонстрация инструмента потрясла слушателей неземными звучаниями известных классических произведений. В 1922 г. В. И. Ленин даже испытал его как исполнителя, заслужив похвалу автора-музыканта.

Ближайшие пять лет Термен Л. С. выступает с демонстрациями своего инструмента, получает третье высшее образование инженер-физик, защищая в качестве дипломной работы созданную им систему охранного телевидения. Демонстрация охранной системы (движущиеся изображения посетителей, подходящих к приемной) у наркомов обороны прошла весьма успешно и привела к заказу разработки устройства охраны государственной границы.

К сожалению, Лев Сергеевич уже не участвует в этой разработке, так как его командировали в США. Формальная цель — демонстрация терменвокса. Концертная и творческая деятельность позволяет войти в элиту американского общества, собирать сведения политического и научно-технического характера.

Как и многих соотечественников, его возвращают в 1938 г. в СССР, подвергают репрессиям (якобы готовил покушение на высшее руководство с помощью управляемого по радио из Нью-Йорка фугаса, подвешенного вместо маятника Фуко в Исаакиевском соборе Ленинграда).

Работы инженера Термена Л. С. известны, и знаменитый авиаконструктор А. Н. Туполев добивается его перевода в свое конструкторское бюро — "шарашку". Лев Сергеевич разрабатывает и внедряет свой вариант высотомера, затем уже в институте радиотехнического профиля занимается разработкой специальной техники. Термену Л. С. приписывают разработку пассивных (не содержащих источников питания, а поэтому не имеющих ограничений по сроку использования) устройств дистанционного контроля разговоров. Например, одно из них было обнаружено лишь через 7 лет после установки.

В 60—70-е годы Лев Сергеевич возвращается к разработке принципов и устройств музыки будущего. Я помню его доклад на сессии общества им. А. С. Попова об управлении звуком и светом не только руками, но и всем телом исполнителя, его передвижением по сцене.

Он мечтал о слиянии музыки, балета, сценического света и готов был разрабатывать устройства превосходящие по воздействию на человека традиционных музыкальных инструментов. Он был твердо уверен, что возможности восприятия человеком окружающей среды значительно превышают рамки современной музыки и требуют разработки новых музыкальных инструментов, новых исполнителей и, главное, новых произведений.

Уже в 95 лет он совершает блистательное турне как исполнитель, доказывая, что семь нот и восемь с четвертью октав не ограничивают возможности нового здания "Музыки Мира".

Этот универсальный музыкальный инструмент предназначен для исполнения музыкальных произведений в профессиональной и самодеятельной практике, а также для реализации различных музыкально-звуковых эффектов. Звуковысотный диапазон инструмента охватывает все октавы. По тембру он относится к классу голосовых с различной нюансировкой. Терменвокс питается от сети переменного тока напряжением 220 В частотой 50 Гц, потребляемая мощность не превышает 10 Вт. Масса основного блока с пультом управления (без педали, визуализатора грифа и штатива) — 1,7 кг.

Терменвокс назван универсальным потому, что его конструкция допускает игру в любой из двух хорошо развитых в настоящее время исполнительских школах. Первая из них — игра стоя, не прикасаясь к инструменту, — была предложена его изобретателем Л. Терменом. Вторую — игра сидя, правая рука управляет высотой звука, а прикасаясь к инструменту, левая лежит на пульте управления манипулятором и выбором режима работы, а громкостью управляют с помощью ножной педали — разработал в начале 20-х годов прошлого века известный исполнитель К. Ковальский.

Для школы Термена (ШТ) характерна внешняя эффектность исполнения, его оригинальность и необычность, необходимые для показательных и демонстрационных выступлений. При этом музыкально-исполнительские возможности оказываются существенно ограниченными.

Школа Ковальского (ШК) не столь эффектна, зато сопряжена с гораздо меньшими физическими нагрузками и позволяет успешно исполнять быстрые виртуозные произведения, что К. Ковальский практиковал на своих концертах.

Инструменты для каждой из школ игры отличаются и по схемотехнике, и по конструкции, и по внешнему оформлению. Передо мной была поставлена задача разработать терменвокс, пригодный и одинаково удобный в обеих школах. Именно такой — универсальный — вариант инструмента и предлагается вниманию читателей. Для перехода от одной школы к другой потребуются секунды, а для переключения электронного блока достаточно щелкнуть тумблером.

Структурная схема универсального терменвокса показана на рис. 1. Генератор—манипулятор формирует сигнал звуковой частоты, который через включатель звука и педаль регулирования громкости при игре сидя поступает на усилитель мощности ЗЧ. При игре стоя педаль громкости не используется и выходной сигнал поступает непосредственно на усилитель мощности, хотя может проходить и через педаль, если ее платформу зафиксировать в нажатом положении.

Генератор—манипулятор содержит два генератора ультразвуковой частоты, штырь управления высотой тона (ШВ), суммирующую цепь, детектор биений, манипулятор и выходной эмиттерный повторитель.



О терменвоксе журнал "Радио" писал неоднократно. Наиболее значимыми из публикаций на эту тему были статьи московского радиолюбителя Л. Королева "Современный терменвокс" (1985, № 2, с. 43—46 и 3-я с. обл.; № 3, с. 38—40) и "Визуализация пространственного грифа терменвокса" (1982, № 5, с. 44—46).

В последние годы автор этих статей многое сделал для усовершенствования инструмента, расширения его исполнительских возможностей, приспособления к практике обучения игры на нем. С итогами этой работы читателей знакомит помещенная здесь статья.

Нынешний год в жизни Льва Дмитриевича Королева стал заметной вехой — исполняется пятьдесят лет его радиолюбительской деятельности. От имени наших читателей мы поздравляем Л. Королева с этим юбилеем и желаем ему дальнейших творческих успехов.

Световой индикатор длины пространственного звуковысотного грифа, подключенный к выходу детектора биений генератора—манипулятора, позволяет устанавливать или подстраивать требуемую длину грифа без воспроизведения звука через громкоговорители. Узел запуска формирует запускающие импульсы для визуализатора грифа. Управляющее напряжение на генератор манипулятора поступает с переключателя исполнительских школ игры (ПШ), куда он приходит либо — при игре сидя — с отдельного пульта управления, либо — при игре стоя — с выхода канала управления громкостью.

Пульт управления в зависимости от выбранного режима работы инструмента формирует все амплитудные характеристики звука — атаку, затухание, длительное (струнное) затухание, стаккато.

в генераторно-манипуляторный блок, во многом идентичны и собраны по схеме индуктивной трехточки. Идентичность схемного построения, а также однофункциональных элементов необходима для обеспечения высокой стабильности музыкального строя.

Делители напряжения R1R2 и R4R5 уменьшают глубину внутренней ОС генераторов, что устраняет возможные скачкообразные изменения частоты. Конденсатор C1 постоянного генератора — эквивалент суммарной емкости штыря, его зажима и соединительного провода. Подстроечный конденсатор C3 — элемент взаимной связи генераторов, играющей исключительно важную и принципиальную роль в выравнивании мензуры грифа; значения частоты генераторов сближаются тем быстрее, чем меньше их расстройка (чем ни-

тенки. Фильтр C10R19C12 подавляет остаточные составляющие с частотой генераторов.

Манипулятор собран на резисторном оптроне ЗОР124А (U1), обладающем хорошим быстродействием, широким интервалом изменения сопротивления фоторезистора и слабо выраженной "усталостью", которая проявляется в непостоянстве модуляционной характеристики из-за гистерезисных явлений [2]. Применение оптрона позволило схемотехнически просто избавиться от щелчков при манипуляции и обрабатывать сигналы с большими уровнями. Регулируемым делителем напряжения служат сопротивление фоторезистора оптрона и входное сопротивление эмиттерного повторителя на транзисторе VT8.

Излучатель оптрона включен в нагрузочную цепь другого эмиттерного повторителя, собранного на транзисторе VT6. На базу транзистора поступает управляющее напряжение с переключателя школ игры SA2. В верхнем по схеме положении переключателя (игра стоя) оно приходит с выхода канала управления громкостью, в нижнем (игра сидя) — с пульта управления. Нелинейная цепь R24VD3 в выходной цепи эмиттерного повторителя VT6 служит для улучшения акустических качеств при имитации струнного звучания.

Резистор R31 — токоограничивающий. Контакты тумблера SA1 при игре сидя должны быть разомкнутыми. При игре стоя их замыкают после окончания пьесы (или когда исполнитель уходит от инструмента), блокируя прохождение сигнала ЗЧ в усилительный тракт.

Транзистор VT5 индикатора длины пространственного грифа высоты тона открывают положительные полуволны напряжения биений. Длину грифа оценивают по факту появления биений — началу миганий светодиода HL1.

Узел запуска визуализатора грифа представляет собой усилитель—ограничитель биений, собранный на транзисторе VT7. Напряжение на его выходе по форме близко к "меандру", положительные фронты которого запускают визуализатор грифа. Конденсаторы C14, C15 дополнительно подавляют высокочастотные составляющие сигнала, улучшая стабильность запуска.

Схема пульта управления изображена на рис. 3. Пульт обеспечивает три режима работы инструмента: готовые атака—затухание звука, регулируемые атака—затухание и имитация струнного (щипкового) звучания. Манипуляцию (включение—выключение звука) выполняют тремя кнопками SB1—SB3 с самовозвратом. Положение контактов переключателей на схеме соответствует режиму готовые атака—затухание.

При нажатии на одну из кнопок SB1—SB3 происходит зарядка конденсатора C1 пульта до напряжения, близкого к напряжению питания. Постоянная времени зарядки задана резистором R6 (сопротивлением резисторов R4, R8 и диода VD1 можно пренебречь) — она определяет атаку звука.

При отпускании манипуляционной кнопки конденсатор C1 разряжается че-

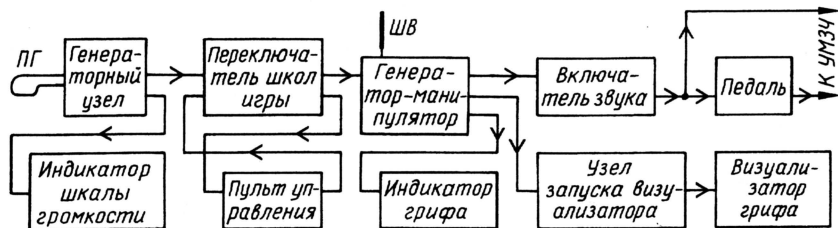


Рис. 1

В канал управления громкостью входит генераторный узел с петлевым элементом управления громкостью (ПГ) и световой индикатор длины пространственной шкалы регулирования громкости. Управляющее напряжение на выходе канала изменяется при изменении расстояния между рукой исполнителя и петлевым элементом, зависит от конфигурации кисти руки и определяет громкость звука и ряд его амплитудных характеристик.

Принципиальная схема инструмента показана на рис. 2. Формирователь звукового сигнала построен традиционно, с использованием двух генераторов, один (на транзисторе VT2) с постоянной частотой, а второй (VT1) управляемый — с переменной, в дальнейшем для краткости будем называть их постоянным и управляемым. Оба генератора — управляемый и постоянный, — входящие

же высота тона). Это компенсирует естественный разбег звуковысотных интервалов инструмента, или, говоря иначе, гриф на определенном участке становится равномерным [1].

Установку или подгонку требуемой длины пространственного грифа выполняют небольшим смещением частоты управляемого генератора посредством варикапов VD1, VD2. Суммирующая цепь выполнена на конденсаторах C5—C7. Для уменьшения собственного шума и внешних наводок входное сопротивление усилительной ступени на транзисторе VT3 выбрано сравнительно небольшим. Детектирование биений происходит на нелинейном эмиттерном переходе транзистора VT4, куда с цепи R13—R16 поступает регулируемое напряжение смещения. Это приводит к вариации формы кривой биений, позволяя получать различные тембровые от-



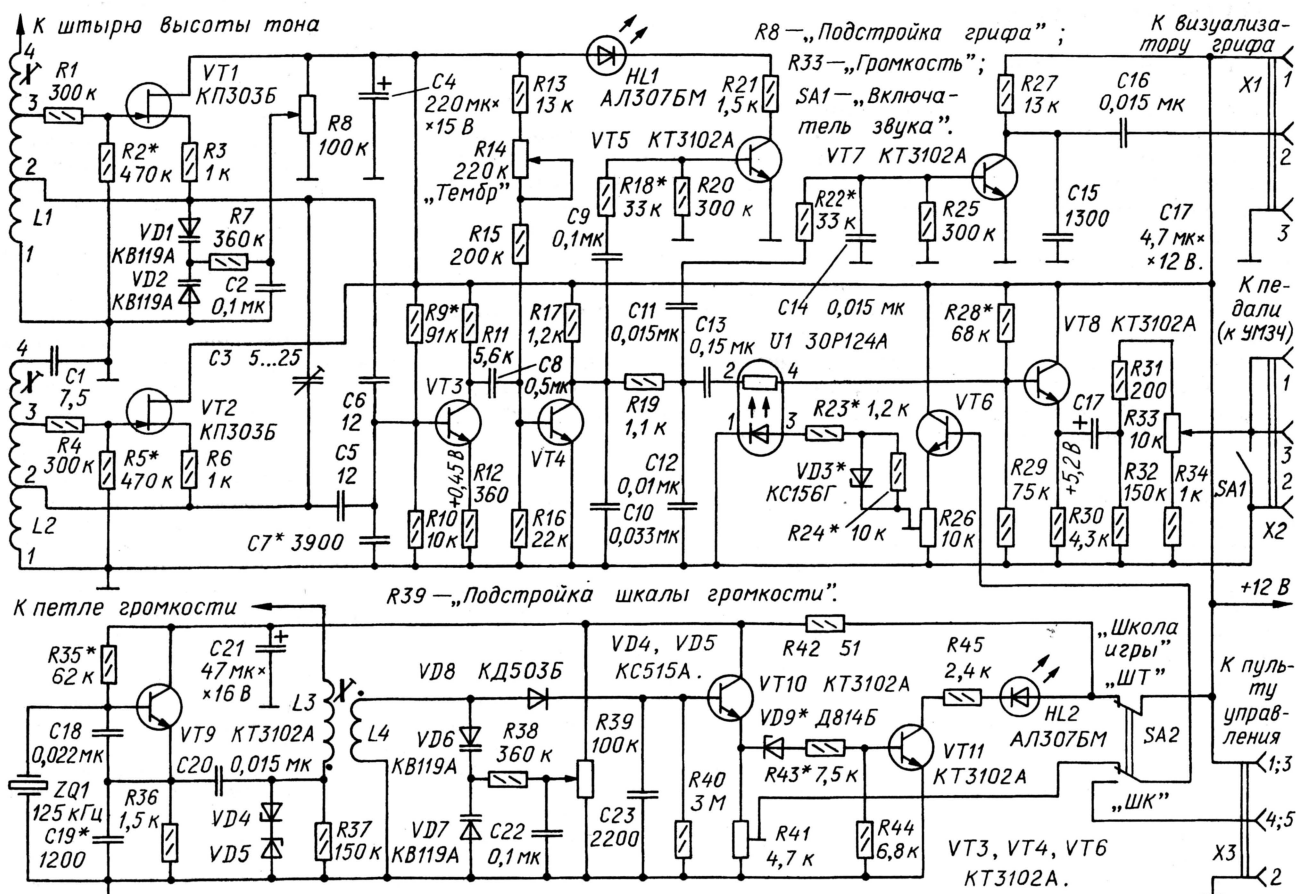


Рис. 2

рез резистор R1. Постоянная времени разрядки определяет затухание звука.

Практика применения терменвокса показала, что фиксированных значений атаки и затухания звука явно недостаточно. Для их ручной регулировки тумблер SA1 переводят в другое положение, а требуемые атаку и затухание устанавливают резисторами R7 и R3 соответственно.

Звучание струнных инструментов имитируют короткими и легкими ударами пальцем по одной из кнопок SB1—SB3 при нажатой другим пальцем и удерживаемой во время исполнения кнопке SB4. Для длительной игры в этом режиме может быть введен тумблер, дублирующий контакты кнопки SB4.

Жесткая атака соответствует малой постоянной времени зарядки конденсатора C1 через резистор R4 и диод VD1, а также очень малой постоянной времени включения оптрона U1. Длительное затухание определено большой постоянной времени разрядки конденсатора C1 через резистор R8 (входным сопротивлением транзистора VT6 пренебрегаем, а диод VD1 оказывается закрытым, поскольку кнопку SB4 удерживают нажатой). Такой прием, как глушение звучащей струны пальцем, выполняют кратковременным нажатием на кнопку SB5.

В основу узла регулирования громкости звука положен эффект изменения

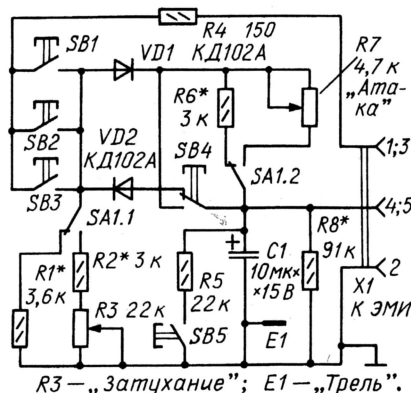


Рис. 3

напряжения на катушке колебательного контура при его расстройке относительно резонансной частоты.

Канал регулирования громкости состоит из кварцованного генератора, собранного на транзисторе VT9 (см. рис. 2) и питающего два взаимосвязанных колебательных контура, амплитудного детектора VD8C23, эмиттерного повторителя на транзисторе VT10 и индикатора длины шкалы регулирования громкости на транзисторе VT11 и светодиоде HL2.

Первый контур образован катушкой L3 и емкостью между левой ладонью

исполнителя и петель громкости (ПГ). Изменяя расстояние между ладонью и петлей, управляют громкостью звучания инструмента. Меньшему расстоянию соответствует меньшая громкость.

Контур включен в низкоомную эмиттерную цепь транзистора VT9. Во избежание интерференционных искажений частота генератора выбрана наименее высокой, чем у тональных генераторов.

Второй контур образуют катушка L4 и два варикапа VD6, VD7 — об их роли будет сказано ниже. С выхода эмиттерного повторителя управляющее напряжение поступает через контакты переключателя SA2 школ игры (ПШ) на базу транзистора VT6 манипулятора. Цепь VD4VD5R37 принципиальна для работы устройства. Она уменьшает влияние зарядов статического электричества, возникающих в процессе пользования инструментом.

Общая характеристика канала управления громкостью обеспечивает плавное ее регулирование от полного отсутствия звучания, когда левая ладонь находится на минимальном расстоянии от петли (или даже лежит на ней), до максимальной, когда рука поднята над петлей на расстояние около 50 см. С помощью варикапов VD6, VD7, управляемых напряжением с резистора R39, можно вносить небольшую дополнительную расстройку в систему контуров в окончательном настроенном инст-



рументе с целью получить максимальную длину пространственной шкалы громкости. Это констатируют по началу свечения светодиода HL2.

Узел электропитания (его схема представлена на рис. 4) состоит из сетевого трансформатора Т1, двух мос-

Позтому все однофункциональные детали этого узла следует подобрать парно из одной партии и с возможно близкими (с допуском не хуже 5 %) значениями параметров.

Катушки L1 и L2 надо также выполнить идентичными. Их наматывают на

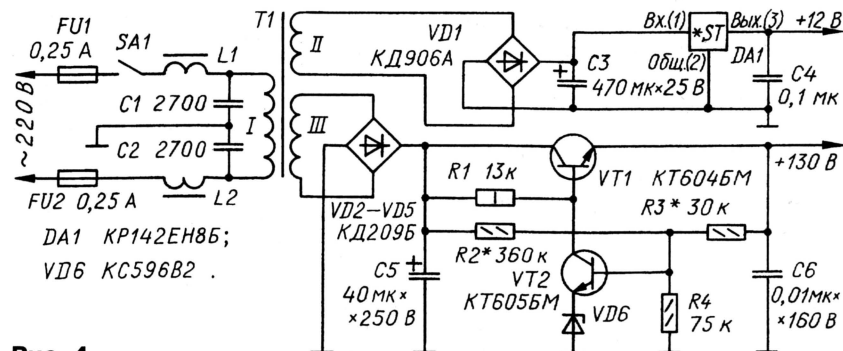


Рис. 4

товых диодных выпрямителей VD1, VD2—VD5 и двух стабилизаторов напряжения, один из которых собран на микросхеме DA1 и питает собственно терменвокс, а второй — на транзисторах VT1, VT2 для питания визуализатора грифа.

В инструменте можно использовать постоянные резисторы C2-23, C2-33, МЛТ; подстроечные — СПЗ-19а, СПЗ-38а, РП1-63м; переменные — серий СП-04, СПЗ-4, СП4-1. Номиналы резисторов R8 и R39 не критичны, их можно выбрать в пределах 10—220 кОм, из них следует предпочесть те, у которых характеристика В.

Подстроечный конденсатор C3 — КПК-МН. Конденсатор C1 — КД-2а или КТ-1 с малым ТКЕ и номинальным напряжением не менее 150 В; C5—C7, C18, C19, C23 с ТКЕ не хуже М750; C5, C7 — с допуском по емкости не хуже 5 %. Конденсаторы C1, C2 в узле питания — любые на напряжение не менее 400 В; оксидный конденсатор C1 в пульте управления — ниобиевый или танталовый из серий К52, К53, ЭТО, причем нужно обязательно отобрать экземпляр с минимальным током утечки. Остальные — малогабаритные любых типов.

Вместо оптрона ЗОР124А подойдет АОР124А или любой другой резисторный с временем включения не более 10 мс. Хорошие результаты дает и самодельный оптрон, составленный из фоторезистора СФЗ-4Б и светодиода АЛ102АМ. Типономиналы деталей, относящихся к манипулятору и отмеченных на схеме звездочкой, ориентировочные. Их при налаживании необходимо подбирать в соответствии с реальной амплитудной характеристикой манипулятора.

Кварцевый резонатор ZQ1 годится с любой частотой, вплоть до 146 кГц. Необходимо лишь, чтобы она превышала частоту постоянного генератора не менее чем на 17 кГц.

В основе высокой стабильности частотной частоты генераторного блока, а следовательно, и музыкального строя ЭМИ, лежит коррелированность частотного "ухода" генераторов.

трехсекционных фторопластовых каркасах диаметром 9 мм, диаметр щек — 17 мм, ширина секций — 3,5 мм, толщина перегородок — 1 мм; крайние щеки имеют толщину 2 мм. Центральное отверстие диаметром 8 мм рассчитано на тугоскользящую посадку на стандартный пластмассовый каркас с ферритовыми подстроечниками с резьбой М6 от высокочастотных контуров телевизионных приемников.

В одной из крайних щек (той, где будет вывод 4) в 1...1,5 мм от края сверлят рядом три отверстия диаметром 0,5...0,6 мм. В эти отверстия после намотки катушки вплетают отрезок луженого провода, к которому припаивают вывод 4. Катушку монтируют на плате выводом 4 вверх. Для пропускания провода в соседние секции в перегородках пропиливают паз.

Обмотки 1—2 и 2—3 (100+200 витков провода ПЭВ-2 0,06) наматывают в секцию, прилегающую к плате. Обмотка 3—4 содержит 3900 витков такого же провода, по 1300 витков в каждой секции каркаса. В нижнюю секцию провод укладывают поверх обмоток 1—2 и 2—3 без прокладок. Намотку лучше проводить вручную, часто и непрерывно раскладывая провод от одной щеки к другой, — такая намотка, подобно способу "универсаль", позволяет уменьшить собственную емкость катушки.

На аналогичном каркасе наматывают и катушки L3, L4 канала регулирования громкости. Обмотку L4, содержащую 300 витков провода ПЭВ-2 0,06, наматывают первой в секцию, прилегающую к плате. Сверху накладывают три слоя фторопластовой ленты толщиной 0,02...0,03 мм (например, от конденсаторов ФТ), поверх которой в том же направлении наматывают проводом ПЭВ-2 0,06 1000 витков катушки L3. В остальные две секции каркаса укладывают по 1200 витков такого же провода.

При намотке всех катушек межсекционный участок провода, находящийся в прорези перегородки, необходимо дополнительно изолировать от расположенных рядом витков. Проще всего

это сделать, поместив перед намоткой очередной секции этот участок в сгиб полоски конденсаторной бумаги и уложив провод с бумагой в прорезь. Для закрепления витков допустимо применение клея БФ-2. Снаружи все катушки обматывают тонкой фторопластовой лентой и фиксируют капроновыми нитками. С помощью клея и винтов М1,5 или М2 катушки устанавливают на платы.

Дроссели L1, L2 узла питания лучше всего применить готовые на ток 0,1 А или более, индуктивностью 1,5...2 мГн, но подойдут и самодельные.

Корпус оптрона следует соединить с общим проводом, например, с помощью обжимки из белой жести.

Трансформатор Т1 узла питания должен обеспечивать переменное напряжение на обмотке II 15...16 В при токе нагрузки 50...60 мА, а на обмотке III — 160...170 В при токе около 40 мА.

Манипуляционные кнопки SB1—SB3 пульта управления — самодельные, бесшумные с регулировкой усилия срабатывания (рис. 5). Контактные пластины и прокладки между ними исполь-

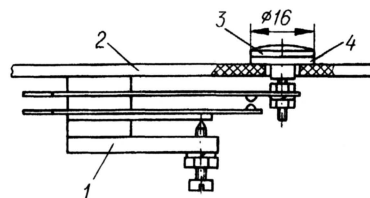


Рис. 5

зованы от старых переключателей или реле (например, РКН). Толкатель 3 вытаскивают из фторопласта и сочленяют со шпилькой на резьбе. Прижимную планку 1 выпиливают из жесткого листового дюралюминия. Прокладка 4 между толкателем и панелью 2 пульта служит демпфером и не должна влиять на усилие срабатывания кнопки. Прокладку вырезают из неплотного ворсистого фетра. Оптимальное усилие срабатывания кнопки — 15...30 г при глубине хода 0,5...0,8 мм.

Кнопки SB4, SB5 изготовлены из готовых микрокнопок KM1-1. У них удалены фиксаторы и уменьшено до 20...40 г усилие срабатывания.

В качестве включателя звука может быть использован любой тумблер с малым усилием переключения и без щелчков. Остальные тумблеры — любые малогабаритные. Разъемы для подключения педали и пульта управления — РГ5—РШ5 или др.

#### ЛИТЕРАТУРА

1. Королев Л. Д. Пространственный гриф терменвокса и его выравнивание. "Электроника, музыка, свет". Материалы научно-практической конференции. — Казань, 1996, с. 218—222.
2. Носов Ю. Р., Сидоров А. С. Оптоны и их применение. — М.: Радио и связь, 1981.

(Окончание следует)

Редактор — Л. Ломакин, графика — Л. Ломакин



# Автомат—коммутатор фар ближнего света

В. ЮГРИН, г. Серпухов Московской обл.

**Одно из частных решений задачи обеспечения безопасности дорожного движения — улучшение видимости автомобиля в различных условиях дорожной обстановки. Многие автомобильные издания с этой целью призывают водителей ездить днем с включенным ближним светом фар. Во многих странах Евросоюза это уже стало правилом.**

**Однако переход на дневную езду с включенными фарами может привести к быстрой разрядке аккумуляторной батареи автомобиля. Простое устройство, описанное в этой статье, позволяет значительно уменьшить остроту указанной проблемы.**

Как показывает практика, при езде днем с включенными фарами в городских условиях невозможно обеспечить положительный баланс мощности в системе электроснабжения отечественных автомобилей на холостых оборотах двигателя (во время остановок на светофорах, в пробках и т. п.). Это связано с тем, что на оборотах холостого хода максимальный ток, отдаваемый генератором, меньше тока, потребляемого лампами ближнего света фар (8 А), системой зажигания (1,5...5 А), лампами стоп-сигналов (3 А) и, что нередко в пробках, вентилятором системы охлаждения (12 А).

и положение автомобиля на дороге обозначают габаритные огни; ближний свет фар должен включаться одновременно с началом движения, а выключаться с некоторой задержкой относительно момента прекращения движения. Наличие этой задержки и ее длительность определены требованием отсутствия мигания фар при выполнении некоторых маневров (например, остановка и включение задней передачи при развороте и т. п.).

Такой алгоритм работы системы наружного освещения полностью соответствует требованиям правил дорожного движения: стоящий автомобиль

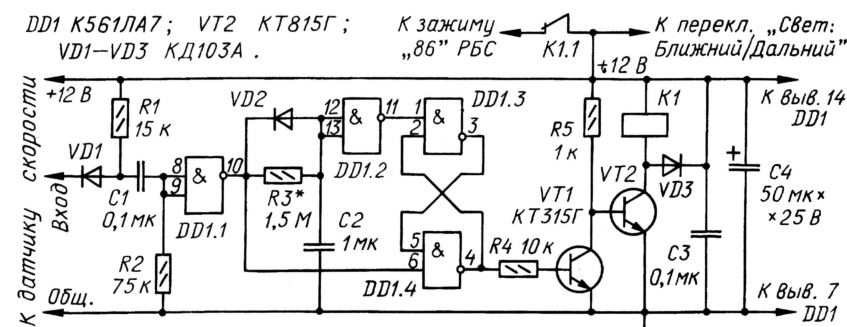


Рис. 1

Генераторы большинства отечественных автомобилей на холостых оборотах двигателя отдают в нагрузку не более 15 А. Это значит, что дефицит потребляемого тока приходится восполнять аккумуляторной батарее, что приводит к хронической недозарядке и резкому снижению срока службы.

Разрешить проблему можно, например, соответствующим повышением мощности генератора, но это связано с его заменой и не всегда возможно по конструктивным и другим соображениям.

Более приемлемым следует считать путь снижения потребляемой электроэнергии. Для этого годится следующий алгоритм работы системы наружного освещения автомобиля: при его движении включены фары ближнего света, а при остановке — фары выключаются

обозначен габаритными огнями, а движущийся — ближним светом фар.

Для обеспечения указанного алгоритма работы системы наружного освещения автомобиля был разработан автомат—коммутатор фар ближнего света, схема которого показана на рис. 1.

Источником информации о движении служит датчик скорости автомобиля, устанавливаемый между коробкой передач и тросом привода спидометра. На ряде моделей автомобиля этот датчик уже установлен на заводе. Это автомобиль с электронной системой управления двигателем, а также машины, оснащенные электронной панелью приборов, где спидометр и одометр работают от импульсов датчика скорости. На тех автомобилях, где этот датчик конструкцией не предусмотрен, его самостоя-

тельная установка не представляет больших сложностей. Годится любой датчик скорости, выпускаемый Курским ОАО “Счетмаш”, соответствующий классу А2 DIN 75532 (наружная резьба штуцера М18×1,5; на один оборот вала он формирует 6 или 10 импульсов).

В выходной ступени датчика работает транзистор, включенный по схеме с открытым коллектором, поэтому для обеспечения его нагрузки в автомат введен резистор R1. Для устранения влияния других устройств, подключенных к датчику (например, спидометр и одометр, маршрутный компьютер и пр.), предусмотрен диод VD1. Параметры дифференцирующей цепи C1R2 выбраны такими, чтобы обеспечить четкий запуск автомата.

На транзисторах VT1, VT2 собран усилитель тока, нагруженный реле K1. Для подавления ЭДС самоиндукции параллельно обмотке реле включен диод VD3.

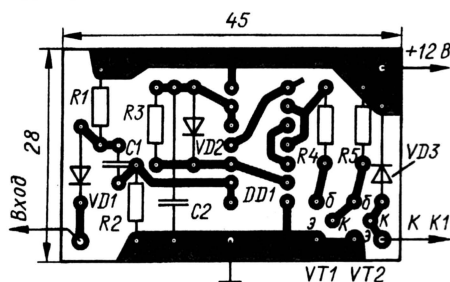


Рис. 2

В исходном состоянии, когда автомобиль неподвижен, на выходе датчика скорости импульсов нет, но может быть напряжение любого уровня, однако благодаря цепи C1R2 на входе инвертора DD1.1 будет низкий логический уровень, а стало быть, на выходе — высокий. Конденсатор C2 через резистор R3 зарядится до высокого уровня, а на выходе триггера DD1.3, DD1.4 будет низкий уровень.

Транзистор VT1 окажется закрытым, а VT2 — открытым, поэтому реле сработает и контакты K1.1 разомкнут цепь питания обмотки реле ближнего света (РБС) автомобиля — ближний свет будет выключен.

В момент начала движения автомобиля первый же импульс с датчика скорости, пройдя через цепь C1R2, переключит инвертор DD1.1 в нулевое состояние. Конденсатор C2 быстро разрядится через диод VD2 и выходные цепи инвертора. Триггер переключится и на его выходе появится высокий уровень, который откроет транзистор VT1, а он, в свою очередь, закроет VT2. Реле K1 отпустит якорь, контакты K1.1 замкнутся, ток потечет через обмотку РБС и включится ближний свет.

После окончания действия запускающего импульса инвертор DD1.1 снова переключится в единичное состояние, конденсатор C2 начнет заряжаться через резистор R3 и, если напряжение на нем достигнет высокого уровня, триггер снова переключится, сработает реле и выключится ближний свет. Если же до этого момента придет очередной импульс с датчика, конденсатор заря-



даться не успеет и триггер не изменит своего состояния. В этом случае ближний свет фар будет включен до тех пор, пока приходят импульсы с датчика.

Опытным путем было установлено, что время зарядки конденсатора С2 должно быть в пределах 0,9...1,2 с. При меньшем времени начинаются мигания фар на малой скорости движения, а при большем — падает эффективность автомата. Время задержки прямо пропорционально сопротивлению резистора R3 и емкости конденсатора С2.

Контакты К1.1 автомата—коммутатора фар ближнего света включают в разрыв провода от переключателя ближнего/дальнего света к контакту 86 РБС. Схема подключения одинакова для любого отечественного автомобиля.

Реле К1 — автомобильное, 851.3747, но может быть использовано любое, имеющее размыкающую пару контактов и устойчиво срабатывающее при напряжении на обмотке 6...8 В, например, РЭС10, исполнение РС4.529.031-07.

Все детали автомата, кроме реле К1 и конденсаторов С3, С4, смонтированы на небольшой печатной плате из фольгированного стеклотекстолита толщиной 1 мм. Чертеж платы показан на **рис. 2**.

Плату с автоматом—коммутатором я установил на своей "Оке" внутри нижнего кожуха, прикрывающего рулевой вал. Автомат безотказно и эффективно работает в течение полутора лет.

Редактор — Л. Ломакин, графика — Л. Ломакин



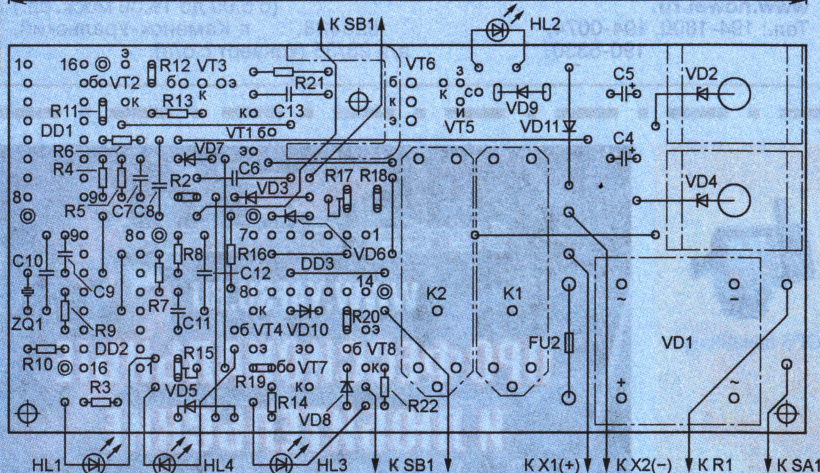
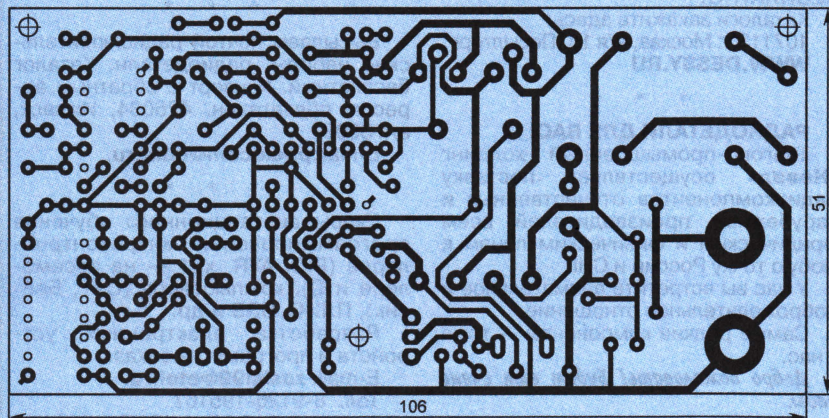
**ГИЗАТУЛЛИН Ш. Автоматическое зарядное устройство. — Радио, 2004, № 4, с. 34, 35.**

#### Печатная плата.

Чертеж возможного варианта печатной платы устройства изображен на рисунке. На ней размещены все детали, кроме конденсаторов C1—C3, резисторов R1, R23, предохранителя FU1, выключателя SA1, кнопки SB1 и светодио-

0,033—0,068 мкФ; на чертеже условно не показаны) устанавливают поверх микросхем, их выводы вставляют в отверстия (изображены двумя концентрическими окружностями), расположенные рядом с выводами питания микросхем.

Конденсаторы C1—C3, резисторы R1, R23 и предохранитель FU1 устанавливают на второй плате из стеклотекстолита, которую крепят к основной (проложив между ними шайбы толщиной 3,5...4 мм) винтами с гайками M2,5.



дов HL1—HL4. Плата рассчитана на применение постоянных резисторов C3-13 (R9), МЛТ (остальные), подстроечных СПЗ-19а, конденсаторов серии ТК фирмы Jamicon (C4, C5) и КМ (остальные), герконовых реле РЭС55А, диодной сборки КЦ405А. Для удобства прокладки печатных проводников в качестве DD3.1 использован триггер с выводами 8—13, а в качестве DD3.2 — с выводами 1—6.

Транзистор VT6 и стабилизаторы VD2, VD4 снабжены П-образными теплоотводами, согнутыми из полос листового алюминиевого сплава толщиной 2 и размерами 37×30 (VT6) и 95×13 мм (VD2, VD4). Все резисторы (кроме R16, R21) и диод VD9 монтируют перпендикулярно плате. Проволочные перемычки, соединяющие печатные проводники, изготавливают из монтажного провода в теплоустойчивой изоляции (например, МГТФ) и впаивают до установки деталей на место. Блокировочные конденсаторы (КМ емкостью

**КУЛЕШОВ С. Манипулятор с датчиком ускорения. — Радио, 2004, № 5, с. 30, 31.**

#### О подборе константы pause.

В исходном тексте программы mouse.asm эта константа задана в строке pause equ D'70'

Для избавления от хаотического перемещения указателя по экрану, которое возникает при использовании некоторых кварцевых резонаторов, достаточно изменения константы в интервале значений 65...75. К сожалению, прямая корректировка константы в HEX-файле невозможна, так как необходимо еще изменить и связанную с этим контрольную сумму строки. Чтобы внести изменение в HEX-файл, необходимо с помощью компилятора MPASM (можно "скачать" с сайта <[www.microchip.com](http://www.microchip.com)>) перекомпилировать программу с измененной константой.

**ШИХАТОВ А. Схемотехника автомобильных усилителей. — Радио, 2002, № 2, с. 17—19.**

**О регуляторах частот среза ФВЧ и ФНЧ кроссовера усилителя для работы с сабвуфером.**

Вместо переменных резисторов VR101—VR103 номинальным сопротивлением 50 кОм (см. рис. 15 в статье) допустимо использовать резисторы сопротивлением 47 и даже 33 кОм, однако в последнем случае пределы перестройки частот среза значительно сузятся. Функциональная характеристика резисторов — В (обратологарифмическая). Каждый из счетверенных резисторов можно заменить двумя сдвоенными. Резисторы с круговым перемещением подвижной системы (СПЗ-30, СПЗ-33) закрепляют ("в затылок" один за другим) на П-образном кронштейне с соосными отверстиями под резьбовые втулки и соединяют валики скобой такой же формы. Движковые резисторы (СПЗ-23, РП1-68) объединяют ручкой-ползуном, надетой на оба движка.

**ТАРАЗОВ А. Высокочастотный блок питания люминесцентной лампы. — Радио, 2003, № 5, с. 42.**

#### Устранение мигания лампы.

Мигание лампы (зажигание на 2 с и гашение на 0,5 с) может наблюдаться при недостаточном напряжении питания микросхемы IR2153 (DA1). Повысить его можно уменьшением сопротивления резистора R2, например, до 56 или 47 кОм.

#### ОБРАТИТЕ ВНИМАНИЕ

**ДОЛГИЙ А. Программаторы и программирование микроконтроллеров. — Радио, 2004, № 3, с. 51, 52 (редактор — Б. Иванов).**

На чертеже печатной платы адаптера DL27M (см. рис. 13 в статье) печатный проводник, идущий от контактной площадки под вывод 11 розетки XS2, должен быть соединен с площадкой под вывод 11 микросхемы DD2.

**ПЕТУХОВ В., БЕЛЕЦКИЙ И. Светодинамическая установка. — Радио, 2004, № 11, с. 39—42 (редактор — А. Долгий).**

На принципиальной схеме установки входы элемента DD2.4 — выводы 12 и 13, выход — вывод 11.

**ВОЛОДИН В. Электронный регулятор сварочного тока. — Радио, 2004, № 10, с. 38—40 (редактор — А. Долгий).**

На принципиальной схеме блока А4 (см. рис. 12 в статье) линия электрической связи, соединяющая выводы эмиттеров транзисторов VT2, VT3, резисторов R18, R22 и конденсаторов C11, C13, должна быть соединена с общим проводом устройства.

Редактор — В. Фролов, графика — В. Фролов



## Регулятор скорости для радиоуправляемых автомобилей

Д. ТУРЧИНСКИЙ, г. Москва

**Сейчас в продаже большой выбор радиоуправляемых игрушек. Практически все радиоуправляемые автомобили имеют дискретное управление и выполняют четыре команды — вперед, назад, вправо и влево. Несмотря на широкий выбор моделей разных размеров и типов, они имеют один общий недостаток: в условиях квартиры, где они в основном и "работают", скорость их чрезвычайно высока. О том, как довести ее до приемлемого уровня, и рассказывается в этой статье.**

Первая приобретенная автором симпатичная и недорогая модель спортивного автомобиля носилась со скоростью 10 км/ч и ее пришлось немедленно заменить на более тихоходный джип. Но и у этой модели скорость была чрезмерной не только для квартиры, но и для больших помещений.

ваным передаточным числом не дает возможности регулировать скорость.

По указанным причинам не только реальным, но и наилучшим выходом будет применение электронного регулирования. Простейшее и очевидное решение — установка аналогового регулируемого стабилизатора напряжения. Однако это

читать высокий КПД, но неприемлемы ввиду сложности. Наилучшим решением оказывается применение ключевых широтно-импульсных регуляторов напряжения, которые сочетают простоту конструкции с высоким КПД. Их недостаток — отсутствие стабилизации действующего значения выходного напряжения, поэтому при разрядке батареи питания и снижении ее напряжения будет уменьшаться вращающий момент двигателя, а следовательно, и скорость автомобиля. Но поскольку для игрушечного автомобиля этот фактор не имеет существенного значения, автор не счел целесообразным усложнять конструкцию введением дополнительного узла стабилизации выходного напряжения.

Предельная простота схемы в сочетании с поверхностным монтажом позволили настолько уменьшить размеры устройства, что его можно монтировать даже на небольшие модели. Регулятор нормально работает в диапазоне напряжений 3...15 В; при увеличении напряжения лишь несколько возрастает частота встроенного генератора.

Схема электронного регулятора приведена на рис. 1. Он содержит генератор импульсов, собранный на элементах DD1.1 и DD1.2 микросхемы DD1, одновибратор с регулируемой длительностью генерируемых импульсов, собранный на элементах DD1.3, DD1.4, и ключевой транзистор VT1. Генератор и одновибратор собраны по стандартным схемам, и описание их работы приводить нет смысла. Номинальная частота генератора составляет 50 Гц. Такая частота оптимальна, поскольку при большей частоте время, в течение которого на двигатель подается напряжение, слишком мало, чтобы преодолеть инерцию и трение покоя двигателя. Кроме того, двигатель начинает "звучать", что особенно заметно при минимальной длительности импульсов. При меньшей частоте двигатель начинает вращаться с заметными толчками, что также особенно сильно

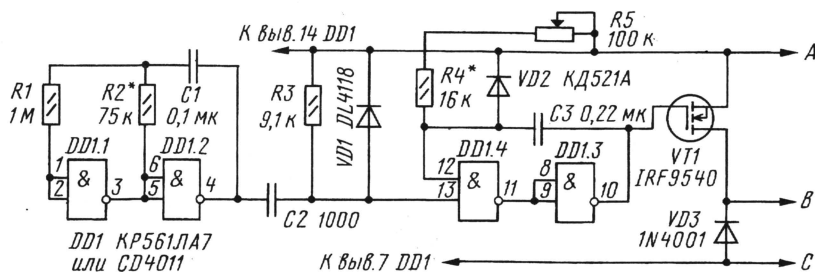


Рис. 1

Причина высокой скорости автомобилей проста — для снижения себестоимости игрушки ведущие колеса закреплены непосредственно на валу ротора электродвигателя. Вполне естественным и очевидным решением данной проблемы была бы установка редуктора между электродвигателем и ведущими колесами. Однако выполнить такую доработку в любительских условиях трудно. Кроме того, применение редуктора с фиксиро-

решение и самое неэффективное, в первую очередь, ввиду низкого КПД, поскольку часть энергии батареи питания будет превращаться на регулирующем транзисторе в тепло, которое еще надо и отводить. Кроме того, при снижении напряжения питания электродвигателя уменьшается его вращающий момент, что затрудняет трогание автомобиля с места.

Импульсные (ключевые) стабилизаторы напряжения хотя и позволяют полу-



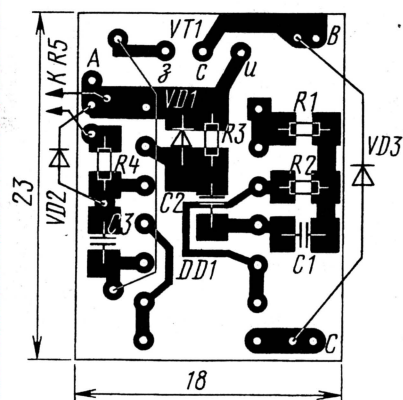


Рис. 2

проявляется при минимальной длительности импульсов. Частота 50 Гц, в отличие от более высокой, менее опасна в отношении радиопомех.

Импульсы с выхода генератора укорачиваются дифференцирующей цепью C2R3VD1 и поступают на вход запуска одновибратора. Длительность генерируемых одновибратором импульсов устанавливают переменным резистором R5, который, собственно, и является регулятором скорости автомобиля. С выхода одновибратора управляющие импульсы поступают на ключевой транзистор VT1, который периодически, с частотой следования импульсов, подает питание на двигатель. Применение в качестве ключевого полевого транзистора с изолированным затвором и индуцированным каналом р-типа позволило выполнить соединение напрямую, без каких-либо дополнительных элементов согласования. Диод VD3 служит для защиты ключевого транзистора от выбросов напряжения, возникающих при индуктивности обмотки двигателя в момент выключения импульса тока.

Устройство смонтировано на печатной плате (рис. 2), выполненной из односторонне фольгированного стекло-

текстолита толщиной 0,7...1 мм. Чертеж печатной платы приведен на рис. 2 в масштабе 2:1. Элементы, предназначенные для поверхностного монтажа, устанавливают пайкой со стороны печатных проводников.

Печатная плата рассчитана на чип-резисторы и керамические чип-конденсаторы типоразмеров 1206 и 0805. Чип-

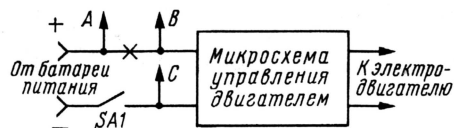


Рис. 3

диод VD1 может быть заменен "обычным" диодом типа КД102 или КД103. Диод VD2 — любой маломощный. Диод VD3 также любой, но с рабочим током не менее 0,5 А. Переменный резистор — любой малогабаритный, например, типа СПЗ-4ам. Силовой транзистор может быть заменен на IRF9530, хотя он и имеет несколько большее сопротивление открытого канала. Возможно применение и других транзисторов, например, IRF9234N, IRF9224 и т. п. При напряжении питания в пределах 3...9 В допустимо применение микросхемы К176ЛА7.

Регулятор подключают к плате управления автомобилем в трех точках, как показано на рис. 3. Для этого автомобиль необходимо разобрать, найти провода питания от батареи, а на печатной плате — микросхему управления двигателем. Обнаружить ее несложно — от нее идут провода к двигателю. Затем перерезают печатный проводник плюса питания, идущий к микросхеме, и к нему со стороны микросхемы припаивают провод от точки В регулятора. Проводники от точек А и С (это плюс и минус питания) припаивают в любых удобных местах. Переменный резистор управления скоростью размещают в наиболее подходящем и удобном для регулировки месте,

например, на задней стенке автомобиля.

Налаживание регулятора сводится к установке частоты задающего генератора и длительности генерируемых одновибратором импульсов. Частоту настраивают подбором резистора R2 по обычной методике — сначала устанавливают нужную частоту с помощью переменного резистора, а потом заменяют его постоянным с таким же сопротивлением. Контролировать частоту можно частотомером, осциллографом или даже на слух, присоединив к точкам В и С какой-либо звукоизлучатель, например телефоны.

Установка длительности генерируемых одновибратором импульсов аналогична, но несколько сложнее, поскольку приходится учитывать не только большой разброс по емкости керамического конденсатора C3, но также и диапазон изменения сопротивления переменного резистора R5. Длительность генерируемых одновибратором импульсов должна плавно регулироваться в пределах от 0,2 до 0,8 периода следования импульсов задающего генератора. Другими словами, коэффициент заполнения должен изменяться в указанных пределах. Этого добиваются подбором конденсатора C3, резистора R4 и лишь в редких случаях — резистора R5.

Контролировать длительность управляющих импульсов можно с помощью осциллографа, подключенного к базе транзистора VT1 или параллельно электродвигателю автомобиля. Однако это удается сделать и без приборов, ориентируясь по работе самого двигателя.

Устанавливать большой диапазон регулирования в некоторых случаях просто нет смысла, поскольку даже при коэффициенте заполнения 0,8 скорость автомобиля чрезмерно велика, а при значении меньше 0,2 автомобиль может и не тронуться с места.

Редактор — В. Поляков, графика — Ю. Андреев, автора

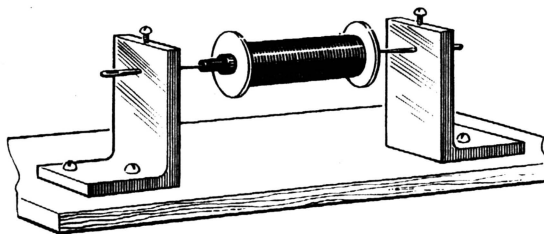
## Устройство для "размотки" катушек реле

Г. МАРКЕЛОВ, г. Самара

Старые реле представляют собой практически неисчерпаемый источник обмоточного провода. Однако катушку трудно снять с магнитопровода, на который она намотана без каркаса, и приходится разматывать ее на весу. Тонкий провод часто рвется под весом катушки со стальным магнитопроводом. Размотка же толстого провода, когда катушка с грохотом подпрыгивает на полу, норовя обмотаться вокруг ножек стула, также затруднительна.

Нехитрое устройство (см. рисунок) из двух швейных игл, соосно направ-

ленных навстречу друг другу и зажатых винтами в уголках, позволяет легко



разматывать катушки. Надо только накернить небольшие углубления в маг-

нитопроводе по оси с обеих сторон и зажать его между иглами. Иглы вставляют в углубления и зажимают винтами М2,5, вкрученными в резьбовые отверстия в торцах уголков. Толщина уголков должна быть достаточна, чтобы можно было просверлить отверстия в их торцах и нарезать резьбу.

На таком приспособлении вращение катушки настолько легкое, что смазка категорически не рекомендуется, иначе при резкой остановке длительное последействие по инерции запутает провод.

Уголки можно прикрепить к доске, на которой установлен намоточный станок.

Редактор — Б. Иванов, графика — Ю. Андреев



# Индикатор предельного тока

И. НЕЧАЕВ, г. Курск

В лабораторных блоках питания весьма полезен индикатор, указывающий на то, что потребляемый ток достиг или превысил заранее установленное предельное значение. Изготовить индикатор удастся на основе токового реле и одного или двух светодиодов. Схема индикатора показана на

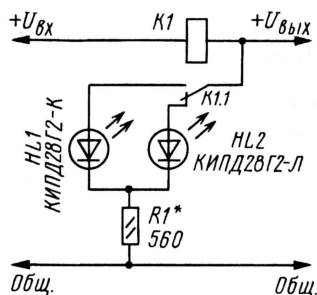


Рис. 1

рис. 1. Обмотка реле K1 включается в силовую шину блока питания, лучшее для этого место — после выпрямителя и конденсатора фильтра, но перед стабилизатором напряжения.

Пока выходной ток не превышает заранее установленного значения, контакты K1.1 реле находятся в положении, показанном на схеме. В этом случае будет гореть светодиод HL2 (зеленого цвета), сигнализируя об этой ситуации. По мере увеличения потребляемого тока контакты реле переключатся в верхнее по схеме положение, светодиод HL2 погаснет и загорится светодиод HL1 (красного цвета), сигнализируя о превышении током предельного значения.

Значение тока, при котором происходит переключение реле, определяется количеством витков его обмотки. В качестве токового реле использовано доработанное реле с герметичными контактами (геркон) РЭС-55, в котором намотана дополнительная обмотка. Для его переделки надо аккуратно снять наружный металлический экран, а собственную обмотку реле удалять необязательно. Поверх нее надо намотать дополнительную обмотку проводом ПЭВ или ПЭЛ диаметром, рассчитанным на протекание предельного тока нагрузки.

Светодиоды можно применить любые подходящие разноцветные — ли-

бо два одиночных, либо один двухцветный с рабочим током 5...20 мА (АЛС331А, КИПД18В-М). Резистор R1 — МЛТ, С2-33, его подбирают по требуемой яркости свечения светодиодов. Следует обратить внимание и на мощность, рассеиваемую резистором, она примерно равна произведению выходного напряжения  $U_{вых}$  на ток светодиодов. Все детали размещают на печатной плате из односторонне фольгированного стеклотекстолита, эскиз которой показан на рис. 2. Внешний вид смонтированного индикатора, на котором ясно видна дополнительная обмотка реле, показан на фотографии рис. 3.

На рис. 4 приведены графики зависимостей токов срабатывания и отпущения реле от числа витков его дополнительной обмотки, иллюстрирующие работу индикатора. Как и любое другое, наше реле имеет гистерезис — его ток срабатывания (верхняя кривая) больше тока отпущения (нижняя кривая). В области

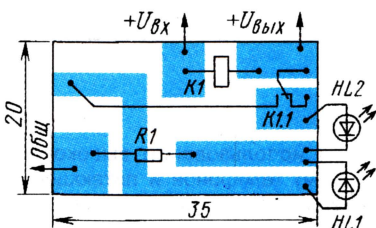


Рис. 2

значений тока нагрузки  $I_n$  ниже нижней кривой будет гореть светодиод HL2 (зеленый), а выше верхней кривой — HL1 (красный). Если ток нагрузки изменяется плавно, то в области значений тока между двумя кривыми ни один из светодиодов гореть не будет. При желании эту область можно использовать для более точной индикации значения предельного тока.

В этом случае устройство можно выполнить по схеме, показанной на рис. 5. В области токов нагрузки ниже нижней кривой будут гореть оба кристалла светодиода HL2 и цвет его свечения будет желтый. В области токов между кривыми будет светить только один (красный) кристалл светодиода HL2,

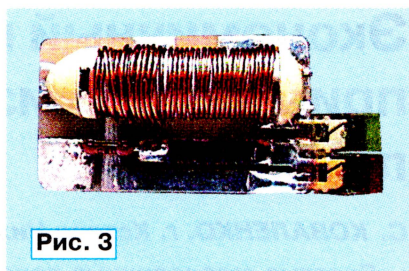


Рис. 3

а выше верхней кривой дополнительно будет гореть красный светодиод HL1. Следует отметить, что при резких изме-

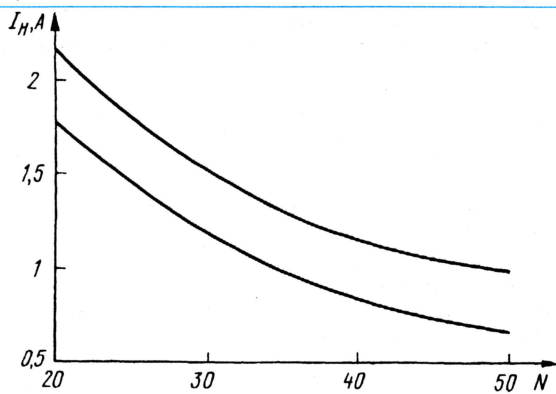


Рис. 4

нениях тока нагрузки контакты реле в нейтральном (разомкнутом) положении могут и не оказаться.

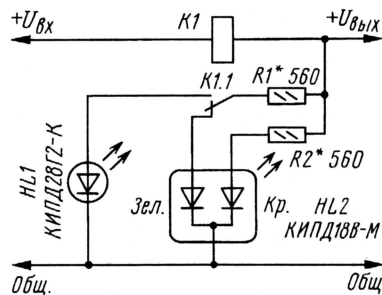


Рис. 5

Налаживание индикатора сводится к подбору такого числа витков дополнительной обмотки, чтобы переключение реле происходило при требуемом значении тока нагрузки. Для тока больше 2 А количество витков надо пропорционально уменьшать, а площадь поперечного сечения провода обмотки увеличивать. Диаметр провода обмотки возрастает пропорционально корню квадратному из площади сечения, а следовательно, и тока. Например, для тока 2 А сечение провода должно составить около 0,8 мм<sup>2</sup>, а диаметр — 1 мм. Тогда для тока 4 А число витков надо уменьшить вдвое, а диаметр провода увеличить до 1,4 мм.

Редактор — В. Поляков, графика — Ю. Андреев



# Экономичный гетеродинный приемник с низковольтным питанием

С. КОВАЛЕНКО, г. Кстово Нижегородской обл.

**Простые гетеродинные приемники (прямого преобразования) продолжают пользоваться большой популярностью у начинающих радиолюбителей. Почти каждый начинает свой "путь в эфир" с постройки именно такого приемника. Предлагаемая конструкция, наряду с простотой и неплохими параметрами, отличается еще и высокой экономичностью, что делает приемник полезным не только в домашних, но и в походных условиях.**

**П**редлагаемый приемник позволяет принимать на высокоомные головные телефоны телеграфные (CW) и речевые однопольные (SSB) сигналы любительских радиостанций в диапазоне 160 метров (1,8...2,0 МГц). Питается приемник от одного никель-кадмиевого аккумуляторного элемента и при питающем напряжении 1,2 В потребляет ток всего лишь около 0,3 мА.

шлось подобрать транзистор VT1. Вместо транзисторов KT315B можно применить и более современные, например, из серий KT342, KT3102 или любые другие п-р-п, которые будут работать в этой схеме.

Входное сопротивление усилителя — около 20 кОм. Коэффициент усиления по напряжению на частоте 1000 Гц для моего экземпляра усилите-

ние гетеродина на диодах VD1, VD2 уменьшалось из-за шунтирования незначительно. Резистор R1 вносит некоторые потери полезного сигнала, но это частично компенсируется уменьшением потерь в смесительных диодах и большей добротностью входного контура.

Для улучшения избирательности приемника перед входом УНЧ можно установить дополнительный ФНЧ на LC-элементах. Однако из-за большого входного сопротивления усилителя требуется значительная индуктивность. В качестве такой индуктивности можно использовать первичную обмотку согласующего трансформатора от транзисторного приемника.

При использовании полноразмерной антенны с низкоомным (50...75 Ом) коаксиальным фидером имеет смысл подключать его к катушке связи, намотанной поверх катушки входного контура. Число витков катушки связи должно составлять 5...10 % от числа витков контурной катушки. В этом случае напряжение, развиваемое антенной, будет трансформироваться в сторону повы-

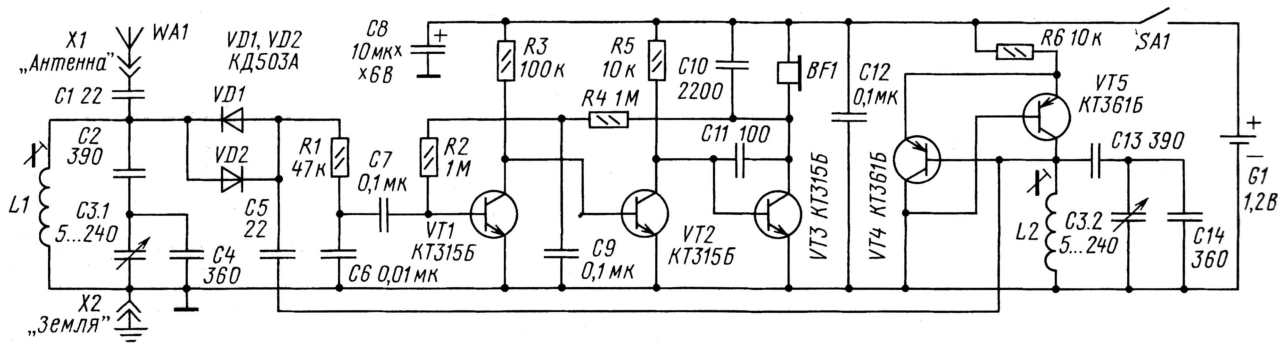


Рис. 1

Чувствительность приемника примерно равна 10 мкВ, но, учитывая высокий уровень эфирных шумов в диапазоне 160 метров, такой чувствительности вполне достаточно, конечно, при условии использования хорошей наружной антенны.

Подавление внеполосных мешающих сигналов достигает 30...40 дБ при расстройке на 10 кГц.

Схема приемника приведена на рис. 1. Усилитель ЗЧ трехкаскадный, такой же, как в [1]. Он хорошо зарекомендовал себя, и поэтому нет причин разрабатывать другие схемы. Транзисторы усилителя VT1—VT3 работают в режиме микротоков. Замечу, что не все экземпляры транзисторов хорошо работают в этом режиме, поэтому, возможно, придется подбирать их. Особенно это требуется для транзистора VT1. Иногда бывает достаточно просто поменять транзисторы местами. Так, лишь в одном из трех изготовленных мною по этой схеме усилителей при-

ли при использовании высокоомных (3,2 кОм) телефонов и питающем напряжении 1,2 В оказался около 10 000. При питающем напряжении 1,5 В он увеличивается до 20 тысяч, а при напряжении 1 В падает до 4 тысяч. Напомню, что с этим усилителем можно использовать только высокоомные телефоны с общим сопротивлением постоянному току не менее 3...5 кОм.

Гетеродин приемника собран на двух транзисторах VT4, VT5 по схеме с эмиттерной связью [2]. Он потребляет очень малый ток, легко возбуждается, не требует отводов при изготовлении катушек и их фазировки при налаживании.

Связь гетеродина с диодами смесителя осуществляется через небольшую емкость конденсатора C5, что способствует повышению его сопротивления и сохранению добротности контуров. Низкочастотный сигнал с выхода смесителя фильтруется цепью R1, C6. Сопротивление резистора R1 выбрано относительно большим, чтобы напряже-

нения пропорционально отношению числа витков контурной катушки и катушки связи, т. е. в 10...20 раз.

При создании конструкции, выборе деталей и наладке использованы методика и рекомендации, изложенные в [3]. Немного отличаются намоточные данные катушек, так как применены контурные конденсаторы других номиналов. Каркасы катушек использованы трехсекционные, с ферритовыми подстроечниками, взятые из старых транзисторных приемников. Катушка входного контура L1 содержит 60 витков, равномерно распределенных по секциям каркаса, и имеет индуктивность около 30 мкГн, а катушка гетеродина L2 — 120 витков, ее индуктивность — около 120 мкГн. Провод можно использовать любой медный изолированный, например, ПЭЛ или ПЭЛШО диаметром 0,1...0,15 мм.

Фотография приемника со стороны монтажа приведена на рис. 2. Размер основной монтажной платы 85×160 мм,



размер дополнительной платы, на которой смонтирован модуль усилителя, — 30×60 мм. Фольга на дополнительной плате разделена на две полосы вдоль длинной стороны. Одна полоса использована в качестве общего провода, ее припаивают к монтажной плате проводочными перемычками, а другая полоса использована как шина питания +1,2 В.

Конденсатор переменной емкости СЗ должен быть с плавным вращением ротора. Диаметр шкива увеличен до 85 мм, он и служит ручкой настройки. При этом редуктор или верньерное устройство можно не применять. Если диапазон перестройки окажется шире необходимого, то конденсаторы С4 и С14 надо установить с емкостью 390 пФ и выполнить повторную настройку контуров.

Результаты испытаний приемника следующие.

На первом этаже городской квартиры ни с помощью комнатной антенны, ни примитивной наружной принять полезные сигналы не удалось. Мешала сплошная "стена" помех. Их напряженность поля превышала 100 мкВ/м. Но с помощью дополнительной ферритовой антенны удалось отсеять значительную часть помех и принять наиболее мощные из сигналов SSB и CW. Можете считать это парадоксом электрически малой магнитной антенны. В ней был использован стержень диаметром 10 и длиной 200 мм из феррита 400НН. На каркас, надевший на стержень, было намотано 20 витков одножильного медного провода диаметром 0,8 мм с шагом 2 мм. Длина намотки получилась около 40 мм, а индуктивность катушки при расположении ее на середине стержня — около 55 мкГн. Контур магнитной антенны настраивался в резонанс с помощью еще одного переменного конденсатора, подключенного параллельно ее катуш-

ке. Здесь подойдет любой конденсатор с максимальной емкостью не менее 150 пФ. Катушка L1 входного контура радиоприемника была расположена параллельно катушке магнитной антенны на расстоянии 15 мм от нее, для получения оптимальной индуктивной связи. Ферритовую антенну следует ориентировать по минимуму помех.

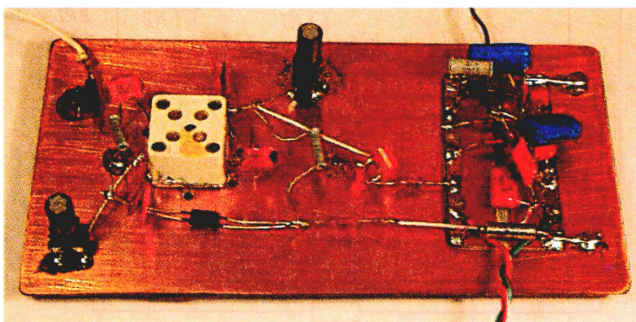


Рис. 2

Для того чтобы сохранить настройку входного контура приемника в случае приема на магнитную антенну, антенное гнездо необходимо соединить с общим проводом. Заземление подключать не следует. Это уменьшит проникновение помех в приемник. Добротность контура магнитной антенны получилась около 100.

Еще лучшие результаты получились при подключении контура магнитной антенны к умножителю добротности. В этом случае, для уменьшения связи, следует увеличить расстояние между контуром магнитной антенны и входным до 50 мм. Сила сигнала возрастает пропорционально коэффициенту умножения. Однако при добротности контура более 800 полоса пропускания контура магнитной антенны становится слишком узкой и сигнал теряет разборчивость и начинает "звенеть", хотя, с другой стороны, появляется заметное подавление зеркального канала и вне-

полосных сигналов. Кроме того, доставляет неудобство острая настройка контура и необходимость регулировки коэффициента умножения. Схема Q-умножителя такая же, как и у гетеродина приемника, только последовательно с постоянным резистором в цепи эмиттеров необходимо поставить переменный сопротивлением 47...100 кОм, который и будет выполнять роль регулятора добротности.

Добротность контура магнитной антенны можно попробовать увеличить и по другому, например, выполнив обмотку толстым многожильным литцендратом и применив ферритовый сердечник с меньшими потерями и большего диаметра или сложив несколько стержней вместе. Количество витков катушки при этом необходимо уменьшить пропорционально квадрату корню из диаметра. Так, если сложить вместе четыре ферритовых сердечника, то достаточно намотать 15 витков. Между стержнями и обмоткой необходим диэлектрический каркас с толщиной стенки не менее 1 мм, а сами сердечники желательно взять с меньшей магнитной проницаемостью, например, 200НН или, еще лучше, 150ВЧ. Однако, несмотря на все эти меры, представляется сомнительным, что на частоте 2 МГц можно достичь добротности более 300.

#### ЛИТЕРАТУРА

1. Коваленко С. Простой приемник PSK-31. — Радио, 2004, № 12, с.60.
2. Универсальный LC-генератор. — Радио, 1979, № 5, с.58.
3. Поляков В. Простой приемник коротковолновика-наблюдателя. — Радио, 2003, № 1, с. 58, 59; № 2, с. 58, 59.

Редактор — В. Поляков, графика — Ю. Андреев, фото — автора

## Измеритель малых емкостей

В. КАПЛУН, г. Северодонецк Луганской обл., Украина

Не так просто бывает измерить малую емкость конденсатора, исчисляемую иногда единицами пикофарад. И тем не менее такая возможность существует, если построить предлагаемый простейший генератор (рис. 1). Он вырабатывает близкие по форме к пилообразным колебания, период которых определяется измеряемой емкостью конденсатора  $C_x$ , подключаемого к зажимам ХТ1, ХТ2 (или проще подпаиваемого к этим

контактам) и приведенным сопротивлением времязадающей цепи генератора, равным 10...50 МОм, в зависимости от коэффициента передачи тока базы используемых транзисторов. Для контроля сигнала генератора его подают через штырь ХР1 на осциллограф. При использовании транзисторов с большим коэффициентом передачи достаточно воспользоваться осциллографом с невысокими частотными параметрами.

Минимальное значение емкости конденсатора  $C_x$ , при которой генератор начинает работать, составляет

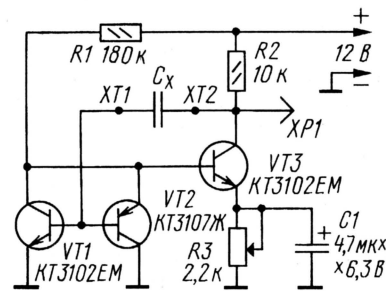


Рис. 1



десятичные доли пикофард: достаточно емкости, образованной двумя отрезками проводников длиной по 50 мм, расположенных на расстоянии 5...10 мм друг от друга. Это, в свою очередь, позволяет конструировать различные бесконтактные датчики, прерыватели, емкостные реле и т. д.

Несмотря на простоту схемы, генератор обладает высокой термостабильностью и устойчивостью к электрическим наводкам. Выходное напряжение генератора достигает напряжения питания. При уменьшении  $C_x$  ниже критического значения выходное напряжение резко уменьшается до нуля.

Работа генератора основана на принципе зарядки—разрядки измеряемой емкости. Для каскада на транзисторах VT1 и VT3 емкость  $C_x$  включена в цепь положительной обратной связи (ПОС): пока зарядный ток  $C_x$  не уменьшается до определенного значения, транзистор VT1 открыт и насыщен, а VT3 — закрыт. По мере насыщения VT1 транзистор VT3 начинает открываться.

Для каскада на транзисторах VT2, VT3 емкость  $C_x$  включена в цепь отрицательной обратной связи, что вызы-

практически до напряжения питания. Оптимальный режим работы генератора устанавливают резистором R3.

Детали генератора размещены на текстолитовой (можно гетинаксовой) пластине (рис. 2) и соединены навесным монтажом. Выводы проверяемого конденсатора подпаивают непосредственно к точкам XT1 и XT2. При желании измерить емкость, скажем, диода его подключают катодом к точке XT2, а анодом — к точке XT1.

При измерении емкости учитывают длительность линейно спадающего участка выходного напряжения генератора (в диапазоне емкостей менее 20 пФ форма выходного напряжения близка к трапецеидальной). Сначала измеряют длительность

линейно спадающего участка выходного напряжения, подсоединяя измеряемую емкость  $C_x$  ( $t_x$ ). Затем подбирают образцовую емкость  $C_{обр}$  с приблизительно такой же длительностью линейно спадающего участка ( $t_{обр}$ ). После чего подсчитывают  $C_x$ :

$$C_x = C_{обр} \cdot t_x / t_{обр}$$

Редактор — Б. Иванов, графика — Ю. Андреев

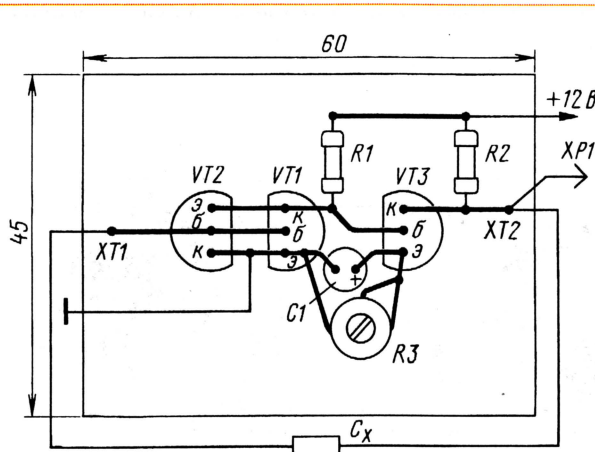


Рис. 2

вает ее разрядку постоянным током: на коллекторе транзистора VT2 формируется линейно спадающее напряжение. При насыщении транзистора VT3 разрядный ток через  $C_x$  прекращается, транзистор VT1 начинает открываться,  $C_x$  замыкает цепь ПОС каскада на VT1, VT3, что вызывает резкое повышение напряжения на коллекторе VT3 и быструю зарядку  $C_x$ .

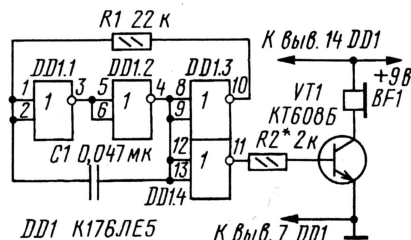
## Звуковой пробник

А. СУББОТИН, г. Звенигово, Республика Марий Эл

При разработке различных самодельных устройств у радиолюбителей часто возникает необходимость в изготовлении простого и надежного звукового пробника, издающего акустический сигнал при подаче напряжения питания. Кроме того, устройство может служить и в качестве звукового генератора, например, для проверки телефонов. Именно для этой цели он мне и понадобился, когда на местном рынке удалось купить телефоны для плеера китайского производства. Телефонов я взял три пары, разных, и решил поэкспериментировать: можно ли их использовать в составе звуковых сигнализаторов и как?

Сопротивление телефонов постоянному току оказалось разным: 10, 18 и 33 Ом. "Прогнав" их при одинаковых условиях от звукового генератора, я установил, что громче всех звучат телефоны сопротивлением 33 Ом, еще приемлемую громкость обеспе-

чивают телефоны сопротивлением 18 Ом и совсем тихо работают 10-омные. Диапазон эффективно воспроизводимых звуковых частот у всех те-



лефонов оказался примерно одинаковым: 300...4500 Гц. Неравномерность частотной характеристики очень велика — на некоторых частотах обнаружались "провалы" громкости звучания, причем ширина "провала" может быть всего 200 Гц. Это обстоятель-

во надо иметь в виду при подборе частоты колебаний звукового сигнализатора.

Собрав несложный генератор (см. рисунок) и подключив к нему телефоны, удалось получить желаемое устройство. Это генератор прямоугольных импульсов, собранный на микросхеме DD1. Частота колебаний генератора зависит от параметров времязадающей цепи R1C1. Изменяя сопротивление резистора и/или емкость конденсатора, можно подобрать желаемый тон звучания, а также "пик" на частотной характеристике телефонов, где они звучат громче. При желании резистор R1 составляют из постоянного и подстроечного.

Резистор R2 задает импульсный ток базы выходного транзистора VT1. Его коллекторный ток проходит через телефоны BF1, заставляя их звучать. Можно включить как один, так и оба телефона последовательно. При уменьшении сопротивления резистора R2 громкость звучания возрастает, но зато и увеличивается ток, потребляемый от источника питания.

Редактор — В. Поляков, графика — Ю. Андреев



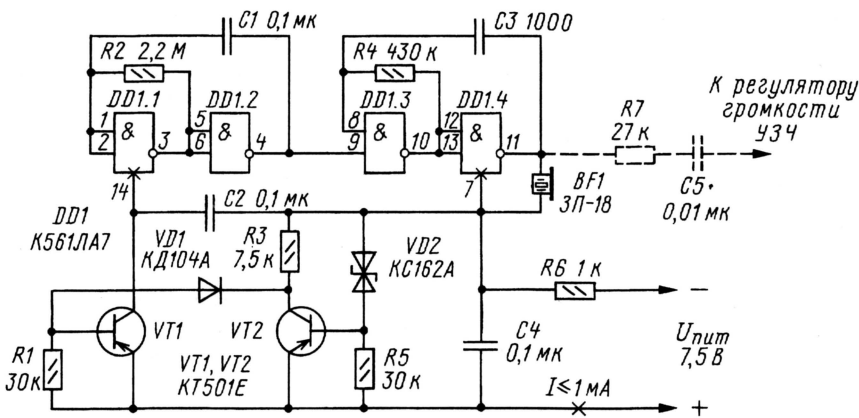
# Звуковой сигнализатор контроля напряжения аккумулятора

Р. ЕРШОВ, Воронежская обл.

В процессе эксплуатации аккумуляторов, предназначенных для питания различных электронных устройств: приемников, радиостанций, электромеханических игрушек и т. д., приходится контролировать степень разряженности аккумуляторных батарей, измеряя на них напряжение.

Предлагаемое устройство позволяет упростить контроль за аккумуляторной батареей: при уменьшении напряжения до 1 В на элемент включает звуковую сигнализацию, указываю-

В основе устройства — триггер Шмитта с малым гистерезисом, собранный на элементах VT1, VT2, VD1, VD2, R1, R3, R5 (см. рисунок). На микросхеме DD1 собран блок звуковой сигнализации. Работает сигнализатор так: при напряжении, превышающем напряжение "пробоя" стабилитрона VD2, через него течет ток, который открывает транзистор VT2, резистор R6 в данном случае служит для ограничения тока через стабилитрон. Открытый транзистор VT2 шунтирует базу



Число элем. в аккумуля.	Напряжение срабатывания сигнализации, В	Сопротивление резистора R3, кОм	VD2— возможная замена
3	3...3,3	3,9	КС407А, КС133Г, КС126Б, КС126В
4	4...4,4	5,1	КС139Г, КС407Б, КС439А
5	5...5,5	6,2	КС126Е, КС156А, КС156Г, КС407Г, КС456А
6	6...6,6	7,5	КС405А, КС126Ж, КС162А
7	7...7,7	9,1	КС126К, КС170А, КС175А, КС175Ж, КС468А
8	8...8,8	10	КС406А, КС126Л, КС182А, КС182Ж, КС482А
9	9...9,9	11,5	КС126М, КС207А, КС191Ж, КС191С-Ф, КС406Б
10	10...11	12	КС207Б, КС211Ж, Д814Г
11	11...12,1	14	КС211Ж, КС207В, КС212Ж, КС508А
12	12...13,2	15	КС207В, КС213Б, КС213Ж, КС508А, КС512А

щая на необходимость зарядки. Устройство потребляет весьма незначительный ток — около 1,25 мА при свежезаряженном аккумуляторе, и 0,75 мА при срабатывании сигнализации, поэтому может быть с успехом встроена в носимые радиостанции и приемники.

вую цепь транзистора VT1, следовательно, VT1 закрыт, на блок сигнализации на микросхеме DD1 напряжение не подается.

При понижении напряжения меньше напряжения стабилизации VD2 транзистор VT2 закрывается, следовательно, VT1 открывается через резис-

тор R3 и диод VD1. На блок сигнализации на DD1 через переход коллектор—эмиттер VT1 поступает напряжение питания, начинает работать генератор на DD1.1 и DD1.2 ( $f = 0,5$  Гц), который манипулирует генератор DD1.3 и DD1.4 ( $f = 1$  кГц), пьезоизлучатель BF1 начинает издавать прерывистый звуковой сигнал. При использовании сигнализатора в составе устройства, в котором имеется УЗЧ, с целью повышения громкости сигнала пьезоизлучатель BF1 можно исключить, а сигнал с выхода генератора подать на регулятор громкости УЗЧ, как показано на схеме штриховыми линиями.

Конденсаторы C2 и C4 — блокировочные, они нужны для фильтрации ВЧ помех, приходящих по цепям питания, например, в радиостанции, поэтому, если сигнализатор используется в устройстве, где такие помехи отсутствуют, то C2 и C4 можно исключить.

Номиналы элементов, указанные на схеме, рассчитаны на подключение к батарее из шести аккумуляторов, соответственно напряжение, при котором срабатывает сигнализатор, будет 6...6,6 В. Для контроля аккумуляторной батареи, состоящей из большего или меньшего числа элементов, необходимо изменить сопротивление резистора R3 и тип стабилитрона VD2 в соответствии с таблицей.

Налаживание сигнализатора заключается в подборе резистора R6 по максимальной громкости сигнала и стабилитрона VD2 по необходимому напряжению срабатывания сигнализатора. Ввиду технологического разброса напряжения стабилизации для увеличения напряжения срабатывания сигнализатора последовательно со стабилитроном VD2 можно включить диод с полярностью, противоположной стабилитрону. При включении германиевого диода серий Д18, Д310, Д311, Д2, Д9 напряжение увеличивается на 0,2 В, а кремниевого (КС513, КС514, КС520, КС522, КС503) — на 0,6 В.

Транзисторы КТ501 можно заменить на КТ201, КТ361 или другие маломощные р-п-р структуры. Пьезоизлучатель звука ЗП-18 можно заменить на любой другой (ЗП-1, ЗП-2, ЗП-5), играют роль только габариты.

Микросхема К561ЛА7 заменима на КР1561ЛА7, К561ЛЕ5, К564ЛА7. Некоторые значения сопротивления резистора R3 в таблице не являются стандартными, поэтому можно попробовать подобрать близкие по номиналу, имеющиеся в наличии, но при этом следует иметь в виду, что может увеличиться ток потребления или перестать открываться транзистор VT1.

Редактор — В. Поляков, графика — Ю. Андреев



# Варианты включения пьезоэлектрического излучателя и мигающего светодиода

А. КАШКАРОВ, г. Санкт-Петербург

**Пьезоэлектрические излучатели — капсули известны радиолюбителям давно, их широко используют при конструировании различной аппаратуры. Сравнительно давно используются и мигающие светодиоды. Эксперименты с этими элементами при совместной их работе позволяют получить результаты, которые наверняка заинтересуют радиолюбителя-конструктора и пригодятся при изготовлении очередного устройства.**

Как известно, в "классическом" подключении капсуля HA1 (рис. 1) он генерирует (поскольку в него встроен генератор) однотональный сигнал частотой 1600 Гц.

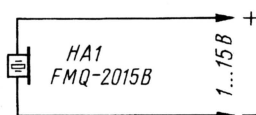


Рис. 1

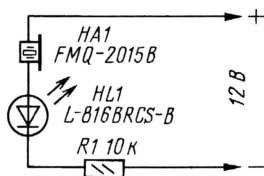


Рис. 2

12 В. С понижением питания до 5 В период переключения частоты увеличивается до 1,8 с, а границы изменения частоты — от 800...850 до 1000...1005 Гц.

В данном варианте включения светодиод слабо вспышкивает. Тональность излучаемого сигнала изменяется в зависимости от сопротивления резистора R1. Так, при сопротивлении резистора более 33 кОм получается прерывистый звуковой сигнал частотой при-

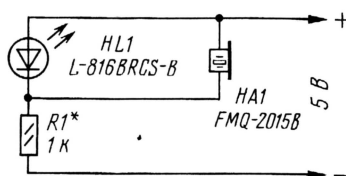


Рис. 3

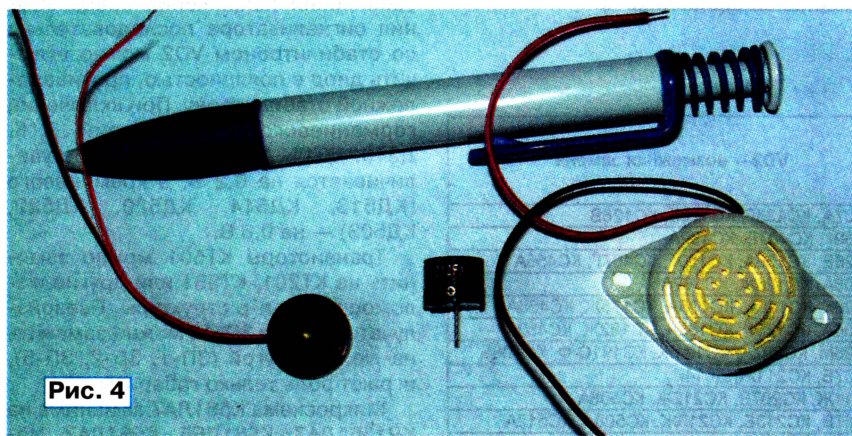


Рис. 4

Если же включить последовательно с излучателем (рис. 2) мигающий светодиод HL1 и ограничительный резистор R1 сопротивлением 10...20 кОм, получится совершенно другой эффект. Звуковой сигнал будет напоминать сирену с чередованием базовой частоты 1600 Гц и частоты 1100 Гц. Период изменения частоты соответствует вспышкам светодиода HL1 и составляет примерно 1,2 с при напряжении питания

примерно 1500 Гц. Такой сигнал сможет привлечь внимание, например, при выходе за определенные установленные границы контролируемых электрических параметров.

Возможно параллельное включение (рис. 3) капсуля и светодиода с подключением их к источнику питания через токоограничительный резистор R1. Сопротивление резистора может быть в пределах 0,62...10 кОм при напряже-

нии питания 5 В. Звуковой эффект в эксперименте зафиксирован такой — периодическое изменение частоты от 1,6 до 1,1 кГц, период изменения частоты примерно 1 с. Светодиод почти не светится. Излучатель издает сигнал, напоминающий пожарную сирену со звуками "вау-вау".

Кроме указанного на схемах капсуля, можно применить любой другой аналогичный, рассчитанный на работу при напряжении 2...30 В (например, FMQ-2715, FMQ-2724). Необходимо лишь соблюдать полярность включения капсуля (как правило, плюсовой вывод на корпусе капсуля обозначен знаком "+") и различать между собой пьезоэлектрические "активные" капсули-генераторы колебаний ЗЧ и "пассивные" капсули (например, ЗП-33-3), к которым необходимо отдельное устройство — генератор колебаний ЗЧ.

Внешне их нетрудно отличить друг от друга по второстепенному признаку — "пассивный" капсуль не нуждается в правильном полярном подключении (на корпусе отсутствуют знаки полярности). На рис. 4 слева показан капсуль ЗП-33-3, в середине — 1212FXP (на напряжение до 12 В включительно, но сохраняет работоспособность при снижении напряжения до 6 В, изменяются лишь громкость и частота звуковых колебаний), справа — FMQ-2715 (работает при напряжении 3...12 В).

По электрическим характеристикам "активные" капсули отличаются друг от друга напряжением питания, током потребления, резонансной частотой пьезоизлучателя, что непосредственно влияет на громкость звука. Незначительные отличия между этими капсулями наблюдаются в границах воспроизводимых частот.

Различить "активные" и "пассивные" излучатели можно визуально — первые содержат внутренний генератор, поэтому их корпус заметно толще. Что касается допустимого напряжения излучателя, его нетрудно распознать по обозначению. Так, излучатель 1212FXP допускает работу при напряжении до 12 В, а 1205FXP — только до 5 В. Приборы FMQ-2715, FMQ-2015B допускают напряжение 15 В, а FMQ-2724 — 24 В. Все использованные в статье "активные" капсули рассчитаны на использование в цепях только постоянного тока.

Кроме указанного светодиода, в экспериментах участвовали аналогичные по характеристикам L-36B, L-56B, L-458B, L-769BGR, L-56DGD, а кроме указанного капсуля — 1205-FXR, FMQ-2724. Источник питания должен обеспечивать стабилизированное напряжение с коэффициентом стабилизации не менее 100.

Редактор — Б. Иванов, графика — Ю. Андреев, фото — автора



# РАДИО

Ответственный редактор Степанов Б. Г.

(RU3AX)

тел. 207-68-89

E-mail: mail@radio.ru

При содействии Союза радиолубителей России

## о связи

### **DX-клуб "Центр Сибири" — 25 лет в эфире**

**О красноярском общественном объединении DX-клуб "Центр Сибири" мы хотели рассказать давно — позывной его коллективной радиостанции неизменно фигурирует в верхних строчках итоговых таблиц многих соревнований по радиосвязи на коротких волнах. Отличный ее результат — второе место в мире в неофициальном чемпионате мира по радиосвязи телетайпом CQ WW RTTY CONTEST плюс первые места в CQ WW WPX RTTY CONTEST и RUSSIAN WW RTTY CONTEST — простимулировал переговоры по подготовке материала. И вот тут-то и выяснилось, что в этом году коллективу RK0AXX исполняется 25 лет. Редакция журнала "Радио" поздравляет DX-клуб "Центр Сибири" с первым в его истории юбилеем. Так держать, красноярцы!**

В 1980 г. по инициативе Роберта Щербина (RV0AM) произошло объединение коллективов клубных любительских радиостанций Красноярского политехнического института и Радиотехнического техникума Красноярска. Целью этого объединения было создание загородной радиостанции, способной конкурировать с ведущими радиостанциями мира. И сегодня, 25 лет спустя, можно однозначно сказать — она достигнута.

Первая рабочая позиция коллективной радиостанции клуба RK0AXX (ex UK0AMM, RZ0AXX, RW0A, UE0AMM, RV0WCY, R0SRR) находилась в деревне Творогово под Красноярском. Разработанные в короткие сроки и воплощенные в металле направленные вращающиеся антенны и приемопередающее оборудование позволили команде RK0AXX уже в 1981 г. стать призером кубка Федерации радиоспорта СССР по радиосвязи на коротких волнах.

Интересы членов клуба не ограничивались радиосвязью на КВ. Уже в 1982 г. были созданы аппаратура и антенны для связи через радиолубительские спутники, которые обеспечили победу в международных соревнованиях по радиосвязи через ИСЗ. В том же году в клуб влился коллектив студентов Красноярского авиационно-технического техникума, появилась женская команда. И снова сразу высокий результат — победа в женском чемпионате СССР.

В 1983 г. любительская радиостанция была признана лучшей коллективной радиостанцией СССР.

Не снижая уровня выступлений в различных международных и всесоюзных соревнованиях, члены клуба находят время изготовить аппаратуру и антенны для радиосвязи через Луну, принимают участие в создании опытного образца

ИСЗ "Радио-M1" ("Оскар-21"). Такое серьезное объединение радиолубителей не может быть в стороне от аварийно-спасательных работ — в 1997 г. клуб входит в состав Региональной радиолу-

строено, смонтировано, куплено и привлечено — практически "с нуля".

Последние три года RK0AXX размещается на территории бывшего аэродрома ДОСААФ в 20 км западнее Красноярска (в Емельяновском районе, RDA KK-33). Здесь сохранились летное поле, склад ГСМ, легкие домики и подсобные помещения, вышка для тренировки парашютистов, заглушенная скважина, останки каких-то полуразвалившихся деревянных сооружений. В настоящее время эта территория и все постройки принадлежат Сибирскому Государственному аэрокосмическому университету имени академика М. Ф. Решетнева (СибГАУ). Официальное название этого места — "Инженерно-исследовательский полигон Установо". Территория обнесена легким забором, имеет круглосуточный пост со сторожами



**Часть коллектива CSDXC: стоят (слева направо) — RA0ALM, RV0AR, RV0AEV, RX0AE, RV0AX, UA0ANW, RA0AM; сидят — RU0AM, RU0AB, UA0AGI, RU0AT.**

тельской аварийной службы Сибири при Восточно-Сибирском региональном центре по делам ГО и ЧС.

Но в 2001 г. в эфирной активности клуба наступает вынужденная пауза — в здании клуба в поселке Творогово произошел пожар. У клуба не осталось никакого оборудования. Сгорело все — от трансиверов и усилителей до последней лампы и инструмента. Сохранились лишь мачты с антеннами, часть коаксиальных кабелей и кабелей управления. Все, что сейчас имеется, по-

из местного населения. Периодически появляется увлеченный небом народ, который выкатывает свои жуткие летательные аппараты, жужжит моторами и даже временами летает над окрестностями. Проводится отработка пилотажа, испытания узлов и агрегатов летной техники.

Радиостанция клуба размещена (на условиях официальной аренды, с соответствующими платежами за площади и электроэнергию) в двух помещениях общей площадью 60 кв. м в неотапливаемом кирпичном здании гаража.



Антенное поле RK0AXX занимает несколько гектаров на живописной возвышенной местности. Дисплей GPS отображает отметку 296 м над уровнем моря. Для сравнения — Красноярск находится на уровне 170 м. Гости Красноярска, проезжая из аэропорта в город мимо поселка Емельяново, могут увидеть слева на горе возвышающиеся над лесом мачты радиостанции клуба. А это...

— диапазон 10 метров: 6 элементов Yagi, boom 11 м, на высоте 16 м;

— диапазон 15 метров: 6 элементов Yagi, boom 14 м, на высоте 20 м;

— диапазон 20 метров: 6 элементов Yagi, boom 16 м, на высоте 20 м, а также 6 элементов Yagi, boom 22 м, на высоте 52 м, азимут 300 градусов;

— диапазон 30 метров: 4 элемента Yagi, boom 16 м, на высоте 40 м;

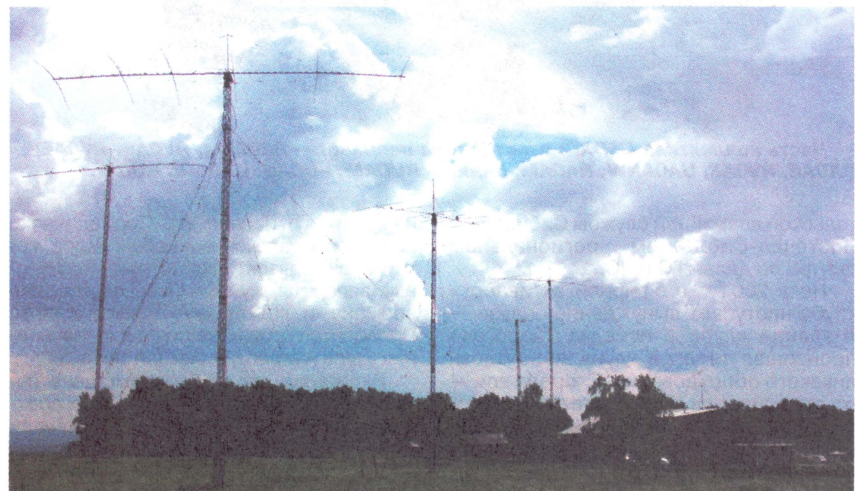
— диапазон 40 метров: 5 элементов Yagi, boom 26 м, на высоте 40 м, а также трехэле-



Идет монтаж антенн 6/20, 4/80 и 3/160 (число элементов/диапазон). RVOAR и RU0AKB ведут работы на отметке 52 метра.



На рабочих позициях в "шэке" RK0AXX: (слева направо) RU0AB, RA0AM и RU0AKB.



Вот так выглядит часть антенного поля RK0AXX.

ментная IV двунаправленная вертикальная фазированная решетка (три GP по 10 м);

— диапазон 80 метров: 4 элемента IV, boom 22 м, на высоте 52 м, азимут 300 градусов, а также 4 элемента IV, boom 22 м, на высоте 40 м, азимут 120 градусов;

— диапазон 160 метров: 3 элемента IV, boom 26 м, на высоте 52 м, переключаемые E/W, а также полноразмерный GP, точка питания на высоте 6 м;

— диапазоны 160/80 метров: IV, точка питания на высоте 20 м;

— диапазоны 10/15/20 метров: аналогичные C3 Yagi, на высоте 24 м, азимут 300 градусов;

— диапазоны 80/160 метров: AB, восточное (400 м) и западное направления (320 м);

— диапазон 2 метра: Yagi 4, 6 и 13 элементов, на высоте 7—10 м.

Все антенны самодельные, разработаны RVOAR. Мачты — старые, проверенные годами АМУ-1, АМУ-2 с редукторами П10, П12, П12МП.

Передающая аппаратура радиостанции: FT1000mp, FT1000mp Mark-V Field, IC-756PROII, UA3AO; три PA на лампах ГУ-78Б, PA на лампе ГУ-43Б. На радиостанции есть четыре компьютера с процессорами 300—333 МГц и с соответствующими интерфейсами (Soft — WL/1053, WF1B). Канал Интернета — через GPRS сети Билайн, DX-клуб — через TNC на 144, 650 МГц из города. У клуба есть сайт — <http://www.csdx-club.ru>.

В планах развития радиостанции — изготовление двух PA (по принципу "каждой антенне — свой PA") и изготовление нескольких антенн (6 элементов Yagi на диапазоны 10 и 15 метров, Yagi на диапазоны 12 и 17 метров, Yagi на диапазоны 10/15/20 метров — аналог C-36). А в планах клуба в целом — создание совместного с СибГАУ спортивно-технического клуба и налаживание отношений с Красноярским РОСТО.

Неудивительно, что при наличии такого коллектива и созданной им техники коллективная радиостанция клуба установила несколько континентальных и мировых рекордов по любительской радиосвязи. В нем подготовлено 18 мастеров спорта СССР и России, 2 мастера спорта международного класса. Через клуб прошло более 150 человек (студенты и преподаватели ВУЗов и техникумов, курсанты военного училища, школьники).

Продолжая традиции, заложенные Робертом Щербининым (RVOAM), под руководством Петра Бобровского (RX0AE) активно работает молодежная секция клуба. Начальная подготовка ее членов проводится на базе краевого Дворца пионеров и школьников (RK0AZC). В активе подрастающего поколения уже несколько призовых мест в соревнованиях, участие в RDA экспедициях по Красноярскому краю.

И если число подобных радиолюбительских объединений будет расти, то будет развиваться и радиолюбительство в нашей стране.



# PSK31. Этика, тактика и методы работы

Владимир КОНОНОВ (UA1ACO), г. Санкт-Петербург

**Из цифровых видов связи радиолюбители все чаще используют PSK31. Он прост в применении, но подготовка аппаратуры и настройка его программ, а также методы работы в эфире имеют некоторые особенности, о которых рассказывает эта статья.**

Цифровой вид связи PSK31 — один из самых быстро развивающихся радиолюбительских видов связи. Начало его стремительного распространения было положено в 1998 г., когда английский радиолюбитель Питер Мартинез (G3PLX) создал компьютерную программу PSK31SBV.

Время шло, менялось программное обеспечение, менялась аппаратная часть. Каждый день появлялись в эфире радиолюбительские станции, проводящие свои первые связи на PSK31. Простота использования PSK31 заключается в установке удобной для вас программы и соединении трансивера с компьютером всего тремя проводами. Все остальное программа выполняет сама.

На сегодняшний день существуют около трех десятков бесплатных программ для работы в PSK31 и еще несколько бизнес-версий. Некоторые из этих программ имеют уникальные функции. Так, например, программа DigiPan способна принимать одновременно до 20 станций PSK31, а программа MixW позволяет, наряду с PSK31, использовать RTTY, PACTOR, MFSK, SSTV, PACKET и другие виды связи. Появились и аппаратные решения для PSK31, например RigiExpert.

Времена меняются, радиолюбители вырабатывают тактику и методы работы в PSK31, но, к сожалению, нет литературы, из которой можно почерпнуть знания об этом виде связи. За долгие годы работы в CW и SSB выработались негласные правила работы этими видами связи, но в PSK31 дело обстоит иначе. Радиолюбителям самостоятельно приходится доходить до всего эмпирическим путем, и не всегда этот процесс проходит гладко.

Казалось бы, чего проще: нашел станцию, дающую CQ, поставил курсор мыши на эту станцию, нажал на клавишу соответствующего "макроса" и жди ответа — все остальное сделает компьютер. Но так дело обстоит только теоретически. На практике же существует много нюансов при проведении связи.

Многочисленные письма, полученные мной через сайт [www.psk31.newmail.ru](http://www.psk31.newmail.ru), показывают, что радиолюбителям не хватает информации по настройке программного обеспечения, правильному составлению макросов, особенностям проведения связей, настройке аппаратуры и т. д. И действительно, PSK31 имеет много особенностей.

Например, в CW или SSB мы слышим DX-станцию и хотим с ней связаться. Как в этом случае происходит процесс? Естественно, на частоте Pile Up "каша" из зовущих станций. Мы слушаем и вы-

бираем момент для передачи, зачастую используя лишь суффикс своего позывного. Поставим себя на место DX, он слышит сразу множество станций, различающихся по силе сигнала, тону, характеру передачи и т. д. и может с помощью слуха и опыта работы в эфире "отсеять" из этого множества сигналов один единственный. А что происходит на PSK31? Ничего подобного здесь нет, так как станция принимает компьютер, вернее программа декодирования. Мы лишь настраиваемся на станцию и можем лишь подрегулировать усиление сигнала при приеме. Казалось бы, все механизировано до предела и "человеческий фактор" исключен! Но на самом деле это не так. Здесь также важно выбрать момент передачи, важно правильно составить текст для передачи, иметь правильно настроенную аппаратуру и что самое главное — уделять особое внимание этическим нормам поведения в эфире.

Да, PSK31 — это для дисциплинированных радиолюбителей. PSK31 — это для технически грамотных людей, обладающих знаниями не только в области радио, но и компьютерной техники. Конечно, и в CW или SSB встречаются операторы, стремящиеся во что бы то ни стало установить связь или не обращающие внимание на то, что они создают помехи другим станциям, но в PSK31 этот фактор имеет большее значение и во многом зависит от подготовки аппаратуры к проведению связи и от этического поведения станции в эфире. Остановимся подробнее на самых важных моментах.

## Подготовка аппаратуры

Для хорошей работы в PSK31 необходимо качественно изготовить интерфейс связи компьютера и трансивера. На что здесь следует обратить внимание?

Для исключения наводок надо изменять экранированные соединительные провода возможно малой длины. Также необходимо использовать одну физическую точку заземления экранов проводов (со стороны трансивера или компьютера). Делитель уровня звукового сигнала 1:100 в цепи компьютер—трансивер надо установить как можно ближе к входному гнезду трансивера.

При использовании для гальванической развязки трансформаторов надо заземлить магнитопровод трансформатора или дополнительную экранирующую обмотку. Желательно все устройство согласования заключить в экран и заземлить. На соединительные провода можно одеть несколько ферритовых колец, образующих ВЧ фильтр.

Проверяют качество изготовленного интерфейса так: настраивают трансивер на частоту 14070 кГц и устанавливают усиление НЧ на приемнике в минимум. При этом на "водопаде" программы не должно быть никаких, даже еле заметных линий (рис. 1).

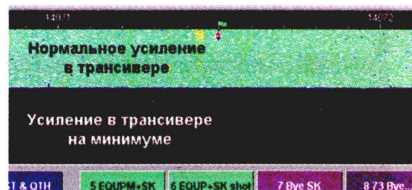


Рис. 1

Можно также использовать готовую конструкцию RigiExpert, подключаемую к USB порту компьютера. Очень хорошие результаты дает применение в трансивере узкополосных фильтров (250 Гц).

## Программное обеспечение

Сегодня уже существует большое число программ для работы в PSK31. Выделять какую-либо из них занятие неблагодарное — сколько людей, столько и вкусов. Оператор сам должен сделать вывод, какая из них ему более подходит: с более удобным интерфейсом, с лучшей чувствительностью или еще с чем-то. Для ее выбора советуем прочитать статью И. Лаврушова (UA6HJQ) [1, 2], протестировавшего самые популярные программы. Как компромиссный вариант, можно посоветовать использовать сразу две разные программы (например, MixW и MMVAR) и при необходимости переключаться между ними. И даже запускать их одновременно (если позволяют компьютер и операционная система), повышая таким образом достоверность принимаемой информации (рис. 2). Правда, если вы используете CAT-систему трансивера, она будет работать лишь с одной из запущенных программ.

Большие перспективы открываются при использовании дополнительно программ обработки звука (DSP), например, программ ChromaSound, SR5, DSPFIL (JE3NHT) и т. д. На форумах сайтов [www.qrz.ru](http://www.qrz.ru) и [www.cqham.ru](http://www.cqham.ru) и в [3] можно найти информацию об этом.

## Настройка уровней сигнала

Для нормальной работы надо правильно подобрать уровень сигнала, поступающий от компьютера на микрофонный вход трансивера и поддерживать его на постоянном уровне. Возвращаясь к работе на PSK31, после использования компьютера для игр, прослушивания музыки или просмотра фильма всегда проверяйте уровень НЧ сигнала, поступающий на трансивер (или используйте специальную программу, которая автоматически установит этот уровень при запуске программы PSK). Все (!) "спич-процессоры" и микрофонные ограничители должны быть отключены. Если до работы на PSK31 вы работали SSB, не забудьте отключить микрофон.

Хорошим индикатором правильной настройки на передачу могут служить



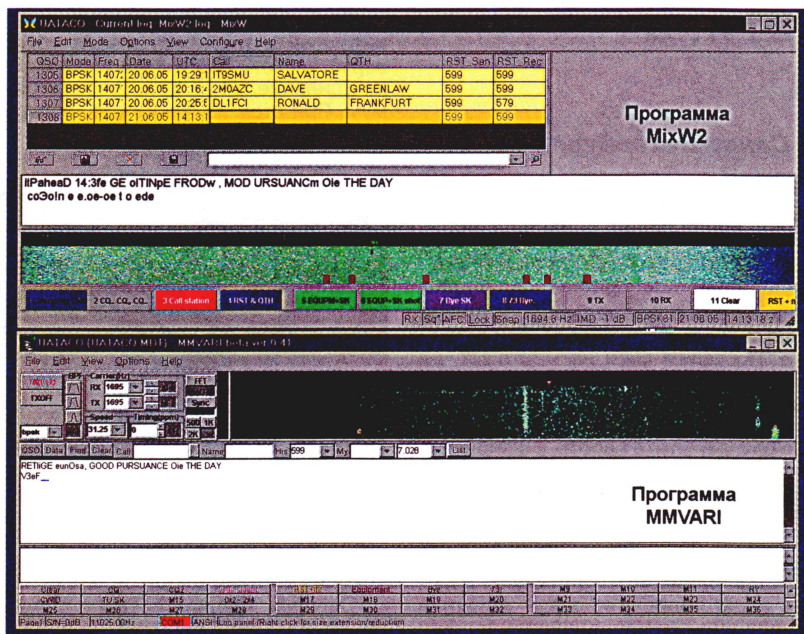


Рис. 2

показания системы ALC. Как только индикатор ALC начинает отклоняться, значит уровень НЧ сигнала с компьютера надо уменьшать. Также легко можно определять настройку по току выходного каскада. При увеличении НЧ сигнала на микрофонный вход трансивера (при переводе программы PSK в режим передачи) ток выходного каскада, естественно, также увеличивается, как только он перестанет увеличиваться, уменьшите подаваемый НЧ сигнал на 10 % — это и будет оптимальный уровень НЧ сигнала.

Наряду с этими приемами очень желательно использовать какой-либо контрольный монитор, чтобы оперативно контролировать свой сигнал. Для этих целей, в простейшем случае, можно использовать второй компьютер и контрольный приемник. За рубежом выпускают специальные устройства для контроля PSK сигнала, например, "IMD Meter" или "PSKmeter" — ссылки есть на сайте [2].

Всегда надо помнить, что чрезмерно завышенный уровень НЧ сигнала на входе трансивера не приведет к увеличению мощности выходного сигнала, а лишь создаст помехи другим станциям на диапазоне и сорвет, может быть, очень редкие связи для других радиолюбителей.

Также рекомендую периодически спрашивать у корреспондентов (конечно, не у DX), каков ваш IMD. Если он хуже -20 дБ, уже есть, о чем задуматься и проверить аппаратуру.

### Заранее подготовленный текст (заготовки)

В PSK31 почти все радиолюбители используют заготовки или, как их еще называют, brag-файлы. Заготовки — это заранее подготовленный текст, который автоматически передается при нажатии определенных клавиш. Например, можно сделать заготовку: "QRZ

UA1ACO QRZ UA1ACO kkk" или "de UA1ACO 73! Bye sk sk" и присвоить их клавишам F1 и F2 соответственно.

Заготовки не надо путать с макросами. Макросы — это возможность вставлять в ваши заготовки специальные ключи, определяемые конкретной программой, которые могут генерировать, в ваших заготовках, различные данные о связи (например, принятый позывной, имя оператора, RST и т.д.), а также выполнять различные действия в программе (например, рассчитывать азимут или расстояние между станциями и т.д.).

Казалось бы, нет ничего проще, чем написать заготовку. На самом деле ее написание требует определенного опыта работы в эфире. Надо всегда помнить, что неправильно или безграмотно составленная заготовка или неправильное ее применение не даст вам возможности провести редкую связь или создаст неудобства для корреспондента. За много лет работы в PSK31 (7 лет) мне попались лишь две статьи на эту тему [1, 4].

Приведу пример: работает DX, стоит "очередь" для связи с ним. Очередная станция проводит связь и передает текст, завершая QSO:

**XX5XXX (Salvatore) de Y7YYY (Nick)**  
**Thank you for the very nice QSO my dear friend Salvatore.**

**My Equipment is RX/TX KENWOOD FT-570 30 watts on Digimode, ANT is 3 el Yagi, COMPUTER 2,4 GHz RAM 256 Mb, SOFTWARE MixW2. 15 Reg Windows XP I am is 72 years old (model 1933) licensed since 1974**

**WX today is sunny and temperature +21 C**

**My QSL card is sure via bureau, Good Luck dear OM Salvatore, Good health 73! 73! Good DX !!! Bye... Bye... XX5XXX (Salvatore) de Y7YYY (Nick) Good weekend ! 73!**

**Log: 14:32:57 UTC 25.05.2005**  
**QSO Nr: 721 on this Mode BPSK31 SK SK SK**

Вы внимательно прочитали текст? Вы еще не забыли, что станция работает с DX? Что на частоте десятков станций ждут окончания передачи, чтобы вызвать этого DX! Вы хоть раз слышали, чтобы при работе с DX в CW или SSB передавался текст о том, сколько вам лет или о том, с какого года вы радиолюбитель и т.д.? Абсурд, но на PSK31 это можно слышать почти ежедневно! Удивительно, но почему-то, как только человек начинает работать на PSK31, его "пробирает" на длинный разговор.

Причины такого поведения необъяснимы. То ли это самореклама, то ли это происходит из-за того, что не надо держать ключ в руке и "трудиться" при передаче, даже говорить не надо ничего в микрофон (компьютер сам передает). Конечно, в подобных случаях DX просто "уходит" с частоты, предоставляя корреспонденту возможность "бесконечно" заканчивать связь! Естественно, что все станции, которые ждут окончания передачи, очень "благодарны" Y7YYY и помнят его "теплым" словом за сорванную связь с DX! А окончание связи должно быть таким:

**de Y7YYY QSL TU 73! sk sk**

И все. При этом вам будет благодарен и DX, и станции, ожидающие окончания связи. И все запомнят, что Y7YYY умеет работать!

Естественно, что многие радиолюбители, попробовавшие свои силы на PSK31 и столкнувшиеся с такими "саморекламными" станциями, теряют интерес к PSK31. При желании ваш корреспондент сам попросит передать дополнительную информацию о вашем оборудовании или стаже работы в эфире.

Итак, вернемся к заготовкам. На что надо обратить особое внимание? Какие приоритеты надо учесть? Отследим типовое QSO от начала и до конца.

### CQ — общий вызов

И. Лаврушов (UA6HJQ) провел исследования по этому вопросу на имитаторе линии связи в режиме PSK31, в условиях различных помех, а также учел психологические факторы и пришел к выводу, что ежедневно встречающееся (типовое) составление этой заготовки не дает оптимального результата. Обычно типовая заготовка выглядит следующим образом:

**CQ CQ CQ de UA1ACO UA1ACO UA1ACO pse K K K**

Такую заготовку использует большая часть радиолюбителей. Но в условиях QSB (что бывает очень часто) или QRM информацию принять сложно, а порой и невозможно. Значительно лучшие результаты дает использование следующей заготовки:

**CQ CQ UA1ACO CQ CQ UA1ACO CQ CQ UA1ACO CQ CQ UA1ACO pse k k k**

**или**  
**CQ UA1ACO CQ UA1ACO CQ UA1ACO CQ UA1ACO CQ UA1ACO pse k k k**

### Ответ станции

Но вот вам ответила станция XX5XXX, вы приняли информацию и отвечаете. Всегда надо помнить, что нет смысла передавать лишнюю информацию. Что хочет услышать ваш корреспондент? Рапорт RST, ваше имя, QTH,



QRA-Locator (WW Locator) и, может быть, ваш RDA (для российских станций). Не надо в ответ вставлять ненужную информацию о своем возрасте, стаже работы, используемой аппаратуре и т. д. Ответ должен быть четким и кратким, с учетом особенностей приема вашим корреспондентом сигналов PSK31. Примерно он должен выглядеть так:

**XX5XXX DE UA1ACO  
GA DR Salvatore QSL TU  
RST 599 599 599 QSB  
NAME Vlad Vlad  
QTH St-Petersburg St-Petersburg  
K059DW K059DW**

**HW? BTU XX5XXX de UA1ACO pse kkk**  
Интересная особенность, подмеченная в реальном эфире, при проведении множества связей: как правило, если корреспондент вставляет ваше имя в ответ — он принимает вас без проблем, если же просто фигурирует "my friend" или "OM", то у корреспондента есть проблемы с приемом (QSB, QRM и т. д.), естественно, это можно учитывать при связи.

#### Аппаратура и окончание QSO

Итак, корреспондент получил вашу информацию и заканчивает QSO, что ему ответить? Можно просто поблагодарить за связь и на этом закончить, например:

**XX5XXX DE UA1ACO  
TU dr Salvadore QSL via buro (no eQSL) GL 73!**

**XX5XXX de UA1ACO sk sk sk**  
Если же корреспондент передал вам данные о своей аппаратуре, то, вероятно, хочет услышать от вас такую же информацию. В этом случае предыдущий пример можно дополнить краткой информацией о своей аппаратуре (кратко), примерно так:

**XX5XXX de UA1ACO  
My TX/RX: IC-718 ANT: Dipol SOFT:  
MixW 2.12 COMP: IBM TP-770X  
TU dr Salvadore QSL via buro (no eQSL) GL 73!**

**XX5XXX de UA1ACO sk sk sk**  
Если вас интересует какая-то дополнительная информация: особенности антенны, выходная мощность (как правило, на PSK31 используются мощности 30...50 Вт), стаж работы в эфире, количество оперативной памяти в компьютере корреспондента, погода и т. д. — вы всегда можете попросить корреспондента передать эту информацию, например:

**XX5XXX de UA1ACO pse what is  
your WX? WX? de UA1ACO pse k k k**  
или  
**XX5XXX de UA1ACO pse what is  
your POWER? POWER? de UA1ACO  
pse k k k**

Как уже говорилось в начале статьи, полезно иногда спрашивать у корреспондента ваш IMD. Это можно сделать следующим образом, вставив соответствующий макрос (фразу) в текст одной из своих передач, например:

**DR Salvatore, give me MY IMD? IMD?**

Также очень полезно передать IMD вашего корреспондента в одной из ваших передач, тем более, если есть претензии к качеству сигнала корреспон-

дента (естественно, это все не относится к работе с DX или в момент прохождения longpath или Aurora, когда сигналы подвержены частым QSB и фазовым искажениям).

Все приведенные примеры не являются догмой и даны лишь для примера. Более того, текст должен варьироваться от связи к связи, в зависимости от обстановки в эфире и конкретной станции. Для этого достаточно при передаче в эфир заготовки текста оперативно вставлять или удалять какие-то его части. Опыт приходит очень быстро.

#### "Украшательство"

Раскладка латинского алфавита содержит не только буквы и цифры, но и знаки препинания, и служебные символы. Когда мы пишем письмо (а PSK31 очень близок к эпистолярному жанру), нам и в голову не приходит украшать текст различными звездочками, галочками и другими служебными символами, но при работе в PSK31 очень часто можно увидеть примерно такой текст:

\*\*\*\*\* YY7YYY \*\*\*\*\*

или  
(((( 73! )))

Вы когда-нибудь в письме так пишете? А тем более в служебной переписке? Почему же позволительно отнимать время у своего корреспондента, вынуждая его смотреть на эти примитивные рисунки, вместо того, чтобы идти на поиск новых корреспондентов и DX? Служебные символы на то и служебные, чтобы ставить их с пользой.

Когда же надо использовать служебные символы?

"Перевод строки". Этот служебный символ. Его полезно вставлять всегда в начале строки, чтобы отделить ваш передаваемый текст от текста, который сохранился на экране монитора корреспондента.

"Пробел". Его полезно ставить в начале и конце каждой строки. В случае пропадания, во время передачи, символа "перевод строки" текст все равно останется читабельным.

"Знак вопроса". Можно использовать два-три знака. Ставят в начале строки для привлечения внимания корреспондента к вашему вопросу, чтобы он мог заранее подготовить ответ во время вашей передачи.

"Регистр". В PSK31 буквы верхнего и нижнего регистров передаются с разными скоростями, так как имеют разный код. ПРОПИСНЫЕ, заглавные буквы передаются медленнее, а строчные быстрее. Умело используйте этот фактор. Иногда полезно комбинировать (дублировать) строчные и прописные буквы, особенно при плохих условиях прохождения, например:

**CQ UA1ACO CQ UA1ACO cq ua1aco  
cq ua1aco pse kkk**

**NAME: Vlad Vlad VLAD VLAD**

Это очень эффективный способ передачи достоверной информации в условиях помех.

Конечно, пишите имя и QTH с большой буквы в любом случае. Помните также, что знаки национальных алфавитов (в том числе и русского) передаются медленнее всего! Так что если вы будете передавать по-русски, то пере-

дача будет почти в полтора-два раза медленнее.

Клавиша "удаление знака" (стрелка влево над Enter). Старайтесь использовать ее в исключительных случаях, если вы, печатая с клавиатуры, ошиблись в одном-двух знаках. В остальных случаях лучше напечатать правильный текст далее, не исправляя неправильный — корреспондент поймет.

Вообще, возьмите за общее правило печатать текст отдельно и вставлять его при передаче, передавая не отдельными буквами, а целыми фразами, от этого разборчивость передаваемого текста на приемной стороне значительно улучшается. Если вы печатаете очень медленно, лучше использовать заранее заготовленный текст — нет ничего хуже ожидания появления новой буквы от корреспондента (несколько секунд, пока он найдет ее на клавиатуре), и так буква за буквой...., а прохождение в это время закончилось или появилась сильная QRM!

Однозначно: "Краткость — сестра таланта"! Это общее правило в PSK31.

Вот пример QSO "одной строкой":

**XX5XXX de UA1ACO TU RST  
599 599 599 NAME Vlad Vlad GB 73!  
de UA1ACO sk sk**

Конечно, такие связи можно проводить в благоприятных условиях, без QSB и QRM.

#### Этика работы в эфире на PSK31

Мы рассмотрели тактические приемы проведения QSO и некоторые моменты в подготовке аппаратуры. Как было сказано выше, в PSK31 огромную роль играет этическая сторона поведения радиолубителей при проведении связей, обусловленная техническим отличием PSK31 от других видов традиционной связи.

Сигнал PSK31 излучается в виде непрерывной несущей, с изменяемой фазой. Таким образом, если мы имеем два одинаковых сигнала PSK31 на одной частоте и захотим их принять — у нас ничего не получится, в лучшем случае на экране будет сплошная "мешанина" из знаков. Чтобы был устойчивый прием, превышение одного сигнала над другим должно составлять не менее 20 дБ. Это не телеграф, где одновременно могут зваться десятки станций с разными уровнями сигналов и небольшим разносом по частоте. Если вы принимаете две и более сильных PSK станций одновременно и на одной частоте (рис. 3) — разобрать ничего не удастся! Следовательно, бессмысленно устраивать "перегонки" с другой станцией, кто-то должен уступить, иначе после нескольких неудачных одновременных вызовов ваш корреспондент просто может уйти с частоты. Если прохождение хорошее и сигнал корреспондента устойчив, старайтесь вызывать короткими вызовами, например: **de UA1ACO UA1ACO kk**. Не сомневайтесь, если вы на частоте корреспондента, он свой позывной знает.

Очень часто при работе на поиск удается принять лишь конец передачи станции, например:

**soAC YIOAC YIOAC pse k k**

(Окончание см. на с. 76)



# "Волновой канал" для НЧ диапазонов

## Краткий анализ разных способов укорочения антенных элементов

Эрнест ГУТКИН (UT1MA), г. Луганск

**В статье предложены варианты построения поворотных направленных антенн на низкочастотные любительские диапазоны 40 и 80 метров. Рассмотрены различные способы укорочения элементов антенны и дана их сравнительная оценка. Показано, что в ряде случаев антенну НЧ диапазонов удастся совместить с имеющейся направленной антенной ВЧ диапазонов.**

Направленные антенны "волновой канал" (ВК) на высокочастотные любительские КВ диапазоны (от 10 до 20 метров) в настоящее время выполняют, как правило, из полноразмерных антенных элементов. В антеннах ВК для диапазонов 40 и 80 метров из-за больших габаритов используют в основном укороченные антенные элементы. Укорочение антенного элемента подразумевает уменьшение его длины при сохранении резонансной частоты. В статье рассмотрены разные способы укорочения, в том числе и малоизвестные. Первая часть статьи посвящена ВК на базе толстых (трубчатых) элементов, вторая — антеннам, выполненным в основном из проволоки и совмещенных с антенной другого, более высокочастотного диапазона. Каждому способу укорочения посвящен отдельный параграф, в котором сначала рассмотрен отдельно взятый элемент, а затем ВК из двух и трех элементов (ВК2 и ВК3). В первом разделе приведены основные электрические параметры ВК из полноразмерных элементов, что позволит в дальнейшем сравнить их с аналогичными параметрами укороченных ВК. Конструктивные детали антенн, а также схемы согласования фидера с антенной в статье рассмотрены в минимально необходимой мере.

Анализ выполнялся с помощью программы антенного моделирования MMANA [1]. Во всех случаях, если это не оговорено отдельно, использована автосегментация. Принятые обозначения:  $G_n$  — коэффициент усиления (усиление) антенны в свободном пространстве по отношению к полуволновому диполю, в децибелах (дБд);

$G_a$  — усиление по отношению к изотропному излучателю (дБи).  $G_a = G_n + 2,15$  дБ (усиление полуволнового диполя) + 5...5,9 дБ (добавка из-за отражения от земли);

$Z_a = R_a + jX_a$  — входное сопротивление антенны;

F/B (Front to Back) — отношение излучений вперед/назад. Параметр численно равен отношению величины переднего лепестка диаграммы направленности (ДН) к величине максимального заднего лепестка в секторе  $180 \pm 60^\circ$ , выраженному в децибелах. Чтобы F/B отражала реальную способность антенны ослаблять крутопадаю-

щие лучи (сигналы) от относительно недалеко расположенных станций, принята элевация (угол места)  $60^\circ$ ;

KCB — коэффициент стоячей волны;  $BW_{1,5}$  и  $BW_2$  — ширина полосы рабочих частот в пределах  $KCB \leq 1,5$  и  $KCB \leq 2$ . Так как программа определяет сразу оба значения, удобно ввести показатель BW в виде  $BW_{1,5}/BW_2$ .

У большинства рассматриваемых ниже антенн входное сопротивление  $Z_a$  значительно отличается от стандартного 50 Ом. Чтобы иметь возможность сравнивать BW

разных вариантов, при  $R_a < 40$  Ом с помощью функции СУ (согласующее устройство)  $Z_a$  приводится на центральной расчетной частоте  $f_0$  к значению 50 Ом (соответственно  $KCB = 1$ ). Это не отражается на параметрах G и F/B. Если для согласования использован четвертьволновый кабельный трансформатор, функция СУ не применяется.

При оптимизации направленных антенн весовые коэффициенты были установлены следующим образом: F/B — 70 %, G — 10 %,  $X_a$  — 10 %, KCB — 10 %. В основном анализ антенн выполнен на частотах 40-метрового диапазона. Имеющий опыт постройки нескольких совмещенных антенн с элементами нестандартной формы показал хорошее совпадение экспериментальных данных с рассчитанными в MMANA.

Чем сильнее укорочены элементы антенны, тем ниже ее электрические параметры, в первую очередь BW. Выбор степени укорочения — компромисс между размерами антенны и ее качеством. В фирменных YAGI на диапазон 40 метров обычно применяют элементы длиной 13...14 м [2]. В дальнейшем анализе будем в основном рассматривать элементы с длиной 14 м.

### 1.1. ВК из полноразмерных элементов.

Исходные данные:  $f_0 = 7,05$  МГц,  $\lambda = 42,5$  м, высота над землей  $h = 21$  м, параметры земли средние —  $\epsilon = 13$  и проводимость 5 мСм/м.

Антенные элементы этого диапазона имеют обычно телескопическую

конструкцию из дюралевых труб пяти—восьми диаметров, от  $\varnothing 50..60$  мм в центре до  $\varnothing 16..20$  мм на краях. При моделировании будем использовать эквивалентный элемент (ЭЭ), средняя часть которого состоит из отрезка трубы  $\varnothing 50$  мм длиной 9 м и двух концевых частей  $\varnothing 22$  мм длиной более 5 м каждая. Как показал расчет, BW и геометрические длины  $\ell_3$  элемента из нескольких отрезков труб разных диаметров (начиная с  $\varnothing 50$  мм) и ЭЭ достаточно близки.

Произведем расчет (в режиме оптимизации) параметров следующих направленных антенн:

1) ВК2 из двух ЭЭ с расстоянием между активным элементом и рефлектором  $S_{ap} = 6$  м  $\approx 0,15\lambda$ ;

2) "короткий" ВК3 из трех ЭЭ с суммой длиной 10 м при  $S_{ap} = S_{ad} = 5$  м;

3) "средний" ВК3 при  $S_{ap} = S_{ad} = 6$  м;

4) "длинный" ВК3 при  $S_{ap} = S_{ad} = 7$  м;

5) "длинный" ВК3а, оптимизированный под  $R_a = 50$  Ом.

Расчетные данные сведены в табл. 1. Параметры  $G_a$  и F/B найдены для трех частот в диапазоне 7,0...7,1 МГц при  $h = 21$  м. В крайнем правом столбце приведены значения усиления  $G_n$  антенн в свободном пространстве. Интересно отметить, что "средний" ВК3 имеет меньшие  $R_a$  и BW, чем другие ВК3.

Таблица 1

№	Антенна	$R_a$ , Ом	$G_a^*$ , дБи	F/B*, дБ	BW**, кГц	$G_n$ , дБд
1	ВК2-6м	48,5	11,4 - 11,3-11,1	14,7-16,4-16,0	213/412	4,3
2	ВК3-10м	30,1	11,8-11,9-11,9	20,1-21,1-21,4	182/313	5,2
3	ВК3-12м	27,4	12,0-12,1-12,2	23,8-24,7-20,7	133/234	5,5
4	ВК3-14м	38,8	12,1-12,2-12,2	24,8-25,7-23,2	195/330	6,0
5	ВК3а-14м	49,7	11,8-11,8-11,8	22,1-21,3-20,5	300/485	5,0

Примечания: \* — на частотах 7 - 7,05 - 7,1 МГц; \*\* — при KCB 1,5/2,0

### 1.2. Элементы со скачкообразным изменением диаметра.

Рассчитаем элементы (диполи), отличающиеся диаметрами примеченных труб и, следовательно, с изменяющимся волновым сопротивлением:

1) ЭЭ из трубы  $\varnothing 50$  мм длиной 9 м в середине и двух труб  $\varnothing 22$  мм по краям;

2) из трубы  $\varnothing 50$  мм по всей длине;

3) из трубы  $\varnothing 22$  мм по всей длине;

4) "обратный" ЭЭ, из трубы  $\varnothing 22$  мм длиной 9 м в середине и двух труб  $\varnothing 50$  мм по краям;

5) из провода  $\varnothing 2$  мм по всей длине.

Таблица 2

№	Элемент	$\ell_3$ , м	$R_a$ , Ом	BW*, кГц	$G_a$ , дБи
1	ЭЭ	21,7	75,0	410/711	7,48
2	$\varnothing 50$	20,7	71,3	409/720	7,45
3	$\varnothing 22$	20,8	71,3	354/620	7,44
4	обр. ЭЭ	19,7	66,9	347/612	7,40
5	$\varnothing 2$	20,9	72,0	255/449	7,45

Примечание: \* — при KCB 1,5/2,0

Расчетные данные: геометрическая длина  $\ell_3$ ,  $R_a$  (при  $X_a \approx 0$ ), BW и  $G_a$  сведены в табл. 2. Сравнение расчетных показателей позволяет сделать следующие выводы:



— BW первого и второго вариантов диполей, несмотря на разницу в "геометрии", оказалась практически одинаковой, такое же сходство между третьим и четвертым вариантами. Следовательно, BW составного элемента из трубок разных диаметров зависит в основном от диаметра его средней части.

— Резонансная длина ЭЭ (№ 1) телескопической конструкции должна быть больше длины "гладких" (№ 2, № 3) — это хорошо известный и ожидаемый факт. А вот диполь № 4 оказался примерно на 5 % короче, чем "гладкие" элементы и почти на 10 % короче ЭЭ.

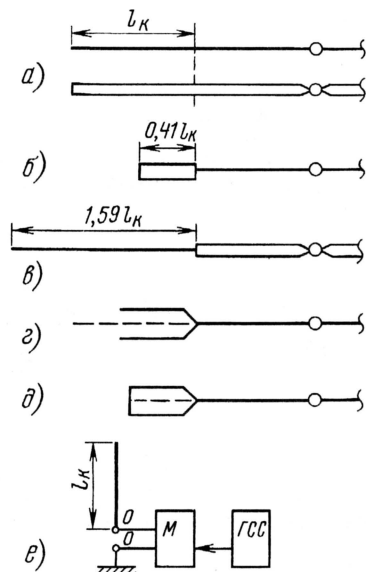


Рис. 1

Попробуем разобраться, почему при чередовании толщины проводников "толстый" центр — тонкие концы" (условно — "прямой скачок") резонансная длина диполя увеличивается, а при обратном чередовании (условно — "обратный скачок") уменьшается. На рис. 1,а показаны два диполя — "тонкий" проводочный и "толстый" из труб. На этом и последующих рисунках для упрощения рассматриваем только одну из половин симметричных антенн, точка питания обозначена кружком.

Рассечем мысленно каждое плечо на две части — среднюю и концевую. Каждая концевая часть, если рассматривать ее в отдельности, имеет свое входное реактивное сопротивление  $X_k$ . Его можно рассчитать и даже измерить, если расположить концевую часть над "землей" (рис. 1,е) и присоединить к точкам о-о измерительный высокочастотный мост (М) с генератором стандартных сигналов (ГСС). Примем обозначения: длина концевой части  $l_k$ , диаметр  $d$ , электрическая длина в градусах  $\alpha = 360^\circ l_k / \lambda$ , волновое сопротивление  $Z_{ок} \approx 60 \ln(1,15 l_k / d)$ ;

входное сопротивление

$$X_k = -jZ_{ок} \operatorname{ctg} \alpha = -jZ_{ок} / \operatorname{tg} \alpha. \quad (2)$$

Примем, для определенности, что волновое сопротивление  $Z_{ок1} = 900 \text{ Ом}$

(тонкий диполь),  $Z_{ок2} = 300 \text{ Ом}$  (толстый диполь) и  $\alpha_1 = \alpha_2 = 45^\circ$  (т.е.  $l_{k1} = l_{k2} = \lambda/8$ ). Можно считать, что если к средней части тонкого диполя вместо "родных" концевых частей с  $X_{k1}$  присоединить проводники другого диаметра или емкостную нагрузку, но с тем же значением  $X_k = X_{k1}$ , резонансная частота диполя не изменится.

Посмотрим, как нужно изменить длины "толстых" концевых частей от Д2, имеющих волновое сопротивление 300 Ом, если использовать их совместно со средней частью:

$$X_{k1} = -jZ_{ок1} / \operatorname{tg} 45^\circ = -j900 / 1 = -j900 \text{ Ом}.$$

Соответственно, для "толстых" концевых частей с  $Z_{ок} \approx 300 \text{ Ом}$  получается:  $\operatorname{tg} \alpha' = Z_{ок2} / X_{k1} = 0,33$  и  $\alpha' = 18,4^\circ$ . Следовательно, в таком варианте для сохранения резонансной частоты диполя длина толстых концевых частей должна составлять всего  $18,4^\circ / 45^\circ = 0,41$  длины тонких концевых частей (рис. 1,б).

Аналогичный расчет показывает, что если к "толстой" средней части диполя Д2 присоединить тонкие концевые части, для сохранения резонансной частоты следует увеличить длины последних в 1,59 раза против исходного значения (рис. 1,в).

Обратимся снова к проводочному диполю (рис. 1,а). Заменим однопроводные концевые части КЧ<sub>1</sub> с входным сопротивлением  $X_{k1}$  на двухпроводные КЧ<sub>2</sub> (на рис. 1,г штриховой линией показана исходная концевая часть) с таким же  $X_{k2} = X_{k1}$ . Каждый из проводов КЧ<sub>2</sub> имеет свое входное сопротивление  $X_{п1}$  в точке соединения со средней частью

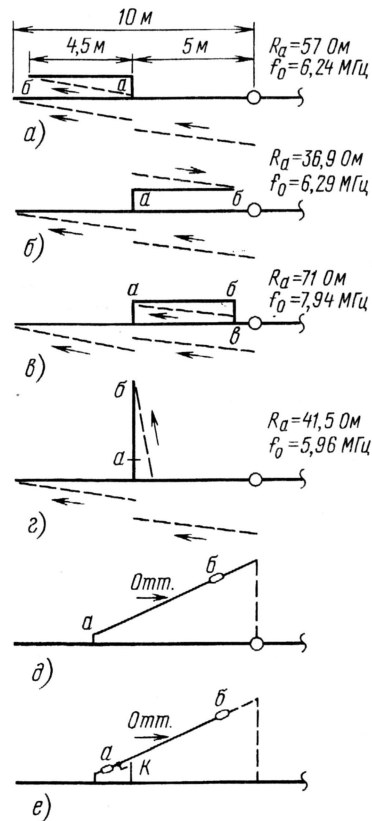


Рис. 2

диполя они включены параллельно, поэтому  $X_{кч2} \approx 0,5X_{к1}$  и  $X_{п1} \approx 2X_{к1}$ . Отсюда следует, что длина КЧ<sub>2</sub> будет меньше длины КЧ<sub>1</sub>, правда, не в два раза, а согласно формулам (1) и (2).

Возможные варианты исполнения КЧ<sub>2</sub>:

— если концы проводов КЧ<sub>2</sub> замкнуть перемычкой (рис. 1,д), то для сохранения  $f_0$  каждый провод КЧ<sub>2</sub> должен быть укорочен примерно на половину длины перемычки;

— если применить провода КЧ<sub>2</sub> большего диаметра, их длину следует уменьшить;

— чем больше проводов в КЧ включены параллельно, тем они короче.

Еще один показательный пример. Если к диполю с резонансной частотой  $f_{p1} = 7,2 \text{ МГц}$  (провод  $\varnothing 2 \text{ мм}$  длиной 20 м) присоединить с обеих сторон параллельные провода а—б так, как показано на рис. 2,а,  $f_0$  понизится до значения  $f_{p2} = 6,24 \text{ МГц}$  (кривая распределения тока показана штриховыми линиями). Теперь развернем провода а—б на  $180^\circ$  (рис. 2,б). Несмотря на то что положение одного из проводов концевых частей диполя изменилось кардинально, резонансная частота почти не изменится —  $f_{p3} = 6,29 \text{ МГц}$ . Из этого следует, что для понижения частоты (или уменьшения размера) можно использовать участки диполя, идущие и в обратном направлении. Важное замечание: в связи с изменением "токовой картины" (штриховые линии) входное сопротивление диполя и его широкополосность уменьшатся.

Если концы проводов замкнуть на диполь дополнительными перемычками б—в (рис. 2,в), провода а—б "переидут" из концевых частей в среднюю. Это приведет к понижению волнового сопротивления средней части и, как следствие, к повышению резонансной частоты диполя до  $f_{p4} = 7,94 \text{ МГц}$ .

Если провода а—б направить перпендикулярно диполю (рис. 2,г), резонансная частота еще уменьшится до  $f_{p5} = 5,96 \text{ МГц}$  (меньше перегибов проводов? См. п. 1.4).

Рассмотренные варианты имели в основном познавательное значение, но вариант рис. 2,д может иметь практическое применение. Здесь провод а—б является проводящей частью оттяжки плеча диполя. Степень понижения  $f_0$  элемента зависит от длины проводящей части оттяжки, их диаметра, угла наклона, места крепления к элементу и может оказаться более 10 %. Этот эффект можно использовать в диапазоне 80 метров с целью уменьшения длины элемента или для перестройки по частоте (рис. 2,е). Пассивный элемент настраивают в SSB участке диапазона, для перехода в CW участок с помощью реле К подключают проводящие оттяжки с обеих сторон. Если оттяжки сделать разной длины и включать их поодиночке, возможно использование элемента и на промежуточных частотах диапазона. Провода питания реле идут вдоль элемента и переходят на бум в точке нулевого потенциала, поэтому взаимное влияние проводов и элемента должно отсутствовать.



### 1.3. Укороченные антенны с катушками и замкнутыми шлейфами.

Укорочение элементов включением в них катушек индуктивности — пожалуй, самый распространенный способ. Механизм укорачивающего действия катушки рассмотрим на следующем примере.

Проволочный диполь (рис. 1,а) имеет на резонансной частоте  $f_0$  концевые части с входным сопротивлением  $X_k = -j900$  Ом. Если между средней и концевыми частями включить индуктивность  $L$  с сопротивлением, допустим,  $X_L = j500$  Ом, суммарное сопротивление нагрузки с каждой стороны средней части диполя теперь составит  $X_c = j500 + (-j900) = -j400$  Ом (вместо прежнего значения  $-j900$  Ом) и резонансная частота такого диполя уменьшится. Чтобы вернуться к прежнему значению  $f_0$ , придется установить укороченные концевые части с  $X_k = -1400$  Ом, соответственно уменьшится и общая длина диполя. Однако за это придется "заплатить" существенным уменьшением BW. К примеру, на частоте на 1 % большей резонанс-

обратным образом, в результате G и BW практически не изменяются при  $\ell_k$  в интервале от 0,15 до 0,6 длины плеча элемента. Если нужно получить  $R_a \approx 50$  Ом без дополнительных согласующих устройств, катушки располагают ближе к концам элемента. С другой стороны, катушки меньшей индуктивности проще выполнить высокодобротными ( $Q = 500 \dots 800$ ) и выиграть в усилении ввиду малых потерь.

Перейдем к расчету направленных антенн. Анализ зависимости основных параметров двухэлементного ВК от положения катушек в рефлекторе показал, что предпочтительными являются  $\ell_k = 0,2 \dots 0,5$  м и  $\ell_k = 2 \dots 3$  м, впрочем, выигрыш весьма незначительный.

1. Относительно простой ВК2-К из двух элементов длиной по 14 м, состоящих из трубок с диаметрами 35, 30, 22 и 18 мм. Расстояние  $S_{ap} = 6$  м,  $f_0 = 7,05$  МГц,  $h = 21$  м. Добротность катушек принимаем  $Q = 250$ , что вполне реально при их изготовлении из провода МГТФ  $0,75$  мм<sup>2</sup> на каркасе диаметром 30...40 мм из стеклотекстолита. За-

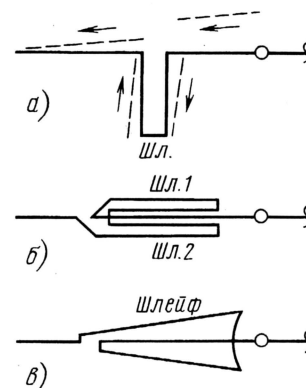


Рис. 6

ведены в табл. 4, геометрия антенн — на рис. 4.

2. Трехэлементный ВК3-К при  $S_{ap} = S_{ад} = 6$  м. Для уменьшения потерь применяем бескаркасные открытые катушки с добротностью более 500, вы-

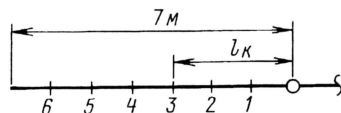


Рис. 3

Таблица 3

№	$\ell_k$ , м	$L$ , мкГн	$R_a$ , Ом	$G_a$ , дБи	BW*, кГц
1	0	8,12	24,7	6,86	112/186
2	1	4,64	31,5	6,89	118/209
3	2	5,04	36,6	6,91	121/216
4	3	6,82	41,8	6,91	122/218
5	4	9,28	46,8	6,91	119/214
6	5	14,48	52,5	6,87	108/190
7	6	30,70	60,7	6,67	79/138

Примечание: \* — при КСВ 1,5/2,0

ной частоты диполя в первом случае (без  $L$ ) сопротивление  $X_k$  уменьшится также на 1 % или на 9 Ом, а во втором случае суммарное изменение  $X_c$  составит уже 19 Ом ( $j505 - j1386 = -j881$  Ом). Соответственно и входное сопротивление  $X_a$  диполя во втором случае будет больше.

Проанализируем зависимость параметров элемента от места включения катушек. При расчетах используем элемент длиной 14 м, каждое плечо которого состоит из трубок  $\varnothing 35$  длиной 1 м +  $\varnothing 30$  длиной 5 м +  $\varnothing 20$  длиной 1 м (рис. 3). Задаемся семью возможными симметричными положениями катушек с индуктивностью  $L$  на расстоянии  $\ell_k$  от центра элемента. Расстоянию  $\ell_k = 0$  соответствует одна катушка в центре элемента. Принимаем добротность катушек  $Q = 200$ ,  $f_0 = 7,05$  МГц,  $h = 21$  м. Расчетные данные сведены в табл. 3.

Из-за уменьшения длины элемента и потерь в катушках такой элемент в свободном пространстве проигрывает полноразмерному более 0,5 дБ. Расчет показывает, что с увеличением расстояния  $\ell_k$  возрастают и  $R_a$ , и  $L$ . Рост  $R_a$  приводит к улучшению параметров G и BW, а рост индуктивности  $L$  действует

№	Антенна	$Z_a$ , Ом	$G_a^*$ , дБи	F/B*, дБ	КСВ	BW**, кГц
1	ВК2-К-6м	44+j8,5	10,4-10,3-10,0	11,4-15,8-11,9	1,9-1,25-1,5	72/165
2	ВК3-К-12м	26	11,3-11,3-11,1	12,2-20,9-14,6	1,8- 1- 1,3	120/220

Примечания: \* — на частотах 7 - 7,05 - 7,1 МГц; \*\* — при КСВ 1,5/2,0

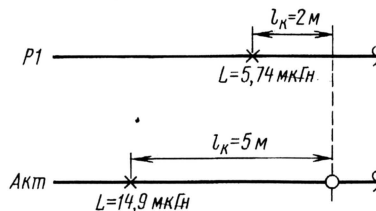


Рис. 4

дача расчета — найти месторасположение катушек в активном элементе (расстояние  $\ell_k$  от центра элемента) и их индуктивность, при которых  $R_a$  более

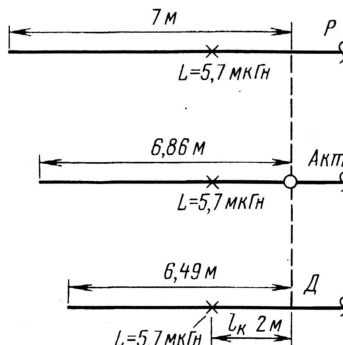


Рис. 5

40 Ом, т. е. КСВ на  $f_0$  не хуже 1,2. Положение катушек в рефлекторе задаем:  $\ell_k = 2$  м. Расчетные данные: в рефлекторе  $L_p = 5,74$  мкГн, в активном элементе  $L_a = 14,9$  мкГн и  $\ell_k = 5$  м, параметры при-

полненные из алюминиевого провода диаметром 5...6 мм. При расчете КСВ использована функция СУ. Во всех элементах применяем одинаковые индуктивности  $L_p = L_a = L_d = 5,7$  мкГн и одинаковый размер  $\ell_k = 2$  м.

Расчетные данные: длины элементов получились такими:  $\ell_p = 14$  м,  $\ell_a = 13,72$  м и  $\ell_d = 12,98$  м, параметры сведены в табл. 4, геометрия — на рис. 5. Степень ухудшения параметров можно оценить, сравнивая данные табл. 1 и 4. Информацию по конструированию антенных катушек с большой добротностью можно найти в [2].

Известно, что замкнутый на конце шлейф из двух параллельных проводов длиной менее  $\lambda/4$  имеет индуктивное входное сопротивление и оказывает такое же действие, как и катушка индуктивности. На рис. 6,а показано плечо элемента с перпендикулярно расположенным шлейфом (так удобнее для расчета). В реальных конструкциях шлейф обычно располагают параллельно элементу и крепят к нему изоляционными

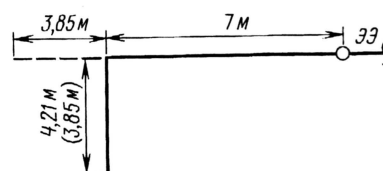


Рис. 7

распорками. Если шлейф "не помещается", его выполняют в виде двух последовательно соединенных коротких шлейфов (рис. 6,б) или придают ему форму, показанную на рис. 6,в. Следует



также отметить, что если реактивное сопротивление индуктивности изменяется пропорционально частоте, то у шлейфа — по закону тангенса (т. е. быстрее). При длине шлейфа более 20 эл. градусов (на частоте 7 МГц соответствует 2,4 м) BW такого элемента начнет уступать "катушечному". Сравнительный расчет элементов с катушками и шлейфами показал, что их электрические параметры совпадают при добротности катушек  $Q > 500$ .

К примеру, элемент со шлейфами из алюминиевой проволоки диаметром 3 мм имеет усиление  $G_h = -0,4$  дБд, а элемент с катушками добротностью  $Q = 500$  и  $Q = 100$ , соответственно,  $G_h = -0,37$  и  $G_h = -0,84$  дБд.

#### 1.4. Элементы с отогнутыми краями. Применение емкостных нагрузок. Антенны из П-образных элементов.

На рис. 7 изображен антенный элемент ЭЭ с общей длиной 21,7 м и  $f_0 = 7,05$  МГц (см. табл. 2, строка 1), но с отогнутыми под углом  $90^\circ$  концевыми частями (КЧ) длиной по 3,85 м каждая

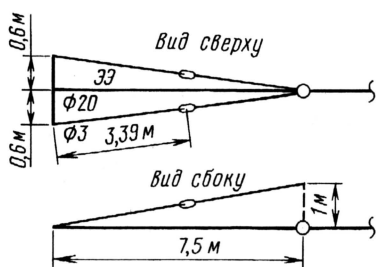


Рис. 8

(получился П-образный элемент с длиной средней прямолинейной части 14 м, КЧ параллельно земле, высота  $h = 21$  м). Расчет дает резонансную частоту  $f_0 = 7,27$  МГц, т. е. собственная частота элемента после изгиба повысилась на 3,1 %. Этот эффект можно объяснить нарушением равномерности поля в районе изгиба (также можно сделать вывод, что изгибы проводника в антенне "квадрат" являются причиной того, что полная длина этой антенны больше длины волны). Чтобы вернуться к  $f_0 = 7,05$  МГц, отогнутые концевые части следует удлинить до

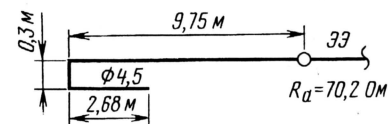


Рис. 9

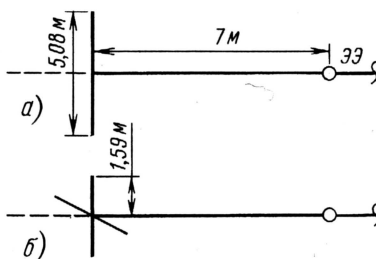


Рис. 10

4,21 м каждая. Параметры такого П-образного элемента —  $R_a = 57,5$  Ом,  $G_a = 7,17$  дБи и  $BW = 268/484$  кГц, они уступают параметрам исходного ЭЭ (табл. 1). Если боковые части выполнить из провода диаметром 4,5 или 2 мм, их следует удлинить соответственно до 5,02 или 5,36 м, при этом BW антенны несколько уменьшится.

При меньшем угле изгиба параметры изменяются меньше, в частности, углу

№	Антенна	$R_a$ , Ом	$G_a^*$ , дБи	$F/B^*$ , дБ	КСВ*
1	ВК2-П(от,н)-7м	43,5	10,8-10,6-10,4	15,0-18,1-15,0	1,5-1,15-1,15
2	ВК2-П(от)-7м	51	10,9-10,7-10,5	14,7-18,3-15,3	1,3-1,05-1,2
3	ВК3-П(от)-12м	24	11,9-11,8-11,8	17,3-22,0-17,1	1,5-1,15-1,25
4	ВК3-П-14,2м	19,5	12,1-12,1-12,1	17,8-20,6-17,7	1,65-1,0-1,6

Примечание: \* — на частотах 7 - 7,05 - 7,1 МГц

$45^\circ$  соответствует  $BW = 382/663$  кГц. Когда угол изгиба приближается к  $180^\circ$ , параметры ухудшаются значительно. Тем не менее элемент (рис. 8) с длиной средней части 15 м (трубки диаметрами 36, 30, 24, 20 мм) благодаря выполнению "обратного изгиба" в виде участка с пониженным волновым сопротивлением из двух проводов диаметром 3 мм, имеет приемлемые параметры:  $R_a = 50,6$  Ом,  $G_a = 7,25$  дБи,  $BW = 259/452$  кГц. Нужно иметь в виду, что если выполнить среднюю часть элемента из труб большего диаметра, для сохранения  $f_0$  придется также удлинить провода "обратного изгиба" (что нежелательно) или увеличить их диаметр. Вариант, показанный на рис. 9, позволяет получить небольшое укорочение элемента ( $\approx 10\%$ ) при незначительном ухудшении параметров.

Если к отогнутому концу элемента добавить такой же, но расположенный под углом  $180^\circ$ , получится емкостная нагрузка (ЕН), см. рис. 10.а. Расчет показывает, что для сохранения  $f_0$  полная длина ЕН с каждой стороны элемента должна быть 5,08 м (т. е. на 1,23 м длиннее исходной КЧ). Если ЕН выполнить из четырех радиалов также диаметром 22 мм (рис. 10.б), расход труб на каждую ЕН составит уже 6,36 м при тех же параметрах —  $R_a \approx 57$  Ом,  $G = 7,3$  дБи и  $BW = 320/555$  кГц. Таким образом, вариант с ЕН имеет большие вес и парус-

ность, чем полноразмерный элемент, и в большинстве случаев использование ЕН с целью значительного укорочения элементов ВК нецелесообразно.

Если попробовать выполнить ВК2 на базе П-образных элементов, расположив их отогнутые части навстречу, при длине линейной части элементов по 14 м продольный размер антенны получится слишком большим (8,5...9 м). Уменьшить его до оптимального разме-

ра 6...7 м удается, включив в элементы небольшие укорачивающие катушки с индуктивностью около 3 мкГн, что, однако, усложнит конструкцию антенны.

На рис. 11 дана схема антенны ВК2-П(от, н)-7м с оптимальной длиной бума 7 м. Она состоит из П-образных рефлектора и активного элемента, выполненных из труб диаметрами 40, 30, 22 мм, и боковых частей из алюминиевой проволоки диаметром 4,5 мм (провод АПВ-16 со снятой изоляцией). Концы трубчатой части обоих элементов свя-

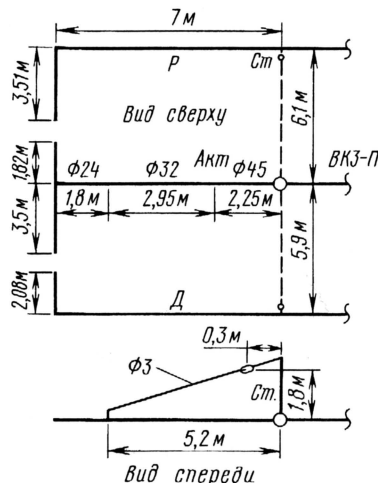


Рис. 12

заны диэлектрическими веревками (ДВ) из кевлара или полипропилена (штриховые линии), к ним подвешены проволочные части элементов. Для придания антенне дополнительной жесткости элементы механически напряжены с помощью ДВ (стрела прогиба элемента — около 0,4 м). Уменьшение размера элементов (проволочных частей) достигнуто за счет "оттяжек" (Отт) из проводов диаметром 3 мм, прикрепленных через изоляторы к вертикальным стойкам (Ст) высотой 1,8 м. При длине элемента 14 м применение оттяжек необходимо по механическим соображениям, поэтому такой способ практически не усложняет конструкцию антенны, не уменьшает усиление антенны и умеренно влияет

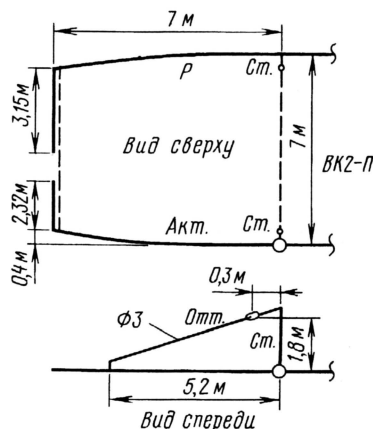


Рис. 11



на BW. Антенна имеет входное сопротивление, позволяющее непосредственно подключить фидер РК50. Расчетные данные приведены в табл. 5, первая строка.

Во второй строке таблицы приведены параметры такой же антенны с прямолинейными элементами, без их предварительного напряжения. В этом варианте потребуются дополнительные горизонтальные растяжки элементов на концы удлиненного бумпа.

На рис. 12 дана схема трехэлементной антенны ВК-3П(от)-12м с длиной бумпа 12 м и проводящими "оттяжками" в пассивных элементах. В Т-образном активном элементе использованы неравноплечие емкостные нагрузки, что позволило улучшить параметр F/B. Расчетные данные — в табл. 5, третья строка (питание через четвертьволновый трансформатор из двух кабелей РК75). В четвертой строке данные еще одного трехэлементного ВК. В этом варианте "оттяжки" ОТ не используются, поэтому длина проволочных боковых частей пассивных элементов значительно выросла, что заставило увеличить продольный размер антенны (длину бумпа) до 14,2 м, на входе использовано СУ. Размеры на рисунках имеют справочный характер. Более длинный ВК3-П выигрывает немного по усилению, а по остальным параметрам обе антенны близки.

Сравнение с "катушечными" антеннами из табл. 4 показывает преимущество ВК-П по всем параметрам. Две антенны по схеме ВК3-П с продольным размером 14 м выполнены UN9GC и испытаны во многих соревнованиях, результаты хорошие.

#### ЛИТЕРАТУРА

1. Гончаренко И. Антенны КВ и УКВ. Часть I. Компьютерное моделирование. MMANA. — М.: ИП РадиоСофт; журнал "Радио", 2004.
2. <www.qsl.net/ve6wz>.

(Окончание следует)

Редактор — В. Поляков,  
графика — Ю. Андреев, фото — автора

#### Контеcт-календарь

Напоминаем, что до конца года пройдут следующие соревнования по радиосвязи на коротких волнах на призы журнала "Радио":

**Телетайпные соревнования (RUSSIAN RTTY CONTEST)** — с 0 UT до 24 UT 3 сентября 2005 г.

**Соревнования на диапазоне 160 метров (RUSSIAN 160 METER CONTEST)** — с 21 до 23 UTC 16 декабря 2005 г.

**Соревнования "Память" ("MEMORY LIVES FOR EVER" CONTEST)** — с 5 до 9 UTC 17 декабря 2004 г.

Бумажные отчеты за все соревнования на призы журнала "Радио" надо направлять в редакцию по адресу: 107045, Москва, Селиверстов пер., 10. Электронные отчеты надо направлять по адресу [contest@radio.ru](mailto:contest@radio.ru).

## Высокостабильный двухтональный генератор

Валерий ХМАРЦЕВ (RW3AIV), г. Москва

**Одной из основных характеристик передающего тракта трансивера, с точки зрения создания минимальных помех в эфире, является линейность. Недостаточная линейность приводит к искажению излучаемого передатчиком сигнала и расширению его спектра. Оценить линейность передающего тракта трансивера и настроить его выходные цепи поможет описываемый в статье двухтональный генератор.**

Предлагаемый читателю генератор обладает высокой стабильностью генерируемых частот, малыми нелинейными искажениями и низкой потребляемой мощностью.

#### Основные технические характеристики

Частота в режиме двухтонального генератора, Гц	.....1700, 2400
Частота в режиме однотонального генератора, Гц	.....1700
Максимальное выходное напряжение, мВ	.....10; 100
Нелинейные искажения, %	.....1
Напряжение питания, В	.....5...7
Потребляемый ток, мА	.....3...5

Электрическая принципиальная схема устройства приведена на рис. 1. Его основой является генератор DTMF (Dual-Tone-Multi-Frequency) сигналов на микросхеме BT91531 (отечествен-

Временные диаграммы работы устройства (по выводам микросхемы BT91531), поясняющие работу, показаны на рис. 2. После подачи напряжения питания с выхода триггера на микросхеме DD1 (выв. 3) на вход 13 микросхемы DD2 поступает импульс длительностью около 4 мс. После окончания импульса низкий уровень на этом выводе устанавливает микросхему в исходное положение и запускает кварцевый генератор.

С вывода 4 микросхемы DD1 на вход 2 микросхемы DD2 подается импульс на считывание четырехразрядного кода, установленного на информационных входах D0—D3 и T/P. Считанный код поступает на цифровой синтезатор, преобразующий частоту кварцевого генератора в пару низкочастотных синусоидальных сигналов, которые и представляют собой двухтональный сигнал.

При типовом использовании микросхемы в качестве тонально-импульсно-номеронабирателя к ней подключают кварцевый резонатор на частоту

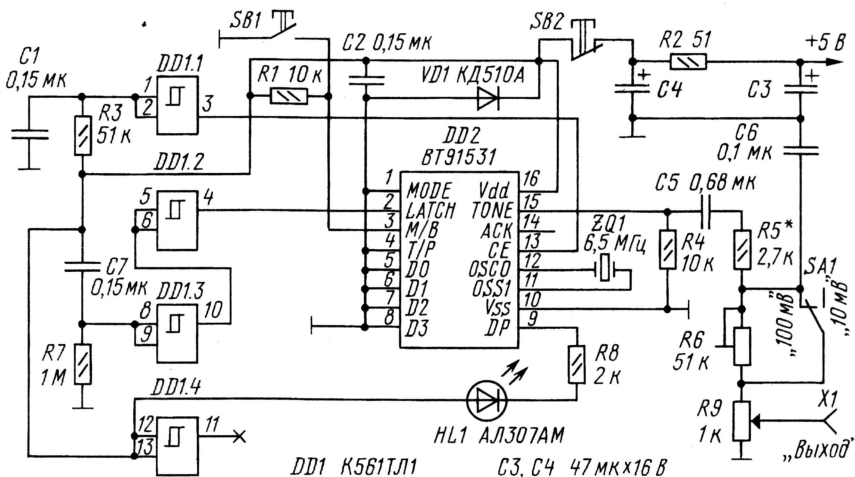


Рис. 1

ный аналог KP1008ВЖ19). Эту микросхему широко используют в телефонии для формирования двухтональных посылок при тональном наборе номера.

В типовом применении микросхема работает под управлением микроконтроллера. Для получения режима непрерывной генерации двухтонального и однотонального сигналов без применения микроконтроллера необходимые сигналы управления и режимы в схеме формируются микросхемой DD1 и кнопками SB1 "1 тон" и SB2 "2 тона".

3,579 МГц. При этом внутренний генератор двухтональных сигналов, в зависимости от установленного двоичного кода на входах D0—D3, генерирует группу частот, указанных в табл. 1.

Для получения необходимых частот двухтонального сигнала, удобных для настройки трансивера, в устройстве применен кварцевый резонатор частотой 6,5 МГц. В этом случае устройство может генерировать группу частот, приведенную в табл. 2. В авторском варианте генерируются частоты 1,7 кГц (нижняя) и 2,4 кГц (верхняя), а для их



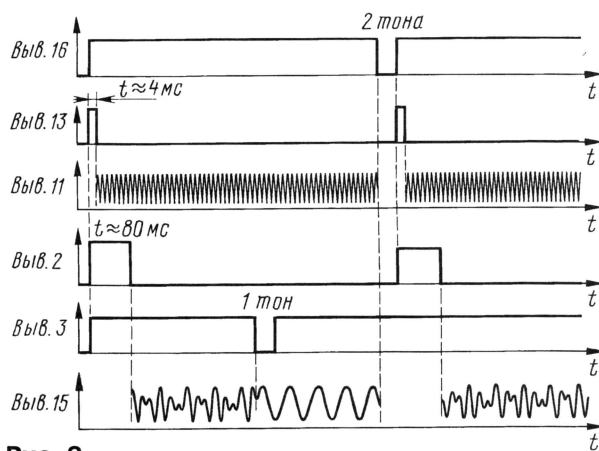


Рис. 2

Таблица 1

Установленный код				Частота верхней группы, Гц	Частота нижней группы, Гц
D3	D2	D1	D0		
0	0	0	0	1336	941
0	0	0	1	1209	697
0	0	1	0	1336	697
0	0	1	1	1477	697
0	1	0	0	1209	770
0	1	0	1	1336	770
0	1	1	0	1477	770
0	1	1	1	1209	852
1	0	0	0	1336	852
1	0	0	1	1477	852

Таблица 2

Установленный код				Частота верхней группы, Гц	Частота нижней группы, Гц
D3	D2	D1	D0		
0	0	0	0	2425	1708
0	0	0	1	2195	1265
0	0	1	0	2425	1265
0	0	1	1	2681	1265
0	1	0	0	2195	1398
0	1	0	1	2425	1398
0	1	1	0	2681	1398
0	1	1	1	2495	1547
1	0	0	0	2425	1547
1	0	0	1	2681	1547

получения на информационных входах D0—D3 микросхемы DD2 установлен низкий уровень путем соединения ее выводов 5—8 с общим проводом.

Частота кварцевого резонатора в устройстве не критична и может лежать в пределах 6...6,5 МГц. Так, при частоте кварцевого резонатора 6 МГц нижняя частота синусоидального сигнала будет равна 1,6 кГц, а верхняя — 2,2 кГц. При необходимости плавной перестройки двухтонального генератора в диапазоне частот можно подать на вход OSC1 микросхемы DD2 (выв. 11) сигнал от внешнего генератора через разделительный конденсатор 0,1 мкФ.

Сформированный двухтональный сигнал с выхода микросхемы DD2 (выв. 15) через конденсатор C5, фильтр R5C6 и делитель R6R9 поступает на выходной разъем X1. Переключатель SA1 позволяет получить два диапазона выходных напряжений: 0...10 мВ и 0...100 мВ. Плавную регулировку выходного напряжения выполняют переменным резистором R9.

Для получения однотонового сигнала нижней частоты надо подать на вывод 3 микросхемы DD2 сигнал низкого логического уровня (нажать кнопку SB1). Для возврата в режим генерации двухтонального сигнала необходимо нажать на кнопку SB2, т. е. отключить и снова включить питание микросхемы и тем самым установить микросхему в исходное состояние. Индикацию включения режима однотоновой генерации выполняет светодиод HL1, соединенный через токоограничительный резистор R8 с выводом 9 микросхемы DD2, на котором в однотоновом режиме присутствует импульсный сигнал прямоугольной формы.

Устройство собрано на печатной плате из двустороннего фольгированного стеклотекстолита толщиной 1,5 мм.

Все постоянные резисторы, примененные в устройстве, — С2-29, С2-33. Подстроечный резистор R6 — СПЗ-19а, переменный резистор R9 — СПО-05. Оксидные конденсаторы — К35-50, конденсаторы C5 и C6 — К10-50а или КМ, остальные — К10-17-16.

Вместо микросхемы BT91531 без изменения режимов работы можно использовать UM91531 (изготовитель фирма UMC) или их отечественный аналог KP1008ВЖ19.

Генератор устанавливают в металлический корпус размерами 90×45×30 мм.

При наладке устройства к его выходу (разъем X1) подключают осциллограф и милливольтметр. Переключатель SA1 устанавливают в положение 10 мВ, а переменный резистор R9 — в верхнее (по схеме) положение. После подачи напряжения питания на выходе X1 должен наблюдаться двухтональный сигнал. При его отсутствии необходимо проверить с помощью осциллографа с высокоомным входом генерацию кварцевого генератора (вывод 11 микросхемы DD2). Генерацию можно определить также и по потребляемому устройством току — при отключении кварцевого резонатора потребляемый ток изменяется на 0,5...1,5 мА.

Далее с помощью подстроечного резистора R6 устанавливают амплитуду выходного напряжения двухтонального сигнала равной 10 мВ. Затем измеряют выходное напряжение при установке переключателя SA1 в положение 100 мВ. При необходимости его точной установки подбирают резистор R5.

Для проверки однотонового режима надо нажать на кнопку SB1. После ее нажатия на экране осциллографа должен появиться синусоидальный сигнал нижней частоты.

При выходной мощности трансивера более 100 Вт в цепь питания +5 В необходимо установить фильтр из дросселя 50—100 мкГн и проходного или опорного конденсатора емкостью 4700 пФ.

Редактор — А. Мирющенко, графика — Ю. Андреев



## НА ЛЮБИТЕЛЬСКИХ ДИАПАЗОНАХ

### RUSSIAN WW RTTY CONTEST

Соревнования этого года пройдут с 0 до 24 UTC 3 сентября 2005 г. на диапазонах 10—80 метров (кроме WARC диапазонов). Повторные связи разрешены только на разных диапазонах. Зачетные подгруппы: "один оператор — все диапазоны", "один оператор — один диапазон", "несколько операторов — все диапазоны — один передатчик", "наблюдатели". Станции в подгруппах "один оператор — один диапазон" могут работать в соревнованиях на любых диапазонах, а заявлять для зачета только один из них.

Российские участники передают контрольные номера, состоящие из RST и условного двухбуквенного обозначения области, а остальные участники RST и номер зоны по списку диплома WAZ. За связь внутри континента начисляется 5 очков, с другими континентами — 10 очков. Каждая область России и каждая страна по списку диплома DXCC дают одно очко для множителя на каждом диапазоне. Заявляемый результат получается перемножением суммы очков за связи на суммарный множитель.

Отчеты желательно представлять в формате Cabrillo, но будут приниматься ASCII отчеты в других форматах. E-mail адрес для высылки отчетов [contest@radio.ru](mailto:contest@radio.ru). Отчеты надо высылать в виде приложений к письму, а в поле "Тема" письма надо внести позывной участника. Адрес для бумажных отчетов: Россия, 107045, Москва, Селиверстов пер., 10, редакция журнала "Радио". На конверте надо указать — "Отчет за соревнования". Крайний срок высылки отчета — 3 октября 2005 г.

Победитель в подгруппе "один оператор — все диапазоны" будет отмечен медалью, а команда-победитель в подгруппе "несколько операторов — все диапазоны — один передатчик" — плакеткой. Дополнительно (при высокой активности) медалями могут быть отмечены и победители по диапазонам. Контест-дипломами журнала "Радио" будут отмечены победители в многодиапазонном зачете по странам при условии, если их результат не менее чем 1/3 чем у лидера в соответствующей подгруппе, а также радиостанции, занявшие 2-е и 3-е места в подгруппах.

В этом году для российских участников учреждены дополнительные награды. Если число участников от России, приславших отчеты, будет 100 и более, то победители в подгруппах "один оператор — все диапазоны" и "несколько операторов — все диапазоны — один передатчик" будут награждены соответственно медалью и плакеткой. Если россияне победят и среди всех участников, то эти награды будут выданы тем, кто займут вторые места. Кроме того, будут отмечены контест-дипломами радиостанции, показавшие лучшие результаты по радиолюбительским районам России (в традиционном их понимании).

### "Домодедово—2005"

Президиум СРР начал работу по подготовке Всероссийского радиолюбительского фестиваля "Домодедово — 2005". В этом году он пройдет с 29 сентября по 2 октября. Как и в прошлом году, место его проведения — Дом отдыха "Москвич".



# Краткая история коммутации: парадигма пакетов

**Александр ГОЛЫШКО, гл. эксперт "Комстар — Объединенные Телесистемы", г. Москва**

То есть идея технологической независимости TELCO от мира информационных систем, в котором и для которого они, собственно, сегодня и существуют, к концу прошлого века вдруг умерла. И многие специалисты в конце XX века дружно отметили, что впервые связисты (их армия сегодня здорово разрослась) стали создавать базовую сеть на основе не своих собственных (и не тесно связанных с ними производителей коммутационного оборудования) достижений, а достижений компьютерной индустрии, занимающейся исключительно передачей данных! Но мы-то с вами помним, как давным-давно на технологических заделах телеграфистов начиналась эра телефонной связи. Воистину, все новое уже случилось когда-то.

Интернет более чем удачно вошел в слабое место услуг и приложений. При этом возникает желание раз и навсегда объяснить, что коммутация пакетов на базе IP является панацеей при создании и развитии будущей глобальной и универсальной информационной инфраструктуры, олицетворяющей собой лозунг "everything over IP & IP over everything" (дословно "все по IP и IP по всему").

Однако навсегда отодвинуть традиционных связистов от дальнейшего развития сетей связи приверженцам такого тотального "айпизма" не удастся. В частности, пакетная коммутация, как таковая, не обеспечивает какого-либо мгновенного чудодейственного решения задач, которые по наследству вовлекаются в развивающиеся телекоммуникационные услуги в здоровой рыночной среде: массовый охват, приемлемая стоимость, соответствующее качество обслуживания, управление услугами и сетями, биллинг и т. д. И тут, вероятно, следствием всемирного закона сохранения энергии может стать закон сохранения инвестиций в формулировке: за все надо платить.

В традиционной IP-технологии, если где-то что-то не дошло до адресата, то все маршрутизаторы (они же — пакетные коммутаторы) станут "переспрашивать" своих соседей и лавинообразный рост нагрузки может попросту парализовать весь прилегающий участок сети. Поэтому IP-сети испытывают недостаток средств и возможностей, гарантирующих высокую гибкость и прогнозируемую производительность, и характеризуются непредсказуемой задержкой, неустойчивой синхронизацией и потерями пакетов. Посему, например, диалог в режиме реального времени с помощью высо-

коскоростных потоков (видео) может быть, мягко говоря, затруднен. Это плата за достижение максимального использования линий связи посредством статистического мультиплексирования.

В современной технологической и рыночной среде доступная полоса пропускания транспорта информации растет быстрее, чем процессорная мощность, доступная в узле коммутации. Чем больше пропускная способность, тем проще справиться с проблемами управления трафиком. Поэтому кажется резонным заменять усложнение сетевых узлов усилением пропускной способности сети. Тем паче, каналы связи сравнительно давно и весьма быстро дешевеют. Но как много канальной емкости можно "разбазаривать", принимая во внимание, что аппетиты потребителей быстро растут?

Чтобы достигнуть гарантированного качества услуг, необходимого для передачи видео и речи, разработчики решили разрабатывать более сложные протоколы (для резервирования пропускной способности и пр.), что, однако, одновременно приводит к утрате замечательной и всепроникающей простоты первоизданного протокола IP и требует получения признания у подавляющего числа производителей, чего достигнуть все сложнее и сложнее (а ведь каждый производитель лоббирует свои решения). Чем, к примеру, плоха технология ATM, если бы не относительно высокая стоимость и необходимость глобальной перестройки всей сетевой инфраструктуры? Похоже, всемирная отрасль связи переживает очередной переходный период.

Реальная телекоммуникационная практика говорит о том, что, во-первых, многим операторам еще долго придется иметь дело с набором сетей, выполненных с использованием различных видов систем коммутации, а во-вторых, современная технологическая база подчас позволяет интегрировать в одной системе и то, и другое. Появляется **гибридная коммутация**, работающая при необходимости как с каналами, так и с пакетами. В частности, так работают в современных телефонных сетях так называемые "программные коммутаторы" (softswitch).

Появляются новые разновидности **быстрой коммутации каналов**, при которой канал связи организуется на время передачи одного пакета, и уже упомянутой выше быстрой коммутации пакетов, когда устанавливается виртуальное соединение и экономится память в маршрутизаторе.

В IP-сетях, со сравнительно высо-

ким уровнем качества обслуживания пользователей (QoS), широко используется технология **"коммутации меток"** или **MPLS** (MultiProtocol Label Switching). Несмотря на свою относительную молодость, технология MPLS уже стала одним из краеугольных камней фундамента новых технологий IP-сетей. Ее суть проста — часть пакетов в IP-сети можно дополнительно пометить (в адресном пространстве пакета) и дать им приоритет при передаче по сети. MPLS позволяет сформировать виртуальные пути передачи пакетов в сети маршрутизаторов, коммутирующих на основе меток (Label Switching Router, LSR). Каждый пакет снабжается меткой, содержащей сведения о требуемом классе обслуживания (CoS) и адресе узла назначения. Указанная метка считывается только при пересечении пакетом границ домена MPLS-коммутации, в результате чего отпадает необходимость в маршрутизации отдельных пакетов в каждом из промежуточных узлов. Сегодня с помощью MPLS можно решать различные задачи: ускорять продвижение пакетов за счет замены на магистрали сети маршрутизации на коммутацию; решать задачи Traffic Engineering (то есть конструировать пути прохождения трафика через сеть таким образом, чтобы добиться максимально эффективного использования маршрутизаторов и каналов связи); обеспечивать требуемые параметры качества обслуживания (QoS — Quality of Service) за счет резервирования пропускной способности для трафика, проходящего по путям MPLS; строить масштабируемые виртуальные частные сети (VPN — Virtual Private Networks).

Однако необходимо помнить, что меченые пакеты MPLS подобны имеющим приоритет машинам с мигалками, и если их станет слишком много в общей массе, то на магистралях возникнут пробки (очередь из тех, что без очереди — хорошо понятная ситуация на отечественных просторах). Таким образом, инфокоммуникационная сеть должна иметь значительный запас пропускной способности (а это — дополнительные инвестиции) и обеспечить QoS абсолютным всем ее пользователям (работающим одновременно) не получится.

В настоящее время практически все операторы дальней связи рассматривают технологию плотного спектрального мультиплексирования DWDM (Dense Wave Division Multiplexing) в качестве едва ли не единственного способа преодолеть дефицит пропускной способности магистральных волоконно-оптических каналов и даже создать надежный запас на будущее. Росту ее популярности способствовали также совместимость с существующей инфраструктурой ВОЛС и экономичность по сравнению с традиционными способами наращивания пропускной способности опорных сетей. Между тем до последнего времени применение DWDM-оборудования ограничивалось высокоскоростными соединениями "точка — точка", а в городских сетях

Окончание.

Начало см. в "Радио", 2005, № 4, 6, 7



и сетях доступа распространения оно пока не получило. Тому есть несколько причин. Это и высокая гетерогенность городских сетей (множество топологий, протоколов и приложений), и наличие альтернативных решений, зачастую позволяющих операторам не топиться с переходом на неизвестную им технологию, и ценовой фактор, который нередко заставляет сделать выбор в пользу физического наращивания сетевой инфраструктуры, и, наконец, недостаточная гибкость и практически полное отсутствие интеллектуальности (а без них невозможно ни адаптировать сеть к быстрому росту объемов трафика, ни оперативно предоставлять пользователям разнообразные услуги).

Перечисленными ограничениями были стимулированы исследования, направленные на создание новой технологии обработки оптических сигналов, которая получила название **лямбда-коммутиции** (используются также термины "фотонная коммутация" и "коммутация по длинам волн"). При ее разработке был заимствован принцип коммутации IP-пакетов по меткам, реализованный в протоколе MPLS. Идея MPLS, перенесенная на физический уровень оптической сети, приобрела форму протокола Generalized MultiProtocol Label Switching (GMPLS), иногда именуемого MultiProtocol lambda Switching (MPIS). Коммутация здесь осуществляется уже не на основе меток, содержащихся в заголовках пакетов, а в соответствии с длинами волн, на которых передается трафик того или иного типа.

Применение лямбда-коммутиции открывает перед операторами такие возможности: обеспечить высокую масштабируемость сетевой инфраструктуры, минимизировать количество наложенных услуг, повысить эффективность использования имеющейся полосы пропускания, а главное, получать дополнительную прибыль за счет предоставления услуг, использующих отдельные длины волн. Эти услуги могут принимать самые разнообразные формы — от обмена частями полосы пропускания между операторами дальней связи до продажи отдельных длин волн крупным корпоративным заказчикам (например, с целью соединить территориально разнесенные офисы). Покупая отдельные длины волн, пользователь получает полный контроль над передаваемой информацией, причем без астрономических затрат на построение собственной коммуникационной инфраструктуры. Оператор же может рассчитывать на ускоренную окупаемость инвестиций, при том, что сама оптическая сеть остается в его распоряжении (в отличие от случаев продажи "темного" волокна).

Ключ к развертыванию подобных услуг состоит, во-первых, в прозрачности транспортной инфраструктуры по отношению к типу, формату и методам кодирования трафика, к протоколам и скоростям передачи, а во-вторых, в кардинальном упрощении самой сетевой модели.

Для потребителя различие между мультиплексорами и коммутаторами зачастую сводится к числу поддерживаемых входных оптических портов. Однако при внешней схожести функций в технологическом плане появление оптических коммутаторов (optical cross-connect, OXC; иногда эти устройства называют также лямбда-маршрутизаторами и маршрутизаторами длин волн) ознаменовало собой принципиально новый взгляд на обработку трафика в оптической сети. Исключение фазы преобразования оптических сигналов в электрические и обратно на сетевых узлах (это так называемая "темная коммутация" — при огромных потоках обрабатываемого трафика подобные устройства становятся самым "слабым звеном" в сети связи) открывает путь не только к радикальному повышению пропускной способности, но и к развертыванию новых типов услуг.

Оптический коммутатор осуществляет динамическое изменение конфигурации сети (на уровне отдельных оптических каналов) в целях восстановления транспортировки трафика после отказов или в ответ на изменившуюся потребность в пропускной способности. Помимо управления соединениями и пропускной способностью, он отвечает за ввод/вывод каналов, эффективность использования спектрального ресурса, повышение надежности инфраструктуры магистральной сети, особенно при наличии незащищенных портов маршрутизаторов, а также за маршрутизацию трафика.

Следует подчеркнуть, что выполнение столь разнородных функций в мультисервисной среде, например, объединяющей низкоскоростные городские сети или сети доступа с высокопроизводительными магистралями, невозможно без вспомогательного компонента, обеспечивающего согласование потоков разной интенсивности. Таким компонентом являющиеся оптические шлюзы, которые, согласно прогнозам аналитиков, со временем неизбежно вытеснят сегодняшние цифровые коммутационные системы (Digital Cross-connect System, DCS) и будут осуществлять преобразование скоростей при передаче трафика между сетями разных типов, согласование форматов передаваемых данных и управление широкополосными услугами на уровне электрических сигналов.

Полностью оптические "кросс-коммутаторы" (с потенциалом 1000х1000 портов и потерями не более 2 дБ) уже устанавливаются на магистральных сетях связи США. Однако их активный выход на рынок еще ждет своего часа. Применение оборудования этого класса не в последнюю очередь будет зависеть от популярности концепции лямбда-коммутиции, но рано или поздно операторам уже придется выбирать между изделиями разных производителей.

В настоящее время телекоммуникационный мир заговорил о появлении так называемых сетей связи нового поколения (NGN — Next Generation

Network), основанных на всех достижениях технологий коммутации: КР, MPLS, MPIS. В чем же именно заключается коренное отличие концепции NGN от концепций существовавших ранее других сетей связи? Долгое время основная сетевая идея была предельно простой — для того, чтобы передать что-либо из точки в точку, необходимо сформировать соответствующий канал "точка — точка". Так работали телеграф, потом телефонная сеть, а через 100 лет сети SDH и ATM. Однако в конце XX века связь становится все более динамичной, а в процесс одновременного общения вовлекается все больше участников. Постепенно вместо необходимости организации одного канала связи появляется необходимость создания одновременно функционирующих каналов для целой группы пользователей. Нужна концепция многосвязности каждого с каждым, создающая единое пространство общения в рамках так называемых виртуальных частных сетей (VPN — Virtual Private Network), которые становятся мультисервисными: голос + данные + видео. К пересмотру старой концепции и привело, прежде всего, упомянутое выше развитие информационных технологий в бизнес-секторе и, конечно, появление Интернета, для пользователей которого подобная связь — норма жизни.

В последнее время среди специалистов довольно часто возникают дискуссии по поводу того, какой основополагающий принцип коммутации (пакетов или каналов) является наиболее перспективным. Мы знаем, что каждый метод имеет свои недостатки и преимущества. Об эффективности пакетных сетей мы уже говорили, однако, к примеру, при избытке работающих пользователей вся сеть с коммутацией пакетов может попросту "остановиться", тогда как в сети с коммутацией каналов не обслуживаются лишь "избыточные" пользователи, тогда как все остальные будут продолжать работу. Вот поэтому-то обе коммутационные технологии и продолжают сосуществовать в любой современной сети связи, эффективно дополняя друг друга. К примеру, коммутация длин волн в сетях DWDM осуществляется в полном соответствии с принципами коммутации каналов, несущих внутри себя пакетный трафик, а упомянутая выше технология MPLS представляет собой ни что иное, как коммутацию виртуальных каналов, организованных поверх среды с коммутацией пакетов (IP, Frame Relay и др.). И уже нет преград, чтобы обеспечить даже dial-up доступ в Интернет поверх IP-телефонии (шутка). И нет никаких сомнений, что и дальше техника связи будет тесно "сотрудничать" с различными видами гибридной коммутации. А по поводу известных споров Роберт Бенчли как-то сказал, что просто "существует две категории людей: те, кто делит людей на две категории, и те, кто не делит".



## PSK31. Этика, тактика и методы работы

Окончание. Начало см. на с. 65

Что это? Общий вызов или конец передачи при связи с другим корреспондентом? Если бы сигнал CQ передавался правильно, как было сказано выше, его можно было бы идентифицировать однозначно, но как мы говорили, большинство станций такой вариант не при-

ное и хорошее "приспособление". Вы щелкаете правой мышкой на "водопад" сигнала этой станции и открываете новое окно с информацией, которая уже прошла от этой станции, но которую компьютер (программа) помнит, например, в данном случае:

**...s KK j-φ CQ CQ de Y10AC Y10AC Y10AC pse k k**

Как видите, все встало на свои места и вопрос снят — надо быстро звать станцию! Или другой вариант для того же примера:

```
ief ->> RA6AAW DE HUFue rD ader
tox for QSO
73 es hpe cuagn dr om n eHZ1 oH a ee esN i r
DraIdX.Vladimir GB
73' S DE HZ1NH sk sk
k
```

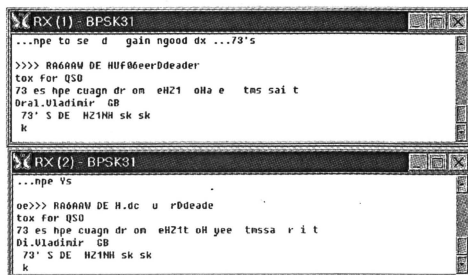


Рис. 3

нимают во внимание. Что же делать? Вызывать станцию, но тогда можно помешать проведению связи и вам наверняка не ответят. А если это общий вызов, а вы не позовете, станция может уйти с частоты.

Но, например, в программе MixW, да и не только в ней, есть очень полез-

**... HOW COPY? BTU T6X de Y10AC Y10AC Y10AC pse k k**

В этом случае необходимо подождать окончания QSO, и вы можете претендовать на QSO с Ираком! Попробуйте воспользоваться этим приемом, и он наверняка войдет в ваш ежедневный арсенал работы на PSK31.

Если вам сделали замечание о качестве сигнала, не полнитесь проверить свою аппаратуру, уровни сигнала, отключение компрессора и т. д., не мешайте работать другим станциям, занимая слишком широкую полосу частот. Помните, что PSK31 так называется в том числе и потому, что полоса сигнала в эфире должна занимать всего 31 Гц!

Программное обеспечение сейчас очень богатое на цифровые виды связи. Некоторые программы дают возможность работать разными видами связи, поэтому, прежде чем включить передачу, убедитесь, что вы используете и выбрали именно PSK31 — иначе вы создадите помехи в диапазоне PSK. Будьте внимательны.

Для работы с DX и в Contest пользуйтесь отдельными заготовками.

В заключение хочется пожелать приятных и редких связей на PSK31 и взаимной вежливости в эфире.

### ЛИТЕРАТУРА

1. Лаврушов И. (UA6HJQ). Правильное составление макросов и коротких текстов с точки зрения психологии. — <http://www.hamradio.cmw.ru>.
2. Кононов В. (UA1ACO). "Все о PSK-31" <http://www.psk31.newmail.ru>.
3. Гончаренко И. "Программа DSPfil". — Радио, 2001, № 11, с. 63—65.
4. Сидоров В. (EU1SA). Этот ужасный телетайп. — <http://ur7iwz.qrz.ru/04/rtty.php>.

Редактор — А. Мирющенко, фото — автора